乙第234号証

関原発 第380号 2022年 8月23日

原子力規制委員会 殿

大阪市北区中之島3丁目6番16号 関西電力株式会社 執行役社長 森 望

高浜発電所 4 号機 蒸気発生器伝熱管の損傷について

実用発電用原子炉の設置、運転等に関する規則第134条の規定により、別紙のとおり原因およびその対策について取り纏めましたのでご報告します。

発電用原子炉施設故障等報告書

2022年8月23日

関西電力株式会社

	関西電力株式会社						
件 名	高浜発電所4号機 蒸気発生器伝熱管の損傷について						
事象発生の日時	2022年7月8日 13時00分 (技術基準に適合していないと判断した日時)						
事象発生の場所 高浜発電所4号機 原子炉格納容器内							
事 象 発 生 の 原子炉冷却系統施設 一次冷却材の循環設備 蒸気発生器 (A、BおよびC) 発電用原子炉施設名							
事象の状況	1. 事象発生の状況 高浜発電所4号機(加圧水型軽水炉、定格電気出力87万kW、定格熱出力266万kW)は、2022年6月8日より第24回定期検査中であり、3台ある蒸気発生器(以下「SG」という。)の伝熱管*1全数について、健全性を確認するため渦流探傷試験*2(以下「ECT」という。)の伝熱管*1全数について、健全性を確認するため渦流探傷試験*2(以下「ECT」という。)を実施した。その結果、A-SGの伝熱管4本、B-SGの伝熱管1本およびC-SGの伝熱管5本について、管支持板*3部付近に、外面からの減肉とみられる有意な信号指示**が認められたことから、実用発電用原子炉及びその附属施設の技術基準に関する規則第18条並びに第56条に適合しておらず、実用発電用原子炉の設置、運転等に関する規則第184条近びに第56条に適合しておらず、実用発電用原子炉の設置、運転等に関する規則第134条に該当することを、2022年7月8日13時00分に判断した。なお、有意な信号指示ではないものの、A-SGの伝熱管1本およびB-SGの伝熱管1本について、管支持板部付近の外面に判定基準未満の微小な信号指示が認められた。*1 SGの中で一次冷却材(1次側)と給水(2次側)の熱交換を行う逆U字形の管轄。一次冷却材は入口管板部(高温側)から入り、給水と熱交換後に出口管板部(低温側)へ流れる。*2 高周波電流を流したコイルを伝熱管に挿入することで伝熱管に渦電流を発生させ、伝熱管の欠陥により進じる渦電流の変化を電気信号として取り出すことで欠陥を検出する試験(ECT:Eddy Current Test)。全周に対して渦電流の発生と検出を別々のコイルを用いた24組のコイルで伝熱管の欠陥による渦電流の変化を信号として検出する。 *3 伝熱管を支持する部品。 *4 ノイズレベル(雑音信号レベル)を超える信号であって、管支持板等の外部構造物あるいは伝熱管の形状等に起因する信号(疑似信号)ではない信号指示。 2. ECT結果 (1)検査期間						
	2022年6月23日 ~ 2022年7月 8日(定期事業者検査終了日) 探傷検査・データ整理期間 2022年6月23日~2022年7月 5日 解析・評価検査期間 2022年7月 6日~2022年7月 8日						
	(2) 検査範囲 SGの施栓* ⁵ 済みの伝熱管を除く、全数の伝熱管についてECTを実施した。 (単位:本)						
	SG A B C 合計						
	* ⁵ 伝熱管の1次側出入口部分に機械式栓を用いて栓をし、供用外とすること。 						
	(3)検査結果 ECTデータを評価した結果* ⁶ 、10本の伝熱管に有意な信号指示を確認した。 リサージュ表示* ⁷ (信号表示)で分析した結果、いずれも伝熱管外面の周方向に沿っ た非貫通のきずの特徴を有していた。 また、有意な信号指示が認められた箇所を色調図表示* ⁸ で分析した結果、管支持板部						
	付近であった。						

今回有意な信号指示を確認した箇所について、高浜発電所4号機前回(第23回)定期検査におけるECTデータを確認した結果、外面に有意な信号指示が認められなかっ

たことを確認した。

なお、有意な信号指示ではないものの、A-SGの伝熱管1本およびB-SGの伝熱 管1本について、管支持板部付近の外面に判定基準未満の微小な信号指示を確認した。

(単位:本)

				(== -
SG	A	В	С	合 計
指示管本数	4	1	_	1 0
(微小な信号指示)	(1)	(1)	5	(2)

A - SG

第四管支持板 X39,Y 1:減肉率 約47% 第四管支持板 X24,Y 1:減肉率 約25% 第三管支持板 X26,Y 9:減肉率 約33% 第三管支持板 X26,Y10:減肉率 約40%

(第四管支持板 X87, Y 2:判定基準未満の微小な信号指示)

B-SG

第四管支持板 X84, Y9: 減肉率 約49%

(第三管支持板 X69,Y3:判定基準未満の微小な信号指示)

C - SG

第四管支持板 X37, Y22: 減肉率 約34% 第四管支持板 X89, Y3: 減肉率 約31% 第三管支持板 X39, Y5: 減肉率 約49% 第三管支持板 X86, Y8: 減肉率 約35% 第三管支持板 X71, Y5: 減肉率 約34%

- *6 一般社団法人日本機械学会 発電用原子力設備規格 維持規格(2012年版/2013年追補/2014年追補) JSME S NA1-2012/2013/2014 S G 伝熱管に対する判定基準に従う。
- *7 渦電流変化の電気信号を図で表したもの(水平成分および垂直成分を同一画面に表示)。
- *8 24組分のコイルのチャートを平面状に並べ、信号振幅に応じて色調として表示させたもの。伝熱管全長についての信号指示の大きさや位置等の分析に用いる表示方法。

1. 原因調査

外面減肉を示す信号指示があった伝熱管の原因調査を実施した。

(1) 高浜発電所3号機および4号機におけるSG伝熱管外面の損傷事象の経緯

高浜発電所3号機および4号機では、高浜発電所3号機前回(第24回)、高浜発電所3号機前々回(第23回)および高浜発電所4号機前々回(第22回)定期検査において、SGの伝熱管に外面からの減肉信号指示が認められており、原因は、管支持板下面に留まった異物と伝熱管が繰り返し接触したことにより摩耗減肉が発生したものと推定した。

その後、異物対策を実施した高浜発電所4号機前回(第23回)定期検査においても、 外面からの減肉信号指示が認められたため、小型カメラによりSG器内を調査した結果、 減肉箇所にスケール*9の接触を確認するとともに、このスケールの外観観察の結果、伝熱 管減肉部と接触していたと想定される部位に接触痕および光沢を確認した。

このため、高浜発電所4号機前回(第23回)定期検査においてSG器内のスケールの性状等の調査や回収スケールによる摩耗試験などを実施した結果、SG伝熱管が減肉した原因は、伝熱管表面から剥離した稠密なスケールによるものと推定した。

これらのことから、2018年8月以降、高浜発電所3号機前回(第24回)および高 浜発電所4号機前回(第23回)定期検査において発生したSG伝熱管の外面減肉に対し、 対策としてSG器内の薬品洗浄*¹⁰を実施し、回収したスケールが脆弱化していることを 確認した。

その後、高浜発電所3号機今回(第25回)定期検査において、スケールによるものと推定される伝熱管の外面減肉事象が再度発生したことを踏まえ、高浜発電所3号機前回(第24回)定期検査で実施した薬品洗浄の再現試験を行った。その結果、スケール近傍にスラッジが存在する場合はスケールの脆弱化効果が低減することを確認したため、薬品洗浄の前にスケールおよびスラッジを可能な限り除去することとし、小型高圧洗浄装置を用いて管支持板上も含めたSG器内の洗浄を実施した。

SG器内洗浄後、小型カメラによりSG器内の状況を確認した結果、管支持板上等のスケールおよびスラッジを大幅に低減できたことを確認した。

また、薬品洗浄については、SG器内の構成部品に大きな影響を及ぼすことなくスケールの脆弱化を図る薬品洗浄条件について再度検討した。

事象の状況

その結果、伝熱管全域を薬品濃度3%での薬品洗浄を2回実施することにより、スケール近傍にスラッジが存在する場合でもスケールを脆弱化できることを工場試験で確認できたことから、同条件(薬品濃度、回数)での洗浄を実施した。洗浄後にSG器内からの鉄除去量を評価した結果、1台あたり約1,000kgの鉄分が除去された。

- *9 2次系配管等に含まれる鉄イオンや鉄の微粒子が、給水系統によってSG器内に流れ集まって生成されたもの。伝熱管で生成されたものをスケール(フレーク状(板状)に剥がれ落ちたものを含む)という。
- *10 希薄なエチレンジアミン四酢酸(EDTA: Ethylene Diamine Tetra acetic Acid)によりスケール中の鉄を一部溶解し、スケールの粗密化によって表面積を拡大することでSG伝熱性能の回復を図る手法。
- (2) SG伝熱管内面(1次側)からの損傷 ECTの信号指示により、伝熱管内面(1次側)にきずがないことを確認した。
- (3) SG伝熱管外面(2次側)からの損傷
 - a. デンティング*11

ECTの信号指示を確認した結果、デンティングではないと考える。

*** 管支持板の腐食およびそれに伴う腐食生成物の体積膨張による伝熱管の変形をいう。

b. 粒界腐食割れ

過去にSG2次側環境においてアルカリ環境と酸化銅等による酸化性雰囲気を経験したプラントで、粒界腐食割れが発生した実績があるが、高浜発電所4号機のようなアンモニアとヒドラジンによるAVT(All Volatile Treatment)処理*12を実施し、良好な還元性雰囲気が維持されているプラントでは発生していないことから、発生の可能性はないと考える。また、小型カメラによる目視点検結果から機械的な影響による減肉であると考えることから、粒界腐食割れの可能性はないと考える。

*12 p H調整剤のアンモニアと酸素除去剤のヒドラジンで水質調整を行う揮発性物質処理。

c. ピッティング

過去にSG2次側環境において海水リーク等による塩化物環境と酸化銅等による酸化性雰囲気を経験したプラントで、ピッティングが発生した実績があるが、高浜発電所4号機のような塩素濃度が十分低く管理され、かつ、アンモニアとヒドラジンによるAVT処理を実施し、良好な還元性雰囲気が維持されているプラントでは発生していないことから、発生の可能性はないと考える。また、小型カメラによる目視点検結果から機械的な影響による減肉であると考えることから、ピッティングの可能性はないと考える。

d. リン酸減肉

過去の2次系水処理において、リン酸を使用していたプラントでリン酸による減肉が 発生した実績があるが、高浜発電所4号機のようなアンモニアとヒドラジンによるAV T処理を実施しているプラントでは発生していないことから、発生の可能性はないと考 える。また、小型カメラによる目視点検結果から機械的な影響による減肉であると考え ることから、リン酸減肉の可能性はないと考える。

e. 流体振動による疲労

管支持板部の流れによる伝熱管の管支持板部の応力は、疲労限に比べ非常に小さく、疲労損傷は発生しないと考える。

f. エロージョン

当該部流速は約 であり、かつ、インコネルTT600は耐エロージョン性が高いことから(室温条件では約70m/s以上がエロージョン発生領域)、エロージョンの発生はないと考える。

なお、室温条件にて評価を行っているが、温度によるエロージョンへの影響は小さく、常温の知見を用いても問題ないことを評価している。

g. 摩耗減肉

A、BおよびC-SGの減肉信号を確認した伝熱管について、小型カメラによる目視点検を実施した結果、機械的な影響によるものとみられる減肉を確認したため、以下の確認を実施した。

(a) 減肉伝熱管2次側からの確認結果

ア. 伝熱管外観観察

小型カメラを用いて、減肉信号を確認した伝熱管の外観観察を実施したところ、 以下のとおり摩耗痕とみられる箇所を確認した。

(7) A-SG

第四管支持板下面付近(X39, Y1):

周方向約3mm、軸方向1mm以下(減肉率:約47%)

第四管支持板下面付近(X24, Y1):

周方向約2mm、軸方向1mm以下(減肉率:約25%)

第三管支持板下面付近(X26, Y9):

周方向約4mm、軸方向1mm以下(減肉率:約33%)

第三管支持板下面付近(X26, Y10):

周方向約4mm、軸方向1mm以下(減肉率:約40%)

第四管支持板下面付近(X87, Y2):

周方向約5mm、軸方向1mm以下(減肉率:判定基準未満)

(イ) B-SG

第四管支持板下面付近(X84, Y9):

周方向約7mm、軸方向約1mm (減肉率:約49%)

第三管支持板下面付近(X69, Y3):

周方向約5mm、軸方向約1mm (減肉率:判定基準未満)

事象の原因

(ウ) C-SG

第四管支持板下面付近(X37, Y22):

周方向約6mm、軸方向1mm以下(減肉率:約34%)

第四管支持板下面付近(X89, Y3):

周方向約6mm、軸方向1mm以下(減肉率:約31%)

第三管支持板下面付近(X39, Y5):

周方向約4mm、軸方向1mm以下(減肉率:約49%)

第三管支持板下面付近(X86, Y8):

周方向約4mm、軸方向1mm以下(減肉率:約35%)

第三管支持板下面付近(X71, Y5):

周方向約5mm、軸方向1mm以下(減肉率:約34%)

イ. ECT信号との比較

伝熱管2次側減肉部位における外観観察結果は、ECTにより得られる減肉信号指示と相違ないことを確認した。

(b) 管支持板との接触

ア. 管支持板ベイ部*13の信号

構造上、伝熱管と管支持板ベイ部は接触しない。また、運転中に伝熱管へねじれ を発生させる外力は発生せず、伝熱管と管支持板ベイ部は接触しない。

*13 管支持板に加工されている四ツ葉型管穴のうち凹面部。

イ. 管支持板ランド部*14の信号

管支持板との接触により摩耗減肉が発生したのであれば、4箇所の管支持板ランド部に減肉が生じることになるが、目視点検の結果からは4箇所の管支持板ランド部の減肉は確認できなかったため、管支持板との接触・摩耗によって発生した減肉ではないと考える。

*14 管支持板に加工されている四ツ葉型管穴のうち凸面部。

(c) SG器外発生物との接触

ア. 過去事象を踏まえた異物混入対策

美浜発電所3号機の異物混入事象(2000年、2007年)を踏まえた従前の異物混入対策(開口部管理の徹底等)に加え、高浜発電所3号機前々回(第23回)定期検査以降の伝熱管減肉事象を踏まえた異物混入対策(機器内部に立ち入る前に、器内作業用の作業服に着替え、靴カバーを着用する等)については、高浜発電所4号機前回(第23回)定期検査においても実施していることを確認した。

イ、SG器内点検

A、BおよびC-SGの減肉信号を確認した伝熱管並びにAおよびB-SGの判定基準未満の微小な減肉信号を確認した伝熱管について小型カメラにて目視点検を実施した結果、信号指示箇所にスケール等の付着物は認められなかったものの、当該伝熱管周辺の管支持板に接触痕を確認した。

また、A、BおよびC-SG器内の管板、流量分配板、第一〜第七管支持板の上面の全ての範囲並びに第三、第四管支持板の下面の減肉信号を確認した伝熱管周辺部について、小型カメラによる目視点検を実施した結果、全体的にスケールおよびスラッジ*15が残存していることを確認したが、それら以外の異物は確認できなかった。*15 2次系配管等に含まれる鉄イオンや鉄の微粒子が、給水系統によってSG器内に流れ集まって生成されたもの。伝熱管で生成されたものをスケール(フレーク状(板状)に剥がれ落ちたものを含む)といい、スケールを形成せず粒子状となり、水中を漂うものや、スケールが砕けて小さくなったものが管支持板上等に堆積したものをスラ

ウ. SG器外点検

ッジという。

SGブローダウン系統およびタービンサンプラインの仮設ストレーナの開放点 検や弁、配管の内部点検等を実施した結果、スケールおよびスラッジや、2次系 配管の内表面から生じたと考える鉄錆は確認したが、それ以外の異物は確認でき なかった。

以上の調査結果から、SG器内に異物が混入している可能性はない。

(d) SG器内発生物との接触

ア、SG内部品の脱落調査

SG内部品が脱落し、伝熱管を減肉させる可能性を設計図書により確認したところ、薄片形状として、振止め金具のキー固定板等を内部品として使用している。ただし、これらの内部品は、溶接止めされていること、もしくは、周囲を溶接止めされた構造物に囲まれており、万が一、脱落したとしても周囲の構造物の外には出ないことから、内部品が脱落した可能性はないと考える。

なお、伝熱管を減肉させる薄片形状と異なるものの、SG器内(2次側)の経 年劣化事象を起因とする内部品の脱落として、流れ加速型腐食による給水内管裏 当金を想定するが、高浜発電所4号機前々回(第22回)定期検査において、当 該部のカメラによる目視点検を実施しており、給水内管裏当金の溶接部が全く損 傷していなかったことから、脱落した可能性はないと考える。

イ. スケールによる伝熱管損傷の可能性調査

これまでの経緯を踏まえ、SG伝熱管の外面減肉の原因は、SG伝熱管から剥離した稠密なスケールの可能性が否定できないため、SG器内のスケール残存状況および回収したスケール調査を実施した。

(ア) SG器内のスケールおよびスラッジの残存状況等の調査

小型カメラを用いて、A、BおよびC-SGの管板〜第七管支持板の上面の調査を行った結果、スケールおよびスラッジが残存していることを確認した。 SG器内のスケールおよびスラッジの残存状況等の調査に合わせ、伝熱管の外観観察を行った結果、ほぼ全ての伝熱管は全面的にスケールに覆われていた。また、一部の伝熱管は局所的にスケールが剥離した痕跡等も認められた。これらの状況については、高温側と低温側(水平方向)、管支持板間(上下方向)において有意な差は認められなかった。

事 象 の 原 因

(イ) SGから回収したスケールの性状調査

I. 各SG器内のスケール回収

A、BおよびC-SGの管板、第一〜第三管支持板上面に残存しているスケールのうち、比較的大きなものを選定し、約200個を回収した。また、今後の知見拡充のため、A、BおよびC-SGからスケールを更に約200個回収した。

Ⅱ. 回収したスケールの化学成分および形状分析結果

回収したスケールについて、化学成分分析を実施した結果、主成分はマグネタイトであり、SG器内で発生するスラッジと同成分であることを確認した。A、BおよびC-SGの管板、第一〜第三管支持板上面から取り出したスケールは、主に多角型、長尺型に分類され、長さが最大のものは、前者が長さ約25mm、幅約13mm、後者が長さ約29mm、幅約6mmであり、これらのスケールは管支持板の流路穴よりも大きく、運転中に管支持板下面に留まる可能性のある形状であった。また、これらのスケールについては、目視確認の結果、やや湾曲した形状をしており、そのうち各SGから取り出した15個のスケールについて3次元測定器により計測した結果、直径約22.3~22.5mmの円筒状に沿った形状であり、伝熱管(円筒)の外径(直径22.2mm)に近いことを確認した。

Ⅲ. 回収したスケールの断面観察結果および摩耗試験結果

スケール120個を対象に断面観察を行った結果、稠密層(密度の高い酸化 鉄の層)が主体のスケールを48個確認した。

また、スケール 50 個(約10 mm×約5 mm以上)を対象に摩耗試験を行い、伝熱管とスケールの摩耗体積比 *16 を調査した結果、伝熱管の減肉量がスケール摩滅量以上のスケールを2 個確認した。

*16 摩耗試験における伝熱管の滅肉量とスケールの摩滅量の体積比。

IV. 接触痕を有するスケールの調査

減肉が認められた伝熱管に接触していた可能性のあるスケールを調査するために、A、BおよびC-SG器内から取り出したスケールの外観を観察した。このうち、AおよびB-SG伝熱管減肉部の下方(第二管支持板上面)に残存していたスケール各1個については、伝熱管減肉部と接触していたと想定される部位に接触痕および光沢があった。

これらのスケールの形状を計測した結果、直径約 $22.6 \, \mathrm{mm}$ (A-SG採取スケール)、直径約 $22.3 \, \mathrm{mm}$ (B-SG採取スケール)の円筒状に沿った形状であり、伝熱管(円筒)の外径(直径 $22.2 \, \mathrm{mm}$)に近い形状であった。

走査型電子顕微鏡(以下「SEM」という。)による観察を行った結果、接触想定部位に伝熱管との摺動によりできたものと推定される筋状痕があった。

化学成分分析の結果、主成分はマグネタイトで、SG器内で発生するスラッジと同成分であり、接触想定部位に伝熱管の主成分であるニッケルおよびクロムの成分を検出した。

これらのスケールを切断して断面を観察した結果、スケールの厚さは約0.2 mm (A-SG採取スケール)、約0.3 mm (B-SG採取スケール)であり、稠密層が主体のスケールであった。

(4) 損傷以外のECT信号指示

局所的なスケールの剥離は、減肉と識別できることから、今回の信号指示は、スケールの剥離ではないと考える。

(5) 減肉メカニズムの検討

これまでの原因調査の結果、薬品洗浄後においても、稠密なスケールがSG器内に残存し、伝熱管の外面減肉を発生させた可能性が高いことから、減肉を発生させるスケールの生成・剥離メカニズム、SG器内のスケールの挙動およびスケールが伝熱管を損傷させる可能性について、以下のとおり調査および検討を実施した。

事 象 の 原 因

a. スケールの生成メカニズム

(a) スケールの生成および性状の調査

これまでの水化学に関する知見から、2次系構成機器の流れ加速型腐食等で生じる鉄イオンや鉄の微粒子が、給水とともにSG2次側へ持込まれ、次の2つの現象が発生することでSG伝熱管表面にスケールとして付着することがわかっている。 ア. 析出付着

給水とともにSG2次側へ持込まれる鉄イオンは、SG2次側温度域においては、高温ほど溶解度が小さくなるため、より高温となる伝熱管下部において、溶解度の減少幅が大きく、鉄イオンがマグネタイトとして析出付着する。そのため、伝熱管の下部に付着するスケールは稠密で薄い傾向がある。

イ.蒸発残渣

伝熱管の上部では、伝熱管表面と給水の温度差が伝熱管の下部に比べて小さく沸騰現象が顕著であることから、鉄イオンの析出付着よりも、鉄の微粒子が蒸発残渣として伝熱管表面に残留、堆積する現象が主体である。そのため、伝熱管の上部に付着するスケールは、粗密*17な傾向があり、脆く摩耗に対する耐性も低いと考える。また、蒸発残渣によって残留、堆積する鉄の微粒子の方が析出付着する鉄イオンに比べて粒径が大きいことから、伝熱管の上部で生成するスケールの方が伝熱管の下部より粗密で厚い傾向にある。

*17 密度が比較的低く、粗な状態。

(b) スケール性状の実機調査

1996年に高浜発電所3号機第9回定期検査で健全性確認を目的に伝熱管の抜管調査を実施した際、伝熱管各部位(SG上方からUベンド部、第六から第五管支持板の間、第四から第三管支持板の間、第三から第二管支持板の間、第二から第一管支持板の間)のスケールについて、断面ミクロ観察を実施している。その結果、伝熱管の上部のスケールほど粗密で厚く、伝熱管の下部ほど稠密で薄いことを確認した。

また、2020年に高浜発電所3号機前回(第24回)および高浜発電所4号機前回(第23回)定期検査で、伝熱管の上部(第七管支持板上)および伝熱管の下部(第二から第一管支持板の間)からスケールを回収し、性状を確認した結果、伝熱管の上部(第七管支持板上)のスケールは粗密で厚く、伝熱管の下部(第二から第一管支持板の間)では稠密で薄いことを確認した。

以上の調査結果から、稠密なスケールは伝熱管の下部で発生し、粗密なスケールは伝熱管の上部で発生することを確認した。

(c) 2次系の水質管理調査

スケールは、給水とともに持込まれる鉄イオンおよび鉄の微粒子により、経年的 に厚さが増加すると考えられることから、以下のとおり厚さの増加に関する調査を 実施した。

ア. 水処理履歴

SG給水における水質管理の項目として、電気伝導率、溶存酸素濃度、アンモニア濃度およびヒドラジン濃度等がある。これらの過去の水質管理実績を確認したところ、いずれも基準値を満足しており問題はなかった。

SG器内への鉄の持込みに関係する項目はp Hであり、2 次系構成機器の流れ加速型腐食等による給水中への鉄の放出を抑制するためにはアルカリ側に水質管理を行う必要がある。そのため、これまでp H上昇によりSG器内への鉄の持込み量低減を図るべく、AV T処理(p H 9. 2)、E T A * 18 処理(p H 9. 4 ~ 9. 5)、高E T A 処理(p H 9. 8)、高アンモニア処理(p H 9. 8)のようにp Hの高い処理方法へと改善を図ってきた。

各水処理における給水中の鉄含有量の実測データは次のとおりであり、pHの低い水処理方法ほど給水中の鉄含有量が多いことが分かっている。*18 エタノールアミン。

イ. 給水中の鉄含有量

上記水処理方法での給水中の鉄含有量は次のとおりである。

		11 = 10 - 5 1 - 5 1 - 5 1 - 5 1
	水処理方法	給水中の鉄含有量
Α	VT処理	約5~10ppb
E	TA処理	約3ppb
高	ETA処理	約1ppb
髙	アンモニア処理	約1ppb

ウ. 運転時間

上記水処理方法での運転時間は次のとおりである。

	- · · · · - ·
水処理方法	運転時間
AVT処理	約9.8万時間
ETA処理	約8.0万時間
高ETA処理	約2.0万時間
高アンモニア処理	約3.4万時間

エ,鉄の持込み量

上記水処理方法での運転時間における鉄の持込み量と、合計の鉄の持込み量を算出した結果は次のとおりである。

1 01C411/(100/(100/C40) (100/00)	
水処理方法	鉄の持込み量/SG
AVT処理	約1,680kg
ETA処理	約650kg
高ETA処理	約70kg
高アンモニア処理	約120kg
合計	約2,520kg

事象の原因

以上の調査結果から、水処理方法に応じた量の鉄が経年的に持込まれていることを確認した。

(d) スケール厚さに関する実機調査

スケール厚さの傾向を推定するパラメータとして、主蒸気圧力やSG伝熱抵抗係数*19があり、その変化量を確認した結果、いずれも運転時間の経過とともに圧力低下や係数増加が認められ、スケール厚さは経年的に増加するものと推定される。

また、高浜発電所3号機第8回(1995年)および第14回(2002年)定期検査において、スケール厚さを把握するため、周波数3kHzのECTを実施した結果、第8回から第14回定期検査までの6サイクルで増加したスケール厚さは、数十 μ m~100 μ m程度であった。

*19 伝熱管の外表面に不純物が付着するなどにより、熱伝達特性を低下させる度合いを示す 指標。

以上の結果から、スケール厚さは経年的に増加していくものであることを確認した。また、現在では高ETA処理や高アンモニア処理によって給水のpHを高く維持することで、1 サイクルあたりの鉄の持込み量は数+k g/SG程度に抑えられていることを確認した。

b. スケールの剥離メカニズム

(a) 剥離メカニズムの検討

伝熱管表面に生成したスケールが主に剥離するのは、起動停止時の伝熱管の熱伸びと収縮によるものと推定される。具体的には次のア. 〜ウ. のとおりであり、スケールはプラント停止時の伝熱管の熱収縮に追従できずにフレーク状(板状)に剥離したものと推定される。

- ア. プラント起動時の伝熱管の熱伸びに伴い伝熱管表面のスケールに割れが生じる。
- イ. プラント運転中に割れの隙間が新たに生成したスケールで埋まる。
- ウ. プラント停止時に隙間の埋まったスケールは、伝熱管の熱収縮に追従できず 剥離する。

また、プラント起動時および運転中においても、停止時に剥離しなかったスケールが、伝熱管の振動やSG器内の流れの影響により剥離する可能性も否定できない。

(b) 長期停止の影響調査

東日本大震災以降、2011年7月に定期検査を開始し、その後、2017年5月に再稼動するまでの約6年間、プラントは長期停止状態となっていた。その間、SG器内は腐食を防止するためヒドラジン水による満水保管状態としていたことから、この状態がスケール剥離挙動に与える影響を調査するため、スラッジ(粒の観察を容易にするため粉末状スラッジを使用)を対象にヒドラジン水による浸漬試験を1か月間実施した。その結果、時間の経過とともにスケールを構成する鉄粒子同士が合わさり粒径が大きくなることを確認した。これは、ヒドラジンの還元作用でスケールの鉄が一部溶解、再析出を繰り返し、粒径が大きくなったものと推定される。

粒径が大きくなると、伝熱管との接触面積が減少し、剥離が促進される可能性がある。スケールの剥離量が増えるとスラッジランシングでのスケール回収量が大きくなる可能性があるため、高浜発電所 4 号機の長期停止前後の回収量を調査した結果、長期停止前はSG3台から約20kgのスケール等を回収したが、長期停止後の第21回定期検査時には約40kgと増加していることを確認した。

以上により、長期停止後は、スケールの粒径が大きくなったことで伝熱管との接触面積が減少し、プラントの運転等に伴い伝熱管からスケールが多数剥離したと推定される。

c. SG器内挙動の推定およびスケールと伝熱管の接触状態の再現性確認

SG器内調査およびスケール分析の結果、今回の外面減肉はスケールによる摩耗の可能性が高いことから、剥離したスケールがSG器内で第三および第四管支持板下面へ到達するまでの挙動を推定した。また、SG2次側器内の流況モックアップ試験により、実機を模擬した二相流の条件においても、推定した伝熱管へのスケールの接触状態が再現するかの確認を実施した。なお、評価に当たっては、SG器内で確認されているスケールを参考に形状を想定して評価した。

(a) 器内のスケール挙動検討

運転中のSG2次側器内の流況下では流体抗力がスケールの落下力を上回ることから、スケールは管群内の上昇流に乗って流量分配板および各管支持板フロースロット部を通過し、減肉箇所へ到達したことが考えられる。

(b) SG2次側器内の流況モックアップ試験

SG2次側器内の流況を再現するモックアップ試験結果から、実機を模擬した二相流の条件においてスケールの接触状態が再現できることを確認した。

- d. スケールが伝熱管を損傷させる可能性の調査
- (a) 高浜発電所4号機前回(第23回) 定期検査における薬品洗浄の実施結果
 - ア. 薬品洗浄効果

薬品洗浄時の条件を確認した結果、温度管理や薬品濃度管理が計画どおり実施されていたことを確認し、薬品洗浄によって、SG1台あたり、約680kgの鉄分を除去できていたことを確認した。

また、定期検査後の運転実績を確認した結果、主蒸気圧力が向上し、SG伝熱抵抗係数が低下したことを確認した。これは、薬品洗浄の効果により伝熱管に付着したスケールが減少し、熱伝達率が改善したものと考えられる。

イ、スラッジ影響を考慮した薬品洗浄効果の確認試験結果

高浜発電所4号機前回(第23回)定期検査において、スケールの脆弱化を目的として薬品洗浄を実施したが、今回(第24回)定期検査にてSG器内から回収したスケールを分析したところ、稠密層厚さが0.1 mmを超えるスケールが確認されたことから、薬品洗浄効果の確認試験を行った。

確認試験は実機薬品洗浄時のSG器内環境(薬品濃度、温度等)を模擬した水槽中で実施した。また、SG器内における薬品との接液環境を模擬するため、水槽中にはスケールおよびスラッジに加え、SG器内構成部品と同材料の試験片を設置し、スケールおよびスラッジの比率やスケール周辺のスラッジ量を変化させ

た3パターンの試験を実施した。その結果、スケール周辺のスラッジ量が多くなった場合は、薬品洗浄によるスケールの脆弱化効果が低減することを確認した。

以上により、高浜発電所4号機前回(第23回)定期検査における薬品洗浄により鉄分が一定量除去されており、SG器内のスケールはおおむね脆弱化していたと推定されるが、SG器内にスケールとスラッジが混在していたことから、一部のスケール脆弱化効果が低減し、前回薬品洗浄後においても脆弱化できなかったスケールが一部存在していたものと推定される。

なお、高浜発電所3号機前回(第24回)定期検査において薬品洗浄後にスケールのサンプル調査を実施し、脆弱化していたことを確認していたが、今回のサンプル調査では稠密層が厚いスケールが比較的多く見つかった。その要因としては、前回の薬品洗浄により脆弱化されたスケールの多くは運転中にスラッジになり、稠密層が厚いものがスケールとして残ったためと推定される。

(b) 摩耗形態の推定

スケールとの接触で伝熱管が摩耗する場合、スケールの振動により摩耗するケースと、伝熱管の振動により摩耗するケースが考えられるため、次のとおり各ケースで想定されるワークレート*20の比較を実施した。

*20 摩耗体積を評価する一般式で用いられる摩耗を生じさせる力で、押付力と摺動速度の積で表現される。

ア. スケール振動のケース

本ケースではスケールの端部が拘束された片持ち梁の状態を想定する。この想定に基づきワークレートを計算すると、スケールでは流体力を受ける面積が小さいため、有意な減肉が生じるワークレートは発生しないことを確認した。

イ. 伝熱管振動のケース

本ケースでは、スケールが管支持板下面で保持され、接触する伝熱管のランダム振動*2¹により伝熱管自身に減肉が発生したことを想定する。管支持板部の伝熱管の振幅は、伝熱管と管支持板BEC穴ランド部の隙間に制限されるため、隙間が確保され振幅が大きくなる伝熱管においてスケールとの接触により減肉が生じるものと推定される。本推定に基づきワークレートを試算すると、スケール振動のケースに比べて十分大きなワークレートが得られることを確認した。

*21 蒸気と水が伝熱管に衝突する力と、伝熱管の周りに生じる流れの乱れによって伝熱管が振動する現象。

上記ア.、イ.から、発生した減肉は伝熱管振動によるものと推定されるため、以下では伝熱管振動により減肉が発生したものと想定して検証を実施した。

なお、伝熱管振動のケースでは、最大減肉深さは伝熱管の振動振幅に制限されるため、減肉の進展により伝熱管を貫通することはない。

(c) 減肉形状の再現性確認試験

推定したスケールと伝熱管の接触状態および摩耗形態で実機の減肉形状が再現できるか確認するため、次のとおり減肉試験を実施した。また、減肉試験で得られた減肉形状と同等の人工欠陥を与えた伝熱管のモックアップ試験体のECT信号を取得し、実機のECT信号と比較した。

ア. 減肉試験

スケールの接触状態を推定した上で、減肉の発生および減肉形状の観察を容易にするため石膏で製作した2倍スケールの模擬伝熱管を振動させ、模擬スケールの角部または一辺を接触させることにより、減肉を発生させた。

イ、ECTモックアップ試験

上記ア.で得られた減肉形状と同等の形状を有する人工欠陥を伝熱管モックアップ試験体に与え、そのECT信号を取得し、実機のECT信号と比較した結果、両者は整合することを確認した。

(d) ワークレートによる摩耗体積評価

上記(b) および(c) で推定した接触状態および摩耗形態を踏まえ、流動振動解析により算出したスケールと伝熱管の摩耗のワークレートを用いて、1サイクルの運転時間で発生する摩耗体積を計算した。算出した摩耗体積と上記(c)で実機減肉形状と整合することを確認した人工欠陥の摩耗体積を比較した結果、両者は整合することから、今回認められた外面減肉は、スケールとの接触により1サイクルで発生した可能性があることを確認した。

e. 高浜発電所3号機および4号機の特異性

(a) 当社他プラントとの鉄持込み量、薬品洗浄実績およびスケール回収量の比較

鉄の持込み量について、比較のため当社他プラントの調査を実施した。また、大 飯発電所3号機および4号機では薬品洗浄を実施しており、スケール性状に影響を 与えている可能性があることから、その実績を確認した。さらに、スケールの厚さ や長期停止に伴うスケールの剥離量は、スケール回収量に現れている可能性がある ことから、あわせて長期停止前後のスケール回収量について比較調査を実施した。

ア. 鉄持込み量および薬品洗浄実績

各プラントの鉄持込み量および薬品洗浄実績を調査した結果は表1のとおりである。鉄持込み量は高浜発電所3号機および4号機が最も多く、続いて大飯発電所3号機および4号機であり、SG取替えを実施している美浜発電所3号機並びに高浜発電所1号機および2号機が少ないことを確認した。

以上から、鉄持込み量が最大の高浜発電所3号機および4号機のスケールが、 最も稠密層が厚く成長しているものと推定した。

<表1:各プラントの鉄持込み量および薬品洗浄実績>

	高浜発電所		大飯多	è電所	美浜発電所 高浜発		企電所
	3 号機	4 号機	3 号機_	4 号機	3 号機	1 号機	2 号機
運転時間* ²² (万時間)	23. 2	23. 2	17. 0	18. 2	9. 3	10. 9	12. 5
鉄持込み量 (kg)	2, 650	2, 520	1,850	1, 970	810	680	940
薬品洗浄 実績回数	2 回	1回	2 回	1 回			
薬品洗浄時点 の運転時間 (万時間)	22.3 (第 24 回) 23.2 (第 25 回)	22. 2 (第 23 回)	16.1 (第17回) 17.0 (第18回)	16.2 (第 16 回)	_	_	

^{*22} 美浜発電所3号機、高浜発電所1号機および2号機については、SG取替え以降の運転時間を示す。なお、運転時間については、現時点で直近の定期検査解列時点とする。

イ. スケール回収量

スケール回収量*23を確認した結果、高浜発電所3号機および4号機では、いずれも長期停止後にスケール回収量が増加していた。

一方、大飯発電所3号機および4号機では長期停止前後でスケール回収量に変化は認められなかった。

これにより、長期停止に伴うスケール剥離の増加は、スケールが厚く成長したSGほど顕著であると推定される。

*23 スラッジランシングで回収したスラッジおよびスケールのうち、スケールの回収量を表2に示す。

<表2:スケール回収量(長期停止前後比較)>

		一人主 (人)別.	, 22,17,100,100,100,100,100,100,100,100,100,	
プラント	長期停止前		長期停止後	
	(kg)		(kg)	
高浜発電所	0.01 未満	0. 41	0. 24	0. 36
3 号機	(第 21 回)	(第 22 回)	(第 23 回)	(第 24 回)
高浜発電所	0.01 未満	12. 37	8. 24	6. 08
4 号機	(第 20 回)	(第 21 回)	(第 22 回)	(第 23 回)
大飯発電所	0.01 未満	0.01 未満	0.01 未満	
3 号機	(第16回)	(第17回)	(第 18 回)	
大飯発電所	0.01 未満	0.01 未満	0.01 未満	
4 号機	(第 15 回)	(第 16 回)	(第17回)	

(b) 当社他プラントとのスケール比較

スケールの稠密層厚さと鉄持込み量に相関があるかを検証するため、当社他プラントのSG下部からスケールを採取し、断面ミクロ観察を実施した結果を確認した。 採取対象プラントは、高浜発電所4号機、大飯発電所3号機および4号機からは薬品洗浄回数の少ない大飯発電所4号機、SG取替えプラント(美浜発電所3号機、高浜発電所1号機および2号機)からは、最も鉄の持込み量の大きい高浜発電所2号機を選定した。なお、高浜発電所3号機については、高浜発電所4号機とスケール性状が同等であることを確認している。

結果は表3のとおりであり、鉄の持込み量が大きいプラントほどスケールの稠密 層(空隙率5%以下)は厚く成長していることを確認した。

∠ 表3		スケー	ル観察結果*24)	5
$\sim \pi r$	-	~~	/ 少性显然会系统 未	_

回収場所	高浜発電所 4 号機 鉄持込み量: 2,490kg	大飯発電所4号機 鉄持込み量: 1,950kg	高浜発電所2号機 鉄持込み量: 940kg	備考		
	空隙率5%以下 の稠密層厚さ:	空隙率5%以下	空隙率5%以下	稠密層厚 さは鉄の		
*** . ***	''' ''' '	の稠密層厚さ:	の稠密層厚さ:	持込み量		
第二管支持板	最大0.18mm	最大0.04mm	— mm			
~			(伝熱管へのス	と相関		
管板間			ケール付着がご			
			く軽微であり、採			
			取できるほどの!			
			厚みなし)			

*24 高浜発電所4号機前回(第23回)定期検査のSG伝熱管外面損傷事象における原因調査の過程で確認。

なお、大飯発電所4号機は第16回定期検査に薬品洗浄を適用していることから、 大飯発電所4号機のスケールは薬品洗浄1回分の粗密化効果の影響もあるものと推 定される。

(c) 伝熱管の摩耗試験結果の比較

上記の調査結果を踏まえ、当社他プラントの中では比較的稠密層が厚い大飯発電所3号機および4号機で採取したスケールについて摩耗試験を実施した。大飯発電所3号機および4号機のスケールは、試験開始後にスケールが欠損するか、スケールの方が早く摩滅するという結果が得られ、伝熱管とスケールの摩耗体積比が最も大きいものでも1:15であった。このため、空隙率5%以下であっても稠密層が薄い場合、有意な減肉を与える可能性は低いことを確認した。

有意な減肉を与える稠密層厚さを検討するため、高浜発電所3号機および4号機から採取したスケールの摩耗試験を実施した結果、空隙率5%以下の稠密層厚さが0.1mm未満のスケールでは有意な摩耗減肉は与えられないことが分かった。

以上により、有意な減肉を発生させる可能性があるのは、空隙率 5%以下の稠密層の厚さが 0.1mm以上のスケールであると考える。

f. スケールにより減肉した国内外事例調査

国内外で報告されている外面減肉事象を調査した結果、国内、海外共にスケールが原因とされた事例は認められなかった。

なお、国内外において、SGの運転時間が高浜発電所3号機および4号機で外面減 肉事象が生じた運転時間以上であり、かつ薬品洗浄の実績が認められず、高浜発電所 3号機および4号機と同等の伝熱管支持構造を有するプラントを調査した結果、8プ ラントのみであることを確認した。

2. 伝熱管の健全性

(1) 減肉伝熱管の健全性

減肉した伝熱管の強度、耐震性について以下のように評価した。

a 強度

「蒸気発生器信頼性実証試験」((財) 発電用熱機関協会、1975年度~1980年度)では、局部減肉を有する伝熱管の内圧強度評価手法を確立するため、内圧による高温破壊試験を実施しており、その試験結果から運転中および事故時を包絡する内外差圧による伝熱管の破断圧力を算出した。

得られた伝熱管の破断圧力は、通常運転時および事故時の最大内外差圧に比べ、十 分裕度があることから、減肉した伝熱管が通常運転時および事故時の内外差圧により 破断することはない。

事象の原因

b. 耐震性

基準地震動Ssによる地震力および伝熱管全長モデルから、伝熱管直管部(管支持板部)に作用する力(部材力)を算出した。

保守的に一様外面減肉と仮定し、伝熱管の断面積を減じた上で部材力から発生応力および疲労累積係数を算出し、許容値に対する裕度を確認した結果、十分な裕度があることから、減肉した伝熱管が地震により損壊することはない。

(2) 隣接伝熱管の健全性

今回減肉が見つかった伝熱管に隣接した伝熱管についても念のため健全性を確認した 結果、有意な減肉信号指示がないことを確認した。

3. 推定原因

A、BおよびC-SG伝熱管で認められた外面減肉は、これまでの運転に伴い、伝熱管表面に生成された稠密なスケールが前回(第23回)定期検査時の薬品洗浄の後もSG器内に残存し、プラント運転中に管支持板下面に留まり、そのスケールに伝熱管が繰り返し接触したことで摩耗減肉が発生した可能性が高いと推定した。

4. 薬品洗浄の条件設定

SGの器内構成部品に大きな影響を及ぼさない範囲で、SG器内のスケールの脆弱化を図る薬品洗浄条件について検討した結果、薬品濃度として3%、洗浄回数を2回とする。また、第四管支持板の下面で減肉が確認されたことも踏まえ、洗浄範囲を1回目、2回目ともにSG伝熱管全域とする。

なお、薬品洗浄の効果を高めるため、薬品洗浄実施前に小型高圧洗浄装置を用いて管支 持板上も含めたSG器内の洗浄を行うことにより、SG器内に残存するスケールおよびス ラッジをできる限り除去することとする。

保護装置の種類 及び動作状況

該当せず

放射能の影響

なし

被 害 者

なし

他に及ぼした障害

なし

復旧の日時

2022年10月下旬(発電機並列予定)

再発防止対策

高浜発電所3号機今回(第25回)定期検査において実施した対策によりSG器内のスケール除去・脆弱化が効果的に実施できたことおよび高浜発電所4号機今回(第24回)定期検査において採取したスケールに対しても、高浜発電所3号機今回(第25回)定期検査で実施した薬品洗浄が有効に作用することを確認したことから、高浜発電所4号機今回(第24回)定期検査においては以下の対策を実施する。

(1) 減肉伝熱管の施栓

外面減肉が認められたA-SG伝熱管5本、B-SG伝熱管2本およびC-SG伝熱管5本について、高温側および低温側のSG管板部で施栓し、供用外とする。

(2) 小型高圧洗浄装置による洗浄

SG器内に残存するスケールおよびスラッジを可能な限り除去するため、小型高圧洗 浄装置を用いて管支持板上も含めたSG器内の洗浄を実施する。

(3) 薬品洗浄による稠密なスケールの脆弱化

SG器内に薬液を注入し、伝熱管全域を薬品に浸した状態で2回洗浄を行い、伝熱管に付着している稠密なスケールを脆弱化させる。

再発防止対策

(4) 今後のSG保全

今回取り出したスケールについては、今後、追加の3次元測定器による計測、断面観察および摩耗試験を実施し、スケールの形状や性状に関する知見の拡充に努める。

また、毎定期検査時にスケールを回収し、スケールの稠密層厚さの確認および摩耗試験を実施する。確認および摩耗試験では、稠密層厚さ0.1 mm未満および摩耗体積比0.1未満であることを確認し、それを超えた場合は薬品洗浄や小型高圧洗浄装置による洗浄を実施する。

さらに、高浜発電所 3 号機および 4 号機の S Gについては、インコネルTT 6 0 0 製の伝熱管に応力腐食割れが認められていることから、本事象も踏まえ、今後も引き続き、S G取替えに係る検討を進めていく。

高浜発電所 4 号機 蒸気発生器伝熱管の損傷について

2022年8月

関西電力株式会社

1. 件 名

高浜発電所4号機 蒸気発生器伝熱管の損傷について

2. 事象発生日

2022年7月8日(技術基準に適合していないと判断した日)

3. 事象発生の発電用原子炉施設 原子炉冷却系統施設 一次冷却材の循環設備 蒸気発生器

4. 事象発生前の運転状況 第24回定期検査中

5. 事象発生の状況

(添付資料-1)

高浜発電所 4 号機(加圧水型軽水炉、定格電気出力 8 7 万 k W、定格熱出力 2 6 6 万 k W)は、2 0 2 2 年 6 月 8 日より第 2 4 回定期検査中であり、3 台ある蒸気発生器(以下「S G」という。)の伝熱管*¹ 全数について、健全性を確認するため渦流探傷試験*²(以下「E C T」という。)を実施した。

その結果、A-SGの伝熱管4本、B-SGの伝熱管1本およびC-SGの伝熱管5本について、管支持板*3部付近に、外面からの減肉とみられる有意な信号指示*1が認められたことから、実用発電用原子炉及びその附属施設の技術基準に関する規則第18条並びに第56条に適合しておらず、実用発電用原子炉の設置、運転等に関する規則第134条に該当することを、2022年7月8日13時00分に判断した。

なお、有意な信号指示ではないものの、A-SGの伝熱管1本およびB-SGの伝 熱管1本について、管支持板部付近の外面に判定基準未満の微小な信号指示が認めら れた。

- *1 SGの中で一次冷却材(1次側)と給水(2次側)の熱交換を行う逆U字形の管群。一次冷却材は入口管板部(高温側)から入り、給水と熱交換後に出口管板部(低温側)へ流れる。
- *2 高周波電流を流したコイルを伝熱管に挿入することで伝熱管に渦電流を発生させ、伝熱管の欠陥により生じる渦電流の変化を電気信号として取り出すことで欠陥を検出する試験(ECT: Eddy Current Test)。 全周に対して渦電流の発生と検出を別々のコイルを用いた24組のコイルで伝熱管の欠陥による渦電流の変化を信号として検出する。
- *3 伝熱管を支持する部品。
- ** ノイズレベル (雑音信号レベル) を超える信号であって、管支持板等の外部構造物あるいは伝熱管の形状等 に起因する信号 (疑似信号) ではない信号指示。

6. 環境への影響

なし

7. ECT結果

(1) 検査期間

2022年6月23日 ~ 2022年7月 8日(定期事業者検査終了日)探傷検査・データ整理期間 2022年6月23日~2022年7月 5日解析・評価検査期間 2022年7月 6日~2022年7月 8日

(2) 検査範囲

SGの施栓*5済みの伝熱管を除く、全数の伝熱管についてECTを実施した。

(単位:本)

SG	A	В	С	合 計
検査対象本数	3,243	3,247	3,253	9,743

^{*5} 伝熱管の1次側出入口部分に機械式栓を用いて栓をし、供用外とすること。

(3) 検査結果

(添付資料-2~4)

ECTデータを評価した結果*6、10本の伝熱管に有意な信号指示を確認した。 リサージュ表示*7(信号表示)で分析した結果、いずれも伝熱管外面の周方向 に沿った非貫通のきずの特徴を有していた。

また、有意な信号指示が認められた箇所を色調図表示**で分析した結果、管支持板部付近であった。

今回有意な信号指示を確認した箇所について、高浜発電所4号機前回(第23回)定期検査におけるECTデータを確認した結果、外面に有意な信号指示が認められなかったことを確認した。

なお、有意な信号指示ではないものの、A-SGの伝熱管1本およびB-SGの伝熱管1本について、管支持板部付近の外面に判定基準未満の微小な信号指示を確認した。

(単位:本)

SG	A	В	С	合 計
指示管本数	4	1	-	1 0
(微小な信号指示)	(1)	(1)	၂ ၁ 	(2)

A - SG

第四管支持板 X39, Y 1: 減肉率 約47% 第四管支持板 X24, Y 1: 減肉率 約25% 第三管支持板 X26, Y 9: 減肉率 約33% 第三管支持板 X26, Y10: 減肉率 約40%

(第四管支持板 X87,Y2:判定基準未満の微小な信号指示)

B - SG

第四管支持板 X84, Y 9:減肉率 約49% (第三管支持板 X69, Y 3:判定基準未満の微小な信号指示)

C - SG

第四管支持板 X37, Y22: 減肉率 約34% 第四管支持板 X89, Y3: 減肉率 約31% 第三管支持板 X39, Y5: 減肉率 約49% 第三管支持板 X86, Y8: 減肉率 約35% 第三管支持板 X71, Y5: 減肉率 約34%

- *6 一般社団法人日本機械学会 発電用原子力設備規格 維持規格 (2012 年版/2013 年追補/2014 年追補) JSME S NA1-2012/2013/2014 S G 伝熱管に対する判定基準に従う。
- * 7 渦電流変化の電気信号を図で表したもの(水平成分および垂直成分を同一画面に表示)。
- *8 24組分のコイルのチャートを平面状に並べ、信号振幅に応じて色調として表示させたもの。伝熱管全長についての信号指示の大きさや位置等の分析に用いる表示方法。

8. 時系列

6月23日 定期事業者検査開始(探傷検査・データ整理)

7月 8日 定期事業者検査終了

A-SG伝熱管4本(2次側)、B-SG伝熱管1本(2次側) およびC-SG伝熱管5本(2次側) に外面からの減肉と認められる有意な信号指示があることを確認

有意な信号指示ではないものの、A-SG伝熱管1本(2次側) およびB-SG伝熱管1本(2次側) に外面からの減肉と認められる判定基準未満の微小な信号指示を確認

各SG器内のカメラによる目視点検を開始

8月12日 各SG器内のカメラによる目視点検完了

9. 原因調査 (添付資料-5)

外面減肉を示す信号指示があった伝熱管の損傷原因を調査するため、要因分析図に基づき、原因調査を実施した。

(1) 高浜発電所3号機および4号機におけるSG伝熱管外面の損傷事象の経緯 (添付資料-6)

高浜発電所3号機および4号機では、高浜発電所3号機前回(第24回)、高浜発電所3号機前々回(第23回)および高浜発電所4号機前々回(第22回)定期検査において、SGの伝熱管に外面からの減肉信号指示が認められており、原因は、管支持板下面に留まった異物と伝熱管が繰り返し接触したことにより摩耗減肉が発生したものと推定した。

その後、異物対策を実施した高浜発電所4号機前回(第23回)定期検査においても、外面からの減肉信号指示が認められたため、小型カメラによりSG器内を調

査した結果、減肉箇所にスケール*⁹の接触を確認するとともに、このスケールの外 観観察の結果、伝熱管減肉部と接触していたと想定される部位に接触痕および光沢 を確認した。

このため、高浜発電所4号機前回(第23回)定期検査においてSG器内のスケールの性状等の調査や回収スケールによる摩耗試験などを実施した結果、SG伝熱管が減肉した原因は、伝熱管表面から剥離した稠密なスケールによるものと推定した。

これらのことから、2018年8月以降、高浜発電所3号機前回(第24回)および高浜発電所4号機前回(第23回)定期検査において発生したSG伝熱管の外面減肉に対し、対策としてSG器内の薬品洗浄*10を実施し、回収したスケールが脆弱化していることを確認した。

その後、高浜発電所3号機今回(第25回)定期検査において、スケールによるものと推定される伝熱管の外面減肉事象が再度発生したことを踏まえ、高浜発電所3号機前回(第24回)定期検査で実施した薬品洗浄の再現試験を行った。その結果、スケール近傍にスラッジが存在する場合はスケールの脆弱化効果が低減することを確認したため、薬品洗浄の前にスケールおよびスラッジを可能な限り除去することとし、小型高圧洗浄装置を用いて管支持板上も含めたSG器内の洗浄を実施した。

SG器内洗浄後、小型カメラによりSG器内の状況を確認した結果、管支持板上 等のスケールおよびスラッジを大幅に低減できたことを確認した。

また、薬品洗浄については、SG器内の構成部品に大きな影響を及ぼすことなく スケールの脆弱化を図る薬品洗浄条件について再度検討した。

その結果、伝熱管全域を薬品濃度3%での薬品洗浄を2回実施することにより、スケール近傍にスラッジが存在する場合でもスケールを脆弱化できることを工場試験で確認できたことから、同条件(薬品濃度、回数)での洗浄を実施した。洗浄後にSG器内からの鉄除去量を評価した結果、1台あたり約1,000kgの鉄分が除去された。

- *9 2次系配管等に含まれる鉄イオンや鉄の微粒子が、給水系統によってSG器内に流れ集まって生成された もの。伝熱管で生成されたものをスケール(フレーク状(板状)に剥がれ落ちたものを含む)という。
- *10 希薄なエチレンジアミン四酢酸(EDTA: Ethylene Diamine Tetra acetic Acid)によりスケール中の鉄を一部溶解し、スケールの粗密化によって表面積を拡大することでSG伝熱性能の回復を図る手法。
- (2) SG伝熱管内面(1次側)からの損傷 (添付資料-7) ECTの信号指示により、伝熱管内面(1次側)にきずがないことを確認した。
- (3) SG伝熱管外面(2次側)からの損傷
 - a. デンティング*¹¹ (添付資料-7)

ECTの信号指示を確認した結果、デンティングではないと考える。

*11 管支持板の腐食およびそれに伴う腐食生成物の体積膨張による伝熱管の変形をいう。

b. 粒界腐食割れ

(添付資料-8)

過去にSG2次側環境においてアルカリ環境と酸化銅等による酸化性雰囲気を経験したプラントで、粒界腐食割れが発生した実績があるが、高浜発電所4号機のようなアンモニアとヒドラジンによるAVT (All Volatile Treatment)処理*1²を実施し、良好な還元性雰囲気が維持されているプラントでは発生していないことから、発生の可能性はないと考える。また、小型カメラによる目視点検結果から機械的な影響による減肉であると考えることから、粒界腐食割れの可能性はないと考える。

*12 p H調整剤のアンモニアと酸素除去剤のヒドラジンで水質調整を行う揮発性物質処理。

c. ピッティング

(添付資料-9)

過去にSG2次側環境において海水リーク等による塩化物環境と酸化銅等による酸化性雰囲気を経験したプラントで、ピッティングが発生した実績があるが、高浜発電所4号機のような塩素濃度が十分低く管理され、かつ、アンモニアとヒドラジンによるAVT処理を実施し、良好な還元性雰囲気が維持されているプラントでは発生していないことから、発生の可能性はないと考える。また、小型カメラによる目視点検結果から機械的な影響による減肉であると考えることから、ピッティングの可能性はないと考える。

d. リン酸減肉

(添付資料-10)

過去の2次系水処理において、リン酸を使用していたプラントでリン酸による 減肉が発生した実績があるが、高浜発電所4号機のようなアンモニアとヒドラジ ンによるAVT処理を実施しているプラントでは発生していないことから、発生 の可能性はないと考える。また、小型カメラによる目視点検結果から機械的な影響による減肉であると考えることから、リン酸減肉の可能性はないと考える。

e. 流体振動による疲労

(添付資料-11)

管支持板部の流れによる伝熱管の管支持板部の応力は、疲労限に比べ非常に 小さく、疲労損傷は発生しないと考える。

f. エロージョン

(添付資料-12)

当該部流速は約 であり、かつ、インコネルTT600は耐エロージョン性が高いことから(室温条件では約70m/s以上がエロージョン発生領域)、エロージョンの発生はないと考える。

なお、室温条件にて評価を行っているが、温度によるエロージョンへの影響 は小さく、常温の知見を用いても問題ないことを評価している。

: 枠組みの範囲は機密に係る事項ですので公開することはできません
・1千位がり町四は成在に床る手셨しずりに五所することはてさません

g. 摩耗減肉

A、BおよびC-SGの減肉信号を確認した伝熱管について、小型カメラによる目視点検を実施した結果、機械的な影響によるものとみられる減肉を確認したため、以下の確認を実施した。

(a) 減肉伝熱管 2次側からの確認結果

(添付資料-13)

ア. 伝熱管外観観察

小型カメラを用いて、減肉信号を確認した伝熱管の外観観察を実施した ところ、以下のとおり摩耗痕とみられる箇所を確認した。

(\mathcal{T}) A-SG

第四管支持板下面付近(X39, Y1):

周方向約3 mm、軸方向1 mm以下(減肉率:約47%) 第四管支持板下面付近(X24, Y1):

周方向約2mm、軸方向1mm以下(減肉率:約25%) 第三管支持板下面付近(X26, Y9):

周方向約4mm、軸方向1mm以下(減肉率:約33%) 第三管支持板下面付近(X26, Y10):

周方向約4mm、軸方向1mm以下(減肉率:約40%) 第四管支持板下面付近(X87,Y2):

周方向約5 mm、軸方向1 mm以下(減肉率:判定基準未満)

(イ) B-SG

第四管支持板下面付近(X84, Y9):

周方向約7mm、軸方向約1mm (減肉率:約49%) 第三管支持板下面付近(X69,Y3):

周方向約5 mm、軸方向約1 mm (減肉率:判定基準未満)

(ウ) C-SG

第四管支持板下面付近(X37, Y22):

周方向約6mm、軸方向1mm以下(減肉率:約34%) 第四管支持板下面付近(X89, Y3):

周方向約6 mm、軸方向1 mm以下(減肉率:約31%) 第三管支持板下面付近(X39, Y5):

周方向約4mm、軸方向1mm以下(減肉率:約49%) 第三管支持板下面付近(X86, Y8):

周方向約4mm、軸方向1mm以下(減肉率:約35%) 第三管支持板下面付近(X71, Y5):

周方向約5 mm、軸方向1 mm以下(減肉率:約34%)

イ. ECT信号との比較

伝熱管2次側減肉部位における外観観察結果は、ECTにより得られる 減肉信号指示と相違ないことを確認した。

(b) 管支持板との接触

(添付資料-14)

ア. 管支持板ベイ部*13の信号

構造上、伝熱管と管支持板ベイ部は接触しない。また、運転中に伝熱管へねじれを発生させる外力は発生せず、伝熱管と管支持板ベイ部は接触しない。*13 管支持板に加工されている四ツ業型管穴のうち凹面部。

イ. 管支持板ランド部*14の信号

管支持板との接触により摩耗減肉が発生したのであれば、4箇所の管支持板ランド部に減肉が生じることになるが、目視点検の結果からは4箇所の管支持板ランド部の減肉は確認できなかったため、管支持板との接触・摩耗によって発生した減肉ではないと考える。

*14 管支持板に加工されている四ツ葉型管穴のうち凸面部。

(c) SG器外発生物との接触

ア. 過去事象を踏まえた異物混入対策

(添付資料-15)

美浜発電所3号機の異物混入事象(2000年、2007年)を踏まえた 従前の異物混入対策(開口部管理の徹底等)に加え、高浜発電所3号機前々 回(第23回)定期検査以降の伝熱管減肉事象を踏まえた異物混入対策(機 器内部に立ち入る前に、器内作業用の作業服に着替え、靴カバーを着用する 等)については、高浜発電所4号機前回(第23回)定期検査においても実 施していることを確認した。

イ. SG器内点検

A、BおよびC-SGの減肉信号を確認した伝熱管並びにAおよびB-SGの判定基準未満の微小な減肉信号を確認した伝熱管について小型カメラにて目視点検を実施した結果、信号指示箇所にスケール等の付着物は認められなかったものの、当該伝熱管周辺の管支持板に接触痕を確認した。

また、A、BおよびC-SG器内の管板、流量分配板、第一~第七管支持板の上面の全ての範囲並びに第三、第四管支持板の下面の減肉信号を確認した伝熱管周辺部について、小型カメラによる目視点検を実施した結果、全体的にスケールおよびスラッジ*15が残存していることを確認したが、それら以外の異物は確認できなかった。

*15 2次系配管等に含まれる鉄イオンや鉄の微粒子が、給水系統によってSG器内に流れ集まって 生成されたもの。伝熱管で生成されたものをスケール(フレーク状(板状)に剥がれ落ちた ものを含む)といい、スケールを形成せず粒子状となり、水中を漂うものや、スケールが砕けて小さくなったものが管支持板上等に堆積したものをスラッジという。

(添付資料-16)

ウ. SG器外点検

SGブローダウン系統およびタービンサンプラインの仮設ストレーナの 開放点検や弁、配管の内部点検等を実施した結果、スケールおよびスラッジ や、2次系配管の内表面から生じたと考える鉄錆は確認したが、それ以外の 異物は確認できなかった。

以上の調査結果から、SG器内に異物が混入している可能性はない。

(d) SG器内発生物との接触

ア. SG内部品の脱落調査

SG内部品が脱落し、伝熱管を減肉させる可能性を設計図書により確認したところ、薄片形状として、振止め金具のキー固定板等を内部品として使用している。ただし、これらの内部品は、溶接止めされていること、もしくは、周囲を溶接止めされた構造物に囲まれており、万が一、脱落したとしても周囲の構造物の外には出ないことから、内部品が脱落した可能性はないと考える。

なお、伝熱管を減肉させる薄片形状と異なるものの、SG器内(2次側)の経年劣化事象を起因とする内部品の脱落として、流れ加速型腐食による給水内管裏当金を想定するが、高浜発電所4号機前々回(第22回)定期検査において、当該部のカメラによる目視点検を実施しており、給水内管裏当金の溶接部が全く損傷していなかったことから、脱落した可能性はないと考える。

イ. スケールによる伝熱管損傷の可能性調査

これまでの経緯を踏まえ、SG伝熱管の外面減肉の原因は、SG伝熱管から剥離した稠密なスケールの可能性が否定できないため、SG器内のスケール残存状況および回収したスケール調査を実施した。

(ア) SG器内のスケールおよびスラッジの残存状況等の調査

(添付資料-17、18)

小型カメラを用いて、A、BおよびC-SGの管板〜第七管支持板の上面の調査を行った結果、スケールおよびスラッジが残存していることを確認した。

SG器内のスケールおよびスラッジの残存状況等の調査に合わせ、伝熱管の外観観察を行った結果、ほぼ全ての伝熱管は全面的にスケールに覆われていた。また、一部の伝熱管は局所的にスケールが剥離した痕跡等も認められた。これらの状況については、高温側と低温側(水平方向)、管支持板間(上下方向)において有意な差は認められなかった。

(イ) SGから回収したスケールの性状調査

I. 各SG器内のスケール回収

A、BおよびC-SGの管板、第一~第三管支持板上面に残存しているスケールのうち、比較的大きなものを選定し、約200個を回収した。また、今後の知見拡充のため、A、BおよびC-SGからスケールを更に約200個回収した。

Ⅱ. 回収したスケールの化学成分および形状分析結果

(添付資料-19)

回収したスケールについて、化学成分分析を実施した結果、主成分はマグネタイトであり、SG器内で発生するスラッジと同成分であることを確認した。A、BおよびC-SGの管板、第一~第三管支持板上面から取り出したスケールは、主に多角型、長尺型に分類され、長さが最大のものは、前者が長さ約 $25\,\mathrm{mm}$ 、幅約 $13\,\mathrm{mm}$ 、後者が長さ約 $29\,\mathrm{mm}$ 、幅約 $6\,\mathrm{mm}$ であり、これらのスケールは管支持板の流路穴よりも大きく、運転中に管支持板下面に留まる可能性のある形状であった。また、これらのスケールについては、目視確認の結果、やや湾曲した形状をしており、そのうち各SGから取り出した $15\,\mathrm{mm}$ のスケールについて $3\,\mathrm{mm}$ であり、そのうち各SGから取り出した $15\,\mathrm{mm}$ のスケールについて $3\,\mathrm{mm}$ であり、そのうち各SGから取り出した $15\,\mathrm{mm}$ のスケールについて $3\,\mathrm{mm}$ であり、そのうち各SGから取り出した $15\,\mathrm{mm}$ のスケールについて $3\,\mathrm{mm}$ であり、そのうち各SGから取り出した $15\,\mathrm{mm}$ の方での方での方について $3\,\mathrm{mm}$ であり、そのうち各SGから取り出した $15\,\mathrm{mm}$ の方での方について $3\,\mathrm{mm}$ であり、そのうち各SGから取り出した $15\,\mathrm{mm}$ の方での方について $3\,\mathrm{mm}$ であり、そのうち各SGから取り出した $15\,\mathrm{mm}$ の方とのうち各SGから取り出した $15\,\mathrm{mm}$ の方とのうち各SGから取り出した $15\,\mathrm{mm}$ の方とのうちを確認した。

Ⅲ. 回収したスケールの断面観察結果および摩耗試験結果

(添付資料-20、21)

スケール120個を対象に断面観察を行った結果、稠密層(密度の高い酸化鉄の層)が主体のスケールを48個確認した。

また、スケール50個(約10mm×約5mm以上)を対象に摩耗試験を行い、伝熱管とスケールの摩耗体積比 *16 を調査した結果、伝熱管の減肉量がスケール摩滅量以上のスケールを2個確認した。

*16 摩耗試験における伝熱管の減肉量とスケールの摩滅量の体積比。

Ⅳ. 接触痕を有するスケールの調査

(添付資料-22)

減肉が認められた伝熱管に接触していた可能性のあるスケールを調査するために、A、BおよびC-SG器内から取り出したスケールの外観を観察した。このうち、AおよびB-SG伝熱管減肉部の下方(第二管支持板上面)に残存していたスケール各1個については、伝熱管減肉部と接触していたと想定される部位に接触痕および光沢があった。

これらのスケールの形状を計測した結果、直径約22.6mm(A-SG採取スケール)、直径約22.3mm(B-SG採取スケール)の

円筒状に沿った形状であり、伝熱管(円筒)の外径(直径22.2mm) に近い形状であった。

走査型電子顕微鏡(以下「SEM」という。)による観察を行った結果、接触想定部位に伝熱管との摺動によりできたものと推定される筋状痕があった。

化学成分分析の結果、主成分はマグネタイトで、SG器内で発生する スラッジと同成分であり、接触想定部位に伝熱管の主成分であるニッケ ルおよびクロムの成分を検出した。

これらのスケールを切断して断面を観察した結果、スケールの厚さは約0.2 mm(A-SG採取スケール)、約0.3 mm(B-SG採取スケール)であり、稠密層が主体のスケールであった。

(4) 損傷以外のECT信号指示

(添付資料-23)

局所的なスケールの剥離は、減肉と識別できることから、今回の信号指示は、 スケールの剥離ではないと考える。

(5) 減肉メカニズムの検討

これまでの原因調査の結果、薬品洗浄後においても、稠密なスケールがSG器内に残存し、伝熱管の外面減肉を発生させた可能性が高いことから、減肉を発生させるスケールの生成・剥離メカニズム、SG器内のスケールの挙動およびスケールが伝熱管を損傷させる可能性について、以下のとおり調査および検討を実施した。

a. スケールの生成メカニズム

(添付資料-24)

(a) スケールの生成および性状の調査

これまでの水化学に関する知見から、2次系構成機器の流れ加速型腐食等で生じる鉄イオンや鉄の微粒子が、給水とともにSG2次側へ持込まれ、次の2つの現象が発生することでSG伝熱管表面にスケールとして付着することがわかっている。

ア. 析出付着

給水とともにSG2次側へ持込まれる鉄イオンは、SG2次側温度域に おいては、高温ほど溶解度が小さくなるため、より高温となる伝熱管下部に おいて、溶解度の減少幅が大きく、鉄イオンがマグネタイトとして析出付着 する。そのため、伝熱管の下部に付着するスケールは稠密で薄い傾向がある。

イ. 蒸発残渣

伝熱管の上部では、伝熱管表面と給水の温度差が伝熱管の下部に比べて小さく沸騰現象が顕著であることから、鉄イオンの析出付着よりも、鉄の微粒子が蒸発残渣として伝熱管表面に残留、堆積する現象が主体である。そのため、伝熱管の上部に付着するスケールは、粗密*17な傾向があり、脆く摩耗に

対する耐性も低いと考える。また、蒸発残渣によって残留、堆積する鉄の微粒子の方が析出付着する鉄イオンに比べて粒径が大きいことから、伝熱管の上部で生成するスケールの方が伝熱管の下部より粗密で厚い傾向にある。*17 密度が比較的低く、粗な状態。

(b) スケール性状の実機調査

(添付資料-25)

1996年に高浜発電所3号機第9回定期検査で健全性確認を目的に伝熱管の抜管調査を実施した際、伝熱管各部位(SG上方からUベンド部、第六から第五管支持板の間、第四から第三管支持板の間、第三から第二管支持板の間、第二から第一管支持板の間)のスケールについて、断面ミクロ観察を実施している。その結果、伝熱管の上部のスケールほど粗密で厚く、伝熱管の下部ほど稠密で薄いことを確認した。

また、2020年に高浜発電所3号機前回(第24回)および高浜発電所4 号機前回(第23回)定期検査で、伝熱管の上部(第七管支持板上)および伝 熱管の下部(第二から第一管支持板の間)からスケールを回収し、性状を確認 した結果、伝熱管の上部(第七管支持板上)のスケールは粗密で厚く、伝熱管 の下部(第二から第一管支持板の間)では稠密で薄いことを確認した。

以上の調査結果から、稠密なスケールは伝熱管の下部で発生し、粗密なスケールは伝熱管の上部で発生することを確認した。

(c) 2次系の水質管理調査

スケールは、給水とともに持込まれる鉄イオンおよび鉄の微粒子により、 経年的に厚さが増加すると考えられることから、以下のとおり厚さの増加に 関する調査を実施した。

ア. 水処理履歴

(添付資料-26)

SG給水における水質管理の項目として、電気伝導率、溶存酸素濃度、アンモニア濃度およびヒドラジン濃度等がある。これらの過去の水質管理実績を確認したところ、いずれも基準値を満足しており問題はなかった。

SG器内への鉄の持込みに関係する項目はp Hであり、2 次系構成機器の流れ加速型腐食等による給水中への鉄の放出を抑制するためにはアルカリ側に水質管理を行う必要がある。そのため、これまでp H上昇によりSG器内への鉄の持込み量低減を図るべく、A V T 処理 (p H 9. 2)、E T A^{*18} 処理 (p H 9. 4 ~ 9. 5)、高E T A 処理 (p H 9. 8) 、高F ンモニア処理 (p H 9. 8) のようにp H p の高い処理方法へと改善を図ってきた。

各水処理における給水中の鉄含有量の実測データは次のとおりであり、p Hの低い水処理方法ほど給水中の鉄含有量が多いことが分かっている。*** エタノールアミン。

イ. 給水中の鉄含有量

上記水処理方法での給水中の鉄含有量は次のとおりである。

水処理方法	給水中の鉄含有量
AVT処理	約5~10ppb
ETA処理	約3ppb
高ETA処理	約1ppb
高アンモニア処理	約1ppb

ウ. 運転時間

上記水処理方法での運転時間は次のとおりである。

水処理方法	運転時間
AVT処理	約9.8万時間
ETA処理	約8.0万時間
高ETA処理	約2.0万時間
高アンモニア処理	約3.4万時間

エ. 鉄の持込み量

上記水処理方法での運転時間における鉄の持込み量と、合計の鉄の持込み量を算出した結果は次のとおりである。

水処理方法	鉄の持込み量/SG
AVT処理	約1,680kg
ETA処理	約650kg
高ETA処理	約70kg
高アンモニア処理	約120kg
合計	約2,520kg

以上の調査結果から、水処理方法に応じた量の鉄が経年的に持込まれていることを確認した。

(d) スケール厚さに関する実機調査

(添付資料-27)

スケール厚さの傾向を推定するパラメータとして、主蒸気圧力やSG伝熱抵抗係数*19があり、その変化量を確認した結果、いずれも運転時間の経過とともに圧力低下や係数増加が認められ、スケール厚さは経年的に増加するものと推定される。

また、高浜発電所 3 号機第 8 回 (1995年) および第 14回 (2002年) 定期検査において、スケール厚さを把握するため、周波数 3 k H z の E C T を実施した結果、第 8 回から第 14回定期検査までの 6 サイクルで増加したスケール厚さは、数十 μ m \sim 100 μ m 程度であった。

*19 伝熱管の外表面に不純物が付着するなどにより、熱伝達特性を低下させる度合いを示す指標。

以上の結果から、スケール厚さは経年的に増加していくものであることを確認した。また、現在では高ETA処理や高アンモニア処理によって給水のpHを高く維持することで、1 サイクルあたりの鉄の持込み量は数+kg/SG程度に抑えられていることを確認した。

b. スケールの剥離メカニズム

(添付資料-28)

(a) 剥離メカニズムの検討

伝熱管表面に生成したスケールが主に剥離するのは、起動停止時の伝熱管の熱伸びと収縮によるものと推定される。具体的には次のア. ~ウ. のとおりであり、スケールはプラント停止時の伝熱管の熱収縮に追従できずにフレーク状(板状)に剥離したものと推定される。

- ア. プラント起動時の伝熱管の熱伸びに伴い伝熱管表面のスケールに割れ が生じる。
- イ. プラント運転中に割れの隙間が新たに生成したスケールで埋まる。
- ウ. プラント停止時に隙間の埋まったスケールは、伝熱管の熱収縮に追従できず剥離する。

また、プラント起動時および運転中においても、停止時に剥離しなかった スケールが、伝熱管の振動やSG器内の流れの影響により剥離する可能性も 否定できない。

(b)長期停止の影響調査

(添付資料-29)

東日本大震災以降、2011年7月に定期検査を開始し、その後、2017年5月に再稼動するまでの約6年間、プラントは長期停止状態となっていた。その間、SG器内は腐食を防止するためヒドラジン水による満水保管状態としていたことから、この状態がスケール剥離挙動に与える影響を調査するため、スラッジ(粒の観察を容易にするため粉末状スラッジを使用)を対象にヒドラジン水による浸漬試験を1か月間実施した。その結果、時間の経過とともにスケールを構成する鉄粒子同士が合わさり粒径が大きくなることを確認した。これは、ヒドラジンの還元作用でスケールの鉄が一部溶解、再析出を繰り返し、粒径が大きくなったものと推定される。

粒径が大きくなると、伝熱管との接触面積が減少し、剥離が促進される可能性がある。スケールの剥離量が増えるとスラッジランシングでのスケール回収量が大きくなる可能性があるため、高浜発電所 4 号機の長期停止前後の回収量を調査した結果、長期停止前は S G 3 台から約 2 0 k g のスケール等を回収したが、長期停止後の第 2 1 回定期検査時には約 4 0 k g と増加していることを確認した。

以上により、長期停止後は、スケールの粒径が大きくなったことで伝熱管 との接触面積が減少し、プラントの運転等に伴い伝熱管からスケールが多数 剥離したと推定される。 c. SG器内挙動の推定およびスケールと伝熱管の接触状態の再現性確認 (添付資料-30)

SG器内調査およびスケール分析の結果、今回の外面減肉はスケールによる摩耗の可能性が高いことから、剥離したスケールがSG器内で第三および第四管支持板下面へ到達するまでの挙動を推定した。また、SG2次側器内の流況モックアップ試験により、実機を模擬した二相流の条件においても、推定した伝熱管へのスケールの接触状態が再現するかの確認を実施した。なお、評価に当たっては、SG器内で確認されているスケールを参考に形状を想定して評価した。

(a) 器内のスケール挙動検討

運転中のSG2次側器内の流況下では流体抗力がスケールの落下力を上回ることから、スケールは管群内の上昇流に乗って流量分配板および各管支持板フロースロット部を通過し、減肉箇所へ到達したことが考えられる。

(b) SG2次側器内の流況モックアップ試験

SG2次側器内の流況を再現するモックアップ試験結果から、実機を模擬 した二相流の条件においてスケールの接触状態が再現できることを確認した。

- d. スケールが伝熱管を損傷させる可能性の調査
- (a) 高浜発電所 4 号機前回(第23回)定期検査における薬品洗浄の実施結果 (添付資料-31、32)

ア. 薬品洗浄効果

薬品洗浄時の条件を確認した結果、温度管理や薬品濃度管理が計画どおり実施されていたことを確認し、薬品洗浄によって、SG1台あたり、約680kgの鉄分を除去できていたことを確認した。

また、定期検査後の運転実績を確認した結果、主蒸気圧力が向上し、SG 伝熱抵抗係数が低下したことを確認した。これは、薬品洗浄の効果により伝熱管に付着したスケールが減少し、熱伝達率が改善したものと考えられる。

イ. スラッジ影響を考慮した薬品洗浄効果の確認試験結果

高浜発電所4号機前回(第23回)定期検査において、スケールの脆弱化を目的として薬品洗浄を実施したが、今回(第24回)定期検査にてSG器内から回収したスケールを分析したところ、稠密層厚さが0.1mmを超えるスケールが確認されたことから、薬品洗浄効果の確認試験を行った。

確認試験は実機薬品洗浄時のSG器内環境(薬品濃度、温度等)を模擬した水槽中で実施した。また、SG器内における薬品との接液環境を模擬するため、水槽中にはスケールおよびスラッジに加え、SG器内構成部品と同材料の試験片を設置し、スケールおよびスラッジの比率やスケール周辺のスラッジ量を変化させた3パターンの試験を実施した。その結果、スケール周

辺のスラッジ量が多くなった場合は、薬品洗浄によるスケールの脆弱化効果が低減することを確認した。

以上により、高浜発電所 4 号機前回 (第 2 3 回) 定期検査における薬品洗浄により鉄分が一定量除去されており、S G 器内のスケールはおおむね脆弱化していたと推定されるが、S G 器内にスケールとスラッジが混在していたことから、一部のスケール脆弱化効果が低減し、前回薬品洗浄後においても脆弱化できなかったスケールが一部存在していたものと推定される。

なお、高浜発電所3号機前回(第24回)定期検査において薬品洗浄後にスケールのサンプル調査を実施し、脆弱化していたことを確認していたが、今回のサンプル調査では稠密層が厚いスケールが比較的多く見つかった。その要因としては、前回の薬品洗浄により脆弱化されたスケールの多くは運転中にスラッジになり、稠密層が厚いものがスケールとして残ったためと推定される。

(b) 摩耗形態の推定

(添付資料-33、34)

スケールとの接触で伝熱管が摩耗する場合、スケールの振動により摩耗するケースと、伝熱管の振動により摩耗するケースが考えられるため、次のとおり各ケースで想定されるワークレート*20の比較を実施した。

*²⁰ 摩耗体積を評価する一般式で用いられる摩耗を生じさせる力で、押付力と摺動速度の積で表現される。

ア.スケール振動のケース

本ケースではスケールの端部が拘束された片持ち梁の状態を想定する。この想定に基づきワークレートを計算すると、スケールでは流体力を受ける面積が小さいため、有意な減肉が生じるワークレートは発生しないことを確認した。

イ. 伝熱管振動のケース

本ケースでは、スケールが管支持板下面で保持され、接触する伝熱管のランダム振動*21により伝熱管自身に減肉が発生したことを想定する。管支持板部の伝熱管の振幅は、伝熱管と管支持板BEC穴ランド部の隙間に制限されるため、隙間が確保され振幅が大きくなる伝熱管においてスケールとの接触により減肉が生じるものと推定される。本推定に基づきワークレートを試算すると、スケール振動のケースに比べて十分大きなワークレートが得られることを確認した。

*21 蒸気と水が伝熱管に衝突する力と、伝熱管の周りに生じる流れの乱れによって伝熱管が振動する現象。

上記ア.、イ.から、発生した減肉は伝熱管振動によるものと推定されるため、以下では伝熱管振動により減肉が発生したものと想定して検証を実施した。

なお、伝熱管振動のケースでは、最大減肉深さは伝熱管の振動振幅に制限されるため、減肉の進展により伝熱管を貫通することはない。

(c) 減肉形状の再現性確認試験

推定したスケールと伝熱管の接触状態および摩耗形態で実機の減肉形状が再現できるか確認するため、次のとおり減肉試験を実施した。また、減肉試験で得られた減肉形状と同等の人工欠陥を与えた伝熱管のモックアップ試験体のECT信号を取得し、実機のECT信号と比較した。

ア. 減肉試験 (添付資料-35)

スケールの接触状態を推定した上で、減肉の発生および減肉形状の観察を 容易にするため石膏で製作した2倍スケールの模擬伝熱管を振動させ、模擬 スケールの角部または一辺を接触させることにより、減肉を発生させた。

イ. ECTモックアップ試験

(添付資料-36)

上記ア.で得られた減肉形状と同等の形状を有する人工欠陥を伝熱管モックアップ試験体に与え、そのECT信号を取得し、実機のECT信号と比較した結果、両者は整合することを確認した。

(d) ワークレートによる摩耗体積評価

(添付資料-37)

上記(b)および(c)で推定した接触状態および摩耗形態を踏まえ、流動振動解析により算出したスケールと伝熱管の摩耗のワークレートを用いて、1サイクルの運転時間で発生する摩耗体積を計算した。算出した摩耗体積と上記(c)で実機減肉形状と整合することを確認した人工欠陥の摩耗体積を比較した結果、両者は整合することから、今回認められた外面減肉は、スケールとの接触により1サイクルで発生した可能性があることを確認した。

e. 高浜発電所3号機および4号機の特異性

(a) 当社他プラントとの鉄持込み量、薬品洗浄実績およびスケール回収量の比較 鉄の持込み量について、比較のため当社他プラントの調査を実施した。ま た、大飯発電所3号機および4号機では薬品洗浄を実施しており、スケール 性状に影響を与えている可能性があることから、その実績を確認した。さら に、スケールの厚さや長期停止に伴うスケールの剥離量は、スケール回収量 に現れている可能性があることから、あわせて長期停止前後のスケール回収 量について比較調査を実施した。

ア. 鉄持込み量および薬品洗浄実績

(添付資料-38)

各プラントの鉄持込み量および薬品洗浄実績を調査した結果は表1のとおりである。鉄持込み量は高浜発電所3号機および4号機が最も多く、続いて大飯発電所3号機および4号機であり、SG取替えを実施している美浜発電所3号機並びに高浜発電所1号機および2号機が少ないことを確認した。

以上から、鉄持込み量が最大の高浜発電所3号機および4号機のスケールが、最も稠密層が厚く成長しているものと推定した。

	高浜発電所		大飯発電所		美浜発電所	高浜発電所	
	3号機	4号機	3 号機	4号機	3 号機	1号機	2号機
運転時間* ²² (万時間)	23. 2	23. 2	17. 0	18. 2	9. 3	10. 9	12. 5
鉄持込み量 (kg)	2, 650	2, 520	1,850	1, 970	810	680	940
薬品洗浄 実績回数	2 回	1回	2 回	1 回			
薬品洗浄時点 の運転時間 (万時間)	22.3 (第 24 回) 23.2 (第 25 回)	22. 2 (第 23 回)	16.1 (第 17 回) 17.0 (第 18 回)	16.2 (第 16 回)	_	_	_

<表1:各プラントの鉄持込み量および薬品洗浄実績>

イ. スケール回収量

(添付資料-39)

スケール回収量*²³を確認した結果、高浜発電所3号機および4号機では、いずれも長期停止後にスケール回収量が増加していた。

一方、大飯発電所3号機および4号機では長期停止前後でスケール回収量に変化は認められなかった。

これにより、長期停止に伴うスケール剥離の増加は、スケールが厚く成長 したSGほど顕著であると推定される。

*23 スラッジランシングで回収したスラッジおよびスケールのうち、スケールの回収量を表2に示す。

プラント	長期停止前	長期停止後			
	(kg)	(kg)			
高浜発電所	0.01 未満	0.41	0. 24	0, 36	
3 号機	(第 21 回)	(第 22 回)	(第 23 回)	(第 24 回)	
高浜発電所	0.01 未満	12. 37	8. 24	6. 08	
4 号機	(第 20 回)	(第 21 回)	(第 22 回)	(第 23 回)	
大飯発電所	0.01 未満	0.01 未満	0.01 未満		
3 号機	(第16回)	(第 17 回)	(第 18 回)	_	
大飯発電所	0.01 未満	0.01 未満	0.01 未満		
4 号機	(第 15 回)	(第 16 回)	(第 17 回)	_	

<表2:スケール回収量(長期停止前後比較)>

^{*22} 美浜発電所3号機、高浜発電所1号機および2号機については、SG取替え以降の運転時間を示す。なお、運転時間については、現時点で直近の定期検査解列時点とする。

(b) 当社他プラントとのスケール比較

スケールの稠密層厚さと鉄持込み量に相関があるかを検証するため、当社他プラントのSG下部からスケールを採取し、断面ミクロ観察を実施した結果を確認した。採取対象プラントは、高浜発電所4号機、大飯発電所3号機および4号機からは薬品洗浄回数の少ない大飯発電所4号機、SG取替えプラント(美浜発電所3号機、高浜発電所1号機および2号機)からは、最も鉄の持込み量の大きい高浜発電所2号機を選定した。なお、高浜発電所3号機については、高浜発電所4号機とスケール性状が同等であることを確認している。

結果は表3のとおりであり、鉄の持込み量が大きいプラントほどスケールの稠密層(空隙率5%以下)は厚く成長していることを確認した。

	高浜発電所4号機	大飯発電所4号機	高浜発電所2号機	
回収場所	鉄持込み量:	鉄持込み量:	鉄持込み量:	備考
	2, 490kg	1, 950kg	940kg	
	空隙率5%以下	空隙率5%以下	空隙率5%以下	稠密層厚さは
	の稠密層厚さ:	の稠密層厚さ:	の稠密層厚さ:	鉄の持込み量
 第二管支持板	最大0.18mm	最大0.04mm	— mm	と相関
~			(伝熱管へのス	1
 管板間			ケール付着がご	:
日似用			く軽微であり、採	
	1		取できるほどの	
			厚みなし)	

<表3:スケール観察結果*24>

なお、大飯発電所4号機は第16回定期検査に薬品洗浄を適用していることから、大飯発電所4号機のスケールは薬品洗浄1回分の粗密化効果の影響もあるものと推定される。

(c) 伝熱管の摩耗試験結果の比較

(添付資料-41、42)

上記の調査結果を踏まえ、当社他プラントの中では比較的稠密層が厚い大飯発電所3号機および4号機で採取したスケールについて摩耗試験を実施した。大飯発電所3号機および4号機のスケールは、試験開始後にスケールが欠損するか、スケールの方が早く摩滅するという結果が得られ、伝熱管とスケールの摩耗体積比が最も大きいものでも1:15であった。このため、空隙率5%以下であっても稠密層が薄い場合、有意な減肉を与える可能性は低いことを確認した。

有意な減肉を与える稠密層厚さを検討するため、高浜発電所3号機および4号機から採取したスケールの摩耗試験を実施した結果、空隙率5%以下の

^{*24} 高浜発電所4号機前回(第23回)定期検査のSG伝熱管外面損傷事象における原因調査の過程で確認。

稠密層厚さが 0. 1 mm未満のスケールでは有意な摩耗減肉は与えられない ことが分かった。

以上により、有意な減肉を発生させる可能性があるのは、空隙率5%以下の稠密層の厚さが0.1mm以上のスケールであると考える。

f. スケールにより減肉した国内外事例調査

(添付資料-43)

国内外で報告されている外面減肉事象を調査した結果、国内、海外共にスケールが原因とされた事例は認められなかった。

なお、国内外において、SGの運転時間が高浜発電所3号機および4号機で 外面減肉事象が生じた運転時間以上であり、かつ薬品洗浄の実績が認められず、 高浜発電所3号機および4号機と同等の伝熱管支持構造を有するプラントを調 査した結果、8プラントのみであることを確認した。

10. 伝熱管の健全性

(1)減肉伝熱管の健全性

(添付資料-44)

減肉した伝熱管の強度、耐震性について以下のように評価した。

a. 強度

「蒸気発生器信頼性実証試験」((財)発電用熱機関協会、1975年度~1980年度)では、局部減肉を有する伝熱管の内圧強度評価手法を確立するため、内圧による高温破壊試験を実施しており、その試験結果から運転中および事故時を包絡する内外差圧による伝熱管の破断圧力を算出した。

得られた伝熱管の破断圧力は、通常運転時および事故時の最大内外差圧に比べ、十分裕度があることから、減肉した伝熱管が通常運転時および事故時の内外差圧により破断することはない。

b. 耐震性

基準地震動 S s による地震力および伝熱管全長モデルから、伝熱管直管部(管支持板部)に作用する力(部材力)を算出した。

保守的に一様外面減肉と仮定し、伝熱管の断面積を減じた上で部材力から発生応力および疲労累積係数を算出し、許容値に対する裕度を確認した結果、十分な裕度があることから、減肉した伝熱管が地震により損壊することはない。

(2) 隣接伝熱管の健全性

(添付資料-45)

今回減肉が見つかった伝熱管に隣接した伝熱管についても念のため健全性を確認した結果、有意な減肉信号指示がないことを確認した。

(添付資料-46、47)

11. 推定原因

A、BおよびC-SG伝熱管で認められた外面減肉は、これまでの運転に伴い、 伝熱管表面に生成された稠密なスケールが前回(第23回)定期検査時の薬品洗浄 の後もSG器内に残存し、プラント運転中に管支持板下面に留まり、そのスケール に伝熱管が繰り返し接触したことで摩耗減肉が発生した可能性が高いと推定した。

12. 薬品洗浄の条件設定

(添付資料-48)

SGの器内構成部品に大きな影響を及ぼさない範囲で、SG器内のスケールの脆弱化を図る薬品洗浄条件について検討した結果、薬品濃度として3%、洗浄回数を2回とする。また、第四管支持板の下面で減肉が確認されたことも踏まえ、洗浄範囲を1回目、2回目ともにSG伝熱管全域とする。

なお、薬品洗浄の効果を高めるため、薬品洗浄実施前に小型高圧洗浄装置を用いて管支持板上も含めたSG器内の洗浄を行うことにより、SG器内に残存するスケールおよびスラッジをできる限り除去することとする。

13. 対 策

(添付資料-49~54)

高浜発電所3号機今回(第25回)定期検査において実施した対策によりSG器内のスケール除去・脆弱化が効果的に実施できたことおよび高浜発電所4号機今回(第24回)定期検査において採取したスケールに対しても、高浜発電所3号機今回(第25回)定期検査で実施した薬品洗浄が有効に作用することを確認したことから、高浜発電所4号機今回(第24回)定期検査においては以下の対策を実施する。

(1) 減肉伝熱管の施栓

外面減肉が認められたA-SG伝熱管5本、B-SG伝熱管2本およびC-SG伝熱管5本について、高温側および低温側のSG管板部で施栓し、供用外とする。

(2) 小型高圧洗浄装置による洗浄

SG器内に残存するスケールおよびスラッジを可能な限り除去するため、小型 高圧洗浄装置を用いて管支持板上も含めたSG器内の洗浄を実施する。

(3)薬品洗浄による稠密なスケールの脆弱化

SG器内に薬液を注入し、伝熱管全域を薬品に浸した状態で2回洗浄を行い、 伝熱管に付着している稠密なスケールを脆弱化させる。

(4) 今後のSG保全

今回取り出したスケールについては、今後、追加の3次元測定器による計測、

断面観察および摩耗試験を実施し、スケールの形状や性状に関する知見の拡充に 努める。

また、毎定期検査時にスケールを回収し、スケールの稠密層厚さの確認および 摩耗試験を実施する。確認および摩耗試験では、稠密層厚さ0.1mm未満およ び摩耗体積比0.1未満であることを確認し、それを超えた場合は薬品洗浄や小 型高圧洗浄装置による洗浄を実施する。

さらに、高浜発電所3号機および4号機のSGについては、インコネルTT600製の伝熱管に応力腐食割れが認められていることから、本事象も踏まえ、今後も引き続き、SG取替えに係る検討を進めていく。

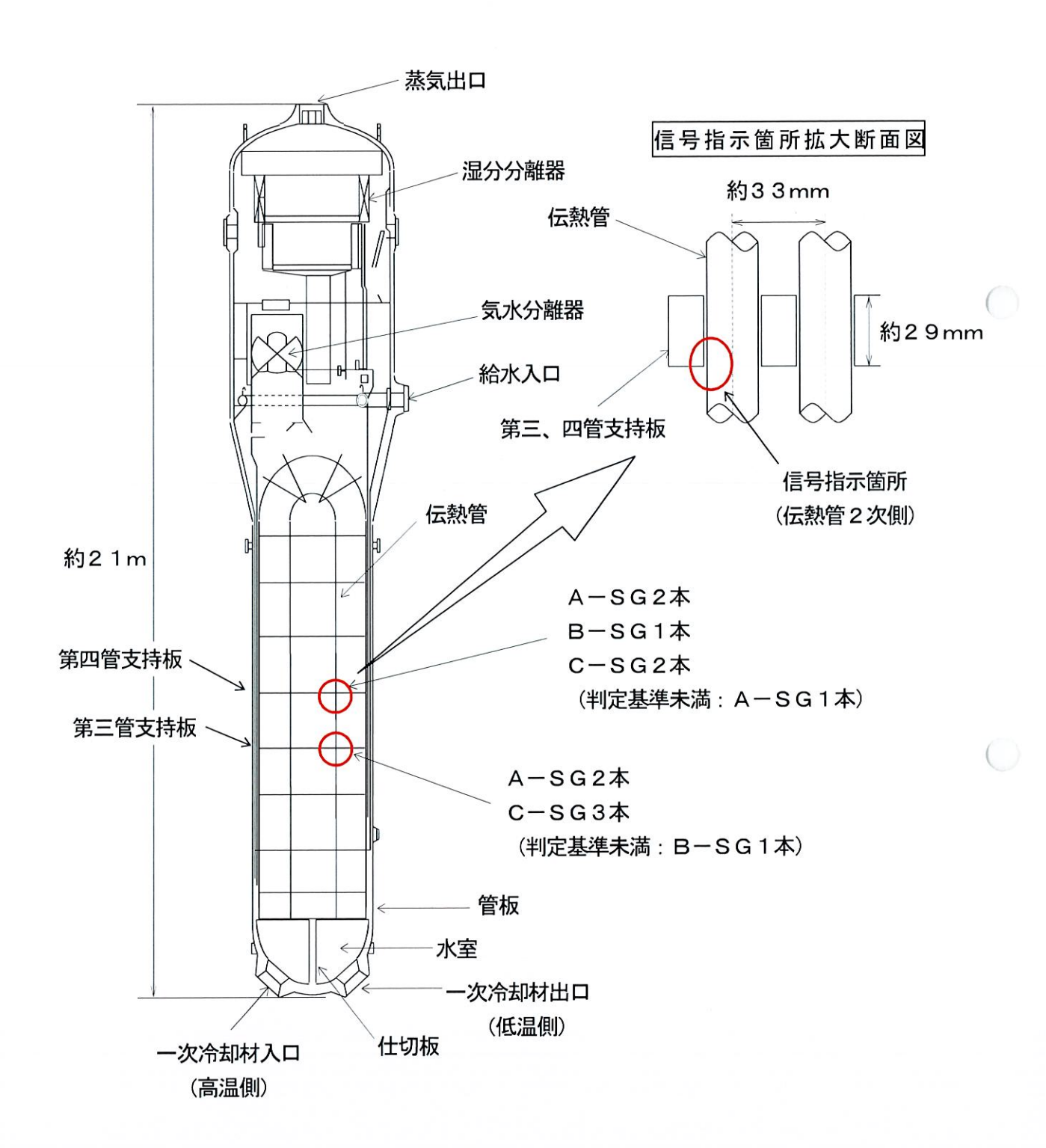
以 上

添付 資料

- 1. SG伝熱管信号指示箇所概要図
- 2. SG伝熱管ECT結果一覧
- 3. SG伝熱管ECT結果
- 4. SG伝熱管ECT信号指示位置図
- 5. 要因分析図
- 6. 高浜発電所3号機および4号機におけるSG伝熱管外面の損傷事象の経緯
- 7. ECTの位相評価
- 8. 粒界腐食割れに関する検討結果
- 9. ピッティングに関する検討結果
- 10. リン酸減肉に関する検討結果
- 11. 流体振動による疲労に関する検討結果
- 12. エロージョンに関する検討結果
- 13. SG器内点検結果
- 14. 管支持板との接触による摩耗減肉の評価
- 15. 異物混入対策について
- 16. SGブローダウン系統点検結果
- 17. SG器内のスケールおよびスラッジの残存状況調査
- 18. SG器内の伝熱管表面の観察結果
- 19. 回収したスケールの化学分析および形状確認結果
- 20. 伝熱管とスケールの摩耗試験方法について
- 21. 回収したスケールの断面観察結果および摩耗試験結果
- 22. 回収物分析結果
- 23. スケール剥離による減肉信号への影響
- 24. スケール生成メカニズム
- 25. スケール性状に関する過去の知見
- 26. 2次系水処理と水化学管理の変遷
- 27. プラント性能指標の推移
- 28. スケール剥離メカニズムイメージ
- 29. 長期停止影響に係る考察
- 30. スケールのSG2次側器内挙動の推定および流況モックアップ試験による接触状態の再現
- 31. 高浜発電所4号機前回(第23回)定期検査における薬品洗浄の実施結果
- 32. スラッジ影響を考慮した薬品洗浄工場試験結果
- 33. スケールによる伝熱管の減肉メカニズム調査の流れ
- 34. スケールと伝熱管の接触時における摩耗形態の推定について
- 35. 減肉試験による実機摩耗減肉形状の確認について
- 36. ECTモックアップ試験による実機ECT信号との整合性確認について

- 37. ワークレートを用いた摩耗体積の計算結果について
- 38. 鉄持込み量比較
- 39. これまでのスラッジランシングによるスラッジ・スケールの総回収量
- 40. 高浜発電所3号機および4号機のスケール性状の比較について
- 41. 当社他プラントスケール摩耗試験結果
- 42. スケール性状による伝熱管減肉影響
- 43. 海外のSGの運転履歴等調査結果
- 44. 減肉した伝熱管の評価
- 45. 隣接伝熱管の健全性
- 46. SG点検スケジュール
- 47. 高浜発電所4号機前回(第23回)定期検査における伝熱管外面減肉事象に 係る調査・対策内容からの主な変更点
- 48. 薬品洗浄条件について
- 49. SG伝熱管信号指示筒所補修概要図
- 50. 高浜発電所4号機 SG伝熱管の補修来歴
- 51. 減肉により施栓した伝熱管が隣接伝熱管へ及ぼす影響
- 52. 小型高圧洗浄装置による洗浄について
- 53. スケールに対する保全指標について
- 54. 高浜発電所4号機SG器内のスケールに対する対策の変遷

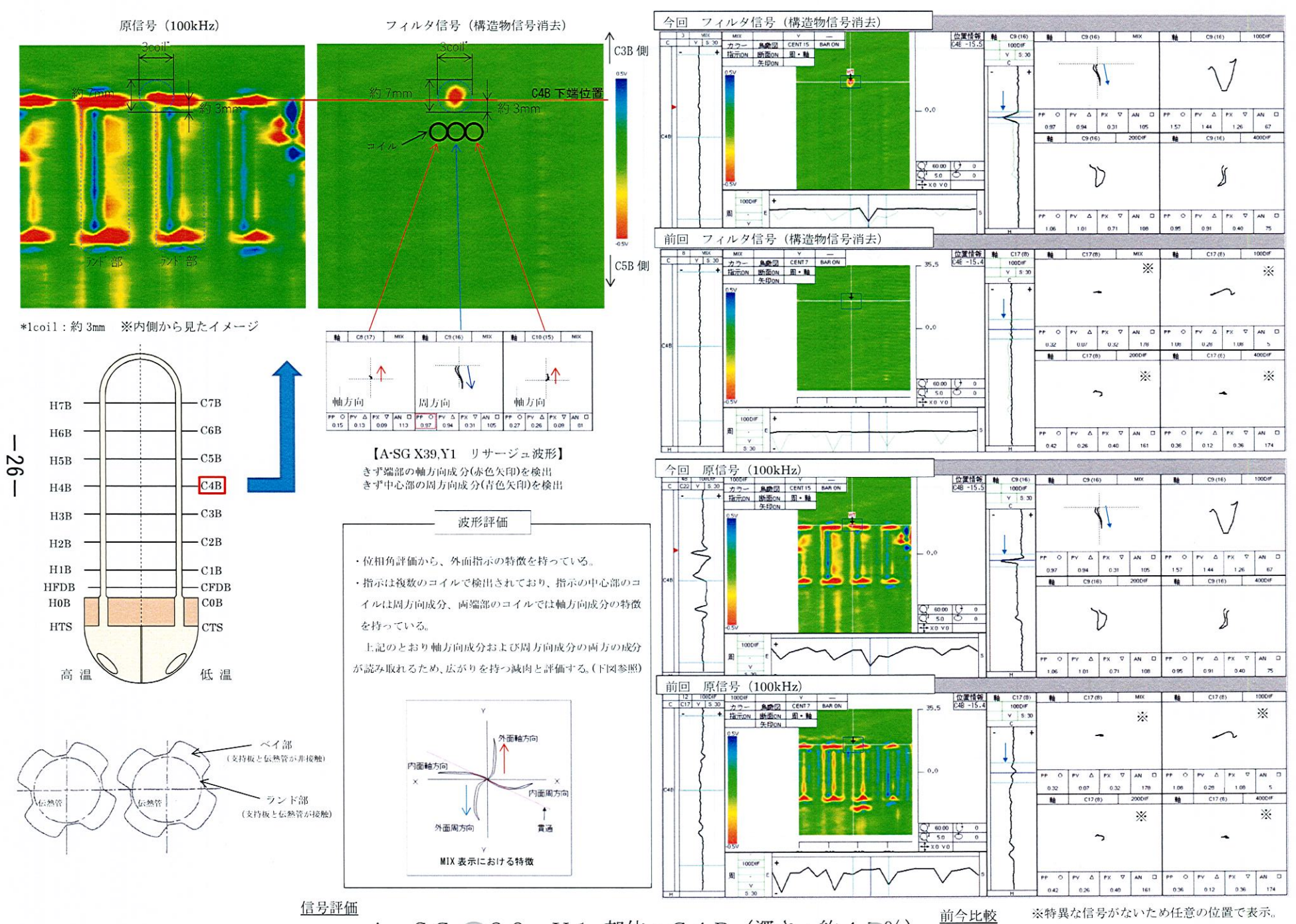
SG伝熱管信号指示箇所概要図



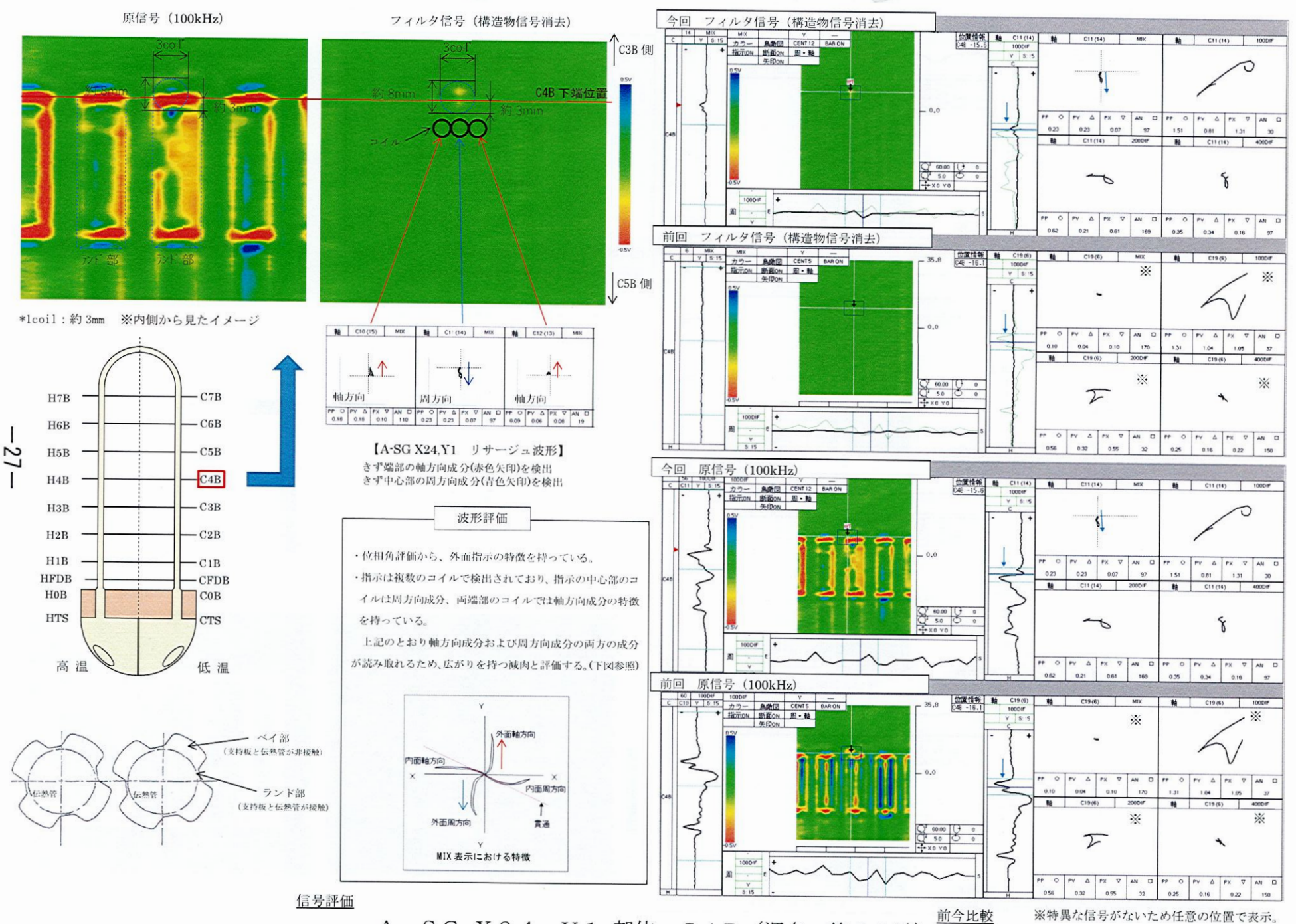
SG伝熱管ECT結果一覧

	A-SG	B-SG	C-SG	合計
設 備 本 数	3, 382	3, 382	3, 382	10,146
既施栓本数 (応力腐食割れによる施栓本数※)	139	135 (3)	129	403 (24)
検査対象本数	3, 243	3, 247	3, 253	9,743
指 示 管 本 数 (微小な信号指示)	4 (1)	1 (1)	5	1 0 (2)
結果	A-SGの伝熱管4本、B-SGの伝熱管1本およびC-SGの伝 熱管5本について、管支持板部付近に、外面からの減肉とみられる 有意な信号指示が認められた。			
備考	A - S G の伝熱管 1 本および B - S G の伝熱管 1 本について、管支持板部付近の外面に判定基準未満の微小な信号指示が認められた。			

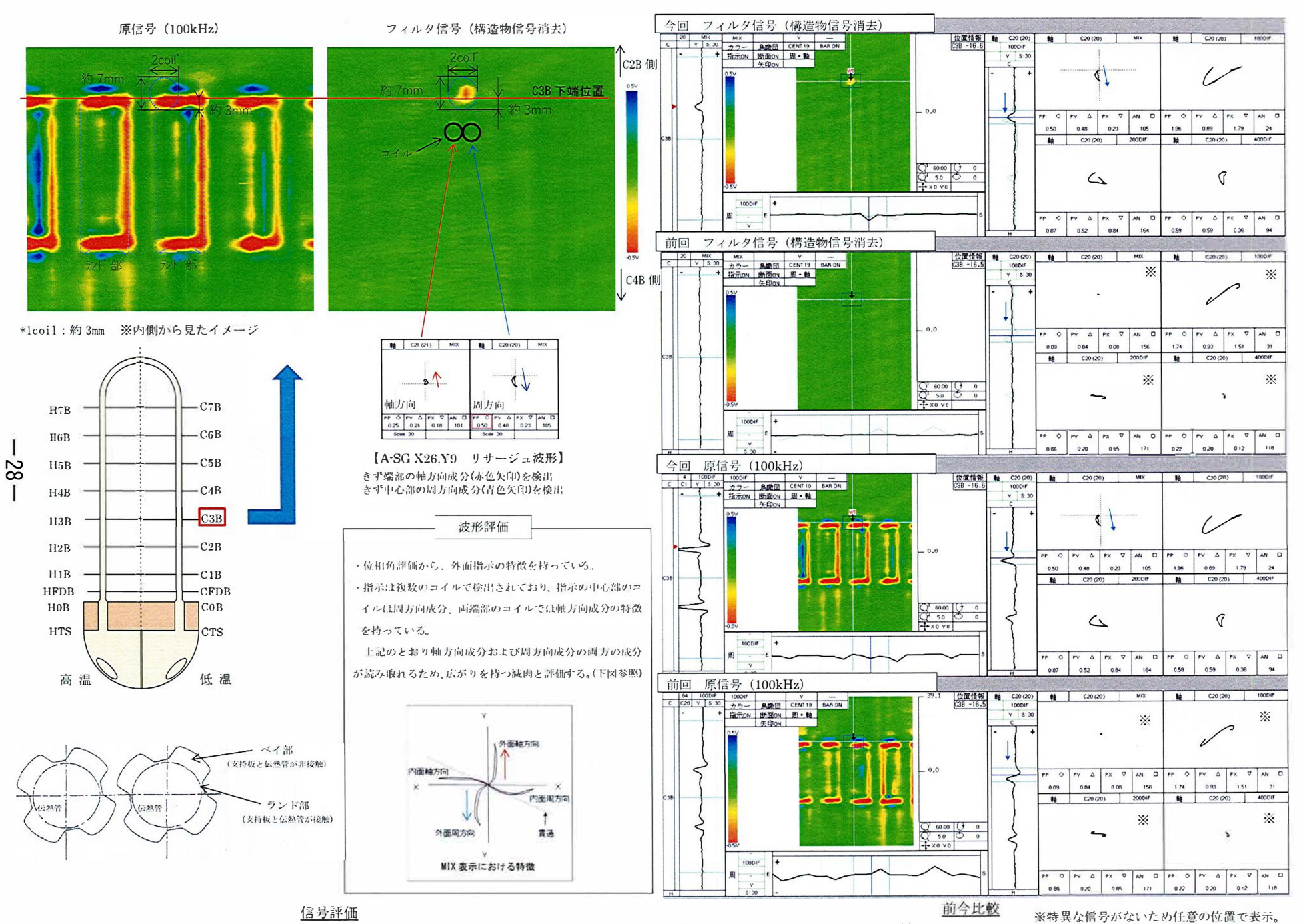
[※]既施栓本数の内数を示す。



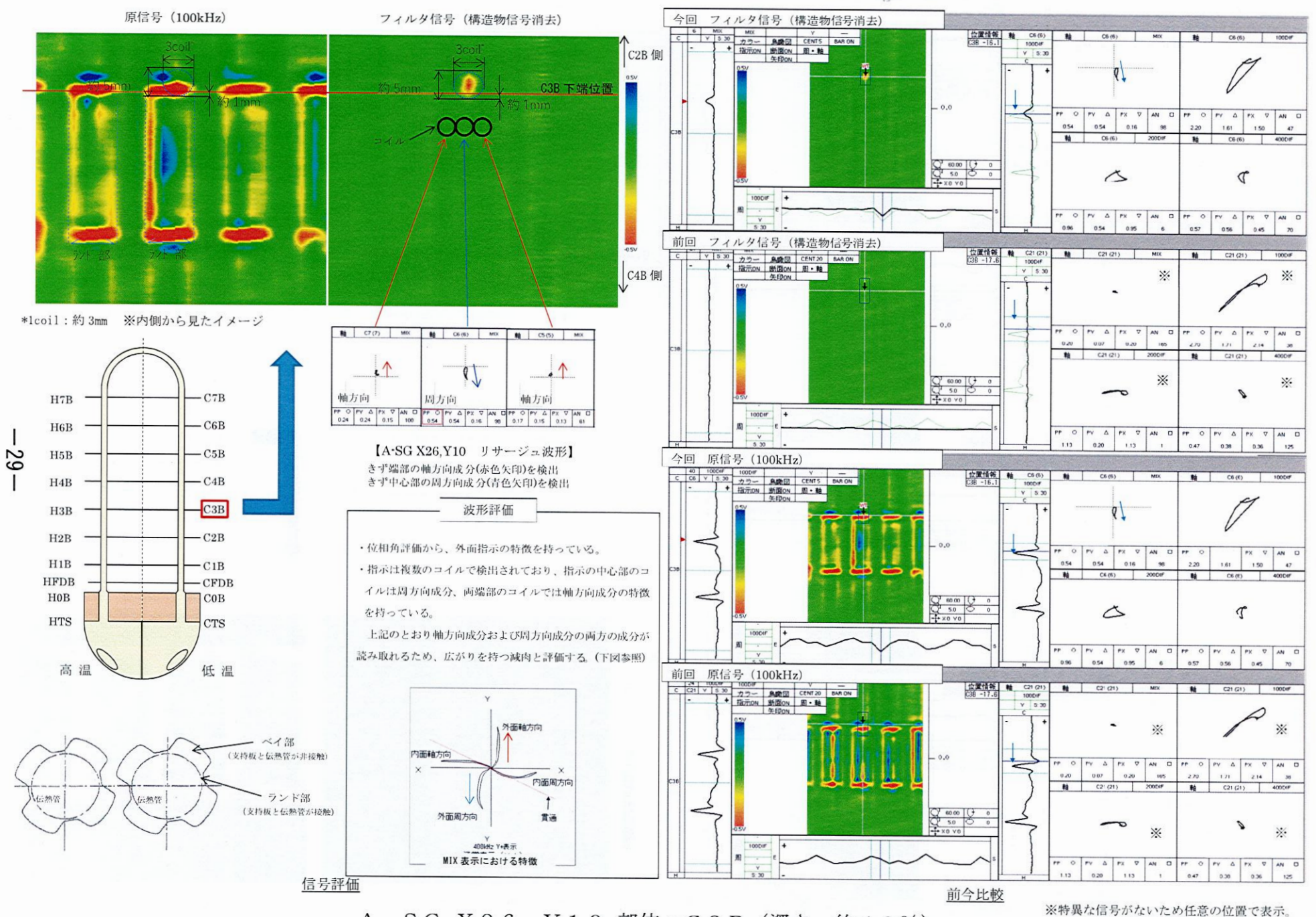
<u>A-SG 39, Y1 部位:C4B (深さ:約4 %)</u>



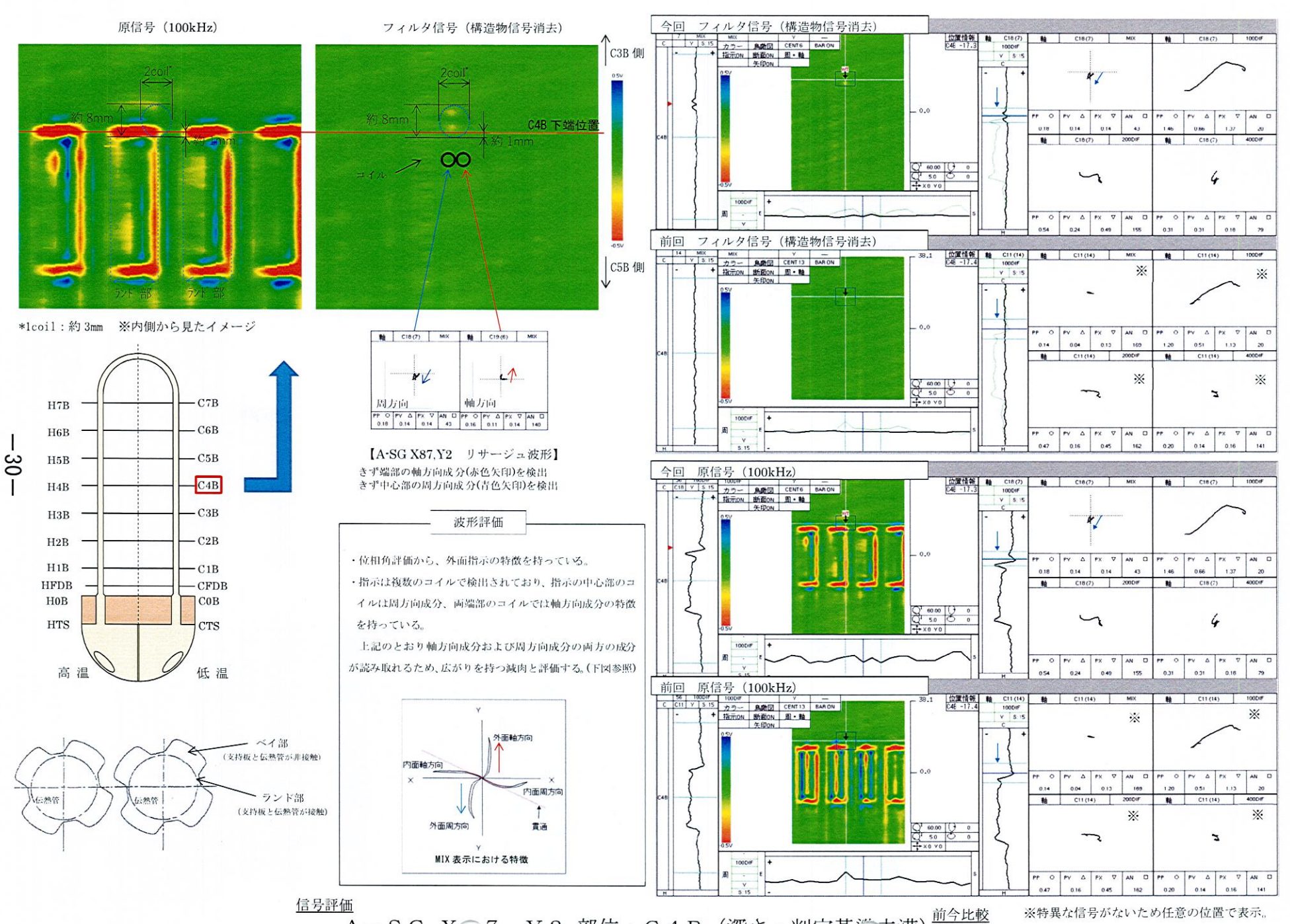
A-SG X24, Y1 部位: C4B (深さ:約25%)



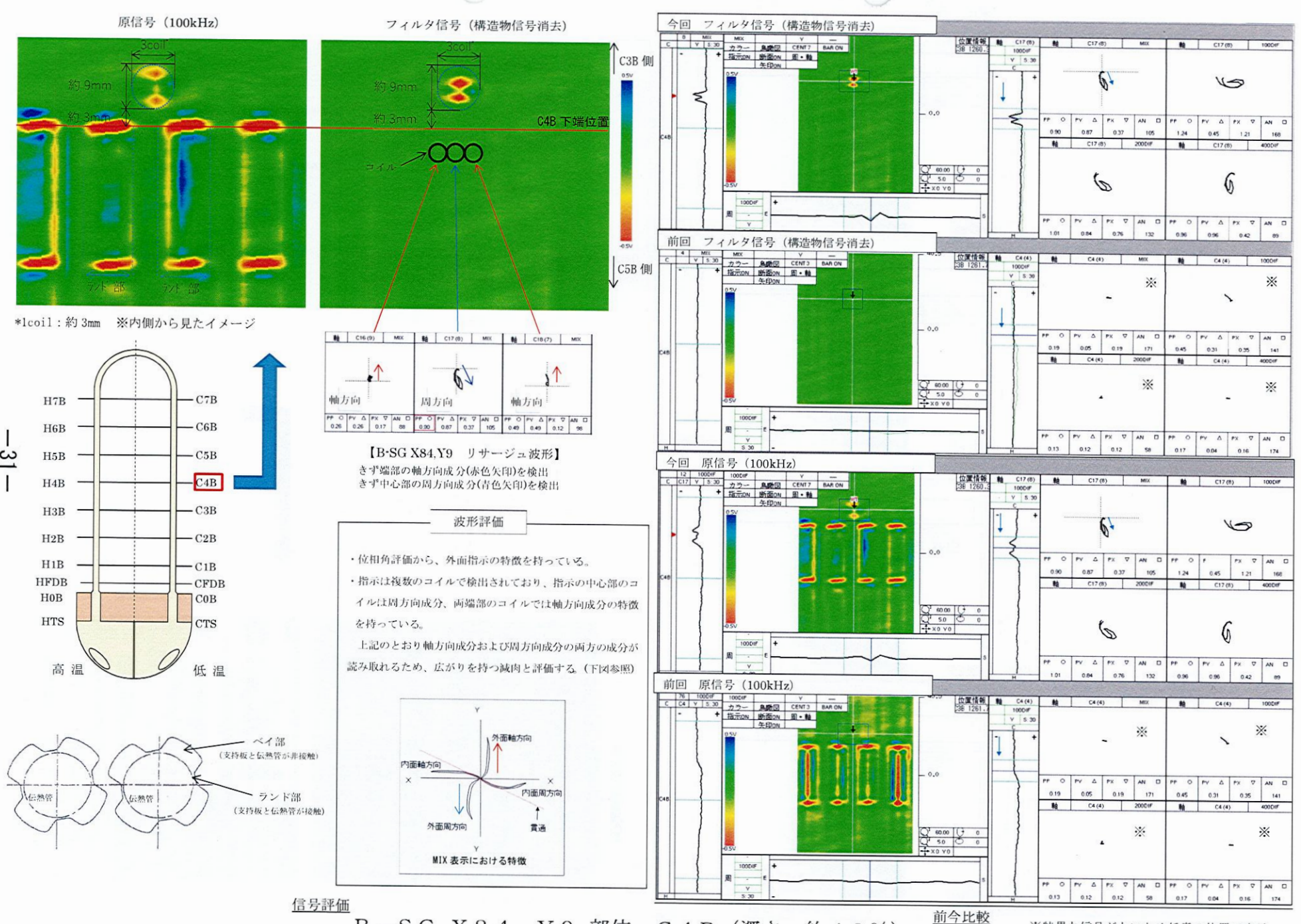
<u>A-SG 26, Y9 部位:C3B (深さ:約3 %)</u>



A-SG X26, Y10 部位: C3B (深さ:約40%)

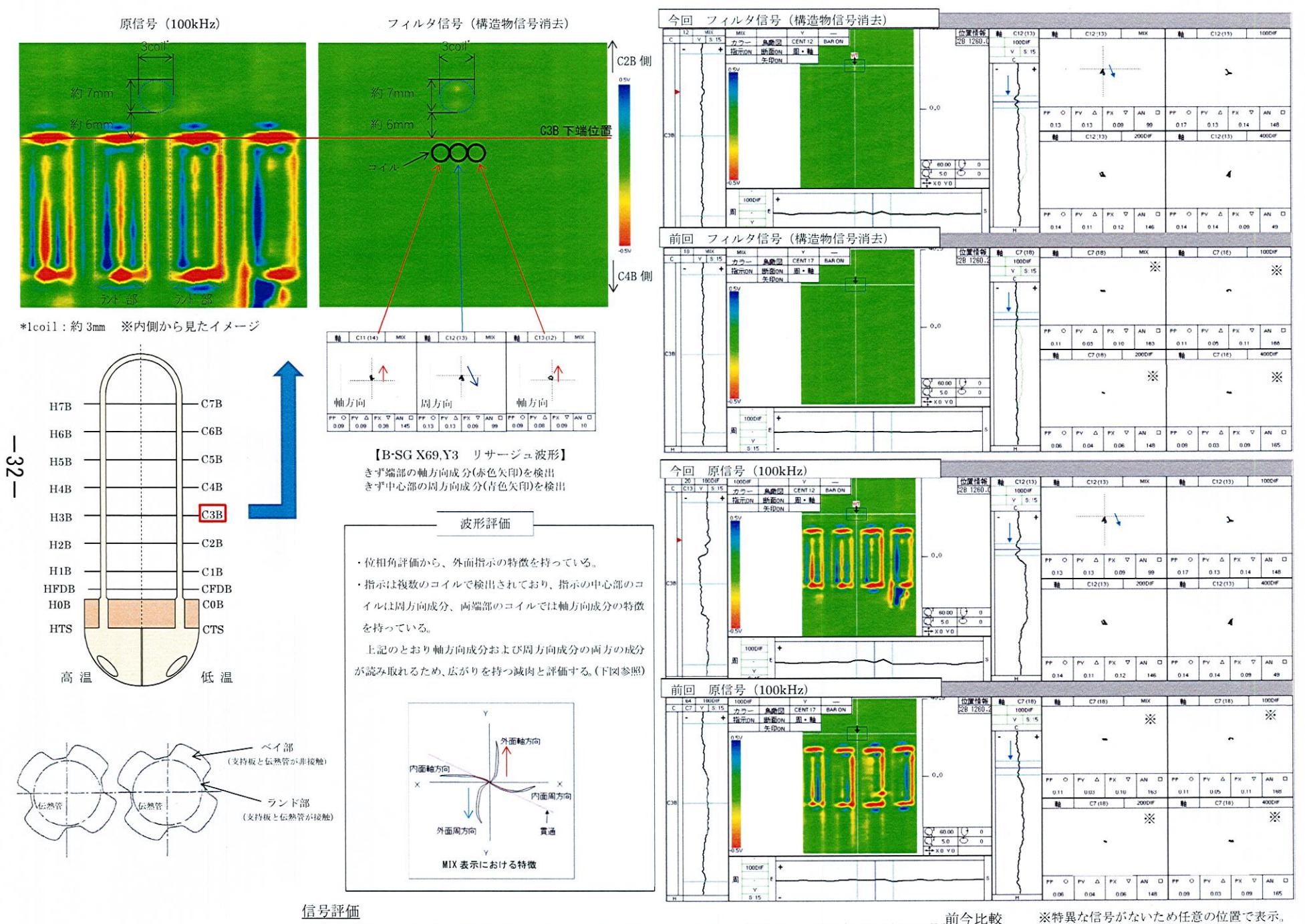


A-SG X 7, Y2 部位: C4B (深さ: 判定基準

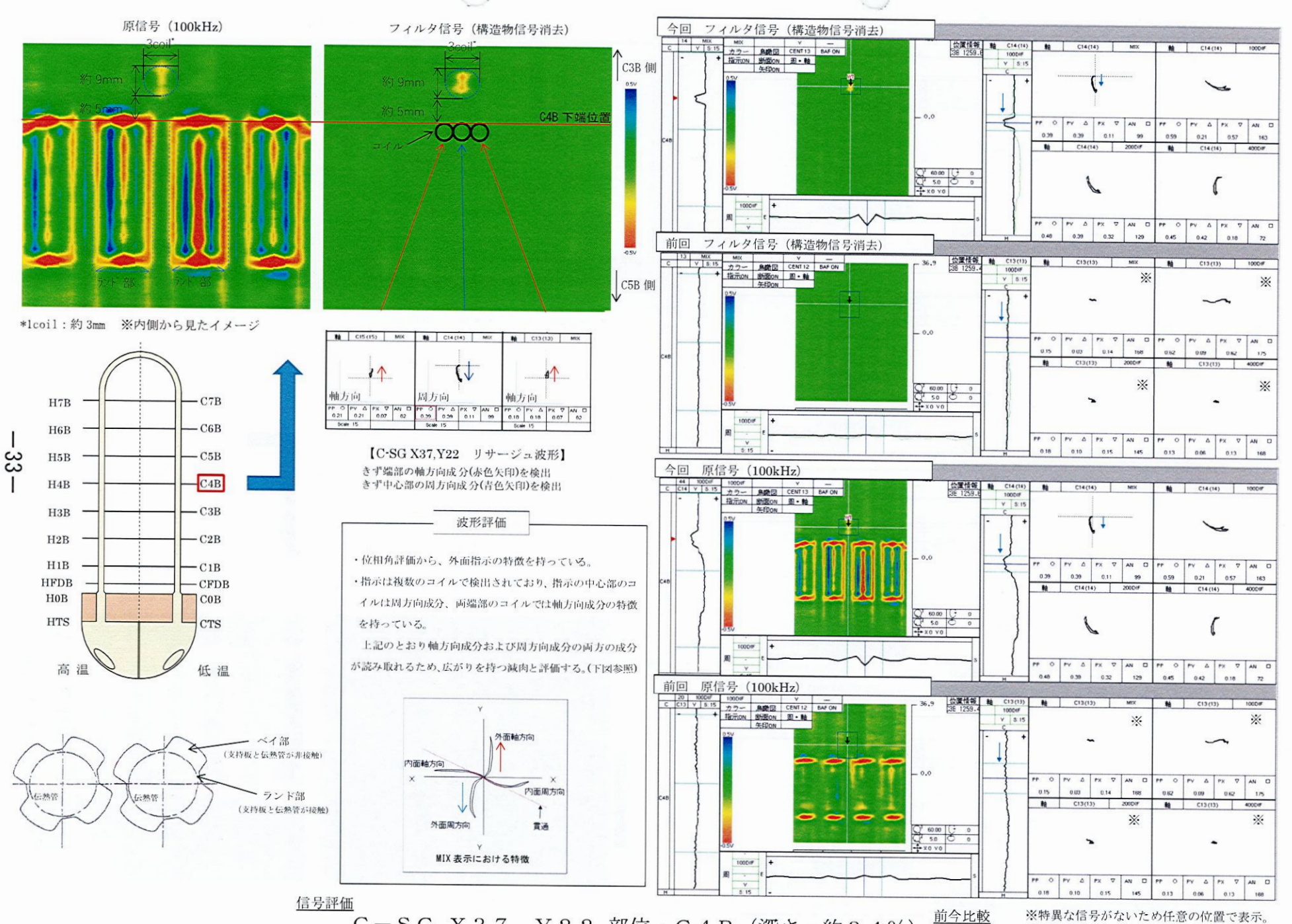


B-SG X84, Y9 部位: C4B (深さ:約49%)

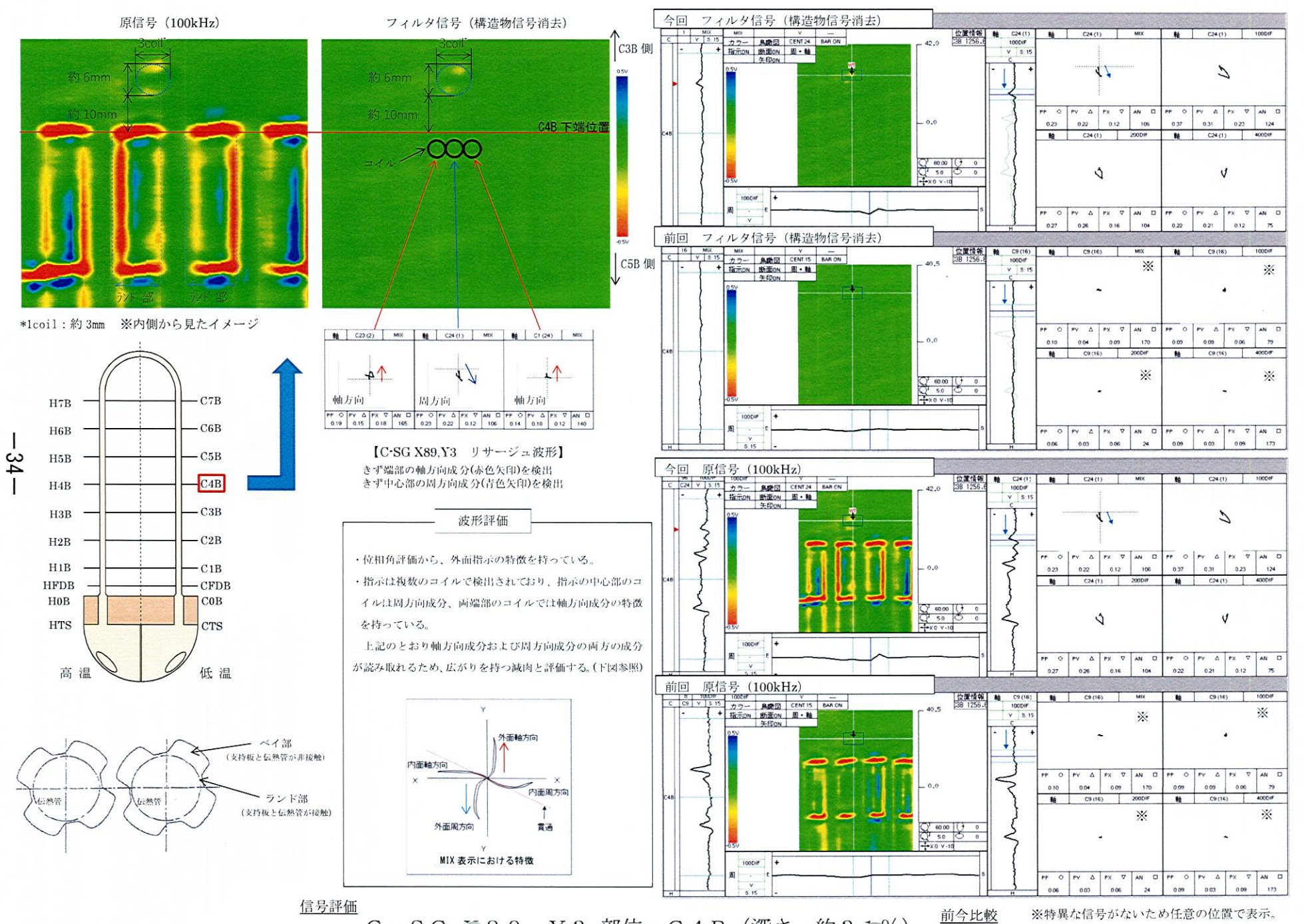
※特異な信号がないため任意の位置で表示。



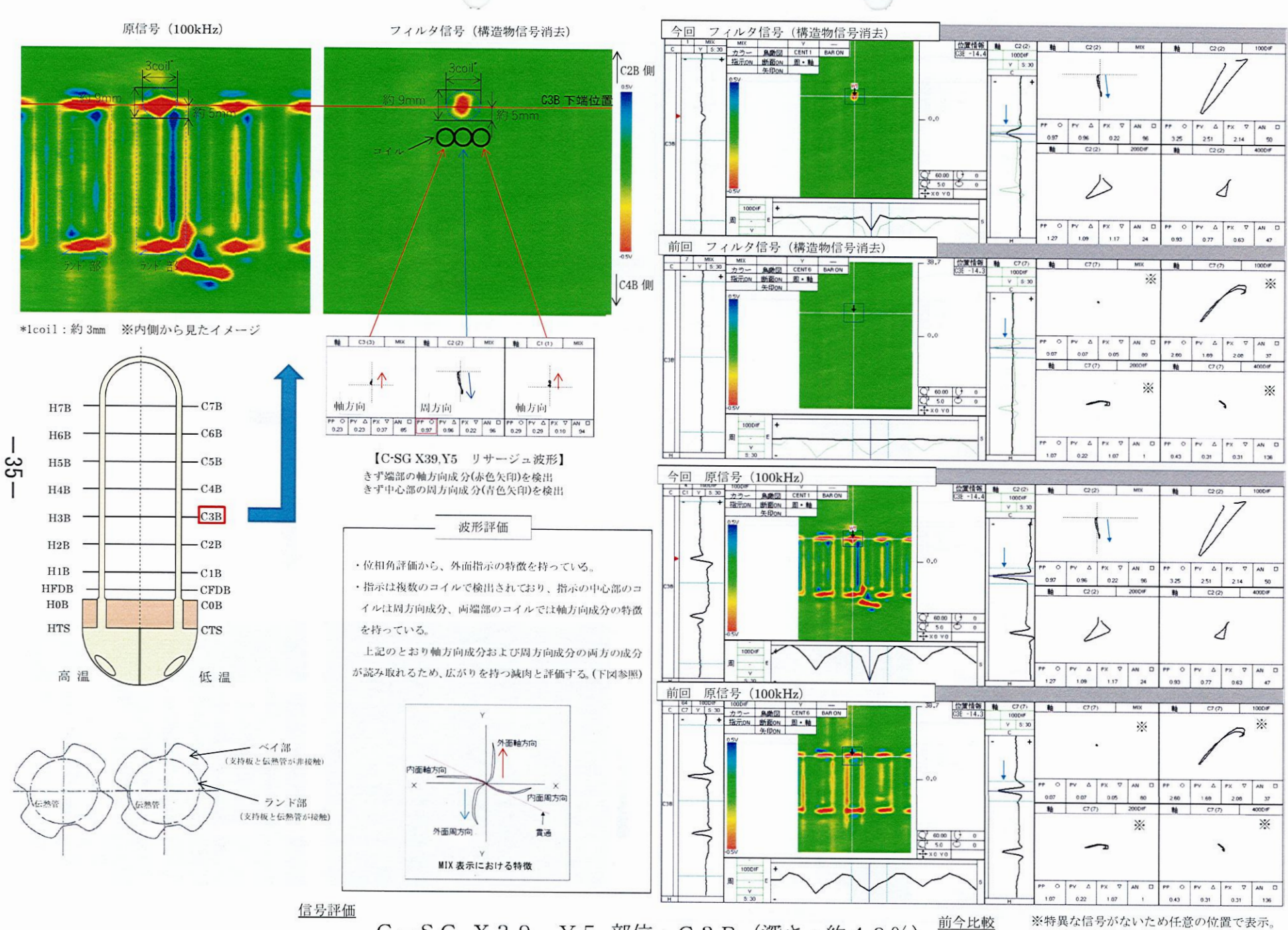
B-SG 7 9, Y3 部位: C3B (深さ: 判定著: 未満)



C-SG X37, Y22 部位: C4B (深さ:約34%)

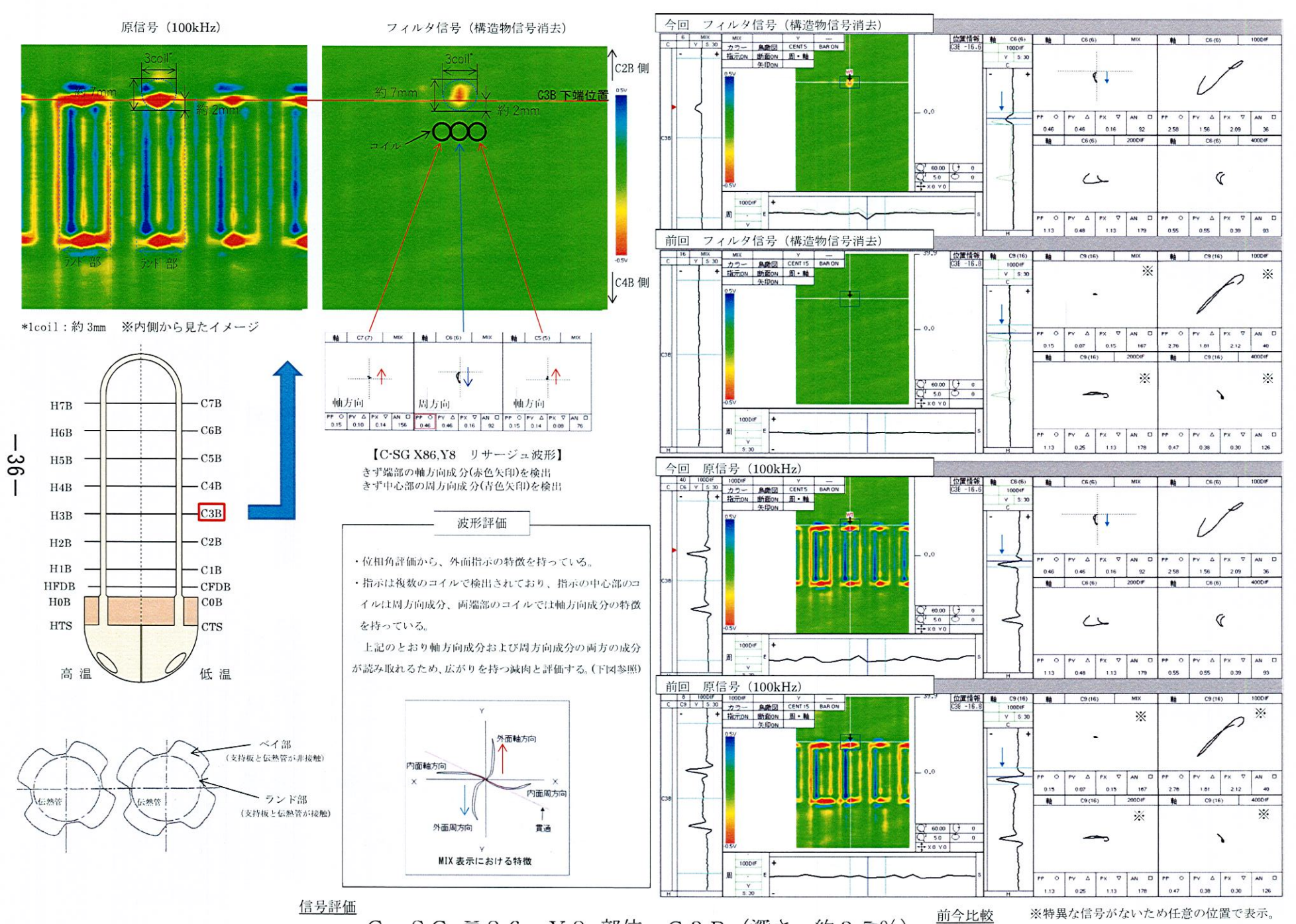


C-SG~89, Y3 部位: C4B(深さ:約3~%)

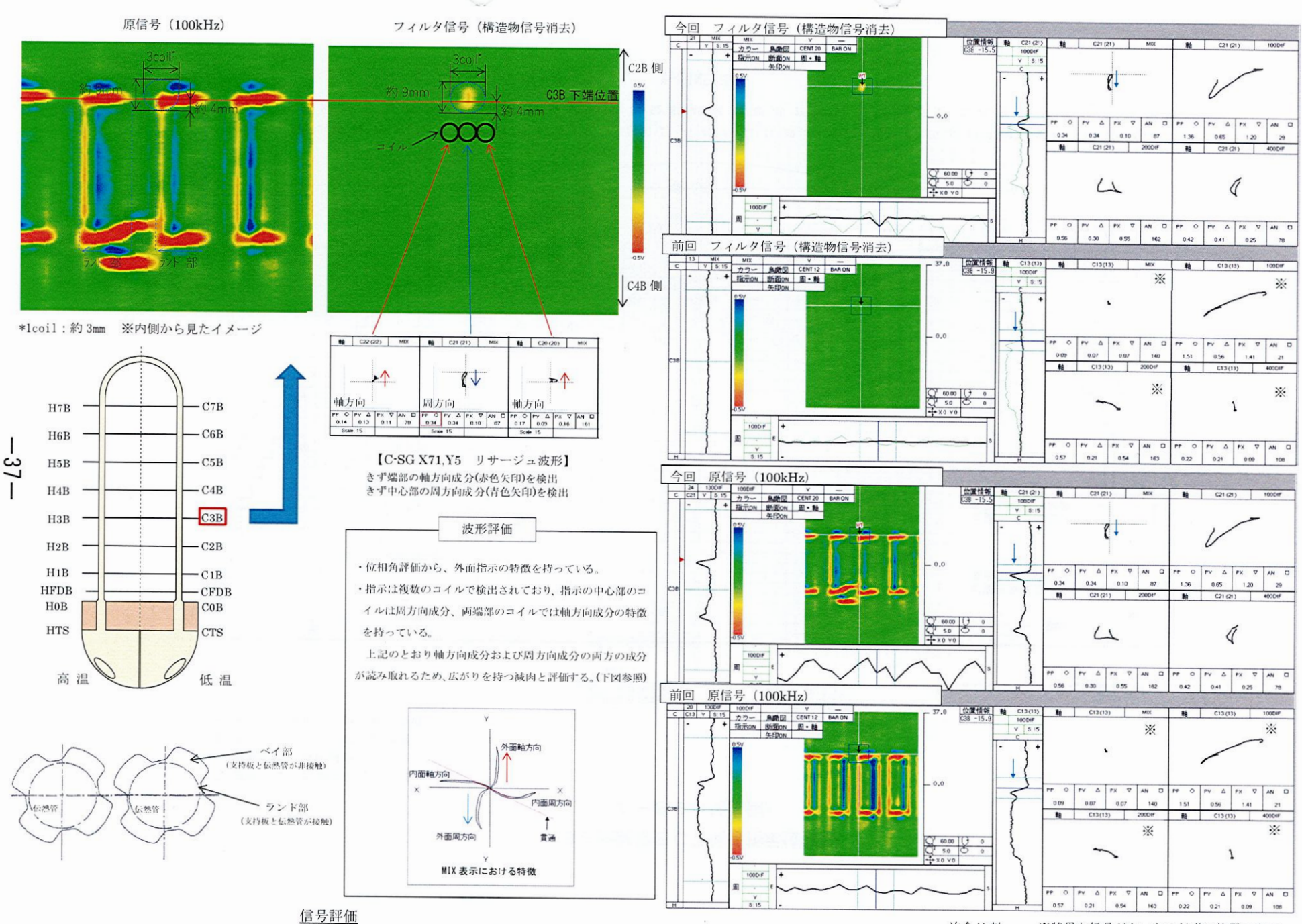


<u>C-SG X39</u>, Y5 部位: C3B (深さ:約49%)

※特異な信号がないため任意の位置で表示。



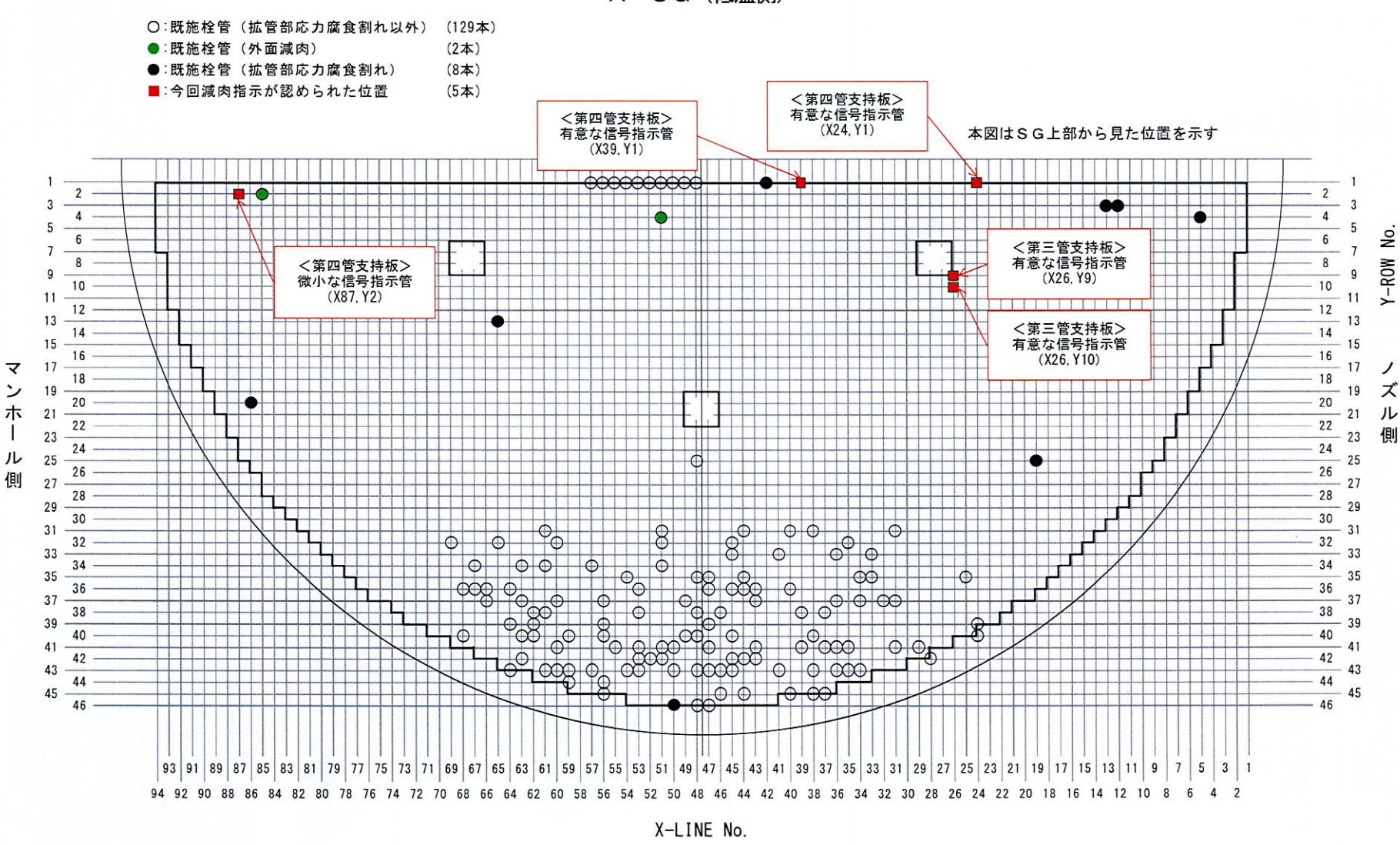
<u>C-SGで86, Y8 部位:C3B(深さ:約3で%)</u>



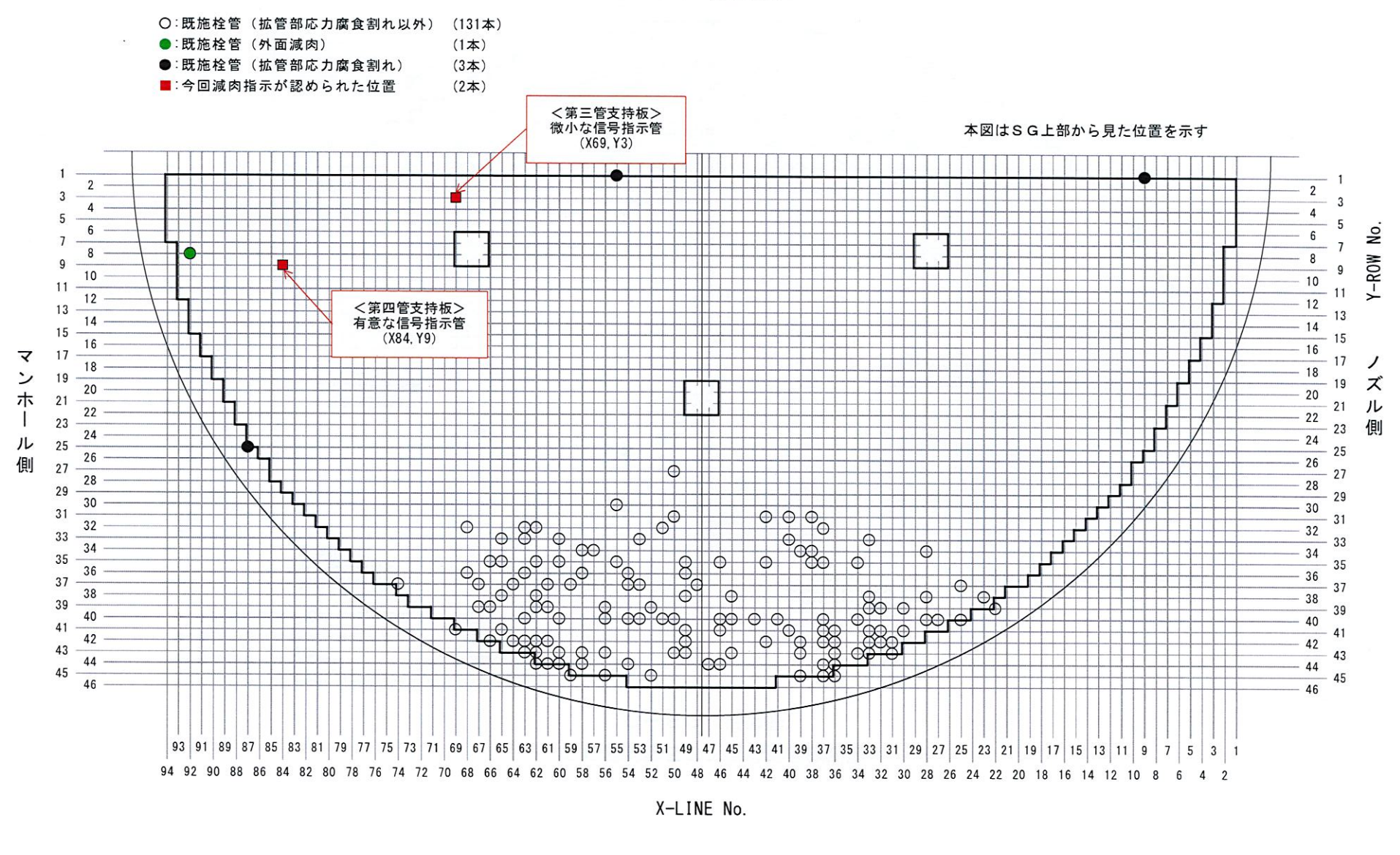
<u>C-SG X71, Y5 部位:C3B (深さ:約34%)</u>

前今比較 ※特異な信号がないため任意の位置で表示。

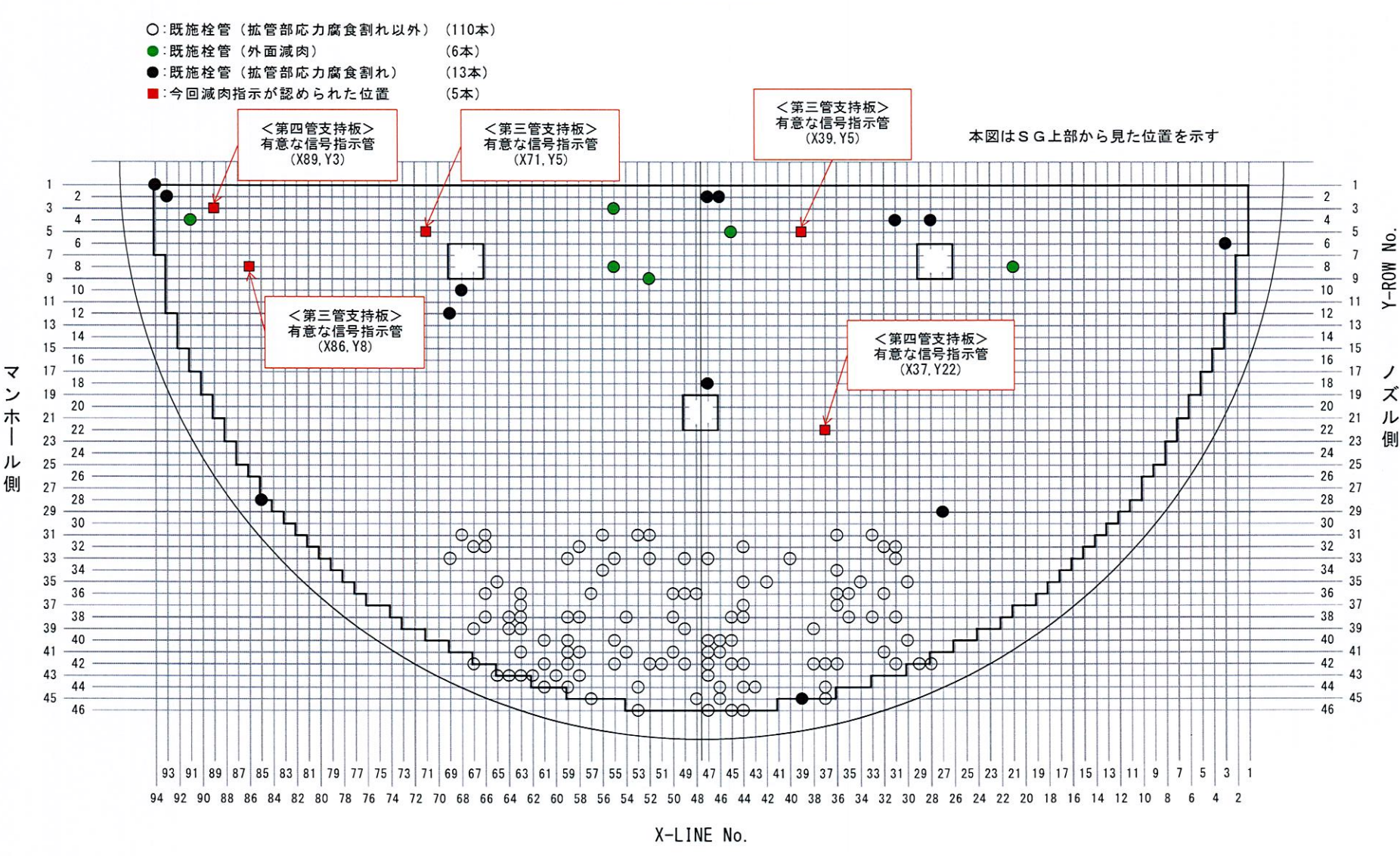
SG伝熱管ECT信号指示位置図 A-SG(低温側)



SG伝熱管ECT信号指示位置図 B-SG(低温側)



SG伝熱管ECT信号指示位置図 C-SG(低温側)



○可能性が高い。 ※ 差別の可能性なし、 0 80プローダルン派数は17ターカンサンジョンの危険ストラートの監督は限り来、依単の反称に指揮が推進した意象、メケードは17スケンジか、22次所数をの存取目をも用いたが単独の対象によってもなかの保証は認めなけなかった。 「同のしたスール」と、「大きな分類を実施します。 ままがまてなっている。 このできますが、このできますが、このよれに、このよれに、このできます。 ままがない 自分のできます。 このできますが、 自分のできますが、 自分のできまが、 自分のできが、 自分ので 波南のほかられた伝統的に辞していて、可能のあるスケールを記事するために、人のおよびら~5G間から思いとにスケールが対抗性地には、このうち、Aおよびら~5G性能激素時あっ アラグミ、原義を見からないというメールを表しましていて、内容解析を物としていたないまた。またなどがない。 これらのスケールの数を作用した場象。同年では、からいる、SG指数スケール)。直接など、Smittle SG指数スケールの対象にない。氏数であり、伝統を同事)の外形・関係2、2mによっなスケールの数を表においてあり、反映を同事)の外形・関係2、2 m 後近にSGS公司機関部に対いてアルカリ組みを指式事業による数の指数機能を発展したプラントで、既存款を対する外表した基準があるが、延迟を指摘するものというアントニアとドリントによる AFAの実践を実施し、あられる記憶があるがある。 であると考えることも、最高はおけられるでした。 であると考えることも、最高はおけられるでした。考える 単表しられるが表面接におくがまたしか。 ナーナルを大きがあっている。アンドングログストングログストングログストングログストングログストングルングログストングルングログストングルングログストングルングログストングルングログストングルングログストングログストングログストングログストングログストングログストングログストングログストングログストングログストングログストングログストングログストングログストングログストングログストングログストングログストングログストングログストングログストングログストングログストングログストングログストングログストングログストングログストングログストングログストングログストングログストングログストングログストングログストングログストングログストングログストングログストングログストングログストングログストングログストングログストングログストングログストングログストングログストングログストングログストングログストングログストングログストングログストングログストングログストングログストングログストングログストングログストングログストングログストングログストングログストングログストングログストングログストングログストングログストングログストングログストングログストングログストングログストングログストングログストングログストングログストングログストングログストングログストングログストングログストングログストングログストングログストングログストングログストングログストングログストングログストングログストングログストングログストングログストングログストングログストングログストングログストングログストングログストングログストングログストングログストングログストングログストングログストングログストングログストングログストングログストングログストングログストングログストングログストングログストングログストングログストングログストングログストングログストングログストングログストングログストングログストングログストングログストングログストングログストングログストングログストングログストングログストングログストングログストングログストングログストングログストングログストングログストングログストングログストングログストングログストングログストングログストングログストングログストングログストングログストングログストングログストングログストングログストングログストングログストングログストングログストングログストングログストングログストングログストングログストングログストングログストングログストングログストングログストングログストングログストングログストングログストングログストングログストングログストングログストングログストングログストングログストングログストングログストングログストングログス 最近の2世代を発展に対して、2年後の表面に対しなどがとかなど。またが最近が使じて指摘をできる。 現場を構成を重要が対けられてとれていたというないを実現を関しているがジャンでは発生している。 対け発生していないにより。 保険の国産部はないを表える。 から、それらがような国際の基準を少額を認定する。 **|神文本語よび表表により素質な異点を表現したのとのとは、全面をもの似文表して表に基本を引いないというなら、四数の表の表面をではる数字の他は集集して予数の基金は実践られたらいで、例文本表の音楽、字表によって表明して表象しました。人を大心。** 4、B5よびC~S1の野藤、漢~・美江智芸等者上面に実存しているスケートのから、其故的文本なものを説は、"3200個を回信した。其た、今後の出来其形のから、4、BおよびC。SCの小スケートの表記にお200個回復した。 小型カンチェル、、、BRAID(SODRA)等、BXTR版の工程の日本を介される思、スケールはスケンタが取りていることを図り。 TANDERORATION SOURTHY SOURCES TO A MARKE A MARKE A MARKET A お質能大きにお ・ から、かっ、インコネンT6ooは他エロージョンのが続いにたから、簡単条件ではお70m/sは上がエローション発生を称り、エロージョンの発音にない、をえる。 「いらのアメールの影響を対象した表演、個代で記り、6mm(A、Schiba Xヤール)。個質的記り、3mm(B~Schiba Xヤール)の中国内におったものでは、 1mm)と関係を行うしてものできまった。 1pmによってもの数字がつかった。1pmには、8mmのでは、1pmによってものできまってものを成るができまった。 1pmによったのできまった。1pmには、1pmには、1pmには、1pmによってものできまった。1pmによってものできまった。1pmによってものできまった。1pmによりののののできままった。1pmによってものできまった。1pmによってものできまった。1pmによってものできまった。1pmによってものできまった。1pmによってものできまった。1pmによってものできまった。1pmによってものできまった。1pmによってものできまった。1pmによってものできまった。1pmによってものできまった。1pmによってものできまった。1pmによってものできまった。1pmによってものできまった。1pmによってものできまった。1pmによってものできまった。1pmによってものできまった。1pmによってものできまった。1pmによってものできまった。1pmによってものできまった。1pmによってものできまった。1pmによってものできまった。1pmによってものできまった。1pmによってものできまった。1pmによってものできまった。1pmによってものできまった。1pmによってものできまった。1pmによってものできまった。1pmによってものできまった。1pmによってものできまった。1pmによってものできまった。1pmによってものできまった。1pmによってものできまった。1pmによってものできまった。1pmによってものできまった。1pmによってものできまった。1pmによってものできまった。1pmによってものできまった。1pmによってものできまった。1pmによってものできまった。1pmによってものできまった。1pmによってものできまった。1pmによってものできまった。1pmによってものできまった。1pmによってものできまった。1pmによってものできまった。1pmによってものできまった。1pmによってものできまった。1pmによってものできまった。1pmによってものできまった。1pmによってものできまった。1pmによってものできまった。1pmによってものできまった。1pmによってものできまった。1pmによってものできまった。1pmによってものできまった。1pmによってものできまった。1pmによってものできまった。1pmによってものできまった。1pmによってものできまった。1pmによってものできまった。1pmによってものできまった。1pmによってものできまった。1pmによってものできまった。1pmによってものできまた。1pmによってものできまた。1pmによってものできまた。1pmによってものできまた。1pmによってものできまた。1pmによってものできまた。1pmによってものできまた。1pmによってものできまた。1pmによってものできまた。1pmによってものできまた。1pmによってものできまた。1pmによってものできまた。1pmによってものできまた。1pmによってものできまた。1pmによってものできまた。1pmによってものできまた。1pmによってものできまた。1pmによってものできまた。1pmによってものできまた。1pmによってものできまた。1pmによってものできまた。1pmによってものできまた。1pmによってものできまた。1pmによってものできまた。1pmによってものできまた。1pmによってものできまた。1pmによってものできまた。1pmによってものできまた。1pmによってものできまた。1pmによってものできまた。1pmによってものできまた。1pmによってものできまた。1pmによってものできまた。1pmによってものできまた。1pmによってものできた。1pmによってものできたた。1pmによってものできた。1pmによってものできた。1pmによってものできたた。1pmによってものできた。1pmによってものできたた。1pmによってものできたた。1pmによってものできたた。1pmによってものできた。1pmによってものできた。1pmによってものできた。1pmによってものできた。1pmによってものできた。1pmによってものできた。1pmによってものできた。1pmによってものできた。1pmによってものできた。1pmによってものできた。1pmによってものできた。1pmによってものできた。1pmによってものできた。1pmによってものできた。1pmによってものできた。1pmによってものできた。1pmによってものできた。1pmによってものできた。1pmによってものできた。 ** 管文体系の型かによる反射管の発生体値面の応力は、最労履に比べば知じらく、最労労働は発生しないと考える。 馬指否なスケーラの繁華は、美国大権監合からいから、中国の商の指示は、スケートの豊富だけらいかの人の 爆炸 - ECTの個号指示により、任務等内部(1次数)にきずがないことを確認した。 - ECTの信号指示を保護した結果、デンティングではないと考える。・ ・・さずの治女からも本業的でないと和断できる。 要因分析図 スケールによる数略 過去の以後間後 SG器内点数(国现场数) 2087年新教(国) SG製の点板 (回被点板) 智養製品 2811F4 ECT (\$ 5) 佐用亞埃 2004時個 数はなる 1827 TO ECT (1) EOT (S. 使用温块 使用即規 内部名が配送して協力 場所的公式把等の行権・制権 物が革命の事業 SG器力強入器 との指数 SG間内が旧様との記録 資体振動による概分 投資以外の信号・ 物形配金部れ (IGA) ŢĒ;;-□I デンティング いい数は数 ピッティング KEEK は状態からの状体 2次側からの岩盤 ECTIE 業內指示 枠組みの範囲は機密に係る事項ですので公開することはできません。

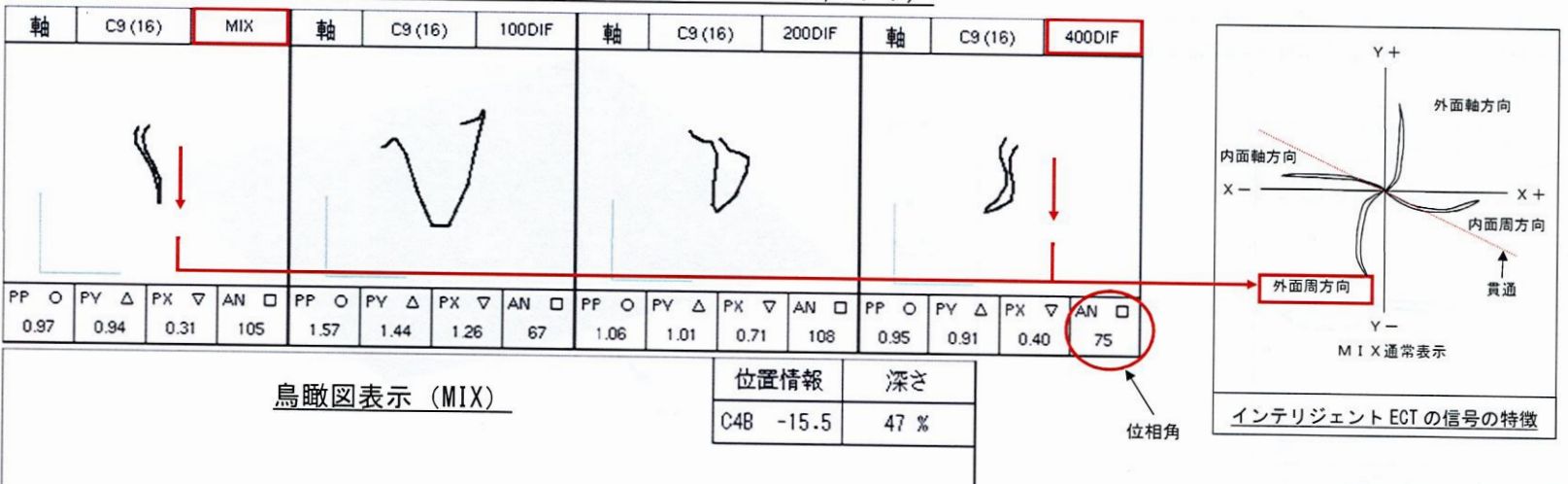
<u> 当該管リサージュ表示 (A-SG X39, Y1)</u>

C3B側方向

C10

C5B側方向

C16

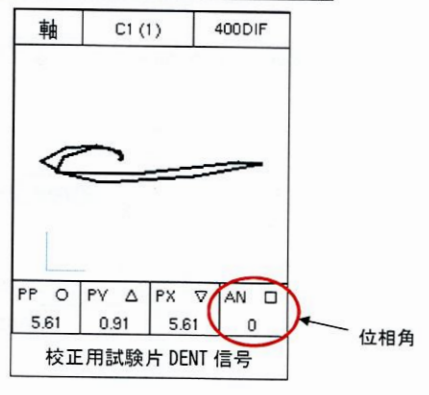


伝熱管軸方向

(1) 内面軸方向信号の特徴との比較

インテリジェントECT の信号の特徴と今回の当該信号を比較したところ、今回の当該信号は400kHz およびMIX の位相角でY-方向の外面周方向きずの特徴を示している。そのため、伝熱管内面(1次側)からの損傷ではないと考える。

(2) デンティング (DENT) 信号の特徴との比較



校正用試験片の DENT 信号と今回の当該信号を比較したところ、DENT 信号は "全振幅を直線で結ぶと、位相角がほとんど 0° となる"という特徴を持っているが、今回の当該信号は Y-方向の位相を示しており、DENT 信号の特徴を持たず外面周方向きずの特徴を持っていると言える。そのため、DENT 信号のような局所変形ではないと考える。

0.5V

-0.5V

伝熱管周方向

添付資料-7(1/12)

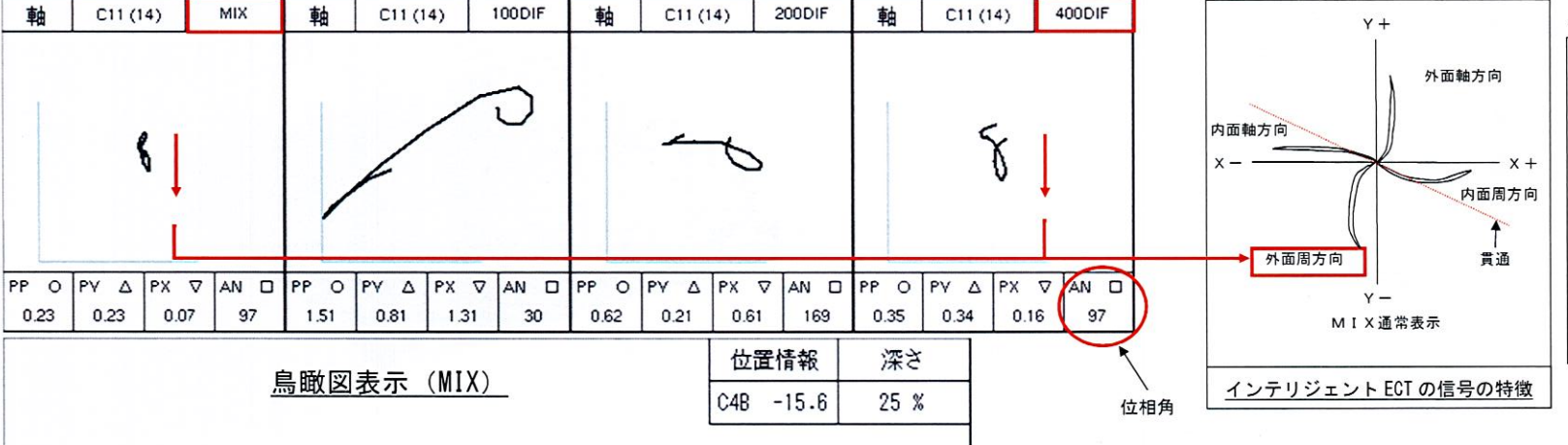
27.8

伝熱管軸方向

当該管リサージュ表示 (A-SG X24, Y1)

C3B側方向

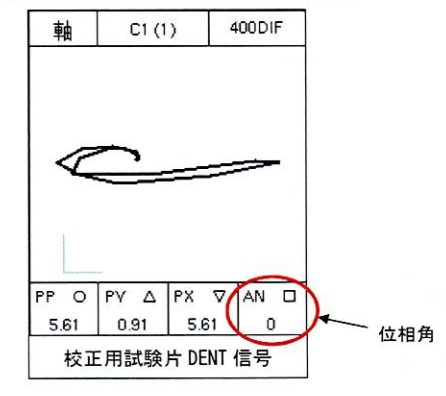
-27.8 ×



(1) 内面軸方向信号の特徴との比較

インテリジェントECT の信号の特徴と今回の当該信号を比較したところ、今回の当該信号は400kHzおよびMIXの位相角でY-方向の外面周方向きずの特徴を示している。そのため、伝熱管内面(1次側)からの損傷ではないと考える。

(2) デンティング (DENT) 信号の特徴との比較



校正用試験片の DENT 信号と今回の当該信号を比較したところ、DENT 信号は "全振幅を直線で結ぶと、位相角がほとんど 0° となる"という特徴を持っているが、今回の当該信号は Y-方向の位相を示しており、DENT 信号の特徴を持たず外面周方向きずの特徴を持っていると言える。そのため、DENT 信号のような局所変形ではないと考える。

0.5V

-0.5V

C24

伝熱管周方向

C12

C5B側方向

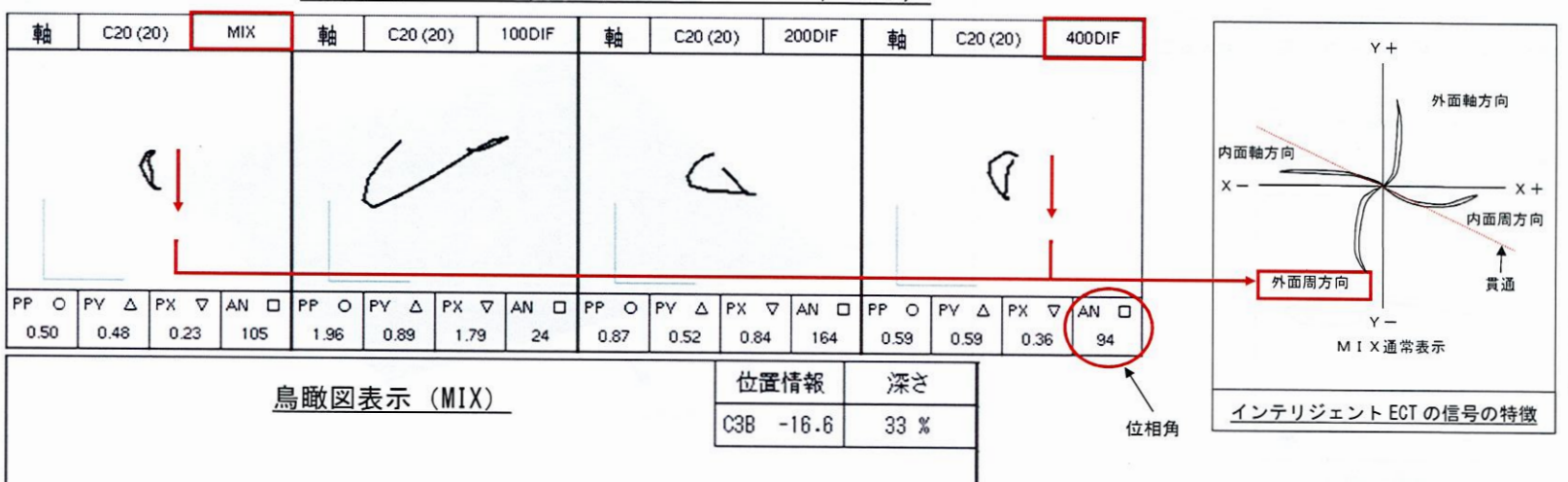
C18

C2B側方向

C19

C4B側方向

C13

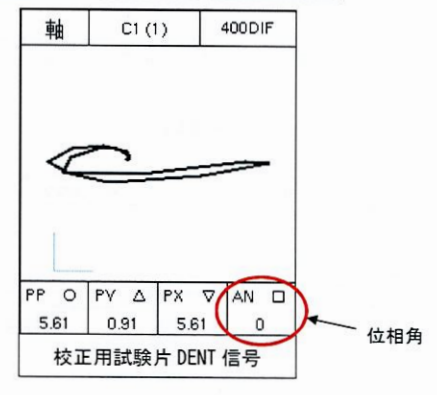


伝熱管軸方向

(1) 内面軸方向信号の特徴との比較

インテリジェントECT の信号の特徴と今回の当該信号を比較したところ、今回の当該信号は400kHz およびMIXの位相角でY-方向の外面周方向きずの特徴を示している。そのため、伝熱管内面(1次側)からの損傷ではないと考える。

(2) デンティング (DENT) 信号の特徴との比較



校正用試験片の DENT 信号と今回の当該信号を比較したところ、DENT 信号は"全振幅を直線で結ぶと、位相角がほとんど 0°となる"という特徴を持っているが、今回の当該信号は Y-方向の位相を示しており、DENT 信号の特徴を持たず外面周方向きずの特徴を持っていると言える。そのため、DENT 信号のような局所変形ではないと考える。

0.5V

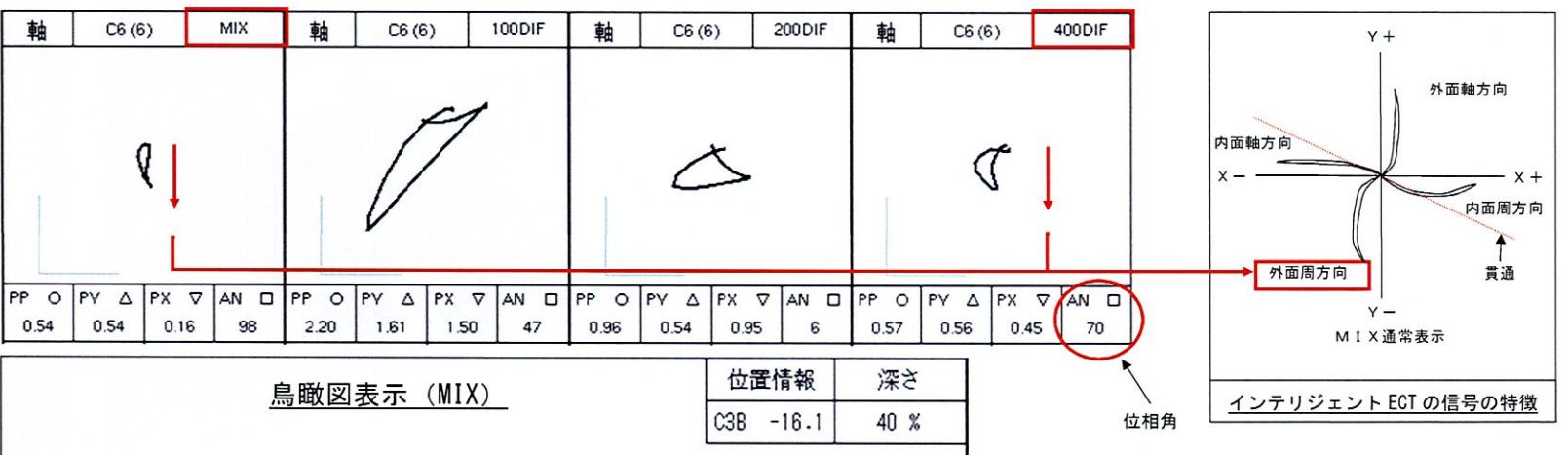
-0.5V

伝熱管周方向

添付資料-7 (3/12)

C2B側方向

-28.2 ×



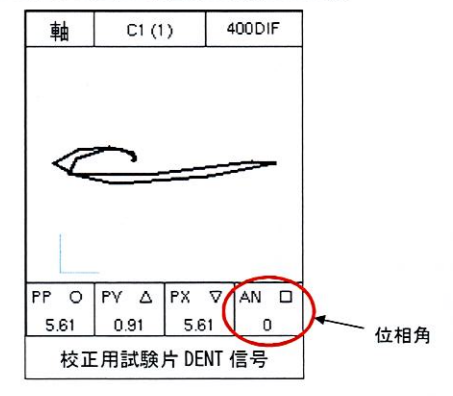
0.0

伝熱管軸方向

(1) 内面軸方向信号の特徴との比較

インテリジェントECT の信号の特徴と今回の当該信号を比較したところ、今回の当該信号は400kHz およびMIX の位相角でY-方向の外面周方向きずの特徴を示している。そのため、伝熱管内面(1次側)からの損傷ではないと考える。

(2) デンティング(DENT)信号の特徴との比較



校正用試験片の DENT 信号と今回の当該信号を比較したところ、DENT 信号は"全振幅を直線で結ぶと、位相角がほとんど 0°となる"という特徴を持っているが、今回の当該信号は Y-方向の位相を示しており、DENT 信号の特徴を持たず外面周方向きずの特徴を持っていると言える。そのため、DENT 信号のような局所変形ではないと考える。

0.5V

-0.5V

C11

C4B側方向

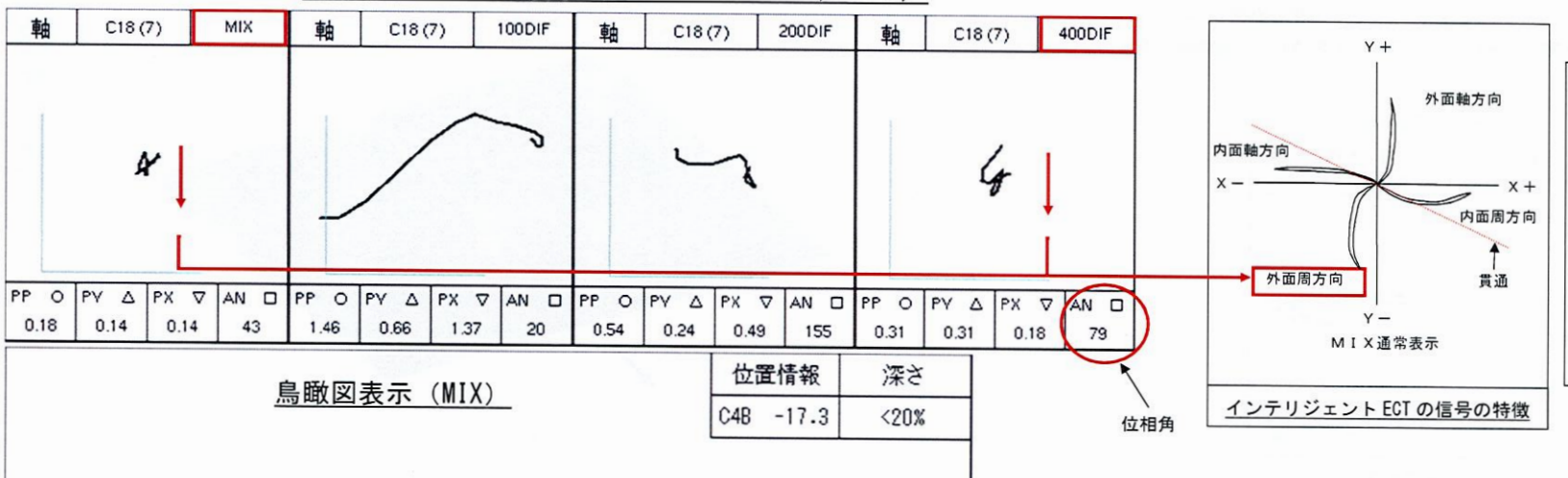
C23

伝熱管周方向

添付資料-7 (4/12

<u>当該管リサージュ表示(A-SG X87, Y2)</u>

C3B側方向

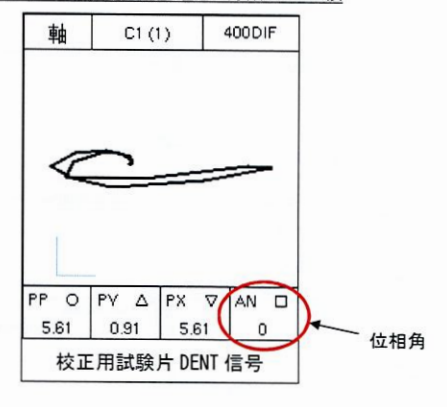


伝熱管軸方向

(1) 内面軸方向信号の特徴との比較

インテリジェント ECT の信号の特徴と今回の当該信号を比較したところ、今回の当該信号は 400kHz およびMIX の位相角で Y-方向の外面周方向きずの特徴を示している。そのため、伝熱管内面(1次側)からの損傷ではないと考える。

(2) デンティング (DENT) 信号の特徴との比較



校正用試験片の DENT 信号と今回の当該信号を比較したところ、DENT 信号は "全振幅を直線で結ぶと、位相角がほとんど 0° となる"という特徴を持っているが、今回の当該信号は Y-方向の位相を示しており、DENT 信号の特徴を持たず外面周方向きずの特徴を持っていると言える。そのため、DENT 信号のような局所変形ではないと考える。

0.5V

-0.5V

C13

C5B側方向

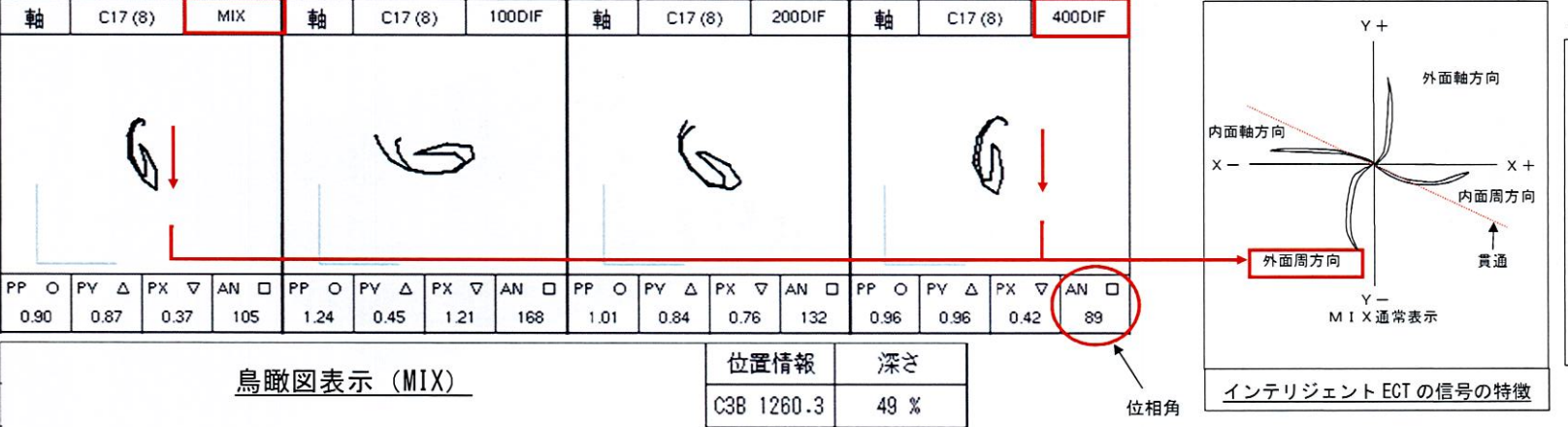
伝熱管周方向

C19

当該管リサージュ表示 (B-SG X84, Y9)

C3B側方向

C18



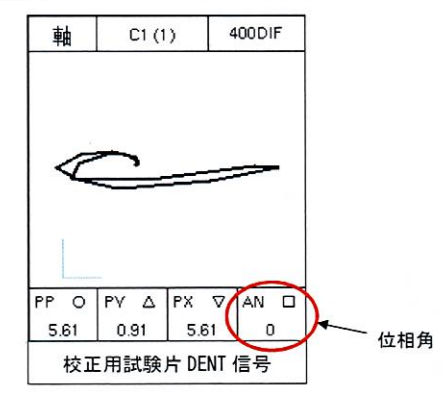
0.0

伝熱管軸方向

(1) 内面軸方向信号の特徴との比較

インテリジェント ECT の信号の特 徴と今回の当該信号を比較した ところ、今回の当該信号は400kHz およびMIXの位相角でY-方向の外 面周方向きずの特徴を示してい る。そのため、伝熱管内面(1次 側) からの損傷ではないと考え

(2) デンティング (DENT) 信号の特徴との比較



校正用試験片の DENT 信号と今回の当該信号を比較したところ、DENT 信号は"全振幅を直線で結ぶと、位相角がほとんど0°となる"とい う特徴を持っているが、今回の当該信号はY-方向の位相を示してお り、DENT 信号の特徴を持たず外面周方向きずの特徴を持っていると 言える。そのため、DENT 信号のような局所変形ではないと考える。

48

0.5V

-0.5V

伝熱管周方向

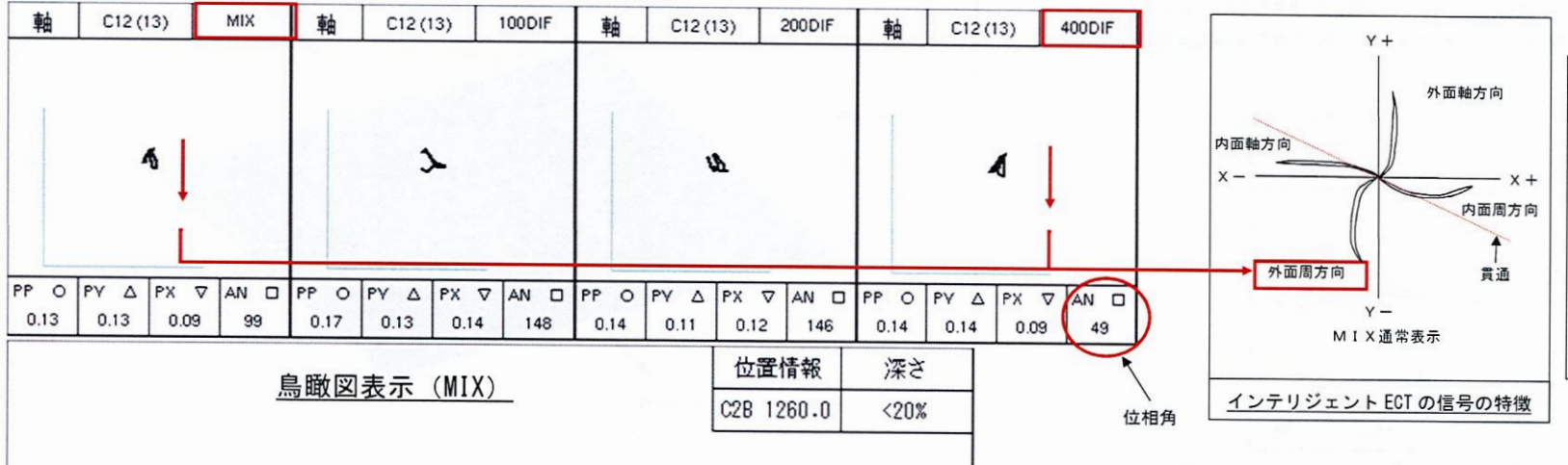
C5B側方向

0

<u>当該管リサージュ表示(B-SG X69, Y3)</u>

C2B側方向

C19



伝熱管軸方向

(1) 内面軸方向信号の特徴との比較

インテリジェントECT の信号の特徴と今回の当該信号を比較したところ、今回の当該信号は400kHzおよびMIXの位相角でY-方向の外面周方向きずの特徴を示している。そのため、伝熱管内面(1次側)からの損傷ではないと考える。

(2) デンティング (DENT) 信号の特徴との比較



校正用試験片の DENT 信号と今回の当該信号を比較したところ、DENT 信号は"全振幅を直線で結ぶと、位相角がほとんど0°となる"という特徴を持っているが、今回の当該信号は Y-方向の位相を示しており、DENT 信号の特徴を持たず外面周方向きずの特徴を持っていると言える。そのため、DENT 信号のような局所変形ではないと考える。

-49-

0.5V

-0.5V

伝熱管周方向

C4B側方向

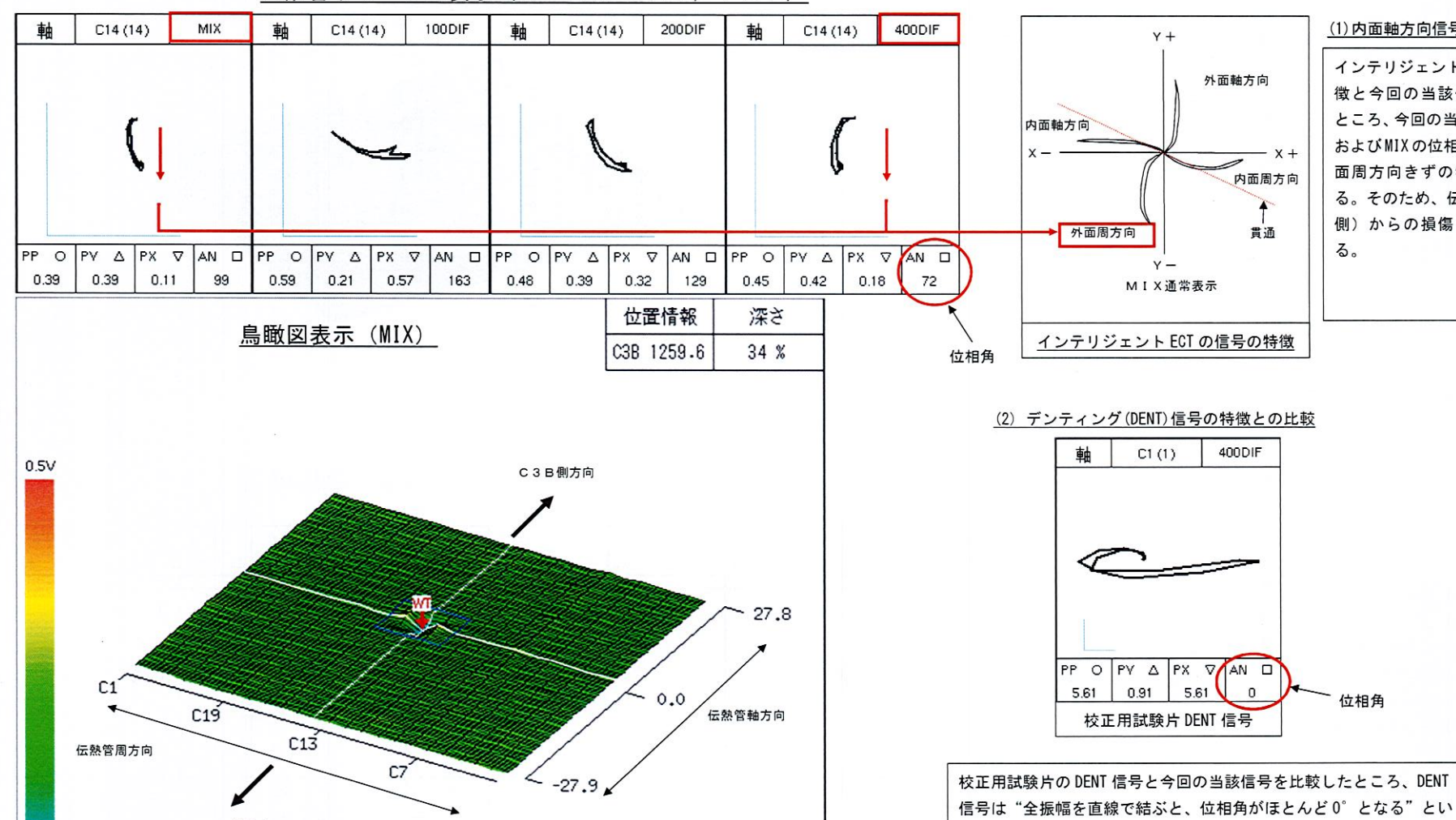
•

添付資料-7(7/12

当該管リサージュ表示 (C-SG X37, Y22)

50

C5B側方向



(1) 内面軸方向信号の特徴との比較

インテリジェント ECT の信号の特

徴と今回の当該信号を比較した ところ、今回の当該信号は400kHz

およびMIXの位相角でY-方向の外 面周方向きずの特徴を示してい

る。そのため、伝熱管内面(1次 側) からの損傷ではないと考え

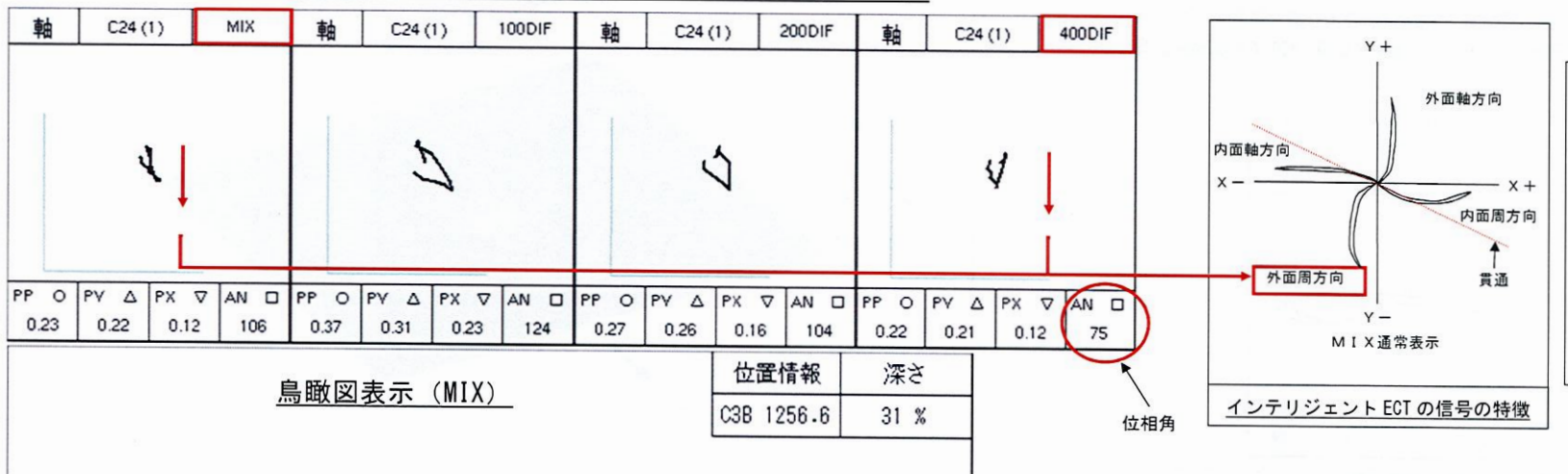
る。

位相角

う特徴を持っているが、今回の当該信号はY-方向の位相を示してお り、DENT 信号の特徴を持たず外面周方向きずの特徴を持っていると 言える。そのため、DENT 信号のような局所変形ではないと考える。

<u>当該管リサージュ表示(C-SG X89, Y3)</u>

C3B側方向

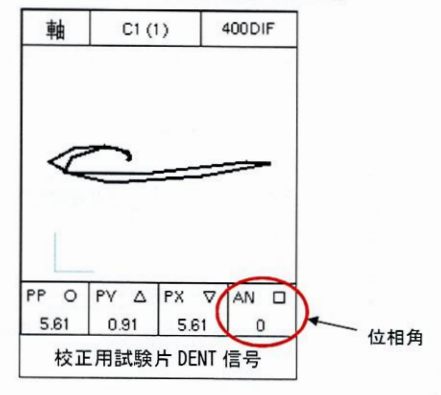


伝熱管軸方向

(1) 内面軸方向信号の特徴との比較

インテリジェント ECT の信号の特徴と今回の当該信号を比較したところ、今回の当該信号は 400kHz およびMIX の位相角で Y-方向の外面周方向きずの特徴を示している。そのため、伝熱管内面(1次側)からの損傷ではないと考える。

(2) デンティング (DENT) 信号の特徴との比較



校正用試験片の DENT 信号と今回の当該信号を比較したところ、DENT 信号は "全振幅を直線で結ぶと、位相角がほとんど 0"となる"という特徴を持っているが、今回の当該信号は Y-方向の位相を示しており、DENT 信号の特徴を持たず外面周方向きずの特徴を持っていると言える。そのため、DENT 信号のような局所変形ではないと考える。

0.5V

-0.5V

C19

C5B側方向

伝熱管周方向

C1

当該管リサージュ表示 (C-SG X39, Y5)

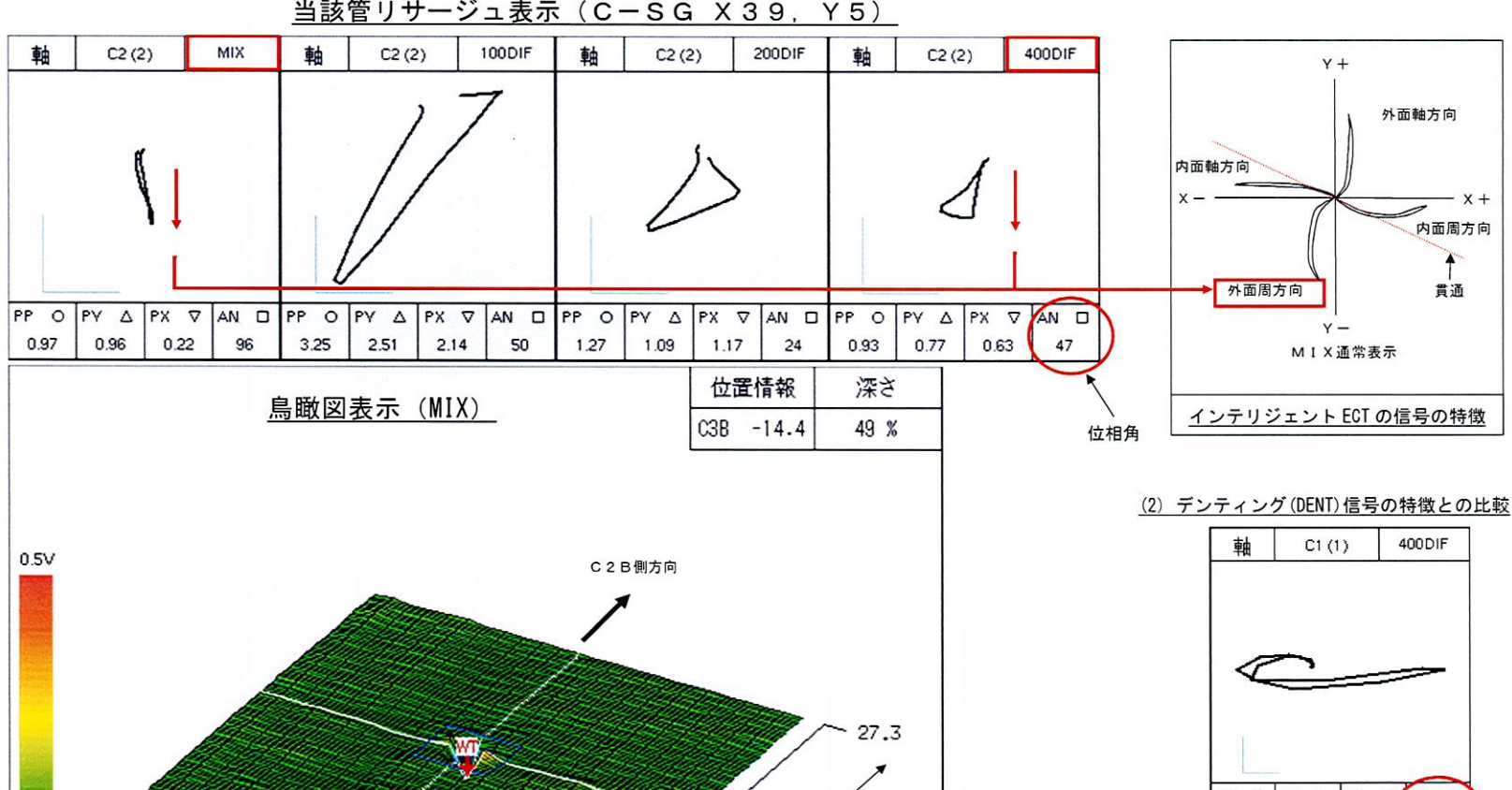
C1

C4B側方向

伝熱管周方向

-0.5V

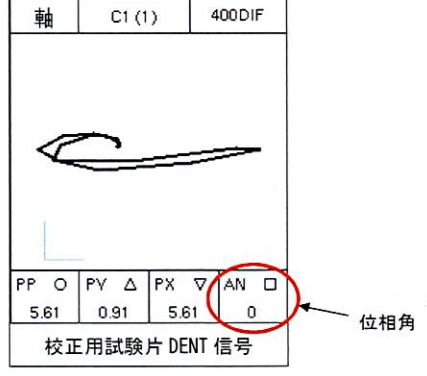
52



伝熱管軸方向

(1) 内面軸方向信号の特徴との比較

インテリジェント ECT の信号の特 徴と今回の当該信号を比較した ところ、今回の当該信号は 400kHz およびMIXの位相角でY-方向の外 面周方向きずの特徴を示してい る。そのため、伝熱管内面(1次 側)からの損傷ではないと考え る。

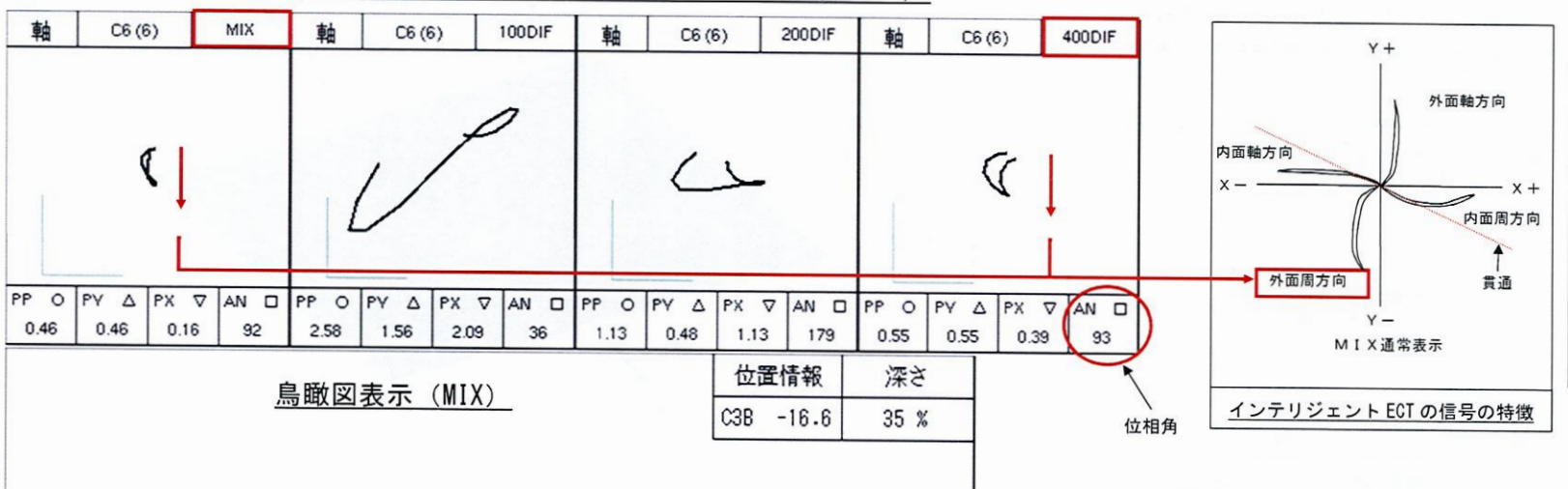


校正用試験片の DENT 信号と今回の当該信号を比較したところ、DENT 信号は"全振幅を直線で結ぶと、位相角がほとんど0°となる"とい う特徴を持っているが、今回の当該信号はY-方向の位相を示してお り、DENT 信号の特徴を持たず外面周方向きずの特徴を持っていると 言える。そのため、DENT 信号のような局所変形ではないと考える。

C2B側方向

C5

C4B側方向

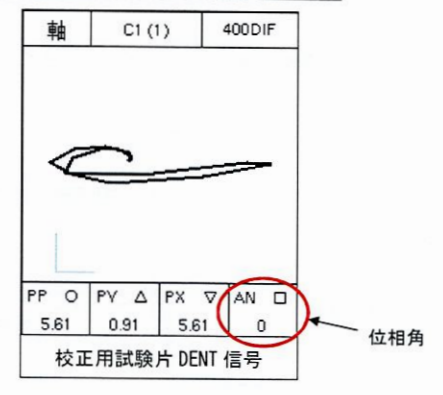


伝熱管軸方向

(1) 内面軸方向信号の特徴との比較

インテリジェント ECT の信号の特徴と今回の当該信号を比較したところ、今回の当該信号は400kHz およびMIXの位相角でY-方向の外面周方向きずの特徴を示している。そのため、伝熱管内面(1次側)からの損傷ではないと考える。

(2) デンティング (DENT) 信号の特徴との比較



校正用試験片の DENT 信号と今回の当該信号を比較したところ、DENT 信号は "全振幅を直線で結ぶと、位相角がほとんど 0° となる"という特徴を持っているが、今回の当該信号は Y-方向の位相を示しており、DENT 信号の特徴を持たず外面周方向きずの特徴を持っていると言える。そのため、DENT 信号のような局所変形ではないと考える。

0.5V

-0.5V

伝熱管周方向

添付資料-7(11/12)

C2B側方向

C20

C4B側方向

C14

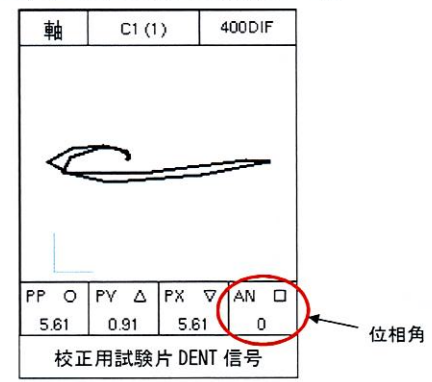


伝熱管軸方向

(1) 内面軸方向信号の特徴との比較

インテリジェント ECT の信号の特徴と今回の当該信号を比較したところ、今回の当該信号は 400kHz およびMIX の位相角で Y-方向の外面周方向きずの特徴を示している。そのため、伝熱管内面(1次側)からの損傷ではないと考える。

(2) デンティング(DENT)信号の特徴との比較



校正用試験片の DENT 信号と今回の当該信号を比較したところ、DENT 信号は "全振幅を直線で結ぶと、位相角がほとんど 0° となる"という特徴を持っているが、今回の当該信号は Y-方向の位相を示しており、DENT 信号の特徴を持たず外面周方向きずの特徴を持っていると言える。そのため、DENT 信号のような局所変形ではないと考える。

-54-

0.5V

-0.5V

伝熱管周方向

添付資料-7(12/12

粒界腐食割れに関する検討結果(1/2)

高浜発電所4号機 SG の至近サイクルについて、通常運転中の SG 器内水質(バルク水の水質)を用いたクレビス部 pH 計算の結果、クレビス部での pH は平均 5.8 と、高温での中性点(pH:5.5)近傍の値であった。

ここでは、伝熱管と異物との隙間内での濃縮倍率として、10³と安全側に仮定した。

また、高浜発電所4号機では2次系水中にアンモニアとヒドラジンを注入しており、運転中良好な還元雰囲気を維持している。

インコネル TT600 の粒界腐食割れ(IGA)の感受性領域を下図に示すが、IGA が発生する環境になく、IGA 発生の可能性はないものと考えられる。

くクレビス部 pH 値計算結果>

	第24サイクル	
pH300℃	平均 5.8	

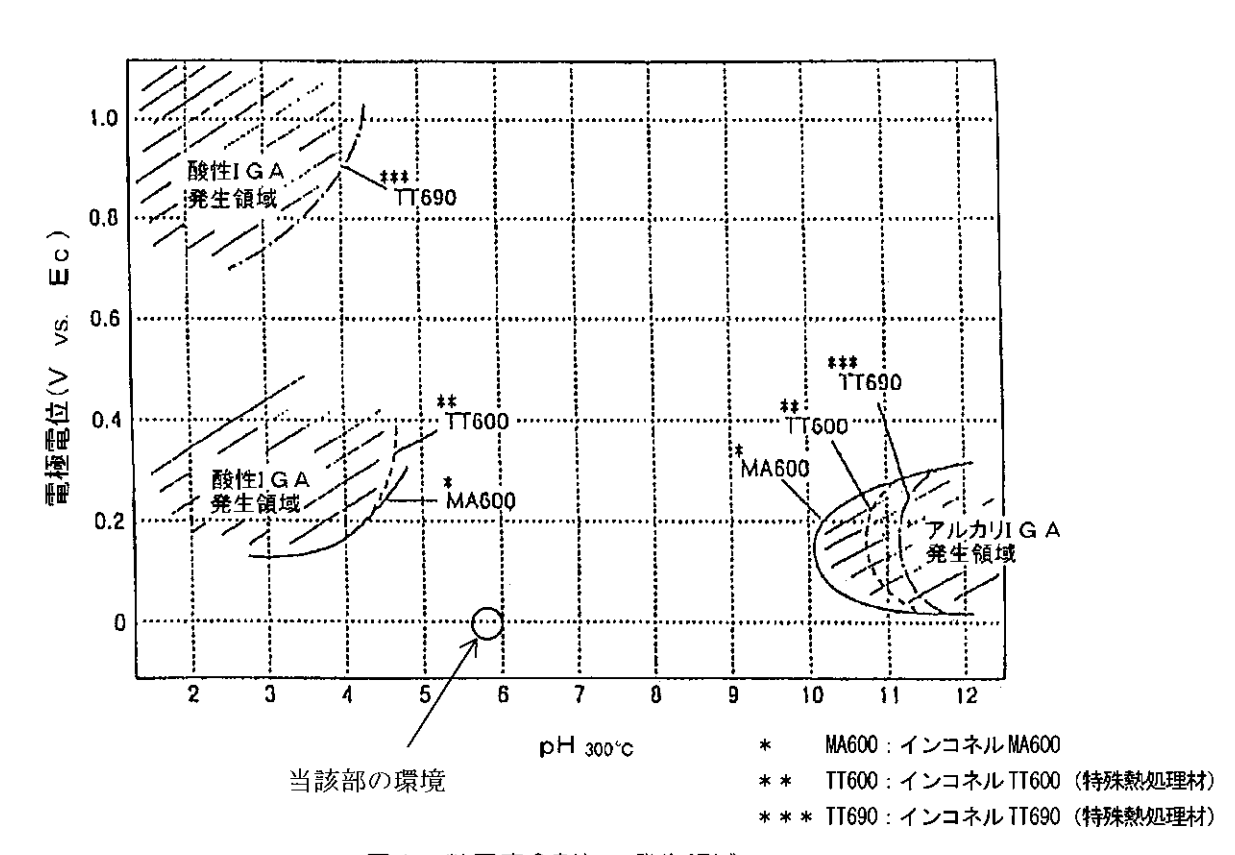


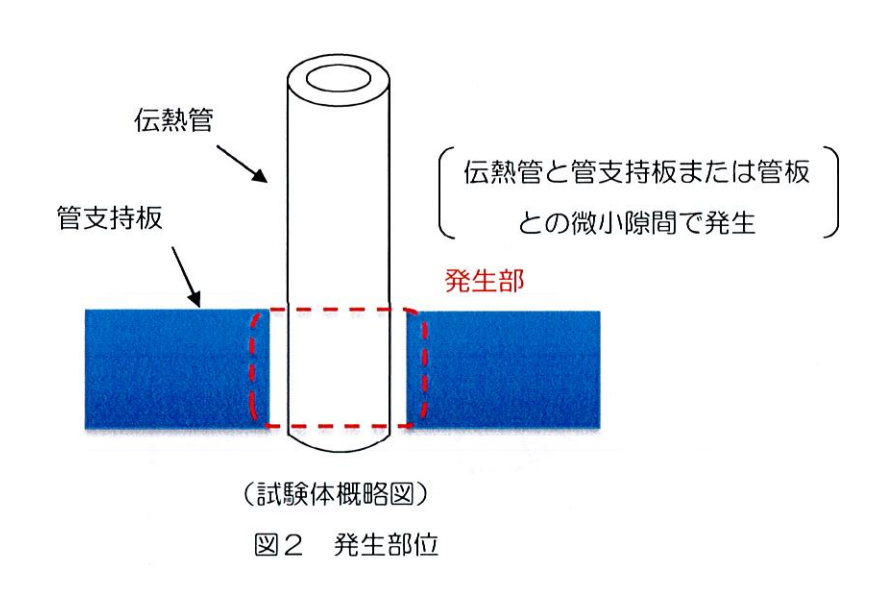
図1 粒界腐食割れの発生領域

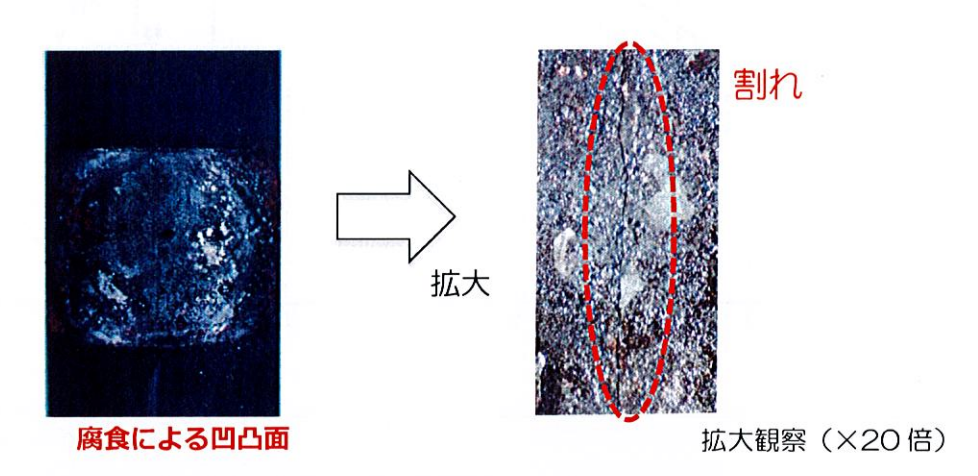
[出典:(財)発電設備技術検査協会「第7回 報告と講演の会 報告成果スライド集(平成6年10月28日)」]

粒界腐食割れに関する検討結果(2/2)

(粒界腐食割れによるきずの形状)

プラントメーカの材料研究部門の有識者を含め検討した結果、今回確認したきずが摩耗減肉であると 判断している。また、小型カメラによる目視点検結果から機械的な影響による減肉と考えられ、粒界腐食割れの可能性はないと考えられる。なお、粒界腐食割れによるきずの形状例を以下に示す。





(昭和63年度 共同研究報告書「蒸気発生器改良型伝熱管長期腐食信頼性に関する研究」より抜粋)

図3 表面形状

発電用原子炉施設故障等報告書 (高浜発電所4号機 蒸気発生器伝熱管の損傷について) (2021年2月19日)より引用

ピッティングに関する検討結果(1/2)

高浜発電所4号機の通常運転時のSG2次側器内水塩素濃度の管理値は10ppbである。参考として、至近サイクルの塩素濃度は下表に示すが、実際に管理値を十分下回っていることを確認している。

高浜発電所4号機 SG 器内水塩素イオン濃度至近サイクル平均値

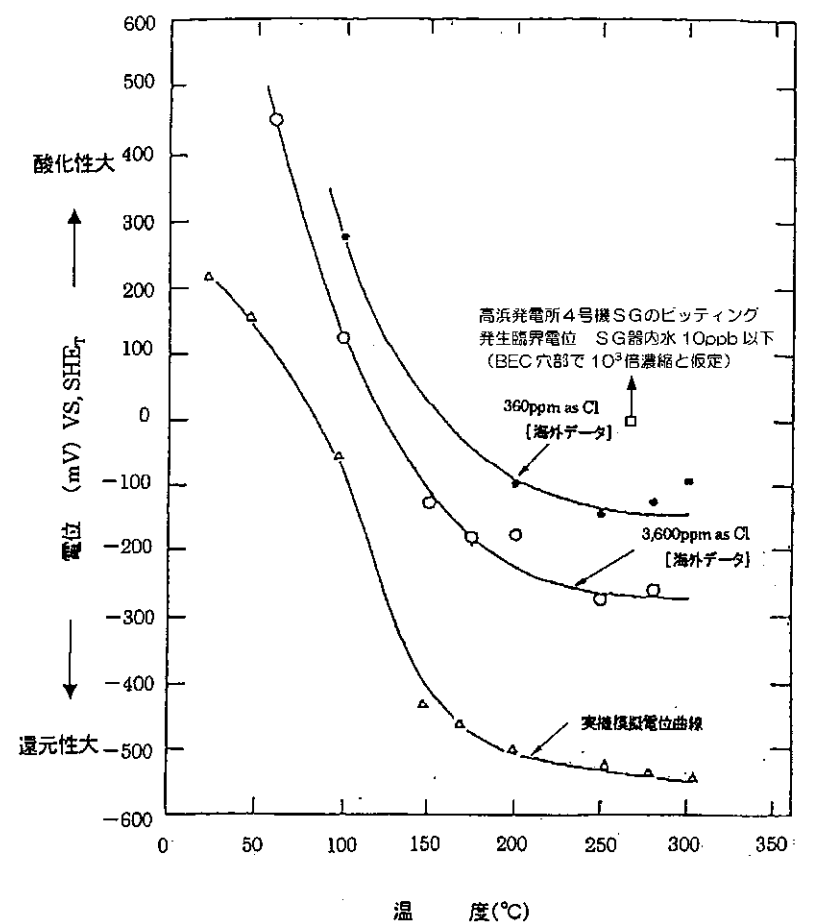
	第24サイクル	
塩素イオン(ppb)	0.5	

ここで、今回信号が検出された管支持板 BEC 穴部での塩素イオン濃縮倍率は最大 10³ 程度であり、安全側に最大濃縮倍率を仮定した場合、BEC 穴部の塩素イオン濃度は管理値最大でも 10ppm 以下(至近サイクルは 0.5ppm 程度)である。よって、ピッティング*¹発生限界電位は下図の 360ppm のデータの電位(−100mV 以下(at 270°C))よりも十分高いと考えられる。

一方、高浜発電所4号機では起動時の高ヒドラジン運転等により、還元性を良好に維持しており、 SG 器内のスラッジ成分のうち、ほとんどがマグネタイトであることから、実機の電位(at 270℃)は 約-540mV と評価している。

したがって、高浜発電所4号機では実機電位がピッティング発生電位よりも低く、ピッティングの発生環境ではないと考えられる。

*1 塩素イオン等に起因する金属表面の被膜破壊によって起きる局所的な腐食。



(説明)

- ・ピッティングは、ピッティング 発生臨界電位より実機電位が 超過した場合に発生。
- ・インコネル TT600 のピッティングに対する耐食性は、インコネル MA600 と同等。

出典 Proc.of 2nd Inter. Symp. on Environmental Degradation of Materials in Nuclear Power Systems-Water Reactors, P.456(1985)

図 1 インコネル MA600 のピッティング発生電位

ピッティングに関する検討結果(2/2)

(ピッティングによるきずの形状)

プラントメーカの材料研究部門の有識者を含め検討した結果、今回確認したきずが摩耗減肉であると 判断している。また、小型カメラによる目視点検結果から機械的な影響による減肉と考えられ、ピッティングの可能性はないと考えられる。なお、ピッティングによるきずの形状例を以下に示す。

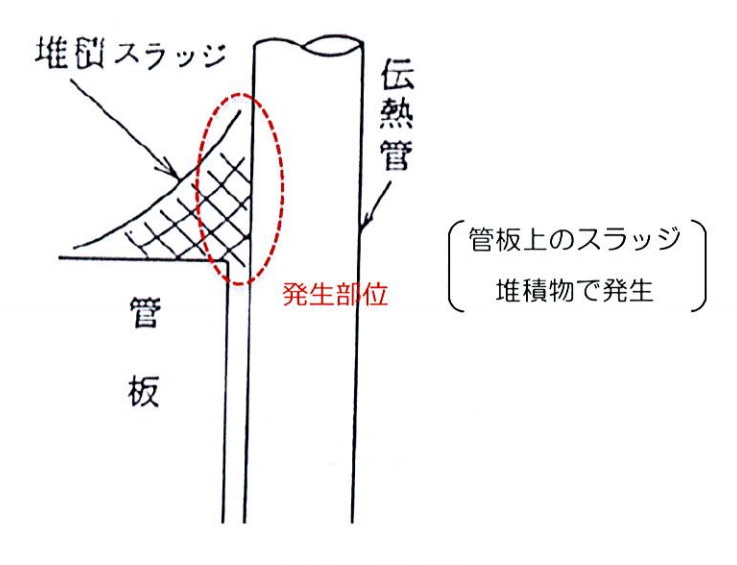
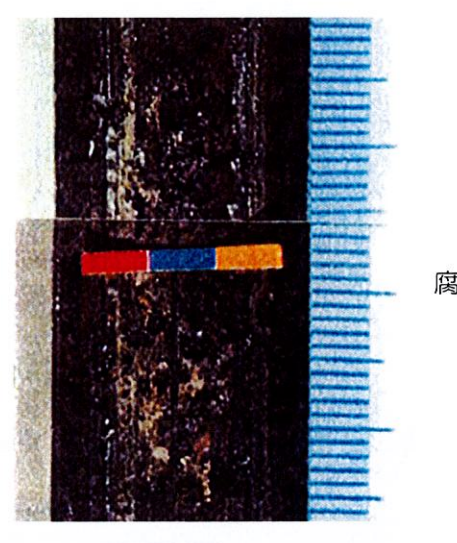


図2 発生部位



腐食による孔食

図3 表面形状

発電用原子炉施設故障等報告書 (高浜発電所4号機 蒸気発生器伝熱管の損傷について) (2021年2月19日)より引用

リン酸減肉に関する検討結果

(リン酸減肉によるきずの形状)

プラントメーカの材料研究部門の有識者を含め検討した結果、今回確認したきずが摩耗減肉であると判断している。また、小型カメラによる目視点検結果から機械的な影響による減肉と考えられ、リン酸減肉の可能性はないと考える。なお、リン酸減肉によるきずの形状例を以下に示す。

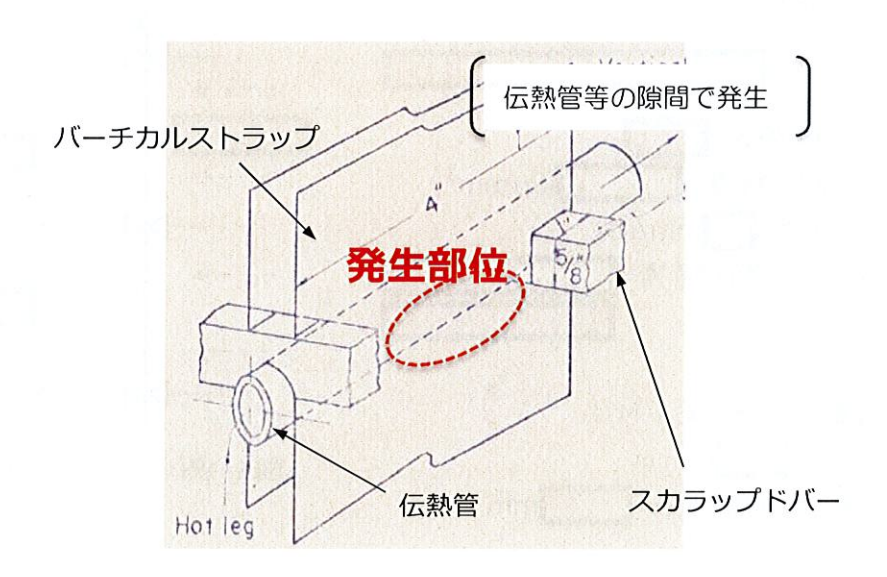


図 1 発生部位



図2 表面形状

発電用原子炉施設故障等報告書 (高浜発電所4号機 蒸気発生器伝熱管の損傷について) (2021年2月19日)より引用

流体振動による疲労に関する検討結果

第三および第四管支持板部において、流体力によって伝熱管に発生する応力を算出し、疲労損傷が生じないことを確認した。

伝熱管に作用する流体力 Fは、

$$F = \frac{1}{2} \cdot C_D \cdot \rho \cdot V^2 \cdot S =$$

$$CC \circ C_D : 抗力係数 =$$

$$\rho : 流体の密度 =$$

$$V : 流速 =$$

$$mm/sec$$

$$S : 流れを受ける面積 =$$

伝熱管 ----> 第 n+1 管支持板 ----> 第 n 管支持板 ----> 第 n-1 管支持板

流体力 Fによる最大曲げモーメント Mは、

$$M = (F/2l) \cdot l^2/8 =$$
 N·mm
ここで、 l : 管支持板間の長さ= mm

図 1 流体力を受ける伝熱管 (n = 3, 4)

伝熱管の断面係数Zは

$$Z = \frac{\pi(d_2^4 - d_1^4)}{32d_2} = 414.7 \text{mm}^3$$

ここで、 d_2 : 伝熱管外径 = 22.23mm d_1 : 伝熱管内径 = 19.69mm

よって、伝熱管に発生する最大応力σは、

 $\sigma = M/Z = 0.053 N/mm^2$

以上より、流体力によって伝熱管に発生する応力 $0.053N/mm^2$ は、疲労限 $94N/mm^2$ に比べて非常に小さく、疲労損傷は発生しないと考えられる。

エロージョンに関する検討結果(1/2)

1. 目的

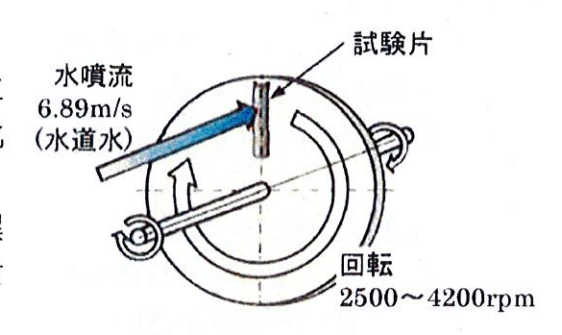
SG 伝熱管の管支持板部に周辺流体の衝突によるエロージョン*1 が発生しないことを評価する。

*1:管内外を流れる水により配管表面が摩耗する現象

2. 方法

ウォータージェットテスト(室温)によりエロージョン発生限界流速を求め、実機流速と比較する。

エロージョンの評価においては管内外に差異 はないため、管外面に正面から噴流を衝突させ た試験結果を基に評価する。



3. 評価結果

インコネル TT6OO 製伝熱管のエロージョンが発生する限界流速は約 70m/s 以上であり、当該部の実機流速は 以下であることからエロージョンの発生可能性はない。

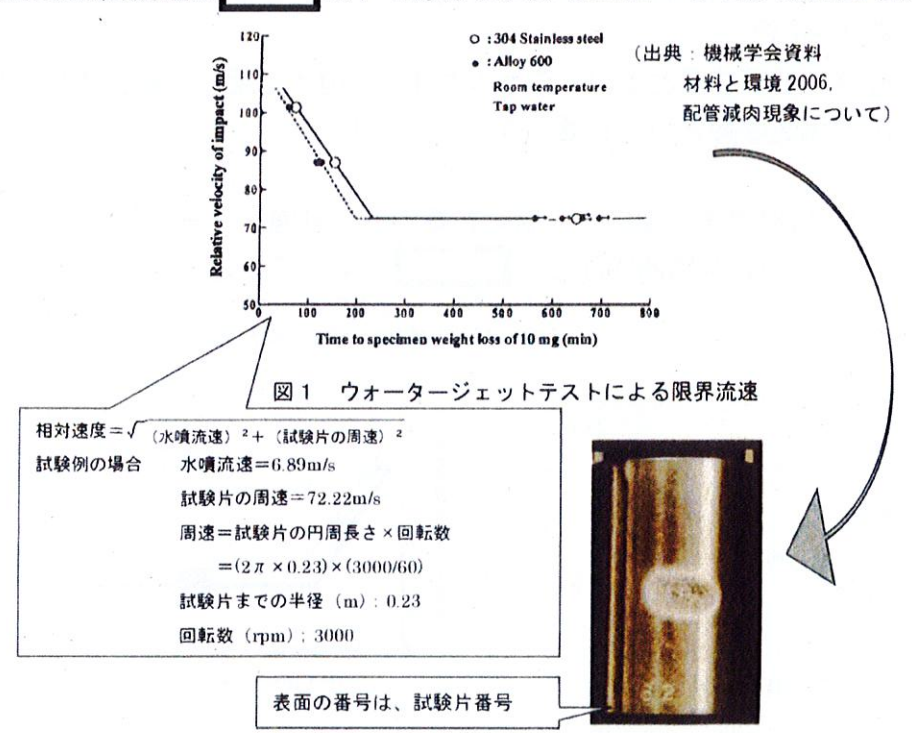


図2 ウォータージェットテスト後の外観 (700分間水噴流後の状況)

発電用原子炉施設故障等報告書 (高浜発電所4号機 蒸気発生器伝熱管の損傷について) (2021年2月19日)より引用

: 枠組みの範囲は機密に係る事項ですので公開することはできません。

エロージョンに関する検討結果(2/2)

(エロージョンの限界流速の温度影響)

エロージョンが発生する限界流速の知見として、常温での試験結果を用いているが、限界 流速の温度影響について、以下に説明する。

エロージョンのメカニズム

- ✓ エロージョンは、流体が金属表面に衝突することで生じる機械的な衝撃力で材料が 損傷する現象である。
- ✓ 温度は流体因子のうち密度、材料因子のうち硬さに影響する。

〈流体因子(密度)〉

- ✓ SG2次側温度269℃での水の密度は769kg/m³であり、常温(20℃) に比べ約2割小さい。
- ✓ 密度が低下するとエロージョンが生じにくくなる。(限界流速は上昇する。)

<材料因子(硬さ)>

- ✓ 硬さが低下するとエロージョンが生じやすくなる。(硬さが約1割低下すると、 限界流速は約2m/s低下する。)(図1)*²

⇒保守的に材料因子(硬さ)の温度影響のみを考慮しても、限界流速は約68m/sであり、SG2次側器内流速約 に対して十分余裕がある。(図2)

※1: 材料メーカカタログ (インコネルTT600) の単位を換算 ※2: 材料と環境,57,146-152(2008), 磯本ら

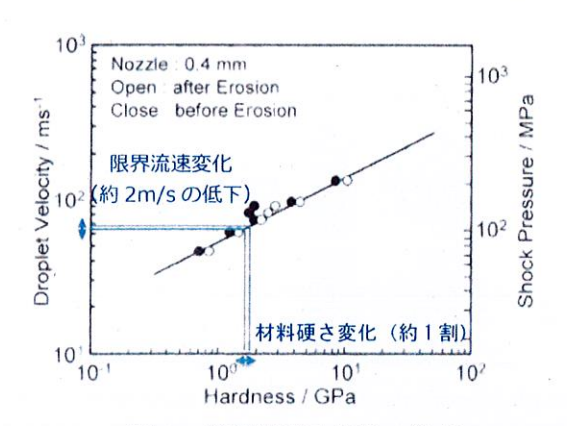


図1 限界流速と硬さの関係

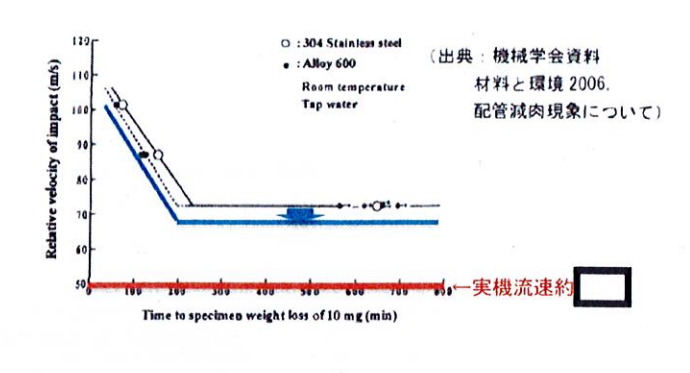


図2 ウォータージェットテストによる限界流速

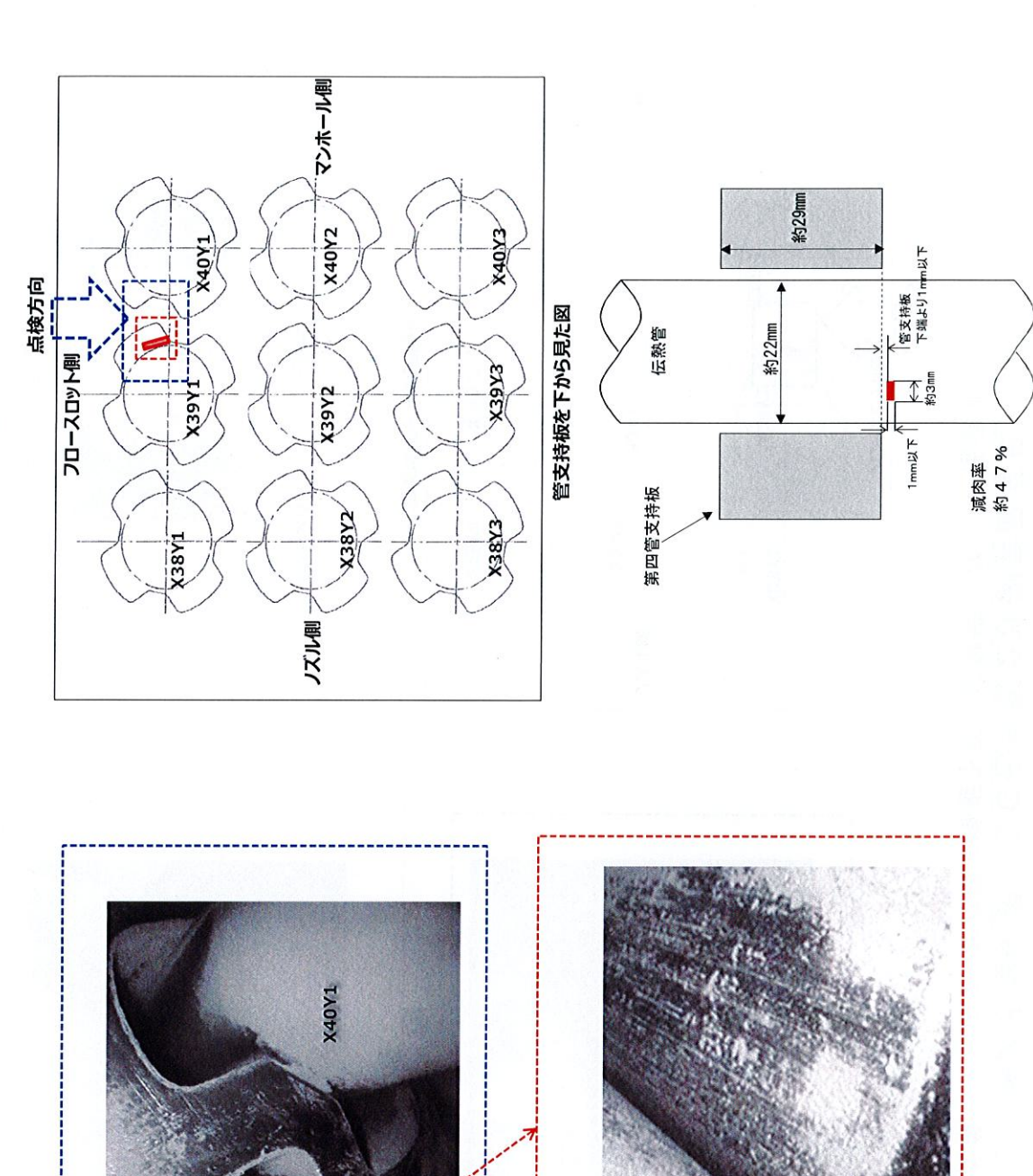
温度の影響は小さく、常温の知見を用いても問題ない。

発電用原子炉施設故障等報告書 (高浜発電所4号機 蒸気発生器伝熱管の損傷について) (2021年2月19日)より引用

: 枠組みの範囲は機密に係る事項ですので公開することはできません。

SG器内点検結果(SG伝熱管2次側表面写真) 対象: A-SG第四管支持板下面 伝熱管 X39, 41 低温側

写真①

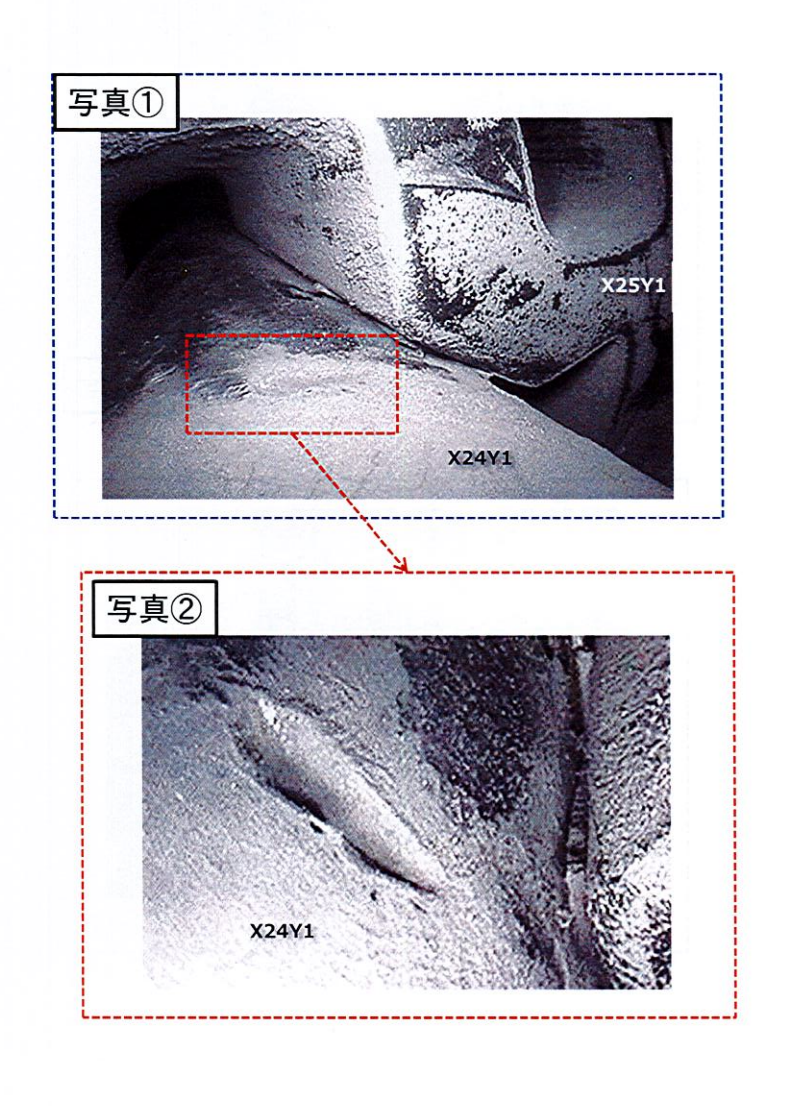


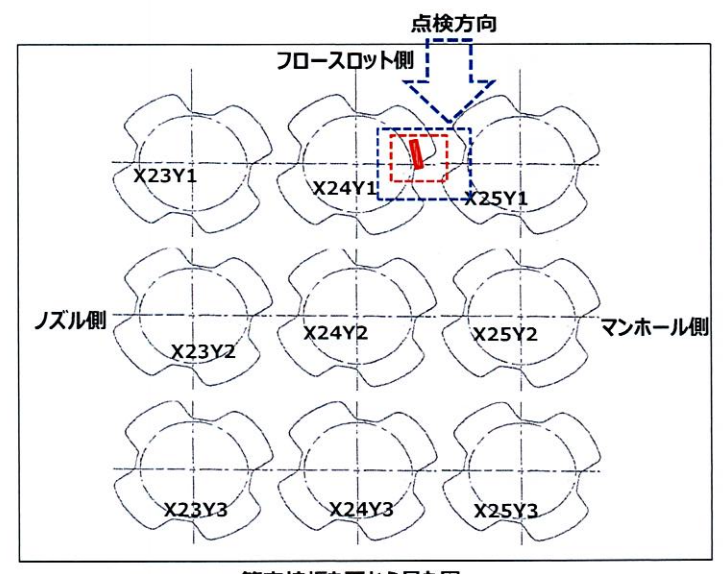
写真②

X39Y1

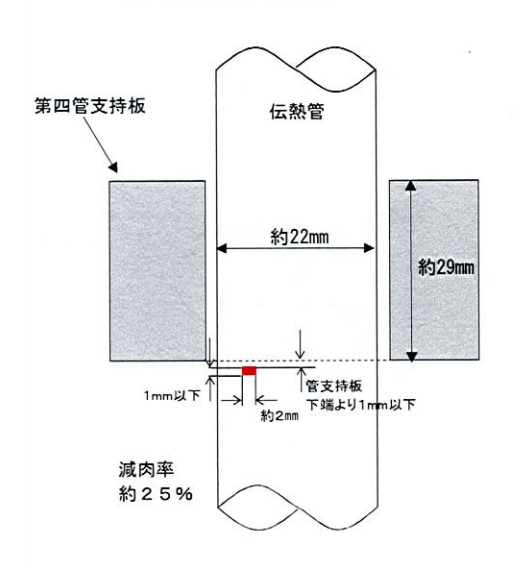
添付資料 ω N 2

SG器内点検結果 (SG伝熱管 2次側表面写真) 対象: A-SG 第四管支持板下面 伝熱管 X24, Y1 低温側

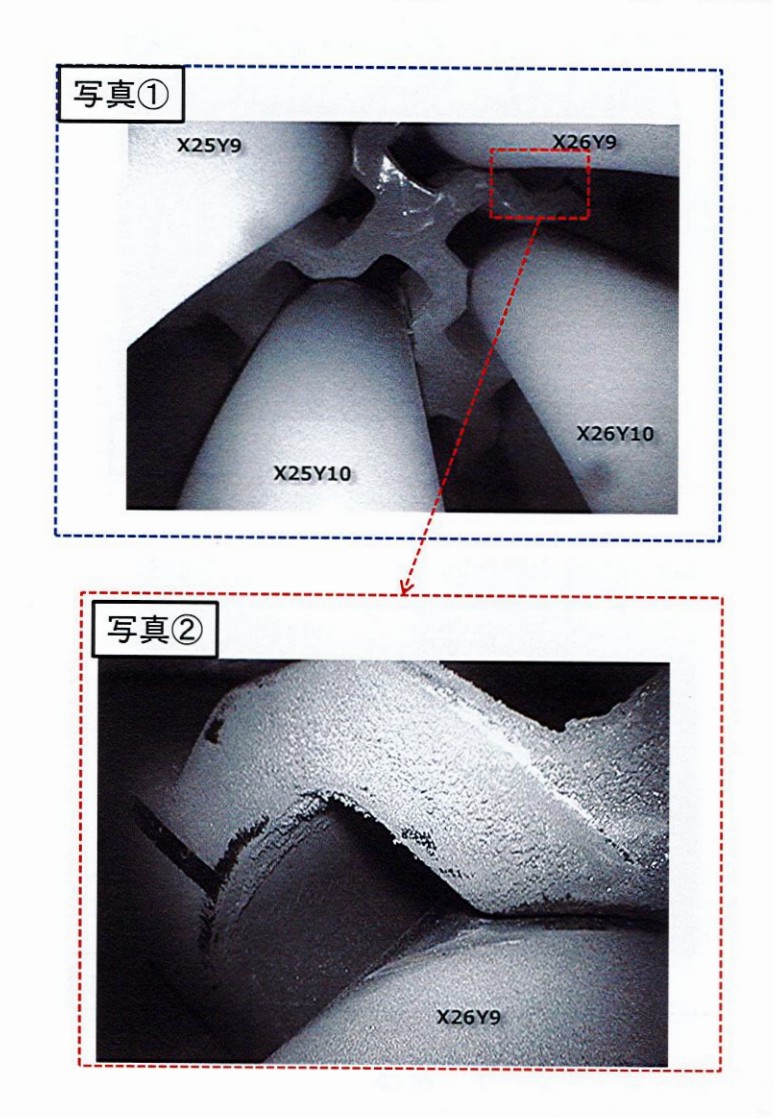


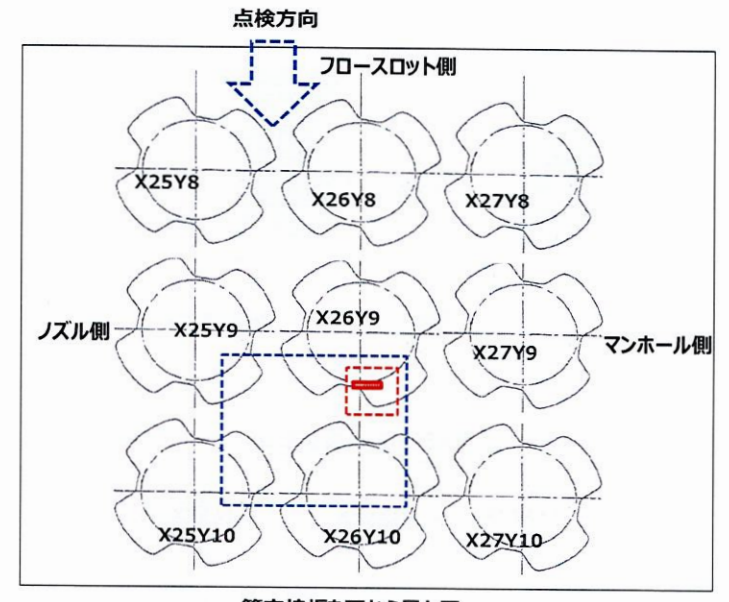


管支持板を下から見た図

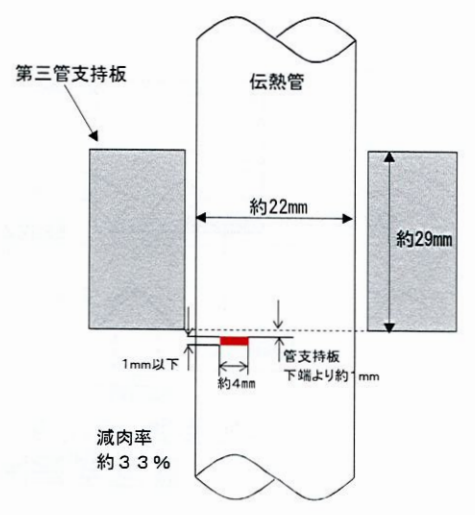


SG器内点検結果 (SG伝熱管 2次側表面写真) 対象: A-SG 第三管支持板下面 伝熱管 X26, Y9 低温側



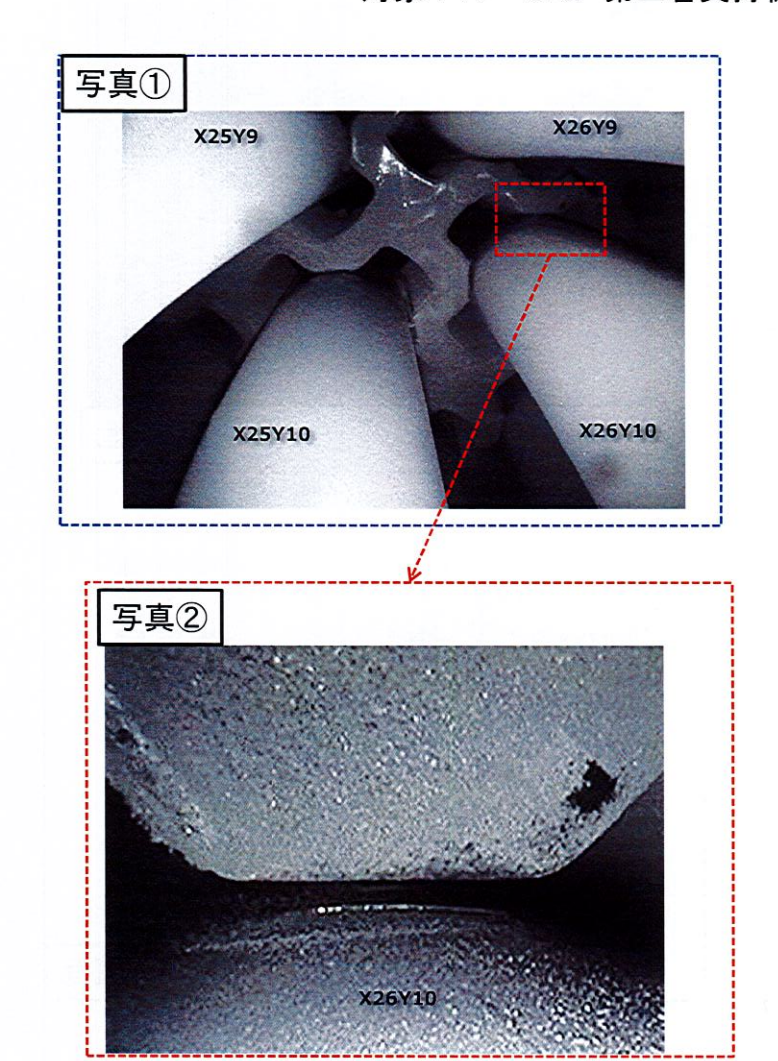


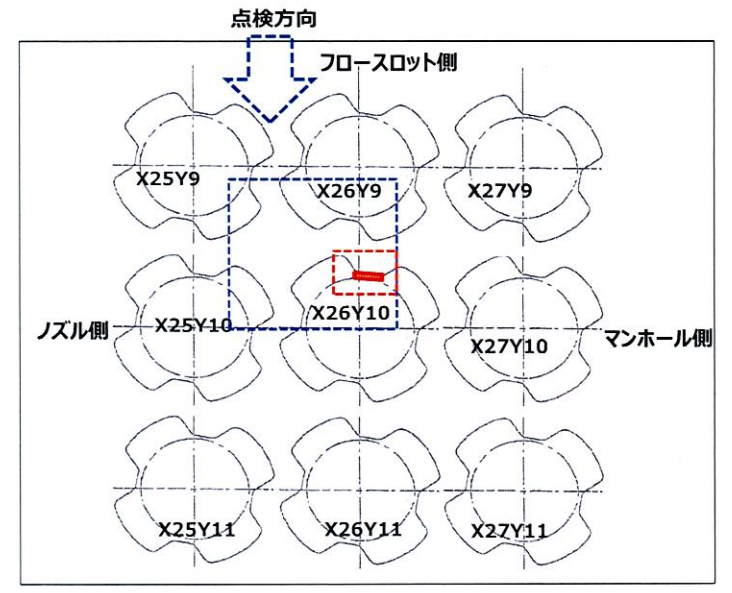
管支持板を下から見た図



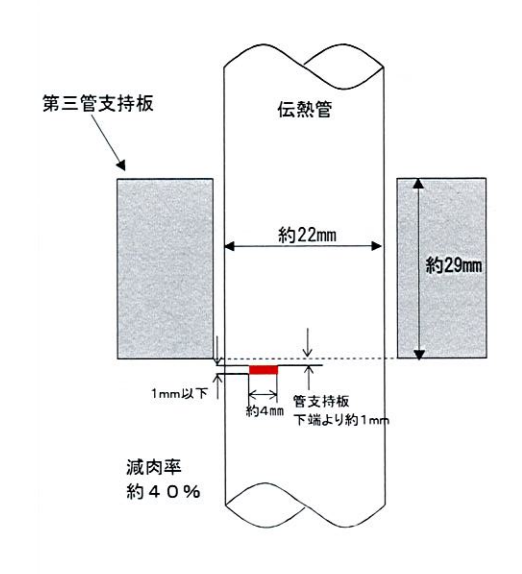
2

SG器内点検結果 (SG伝熱管 2次側表面写真) 対象: A-SG 第三管支持板下面 伝熱管 X26, Y10 低温側

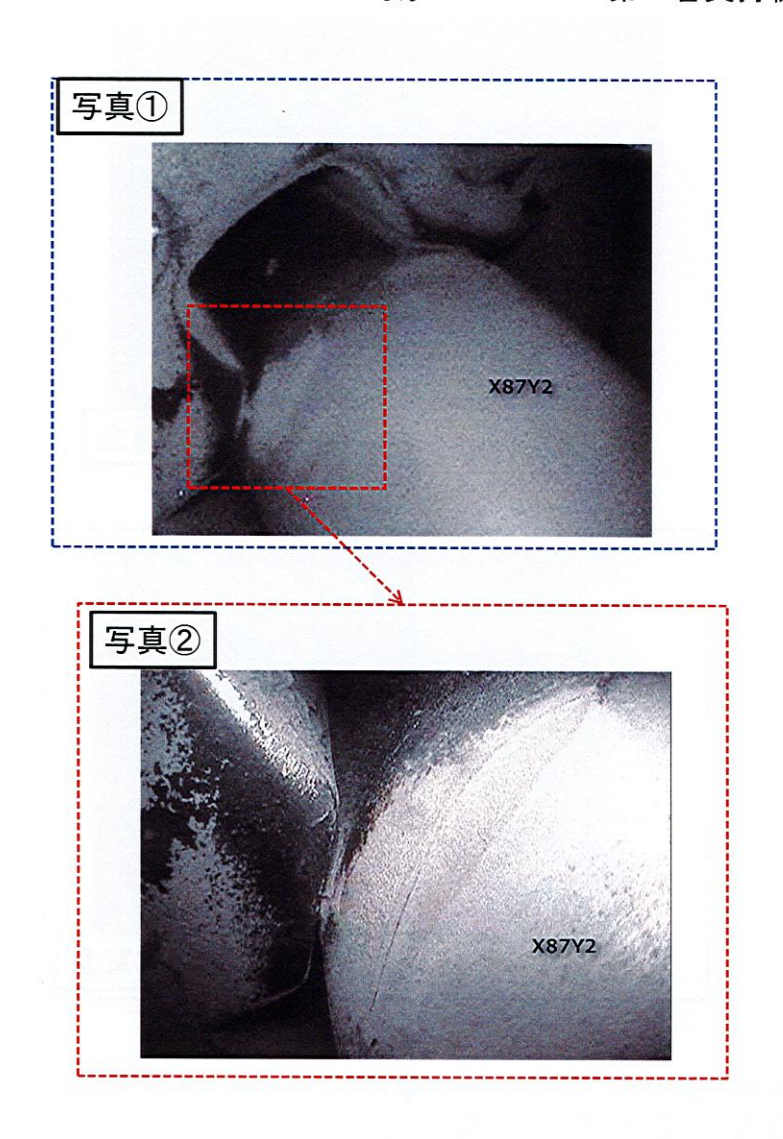


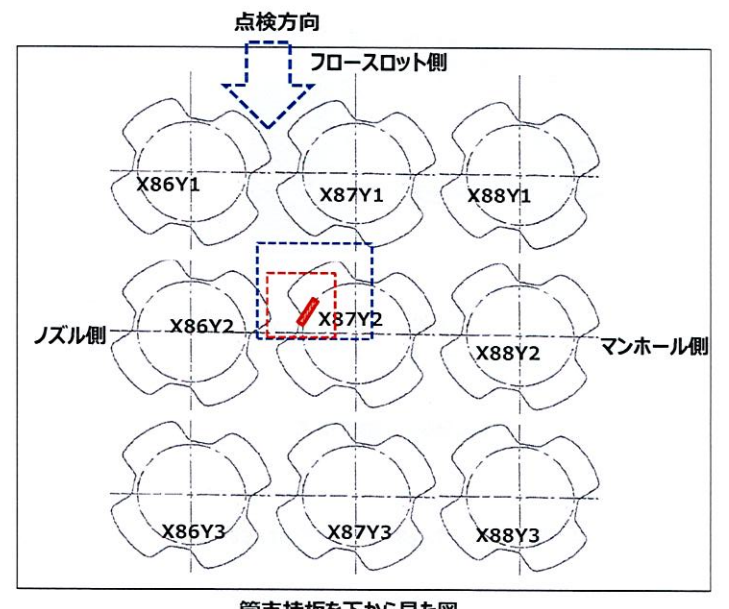


管支持板を下から見た図

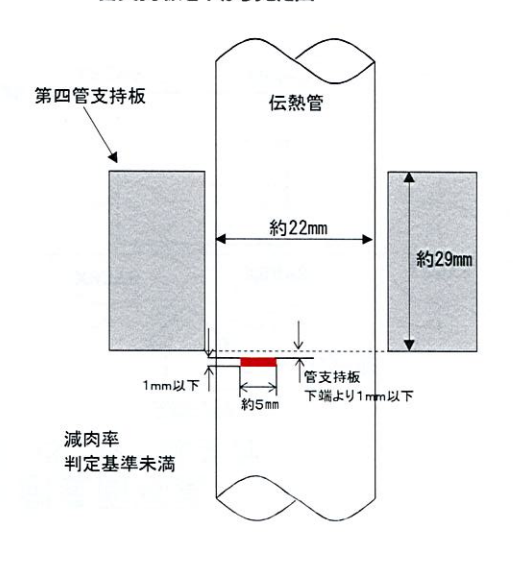


SG器内点検結果 (SG伝熱管 2次側表面写真) 対象: A-SG 第四管支持板下面 伝熱管 X87, Y2 低温側





管支持板を下から見た図



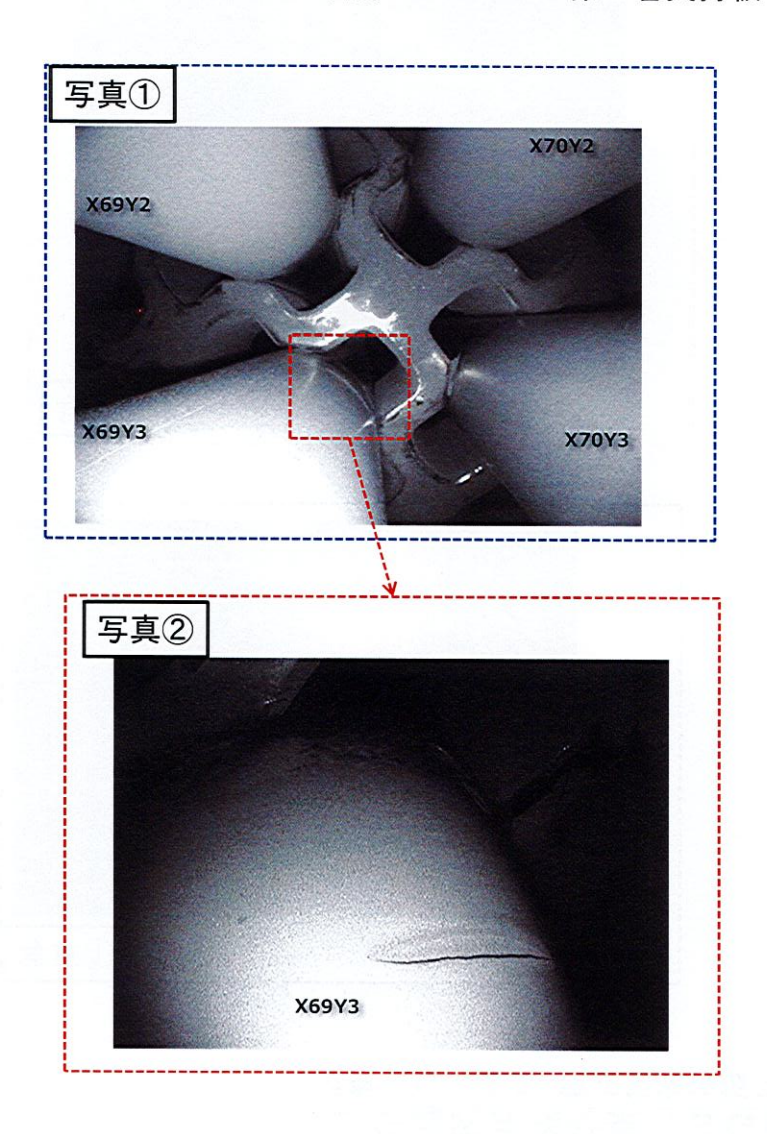
ノズル側 X85Y10 X85Y8 X85Y9 **約29mm** フロースロット側 管支持板を下から見た図 約22mm 製製 X84Y10 X84Y8 和消息 点検方向 SG器内点検結果(SG伝熱管2次側表面写真) 対象:B-SG第四管支持板下面伝熱管 X84, 49 低温 X83Y10 第四管支持板 X83Y9 マンホーブ画 X84Y8

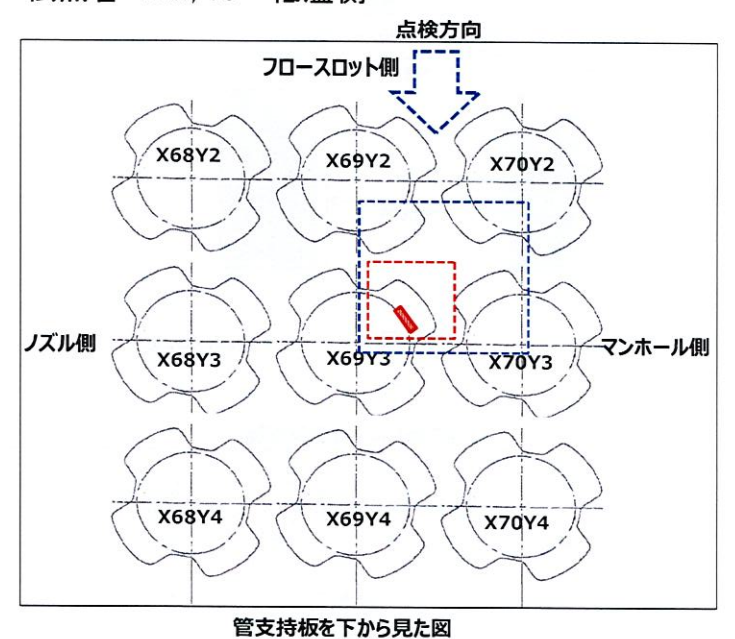
写真①

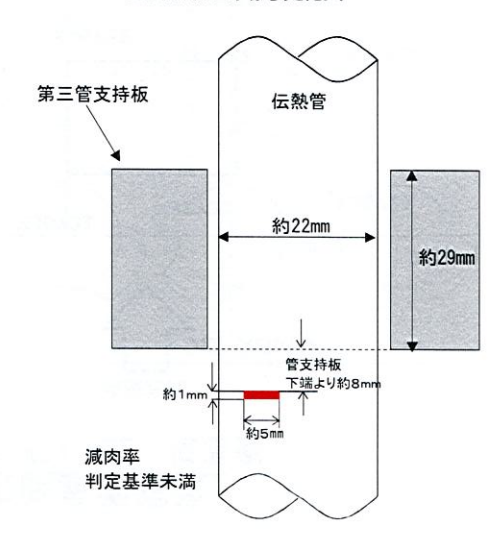
写真②

1

SG器内点検結果 (SG伝熱管 2次側表面写真) 対象:B-SG 第三管支持板下面 伝熱管 X69,Y3 低温側







マンホール側 **約29mm** X38Y22 X38Y23 X38Y21 管支持板を下から見た図 伝熱簡 フロースロット側 和 祖 通 SG器内点模結果 (SGF熱管2次側表面写真) 対象: C-SG 第四管支持板下面 伝熱管 X37, Y22 低温 減肉俸 約34% 点検方向 第四管支持板 X36Y21 ノズル側っ X37Y22 X37Y22

X36Y22

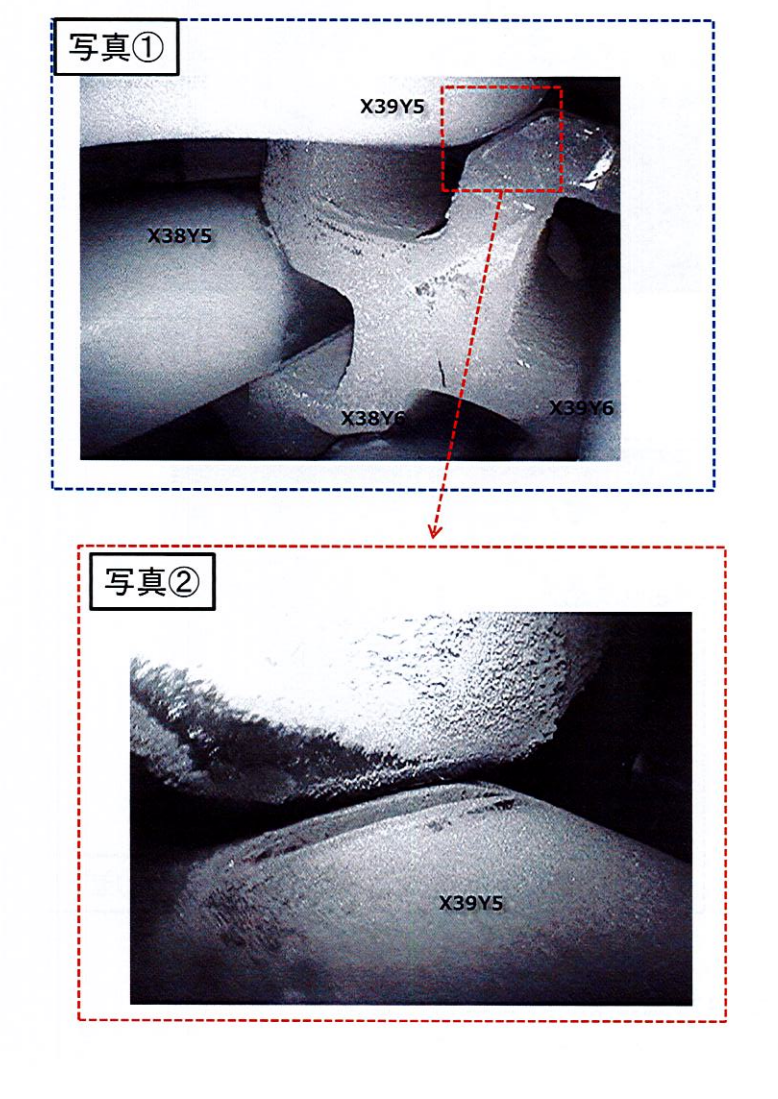
写真①

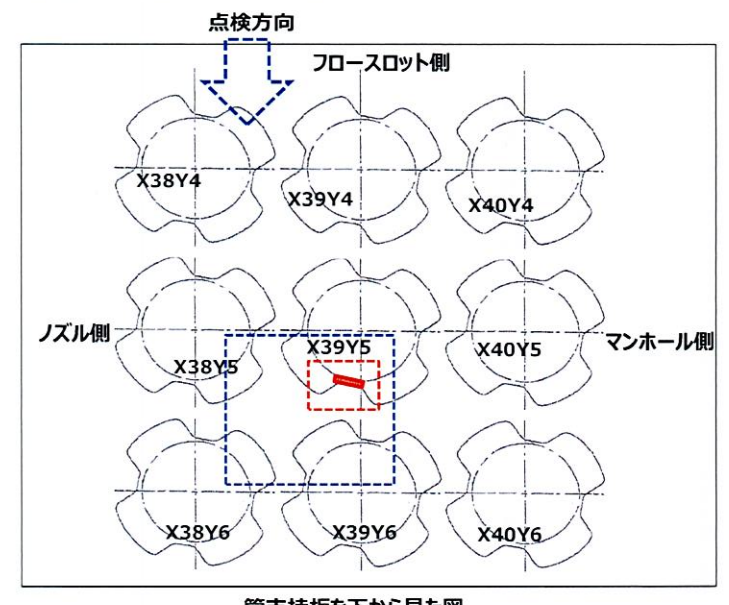
写真②

マンホール館 約29mm X90Y3 X90Y4 点横方向 管支持板を下から見た図 伝熱管 約22mm フロースロット側 4X89X4 SG器内点栓結果 (SG伝熱管2次側表面写真) 対象: C-SG 第四管支持板下面 伝熱管 X89, V3 低温 減 る 巻 3 1 8 第四管支持板 X88Y4 X90Y3 第三管支持板方向 (下側) **EX88X** 写真② 写真①

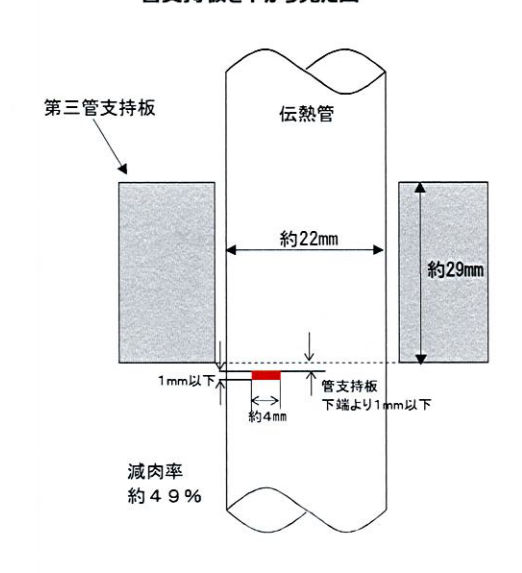
添付資料 2

SG器内点検結果 (SG伝熱管 2次側表面写真) 対象: C-SG 第三管支持板下面 伝熱管 X39, Y5 低温側



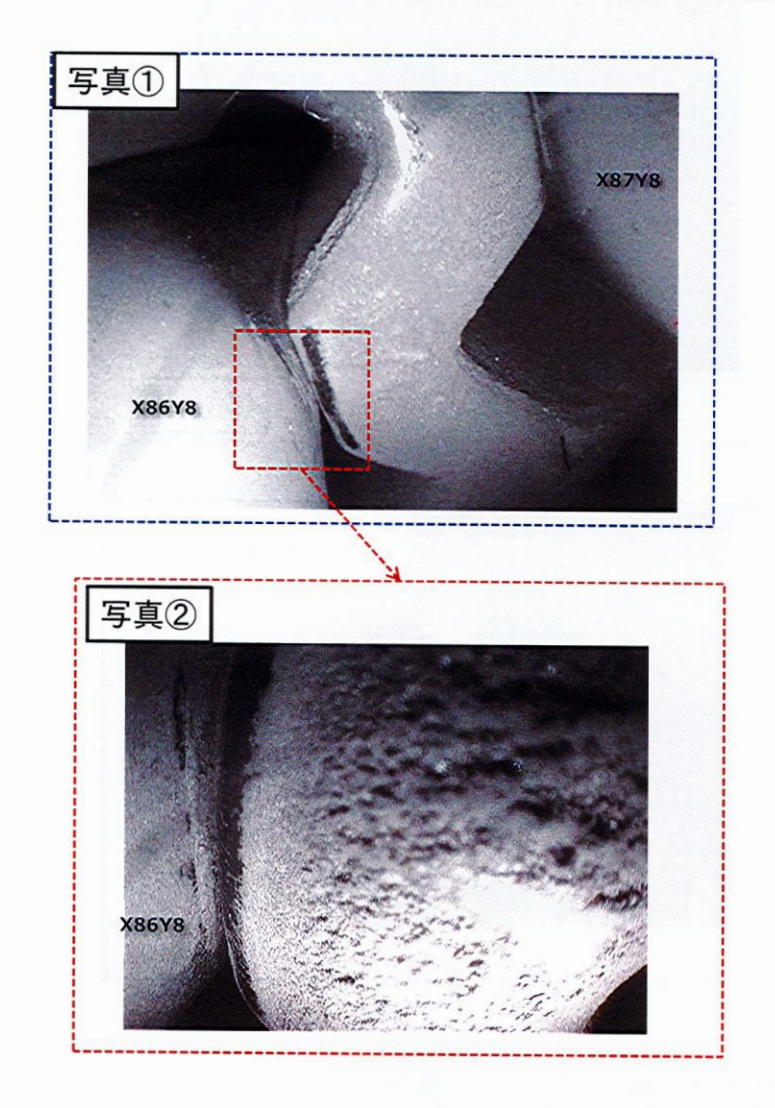


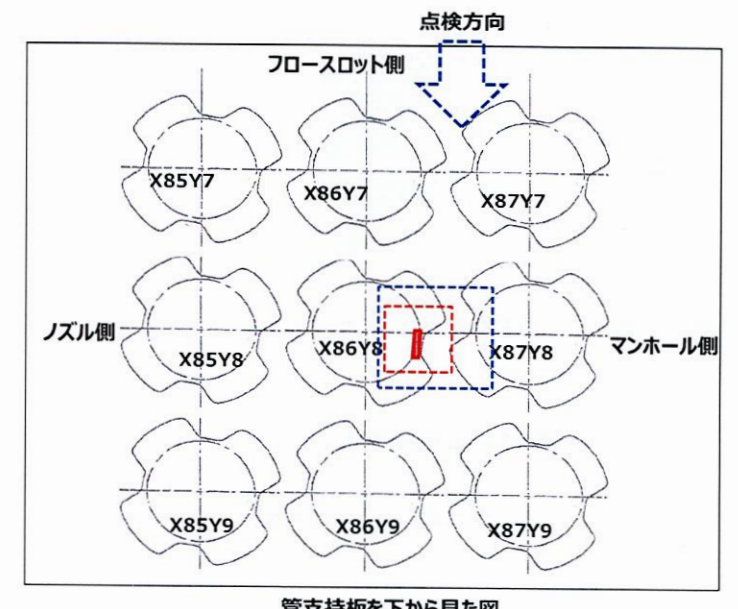
管支持板を下から見た図



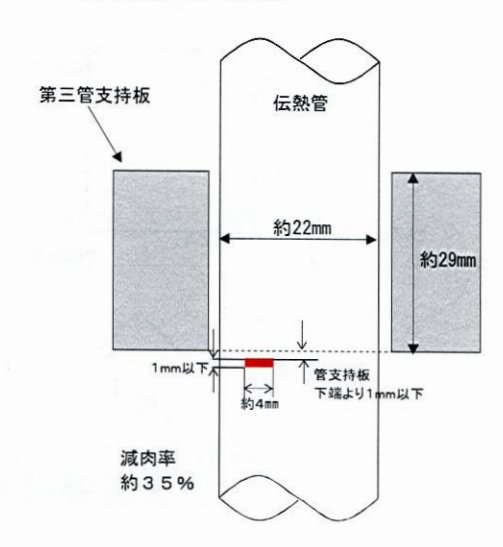
2

SG器内点検結果 (SG伝熱管 2次側表面写真) 対象: C-SG 第三管支持板下面 伝熱管 X86, Y8 低温側



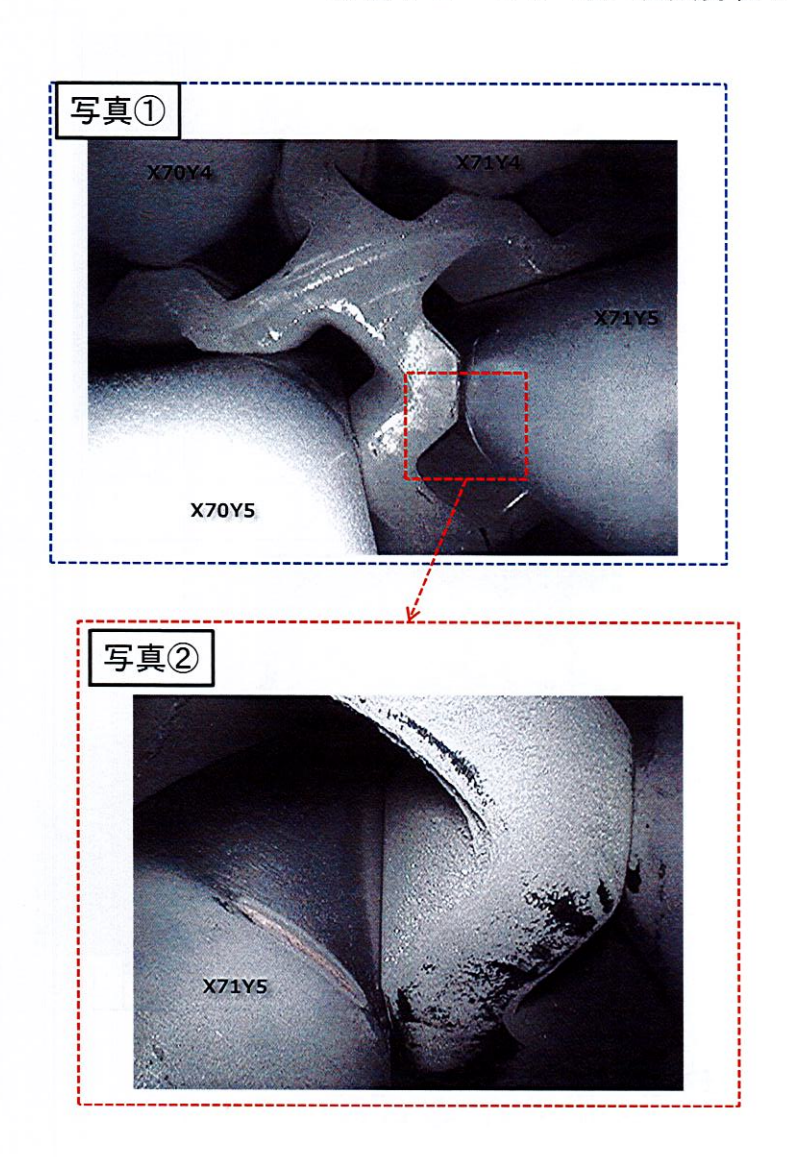


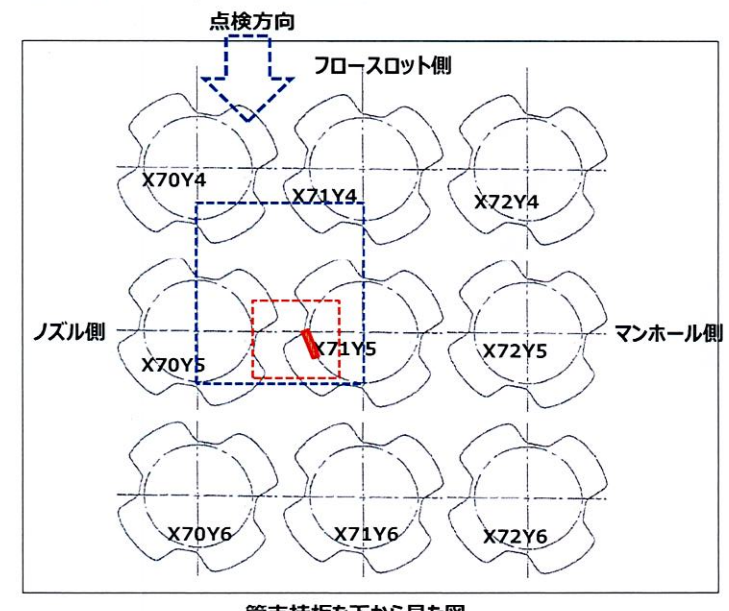
管支持板を下から見た図



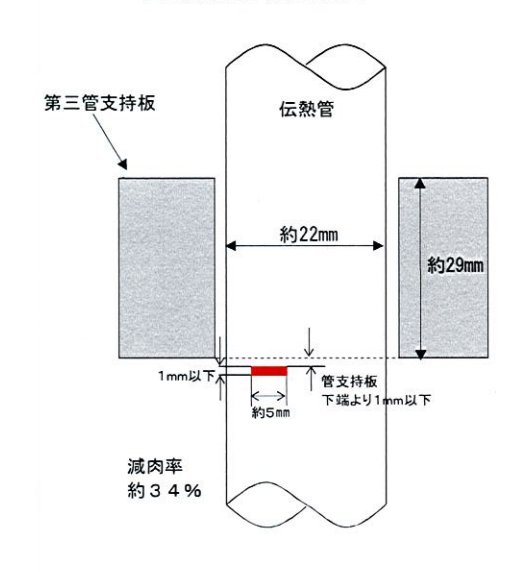
添付資料一 2

SG器内点検結果 (SG伝熱管 2次側表面写真) 対象: C-SG 第三管支持板下面 伝熱管 X71, Y5 低温側





管支持板を下から見た図



管支持板との接触による摩耗減肉の評価(1/7)

伝熱管は図 1 に示すとおり管支持板によって水平方向を支持しており、四ツ葉型の穴によって 1 穴あたり 4 箇所が伝熱管と接触する構造となっている。二次冷却水によって伝熱管に振動が生じた場合、伝熱管は水平全方向にランダムに振動するため、管支持板との接触による摩耗減肉が顕著化する場合は 4 箇所の接触部(ランド部*1)に減肉が生じることとなる。

今回、減肉指示が確認された位置の目視点検を行った結果、図 2~図 13 に示すとおり、減肉は管支持板下端位置にしか発生していない、かつ、ランド部の位置に発生していない、またはランド部の位置に発生していても接触部4箇所のうち1箇所しか発生していないことから、前述の傾向とは異なり、減肉が管支持板との接触・摩耗によって発生した可能性はないと考える。

*1 管支持板に加工されている四ツ葉型管穴のうち凸面部。

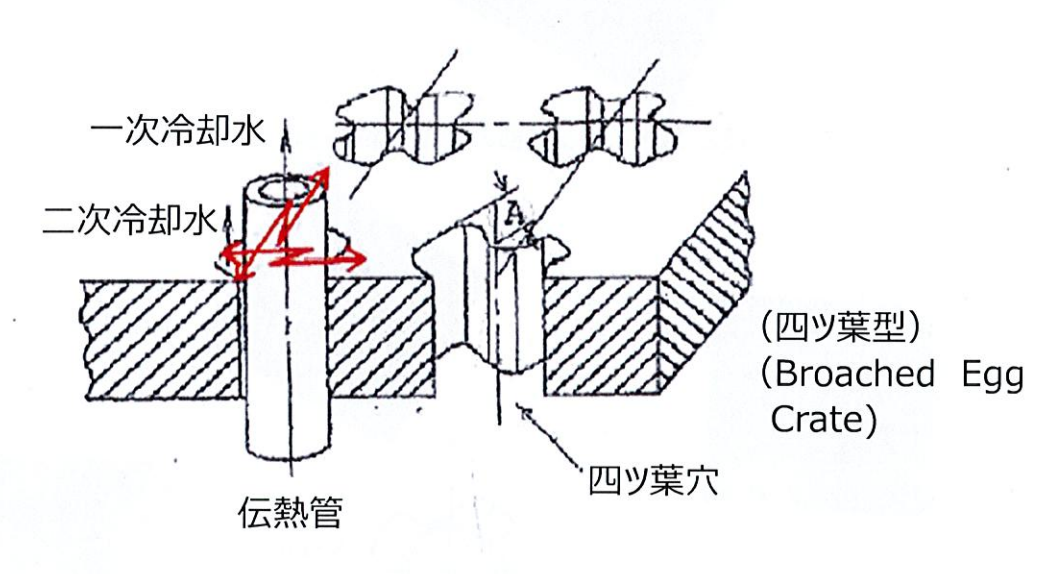


図1 管支持板四ツ葉穴(BEC穴)による伝熱管の支持状況

管支持板との接触による摩耗減肉の評価(2/7)

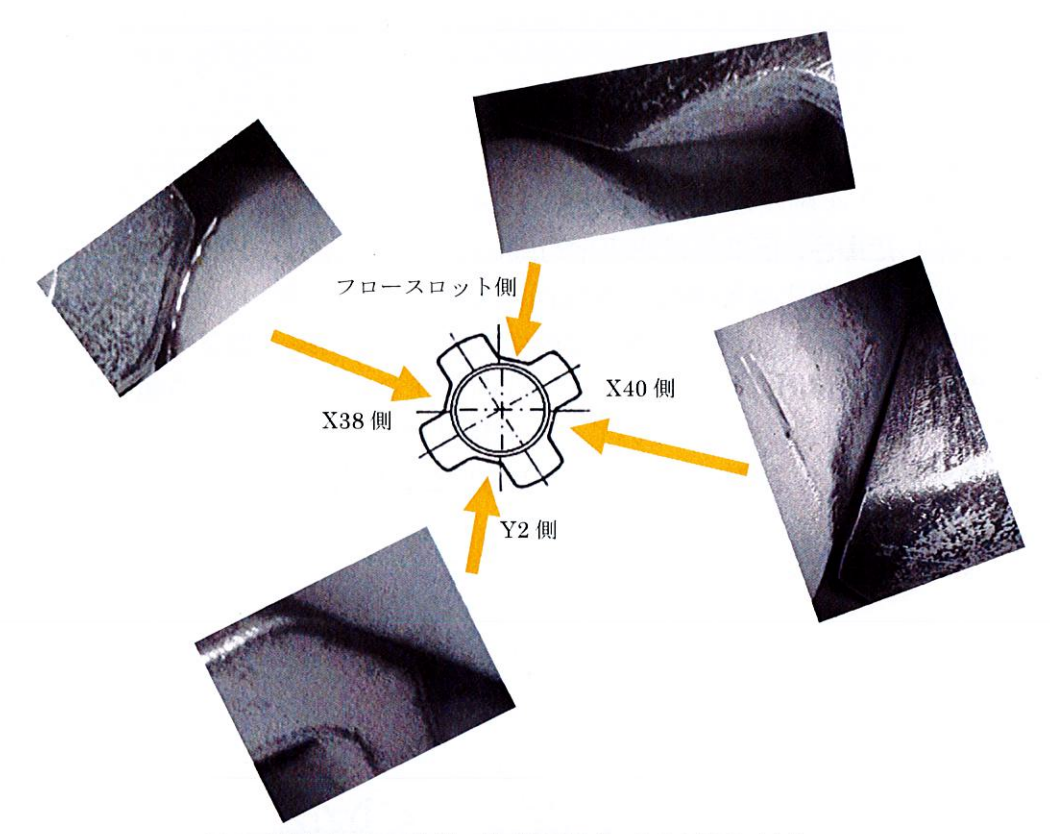


図2 減肉とランド部の位置関係(A-SG X39, Y1)

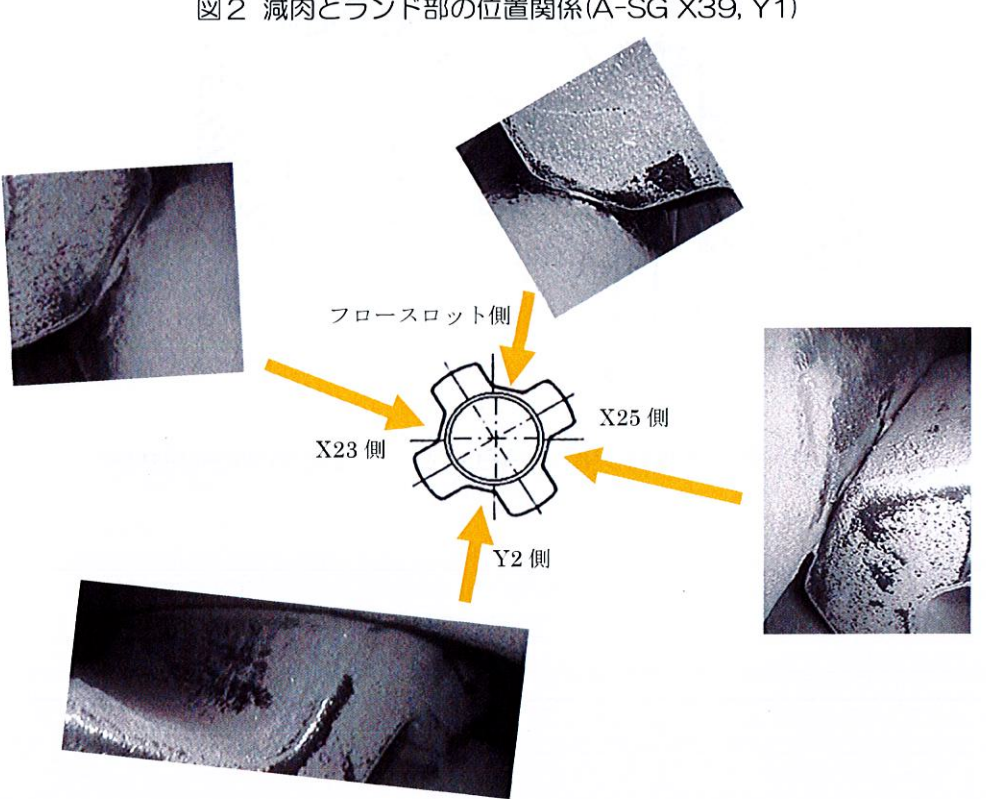


図3 減肉とランド部の位置関係(A-SG X24, Y1)

管支持板との接触による摩耗減肉の評価(3/7)

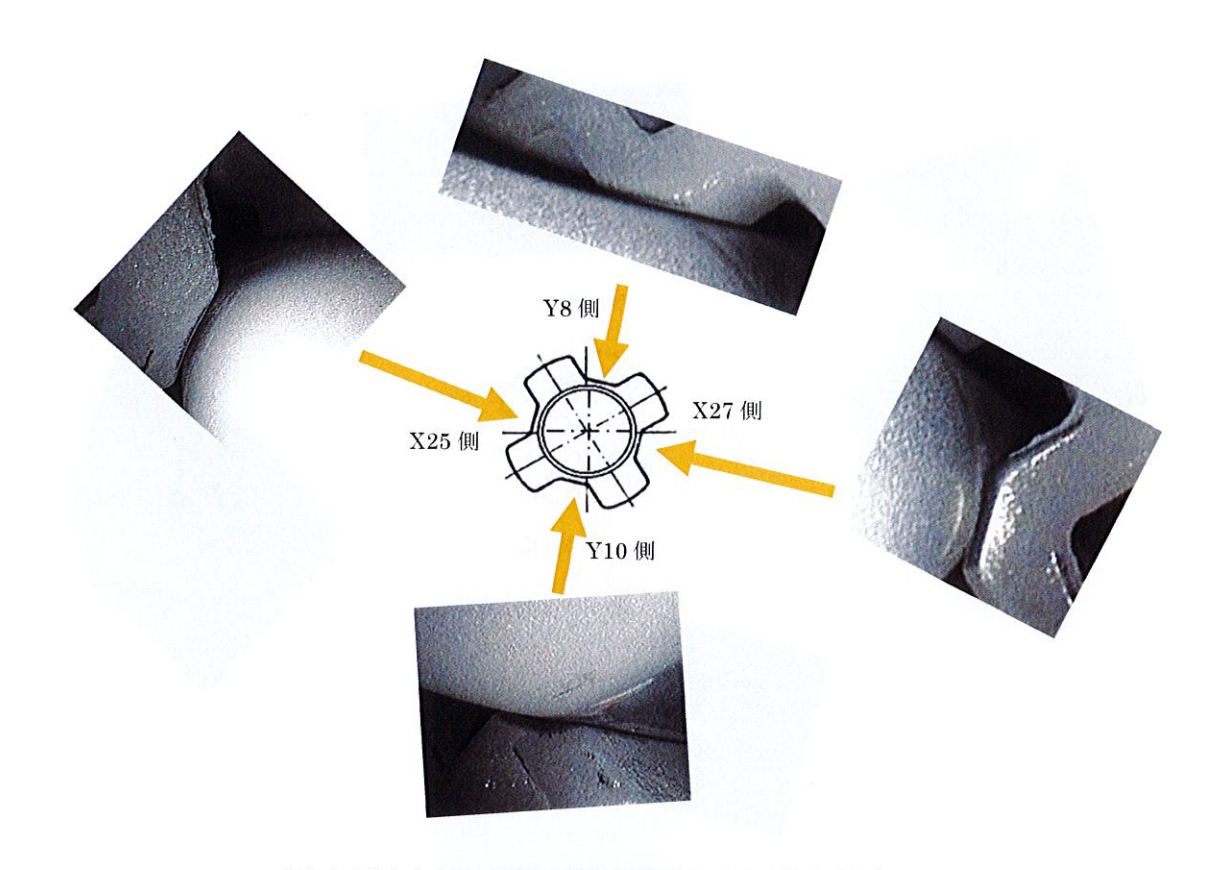


図 4 減肉とランド部の位置関係(A-SG X26, Y9)

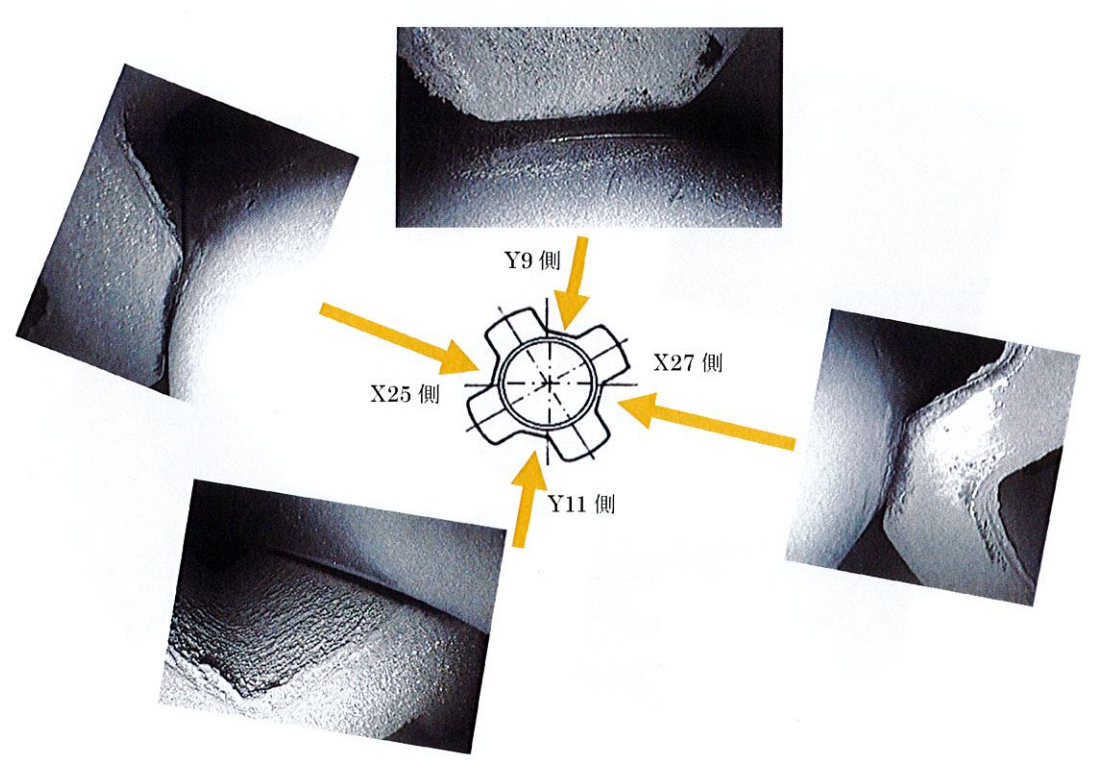


図5 減肉とランド部の位置関係(A-SG X26, Y10)

管支持板との接触による摩耗減肉の評価(4/7)

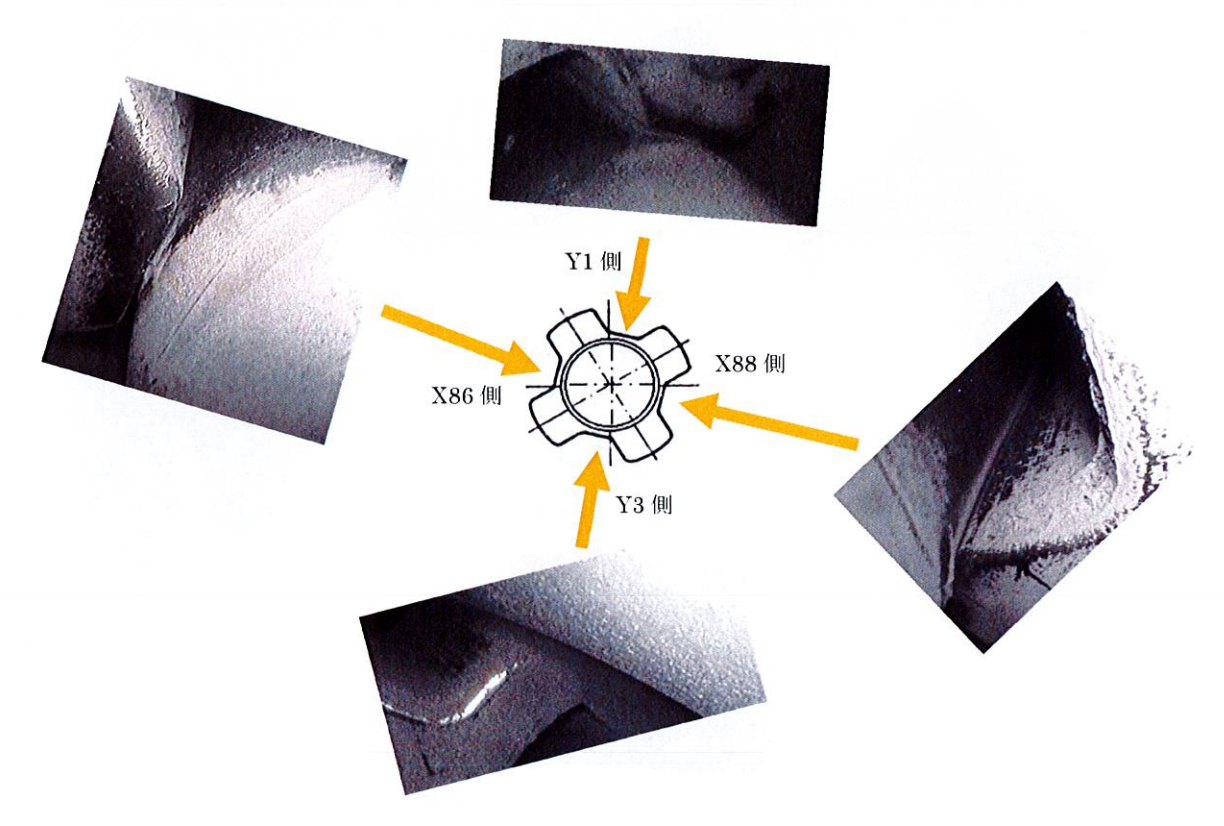


図 6 減肉とランド部の位置関係(A-SG X87, Y2)

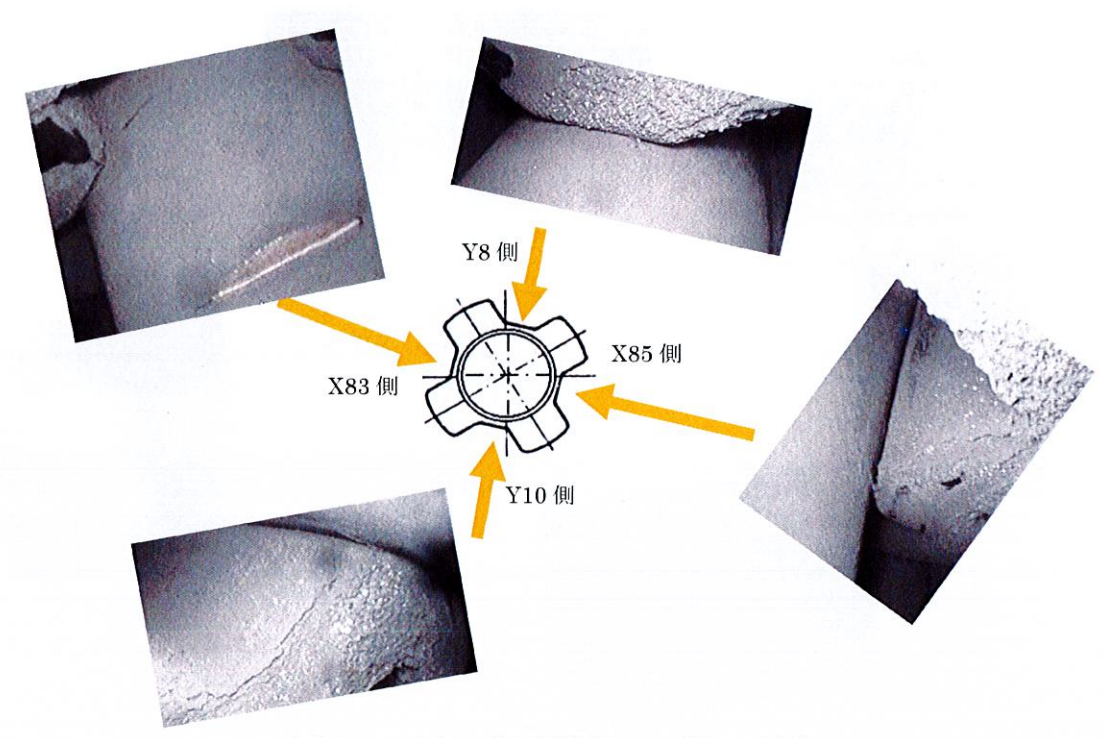


図7 減肉とランド部の位置関係(B-SG X84, Y9)

管支持板との接触による摩耗減肉の評価(5/7)

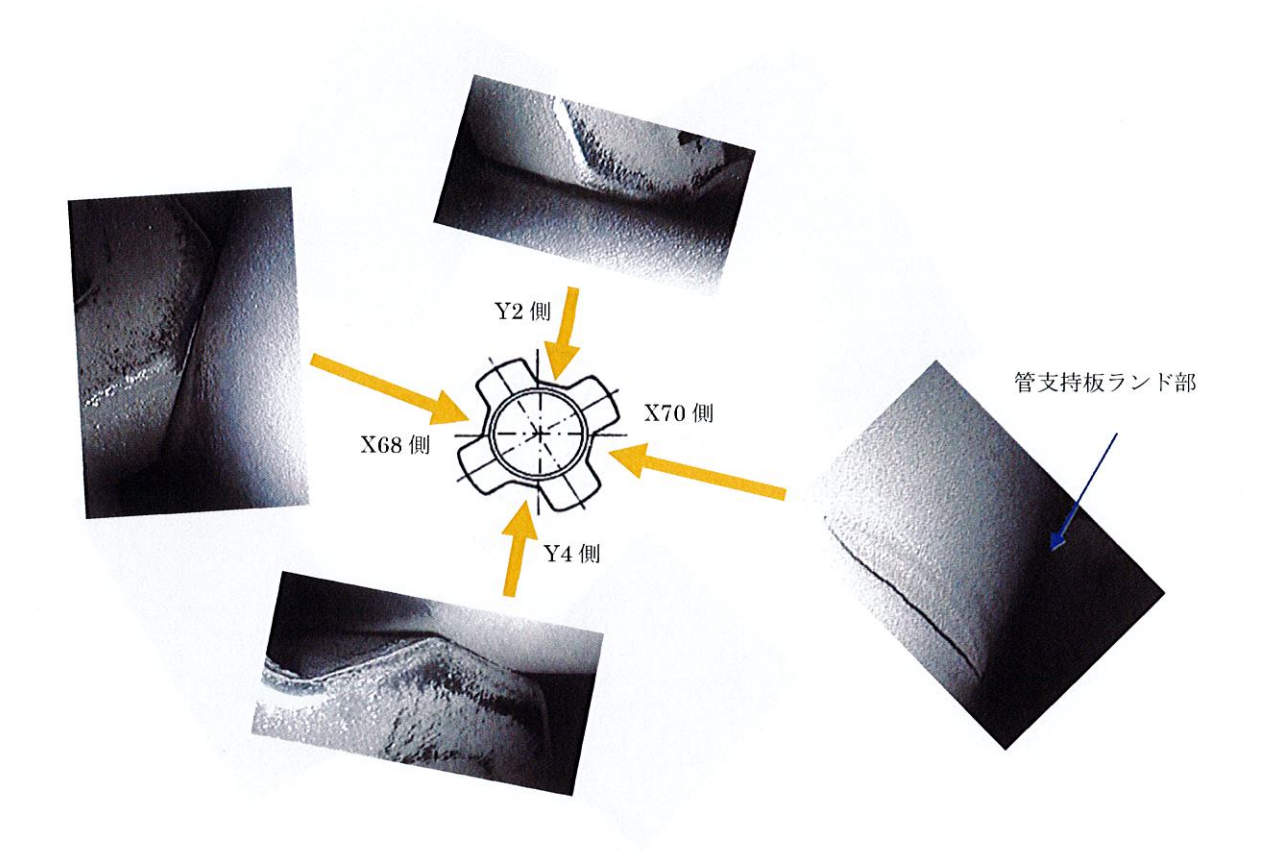


図8 減肉とランド部の位置関係(B-SG X69, Y3)

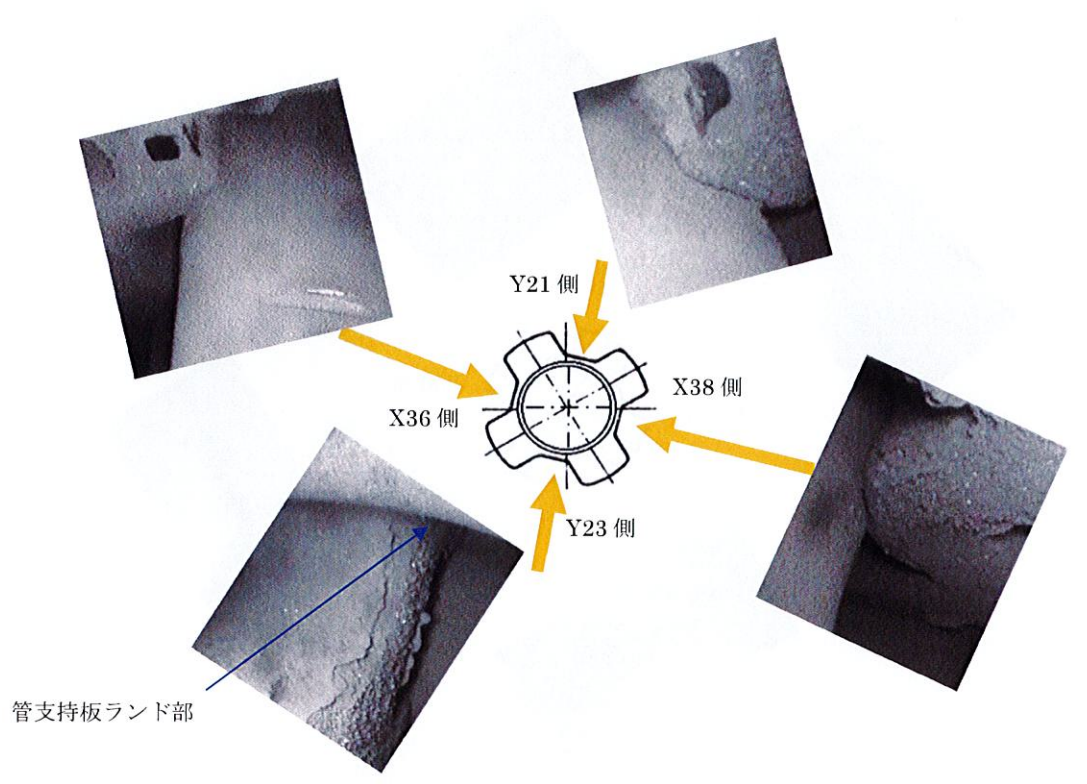


図9 減肉とランド部の位置関係(C-SG X37, Y22)

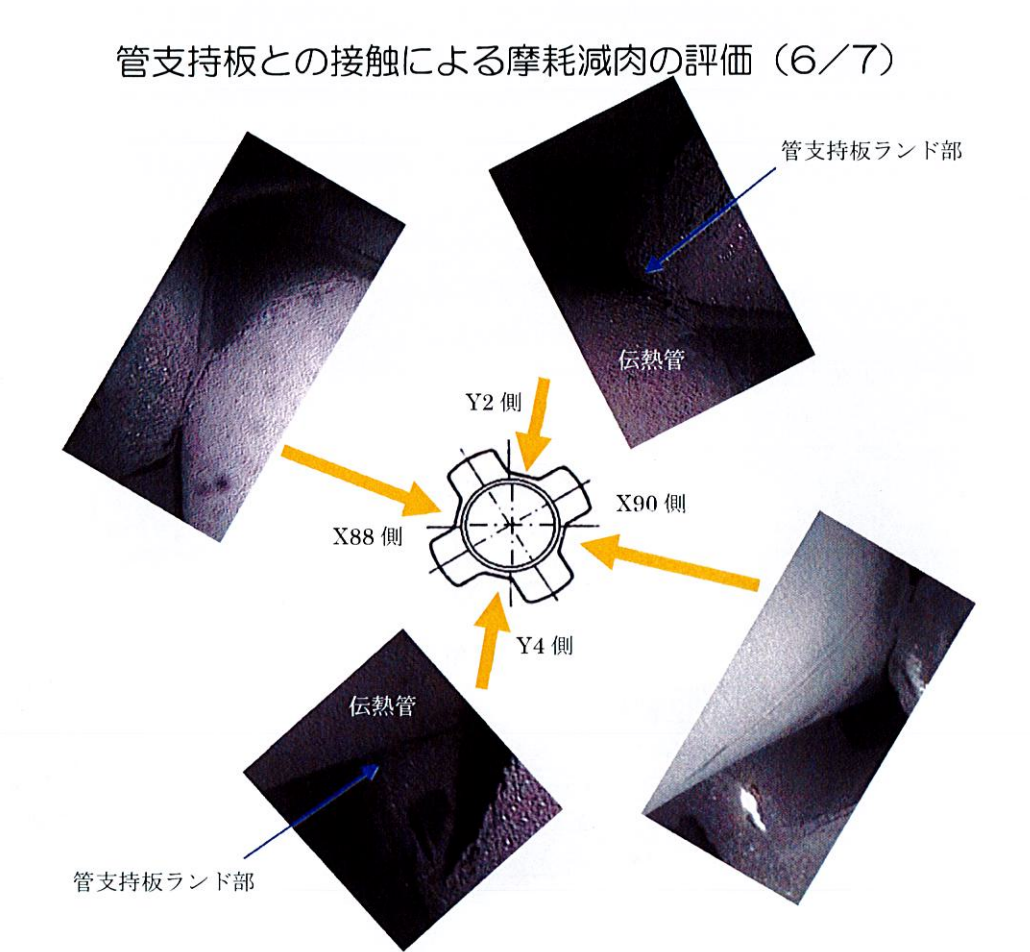


図 10 減肉とランド部の位置関係(C-SG X89, Y3)

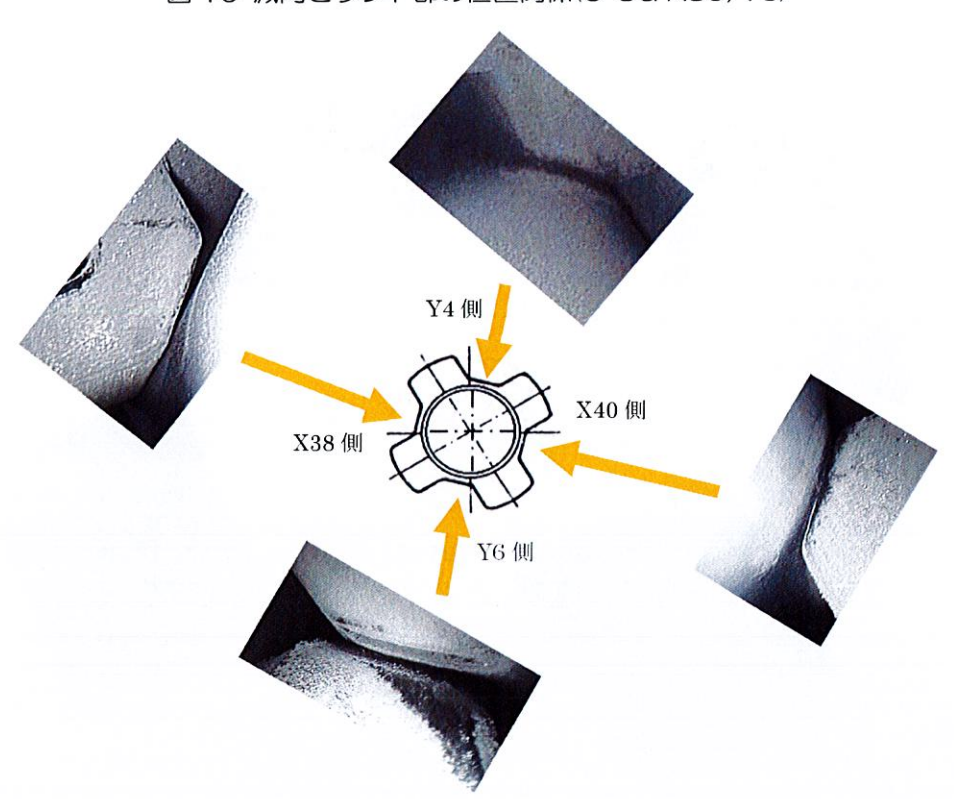


図 11 減肉とランド部の位置関係(C-SG X39, Y5)

管支持板との接触による摩耗減肉の評価(7/7)

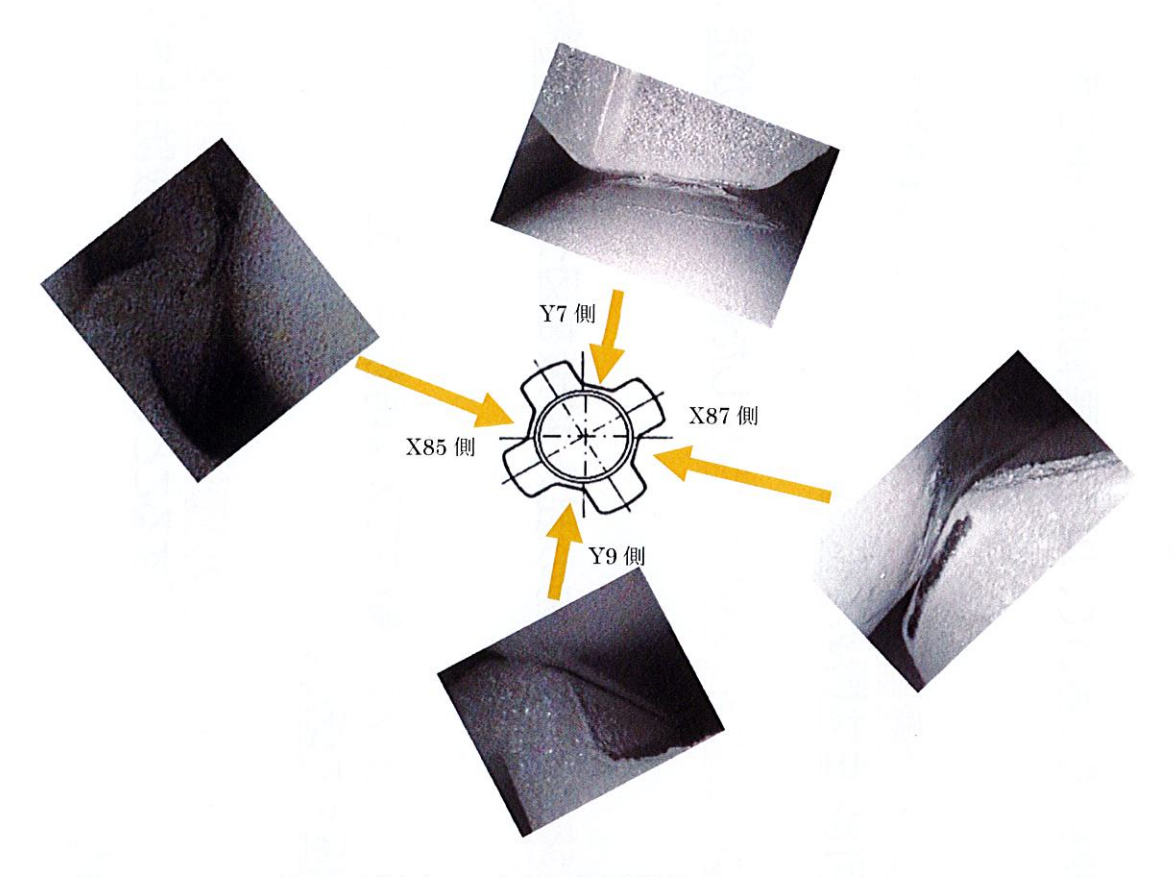


図 12 減肉とランド部の位置関係(C-SG X86, Y8)

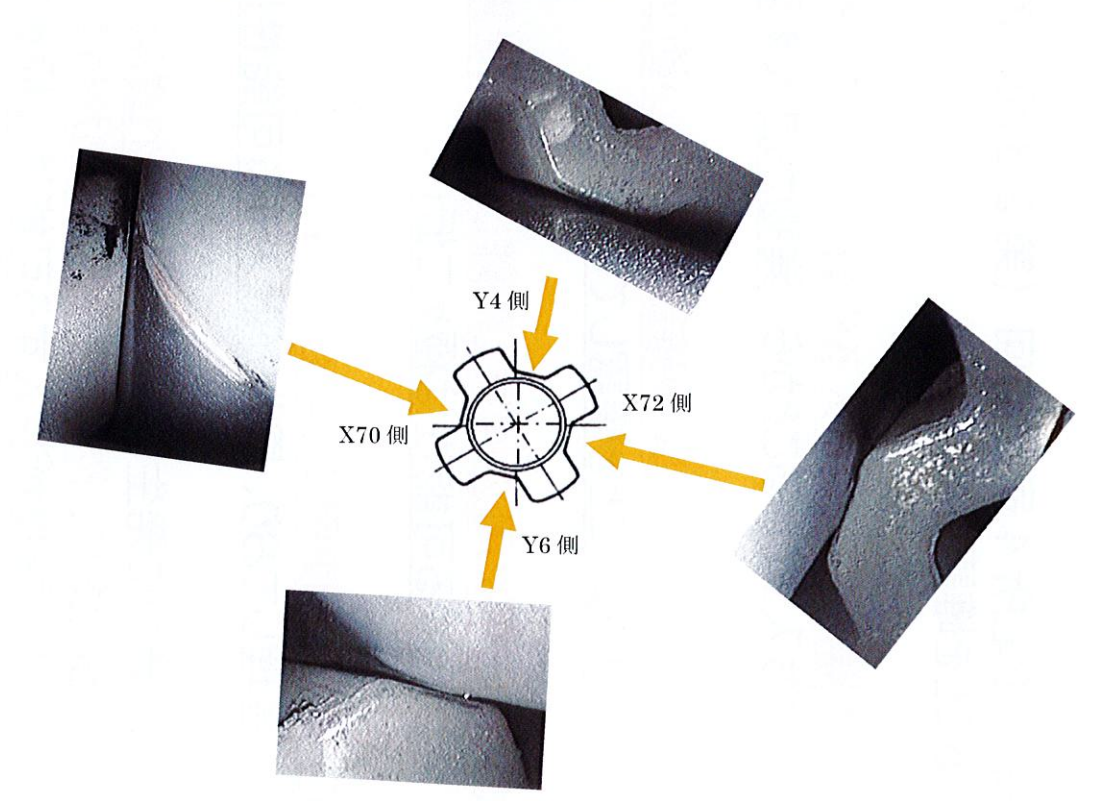


図 13 減肉とランド部の位置関係(C-SG X71, Y5)

添付資料-15(1/2)

異物混入対策について(1/2)

高浜発電所4号機前回(第23回)定期検査において、以下の異物混入対策を実施していることを確認した。

- <u>機器内部へ立ち入る作業では直前に作業服の着替えや靴カバーを着用</u>し、機器内部へ立ち入っていることから、<u>異物が混入する可能性は極めて低い</u>。
- <u>直接目視にて異物確認ができない範囲は小型カメラを用いて点検</u>した結果、<u>異物が混入</u> していないことを確認している。
- <mark>開口部に周辺作業と隔離したエリアを設ける</mark>ことで、異物の混入対策を図っており、<u>異物が</u> 混入する可能性は極めて低い。
- <u>ウエスを使用する場合は、新しいウエスに限る</u>ものとし、新ウエスは再使用ウエスと区別して管理しており、異物が混入する可能性は極めて低い。
- 作業中に発生した保温材の切れ端等の清掃・片づけについては、一作業一片づけを徹底 するとともに、作業服、靴に異物が付着していないか確認することで異物の拡散防止を図っ ており、異物が混入する可能性は極めて低い。

各異物混入対策の詳細は次ページのとおり。

5付資料-15 (2/2)

異物混入対策について(2/2)

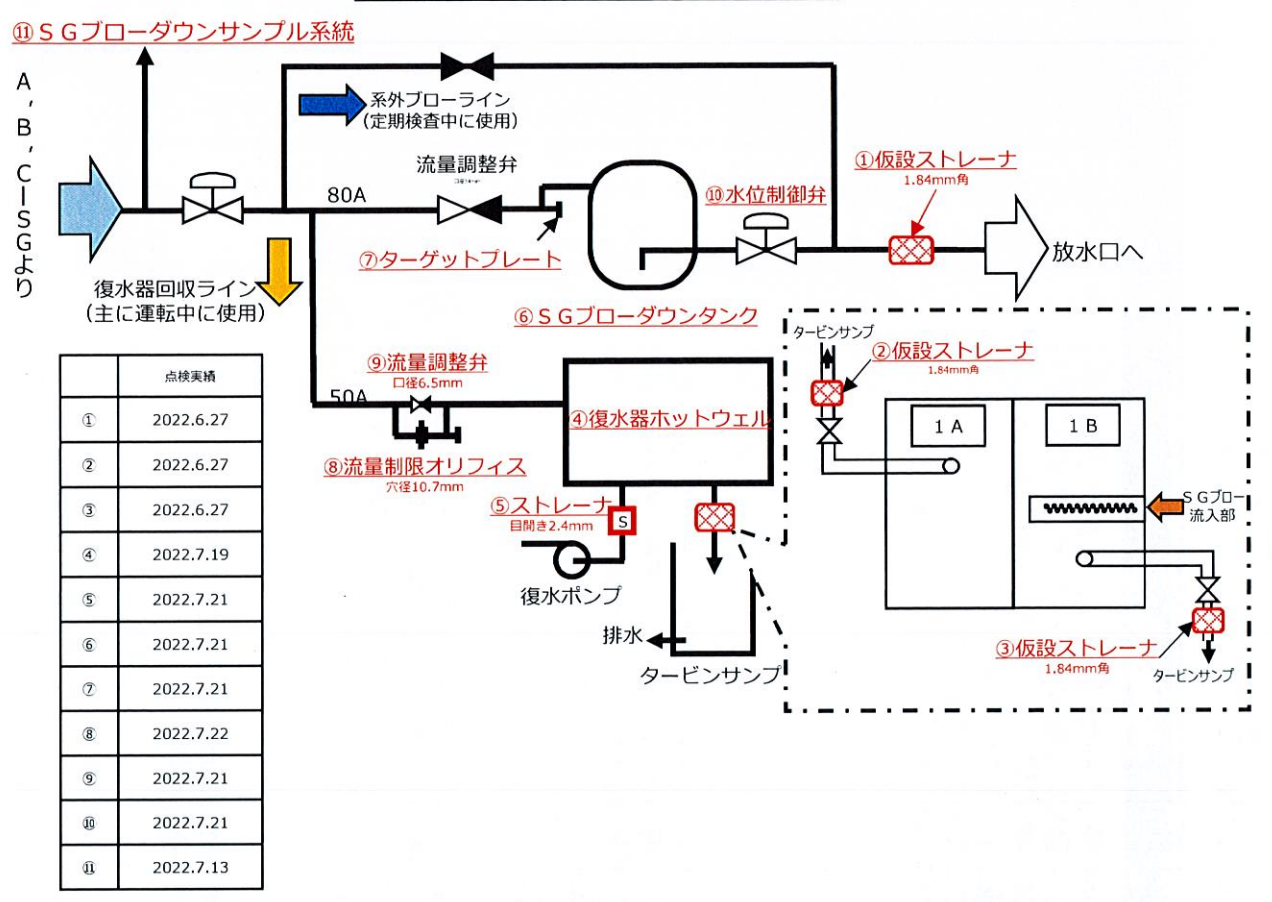
	機器立入	垂直配管取付弁	その他
高浜発電所3号機 第24回定期検査以降 および 高浜発電所4号機 第23回定期検査以降	・機器内部に立ち入る前に、器内作業用の作業服に着替え、靴カバーを着用する。 ・機器内部に立ち入る作業前に、作業服、 靴等に異物の付着がないことを本人以 外が確認する。 ・開口部に周辺作業と隔離したエリアを設ける。	 ・弁点検時は、弁箱内部に使用する機材(ウエス含む)に異物の付着がないことを確実に事前確認する。 ・最終異物確認時に直接目視で異物確認できない範囲は、小型カメラで確認する。 ・ウエスは、新ウエスを使用する。 ・新ウエスは再使用ウエスと区別して管理する。 	・保温材の切れ端等の清掃・片づけは一作業一片づけを徹底し、作業服、靴の異物付着確認を行う。・機器を開放した時点でうず巻きガスケット等の金属製の消耗品に損傷を確認した場合は、当社工事担当者に報告することに加え、工事報告書に必要事項を記載することを調達要求文書に定める。・S G水張ポンプ入口仮設ストレーナを設置した。
高浜発電所4号機 第22回定期検査	・機器内部に立ち入る前に、器内作業用の作業服に着替え、靴カバーを着用する。 ・機器内部に立ち入る作業前に、作業服、 靴等に異物の付着がないことを本人以 外が確認する。 ・開口部に周辺作業と隔離したエリアを設 ける。	 ・弁点検時は、弁箱内部に使用する機材(ウエス含む)に異物の付着がないことを確実に事前確認する。 ・最終異物確認時に直接目視で異物確認できない範囲は、小型カメラで確認する。 ・ウエスは、新ウエスを使用する。 ・新ウエスは再使用ウエスと区別して管理する。 	・保温材の切れ端等の清掃・片づけ は一作業一片づけを徹底し、作 業服、靴の異物付着確認を行う。
高浜発電所3号機 第23回定期検査	・機器内部に立ち入る作業前に、作業服、 靴等に異物の付着がないことを本人以 外が確認する。	・弁点検時は、弁箱内部に使用する機材(ウエス含む)に異物の付着がないことを確実に事前確認する。 ・最終異物確認時に直接目視で異物確認できない 範囲は、小型カメラで確認する。【自主対応】	
高浜発電所3号機 第23回定期検査以前 高浜発電所4号機 第21回定期検査以前	・機器内部に立ち入る作業前に、作業服、 靴等に異物の付着がないことを確認する (本人でも可)。	・最終異物確認は直接目視にて実施 (手鏡等を使用)	美浜3号機での異物混入事象 (2000年、2007年)を踏まえた 対策についても実施 ・機器開口部周辺の管理徹底する。 ・異物確認者の作業服や作業靴な どの清掃等。

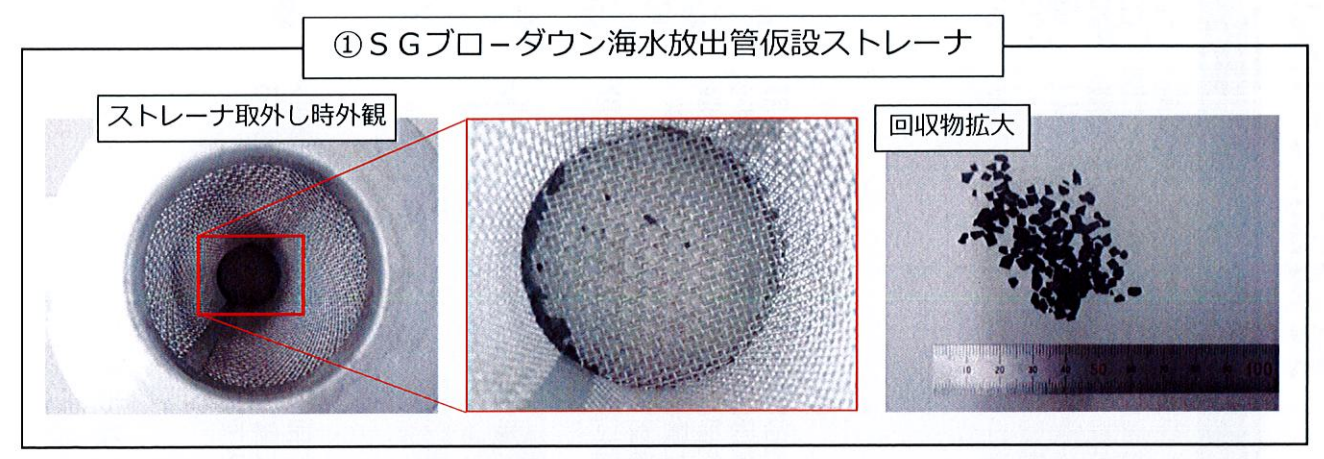
今回、S G器内および器外点検の結果、異物は確認できなかったことから異物混入対策は有効であったと判断する。今後も引き続き同様の異物混入対策を実施する。

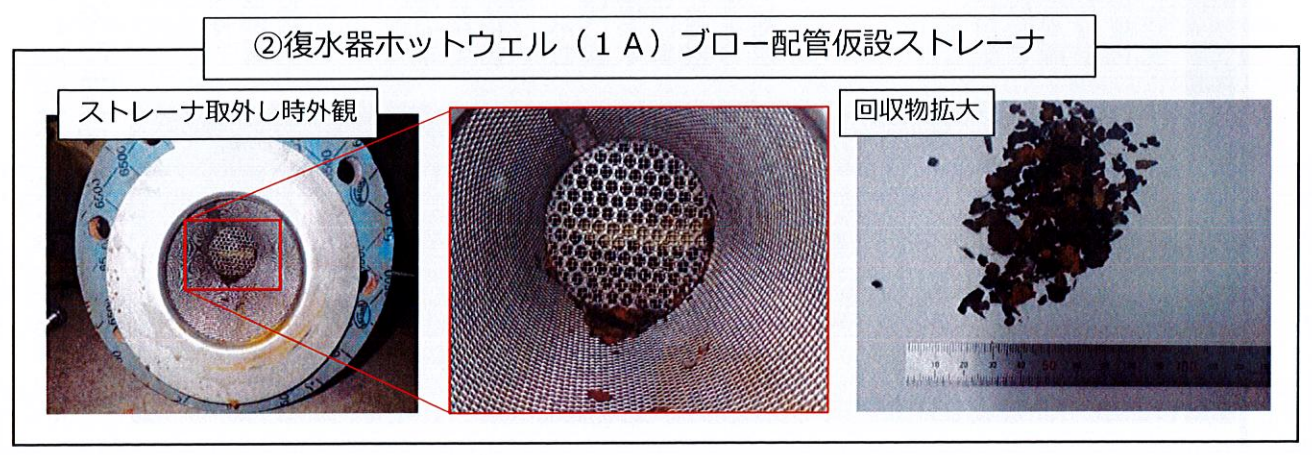
発電用原子炉施設故障等報告書 (高浜発電所3号機 蒸気発生器伝熱管の損傷について) (2022年5月25日)より引用

SGブローダウン系統点検結果(1/8)

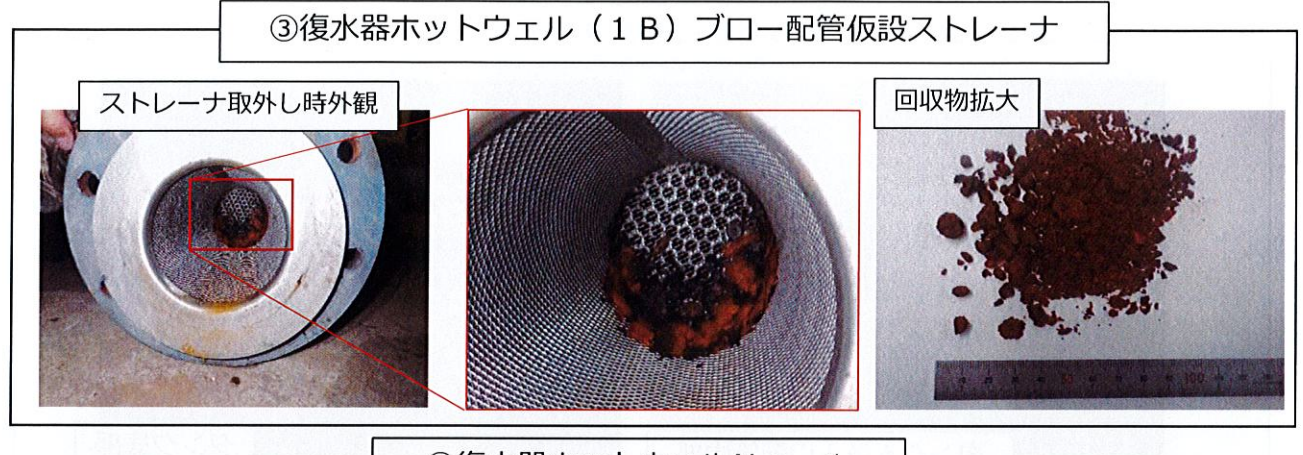
SGブローダウン系統の点検概略図

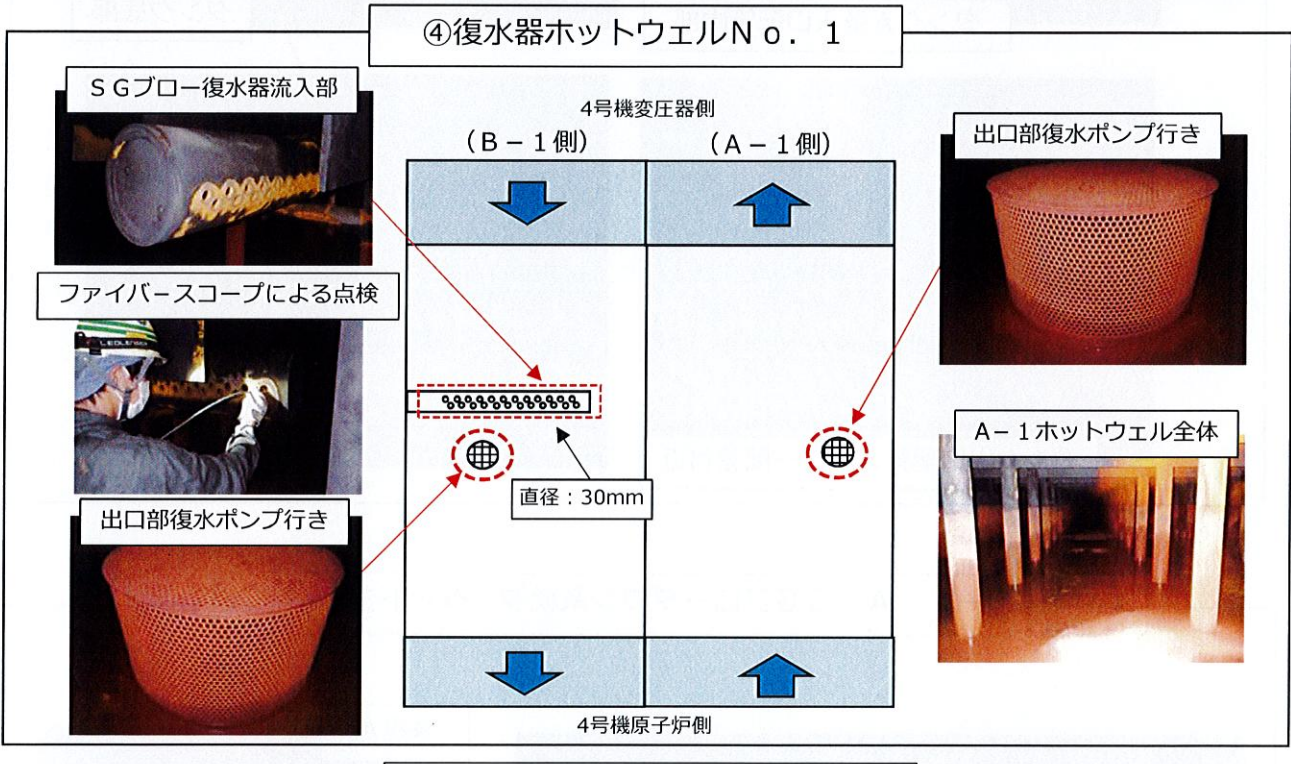


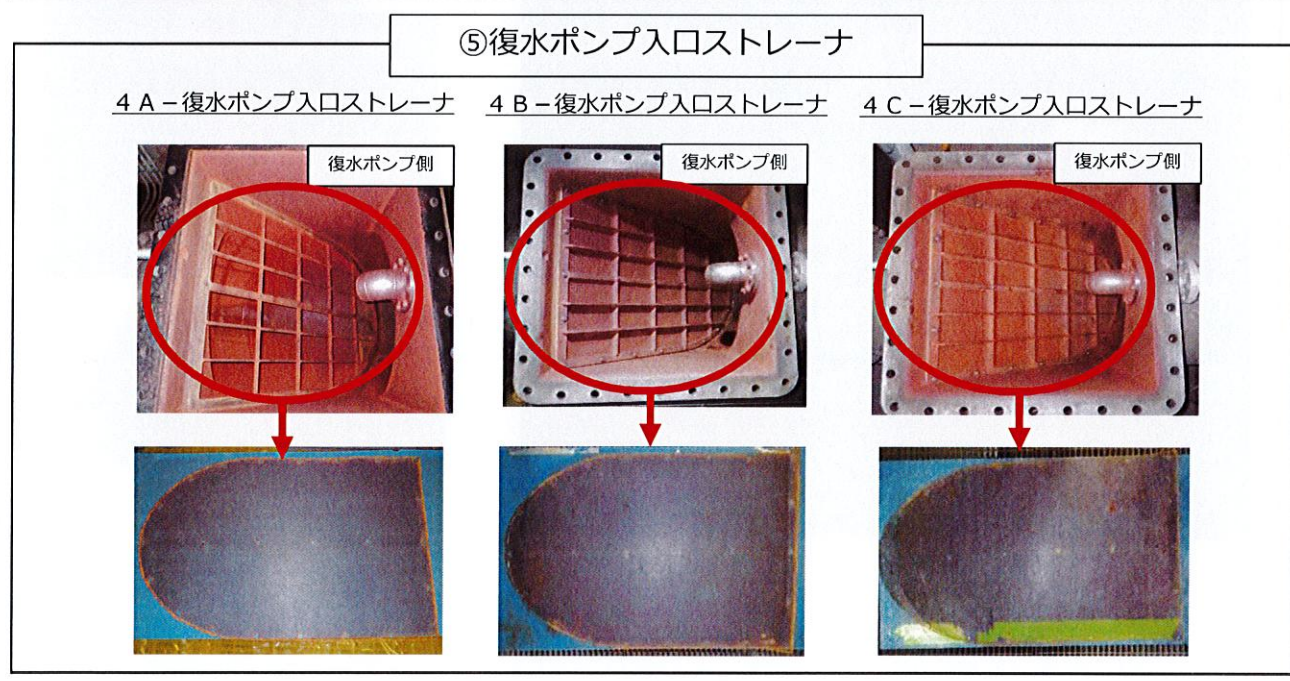




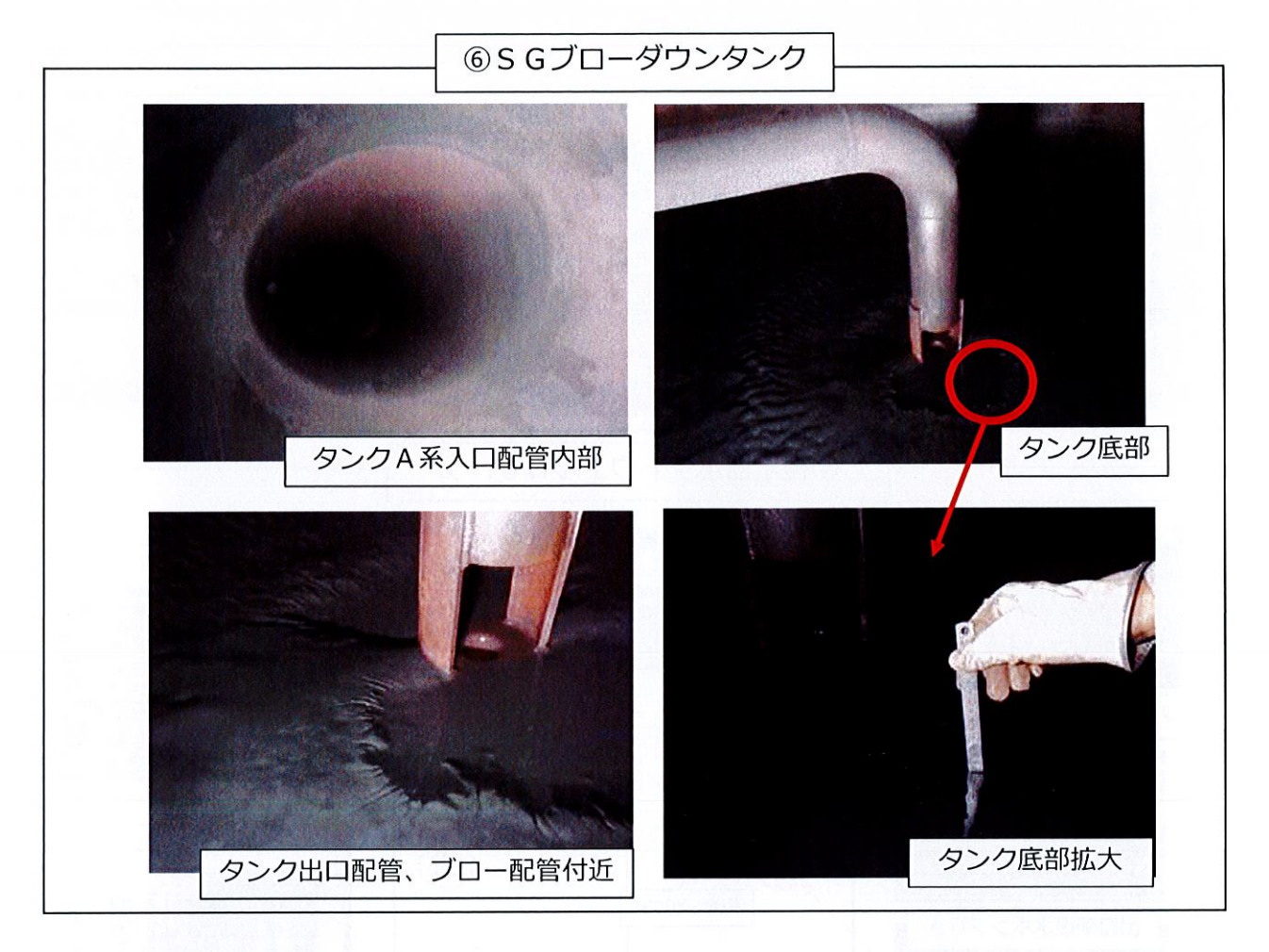
SGブローダウン系統点検結果(2/8)

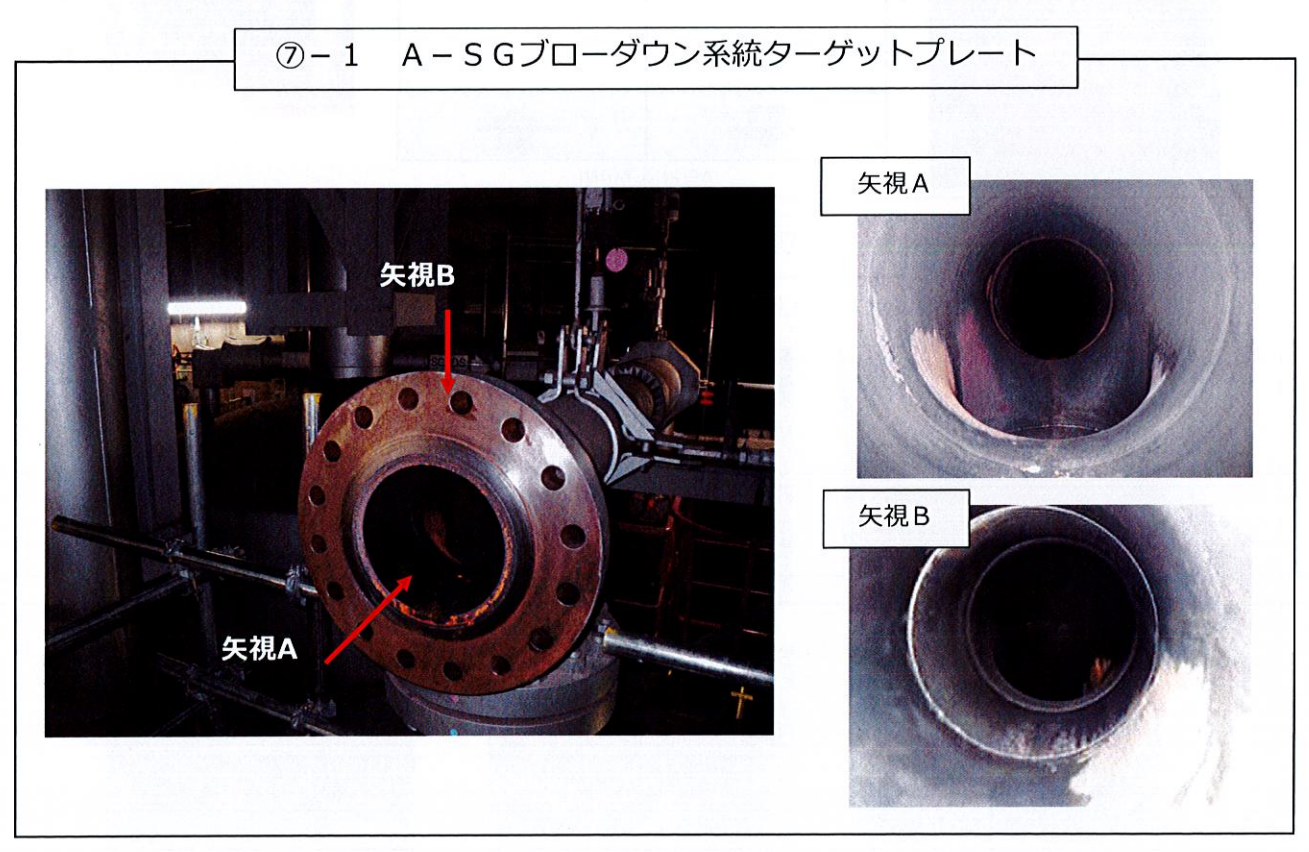




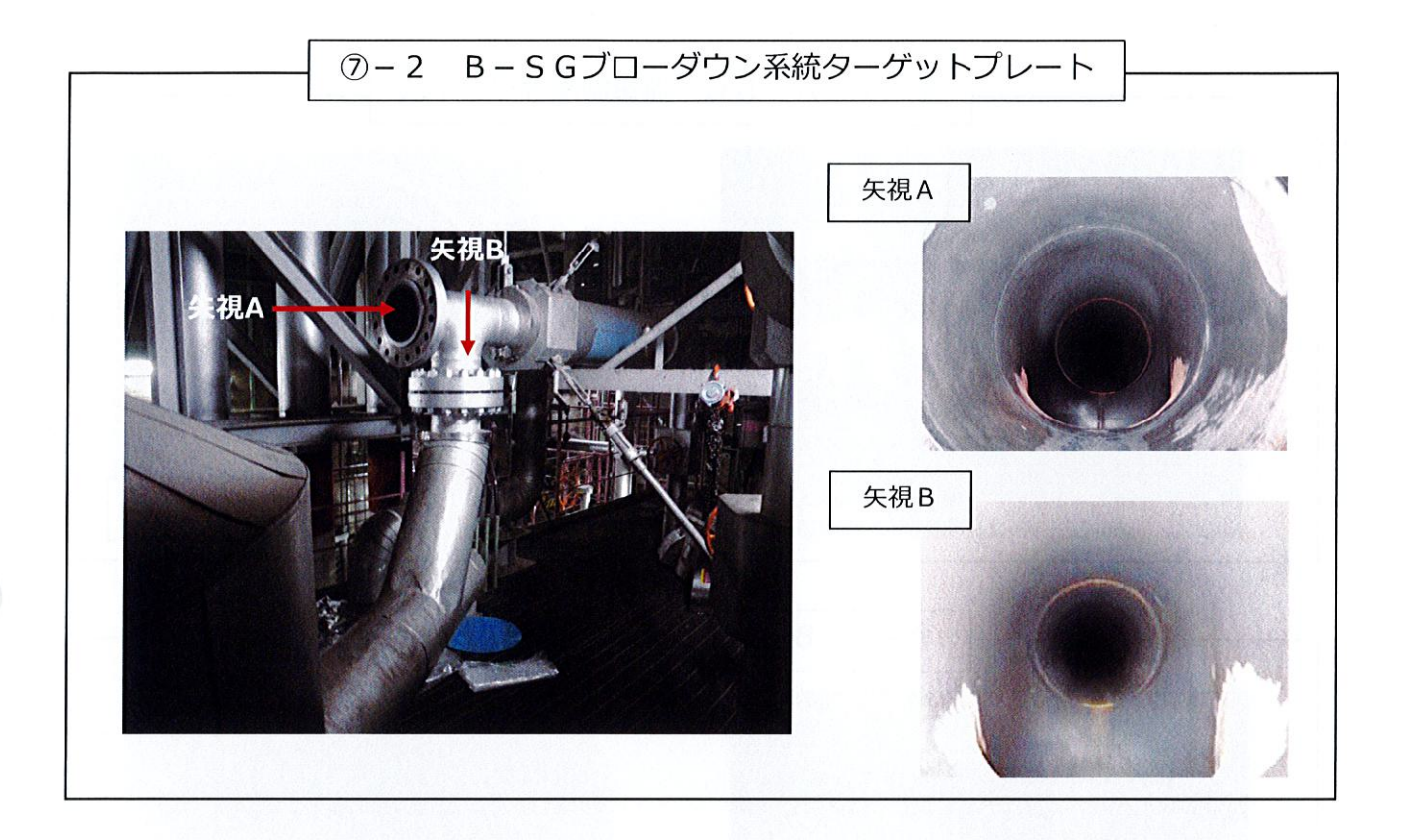


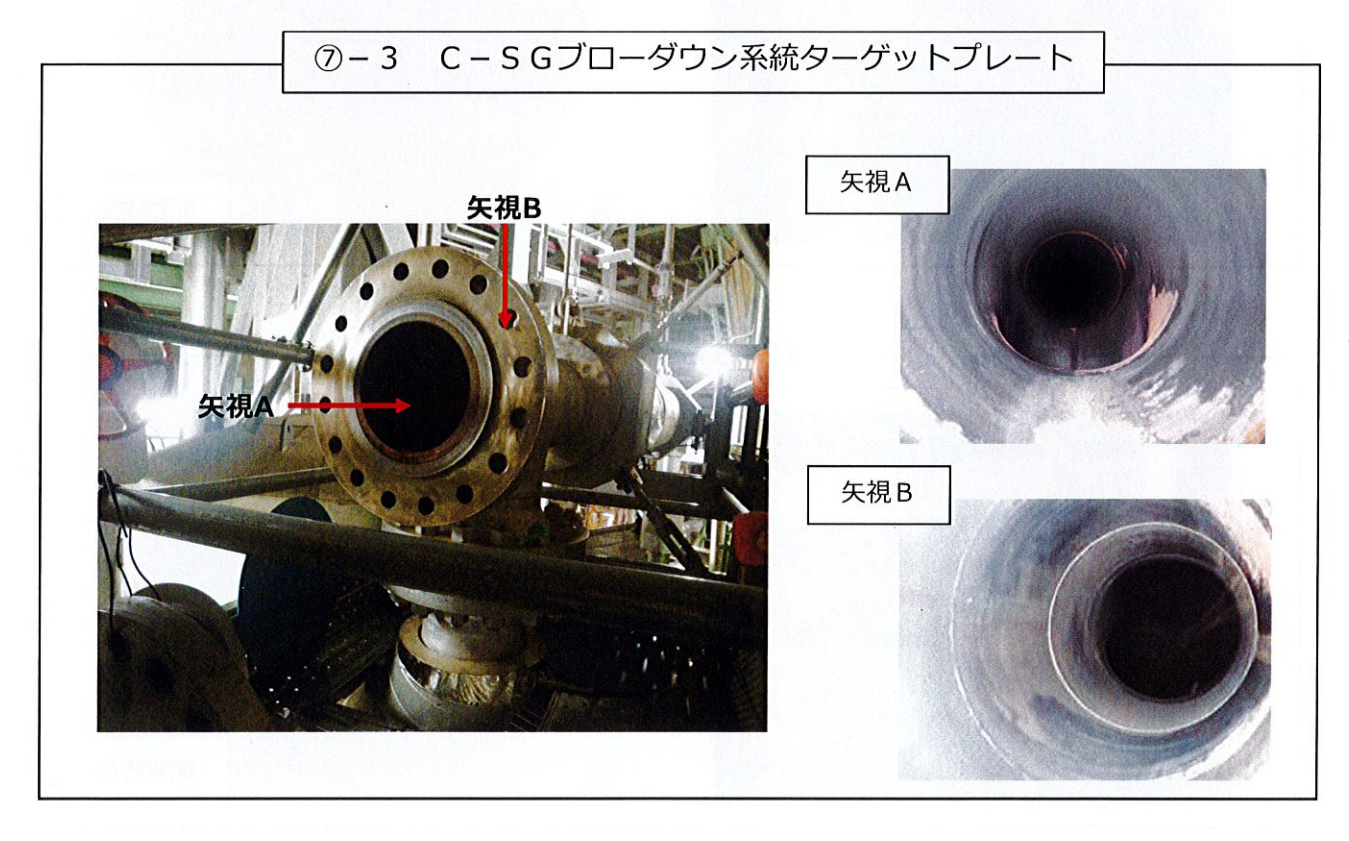
SGブローダウン系統点検結果(3/8)





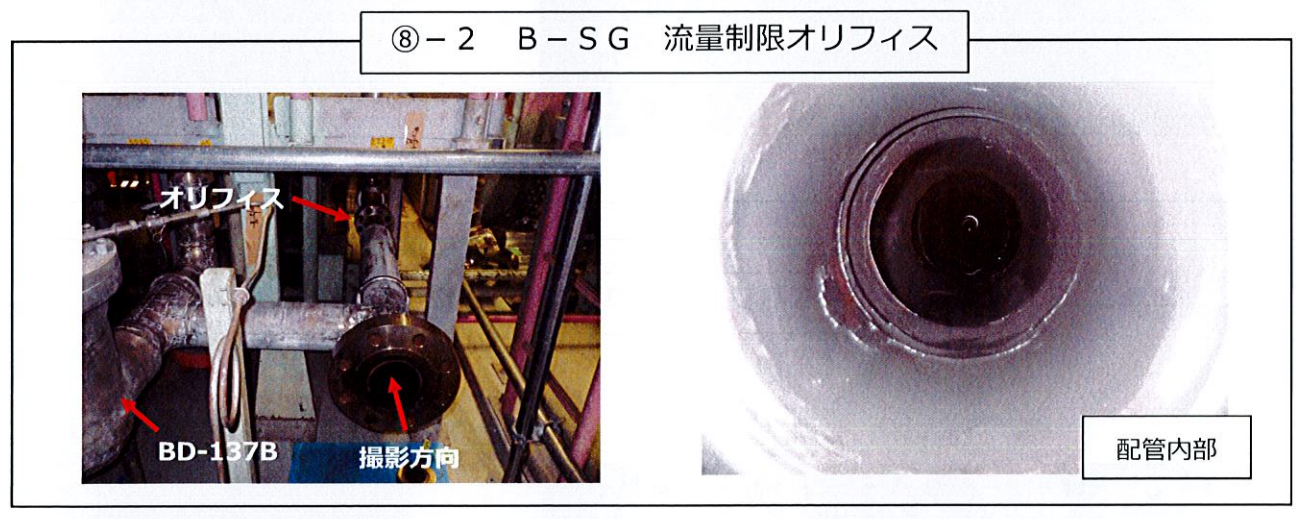
SGブローダウン系統点検結果(4/8)

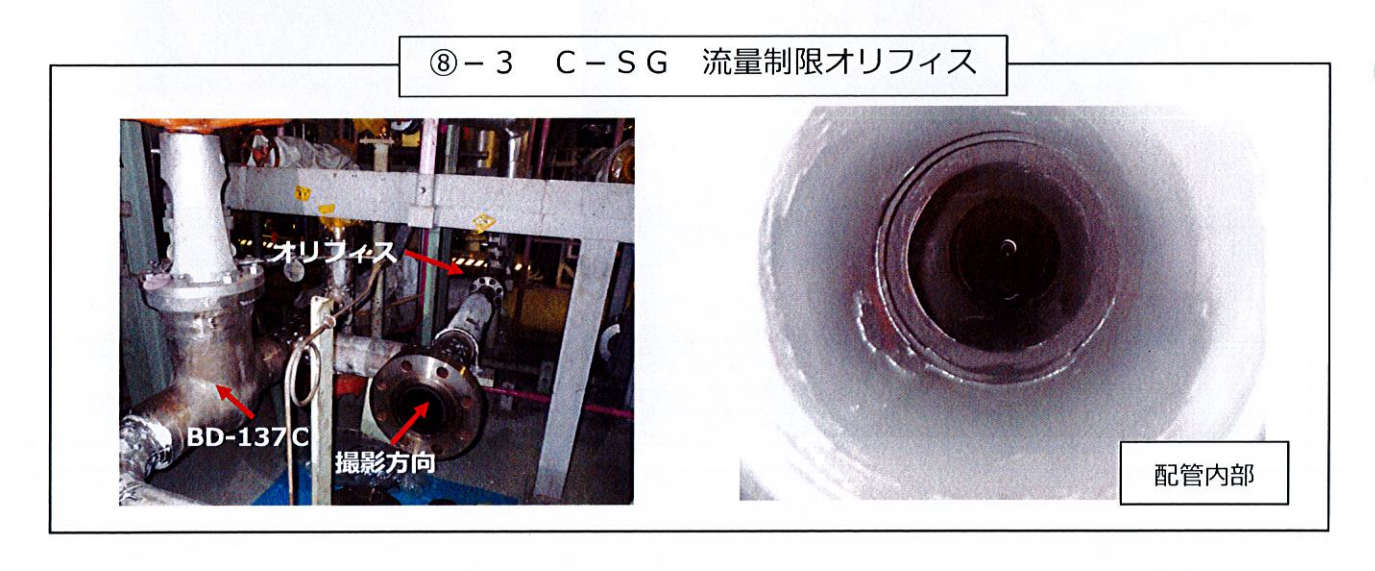




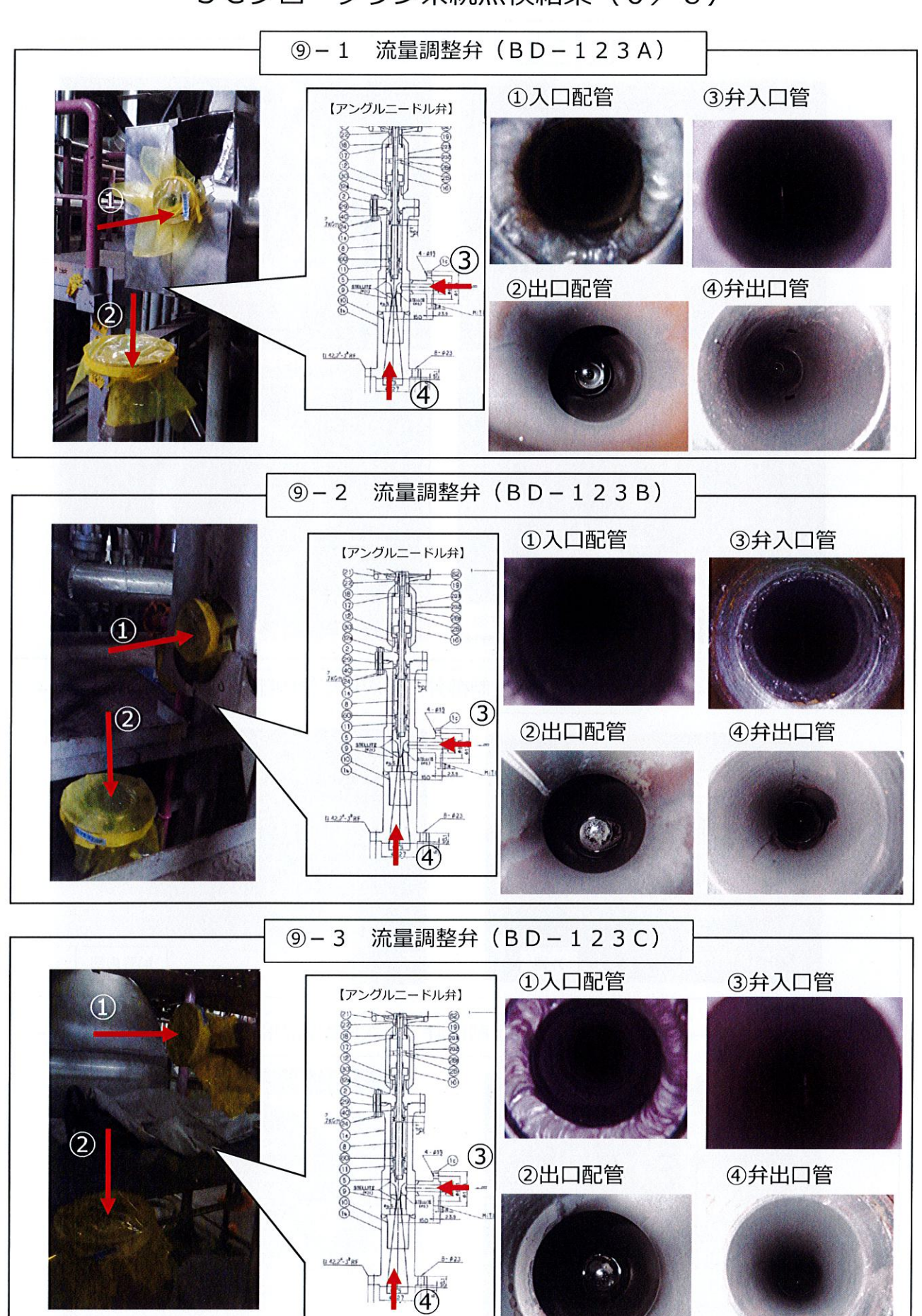
SGブローダウン系統点検結果(5/8)







SGブローダウン系統点検結果(6/8)



内弁取り出し後

弁内部

SGブローダウン系統点検結果(7/8)

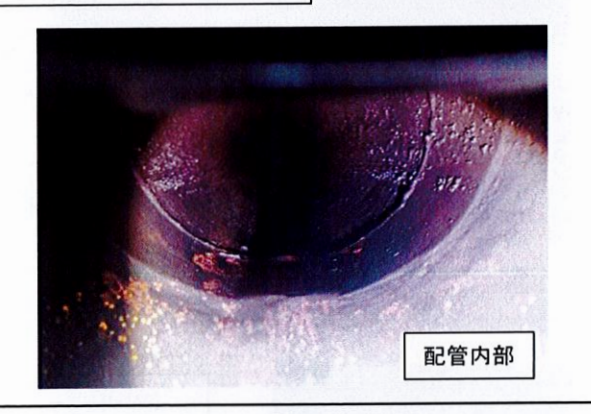




ボンネット開放後

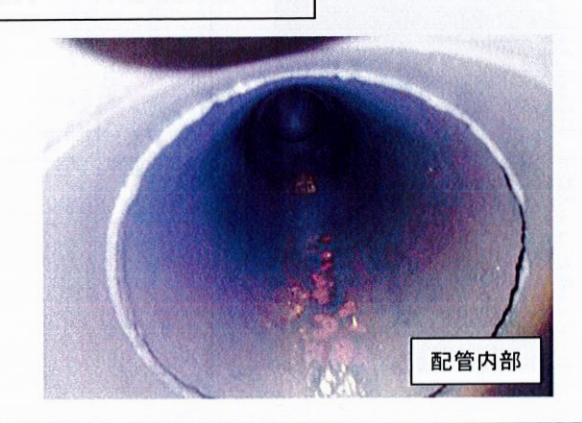
⑩-2 水位制御弁 1次側配管内部





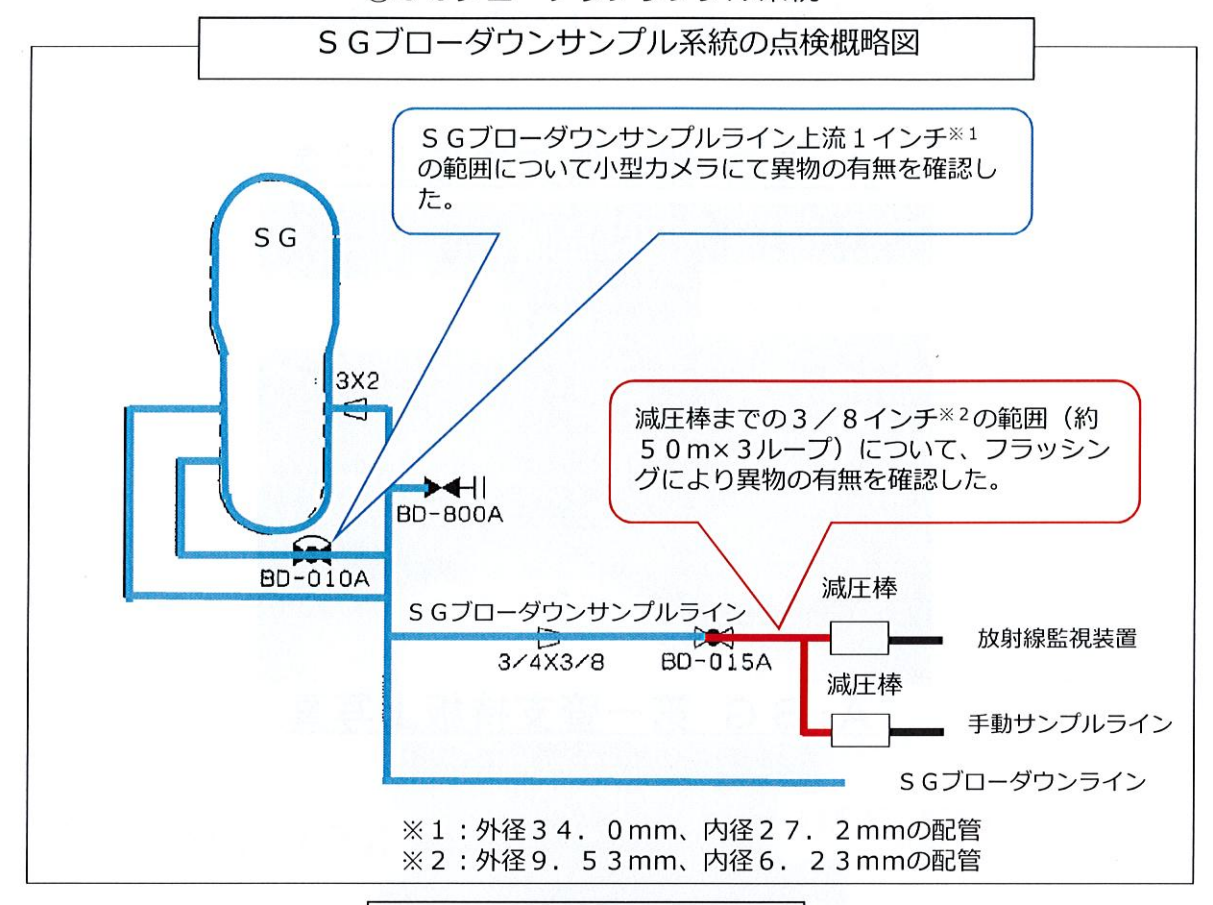
⑩-3 水位制御弁 2次側配管内部





SGブローダウン系統点検結果(8/8)

⑪SGブローダウンサンプル系統



小型カメラを用いた点検結果

1インチ範囲における小型カメラでの点検を実施した結果、異物は確認できなかった。



フラッシング結果

3/8インチ配管(約 $50m \times 3$ ループ)について、空気でのフラッシングによる確認を実施した結果、異物は確認できなかった。







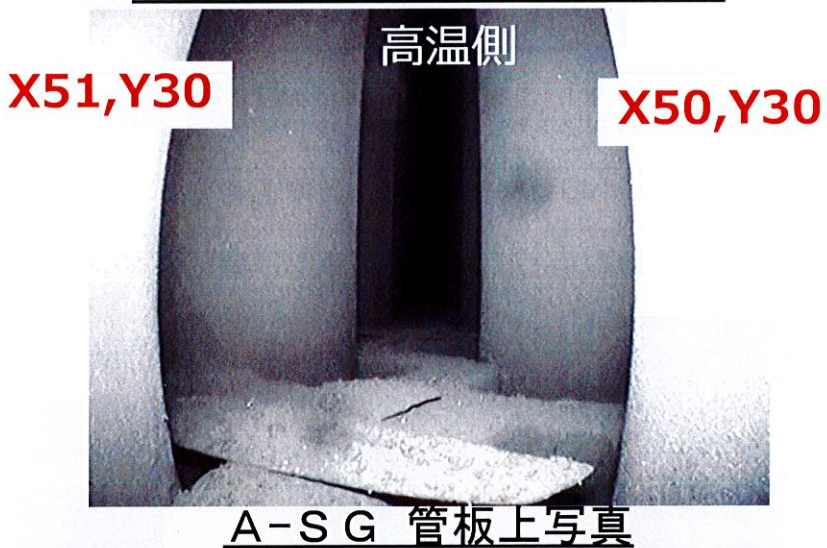
(フラッシング後のフィルタ)

SG器内のスケールおよびスラッジの残存状況調査

A-SG 第二管支持板上写真



A-SG 第一管支持板上写真





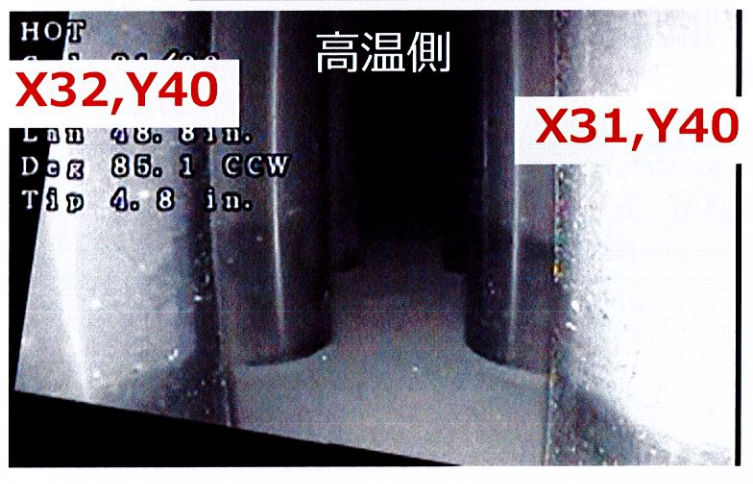
C-SG 第二管支持板上写真



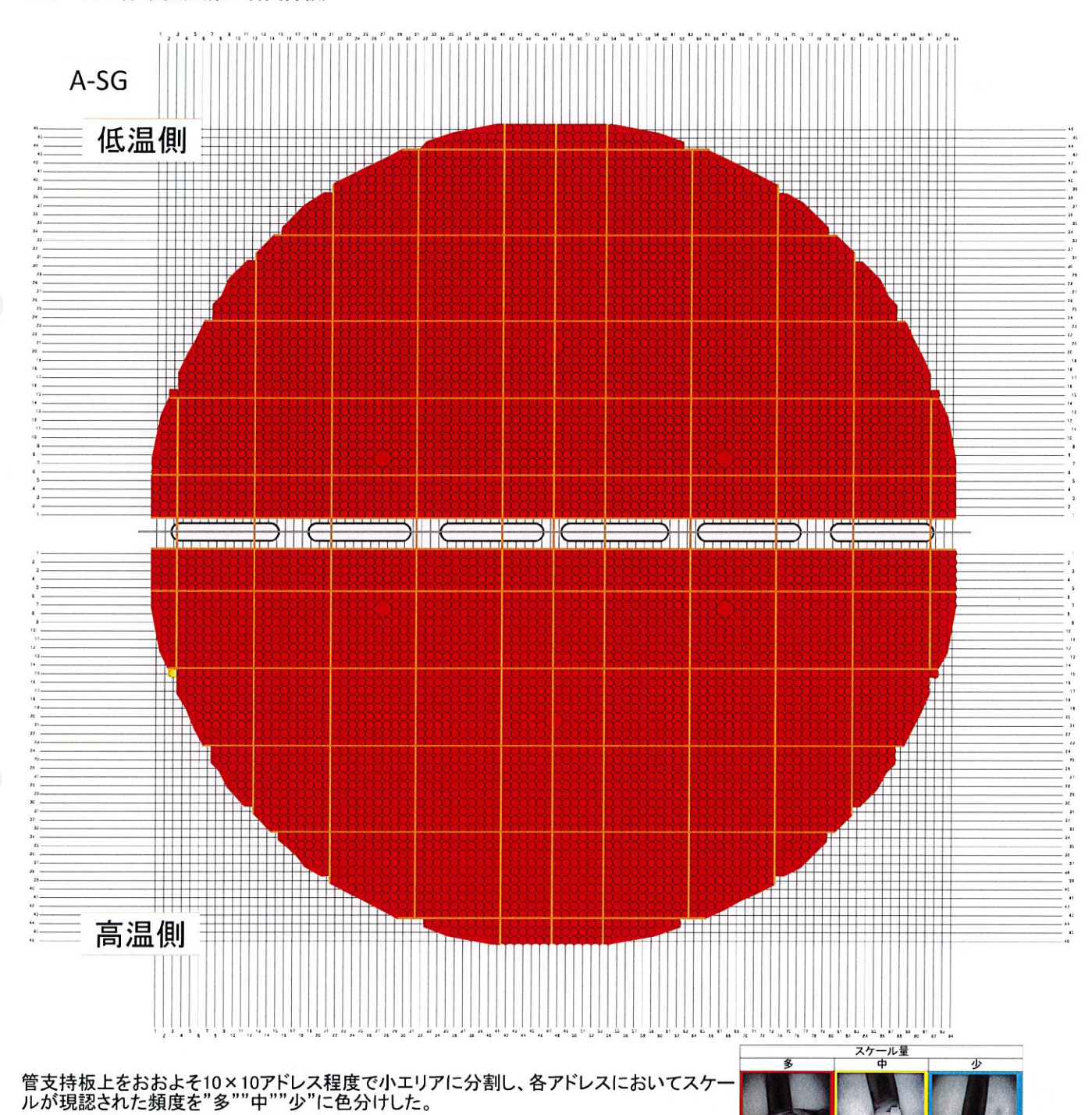
C-SG 第一管支持板上写真



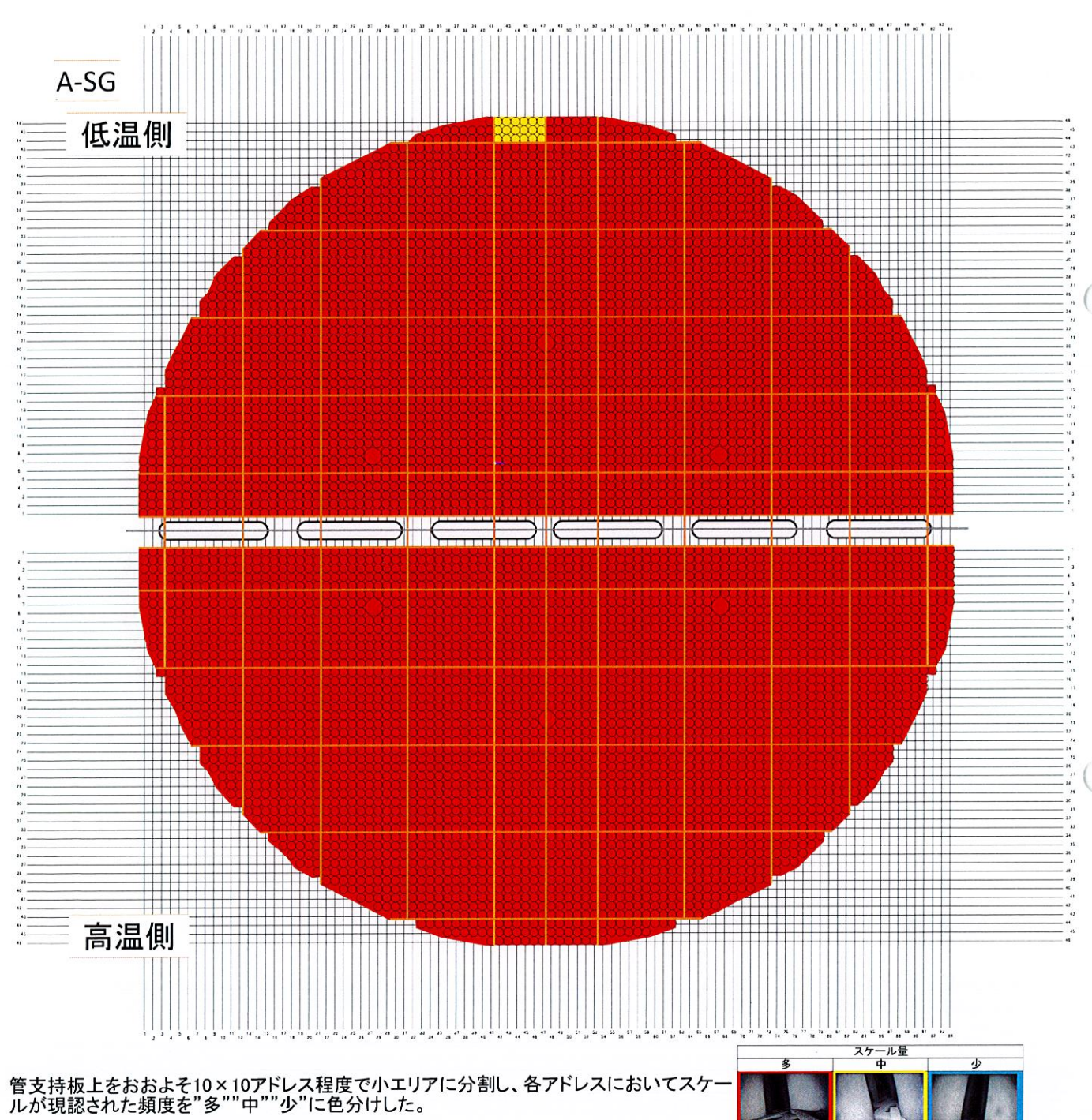
C-SG 管板上写真

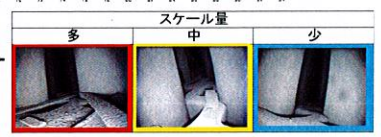


スケールの分布状況(第三管支持板)

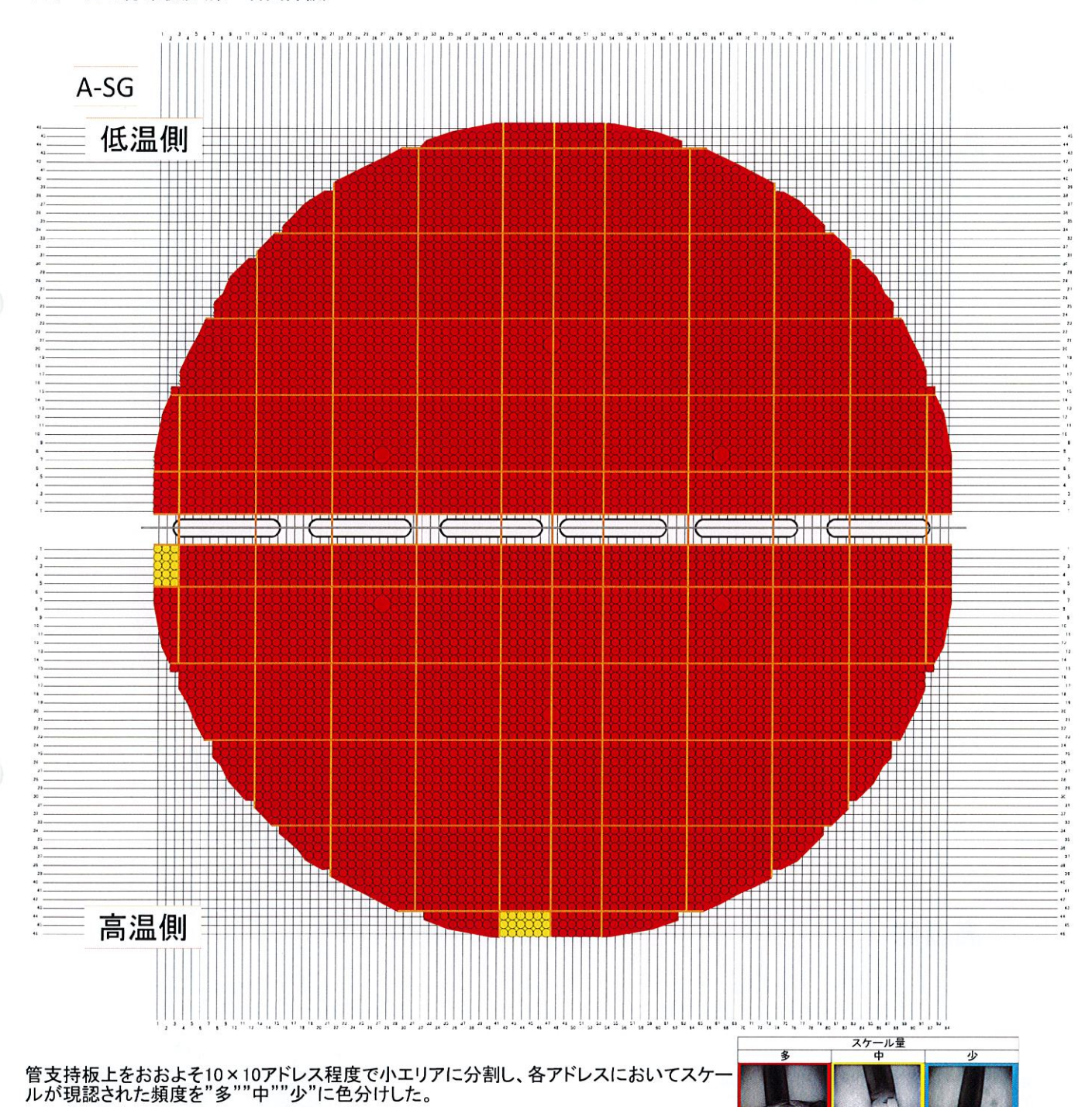


スケールの分布状況(第二管支持板)

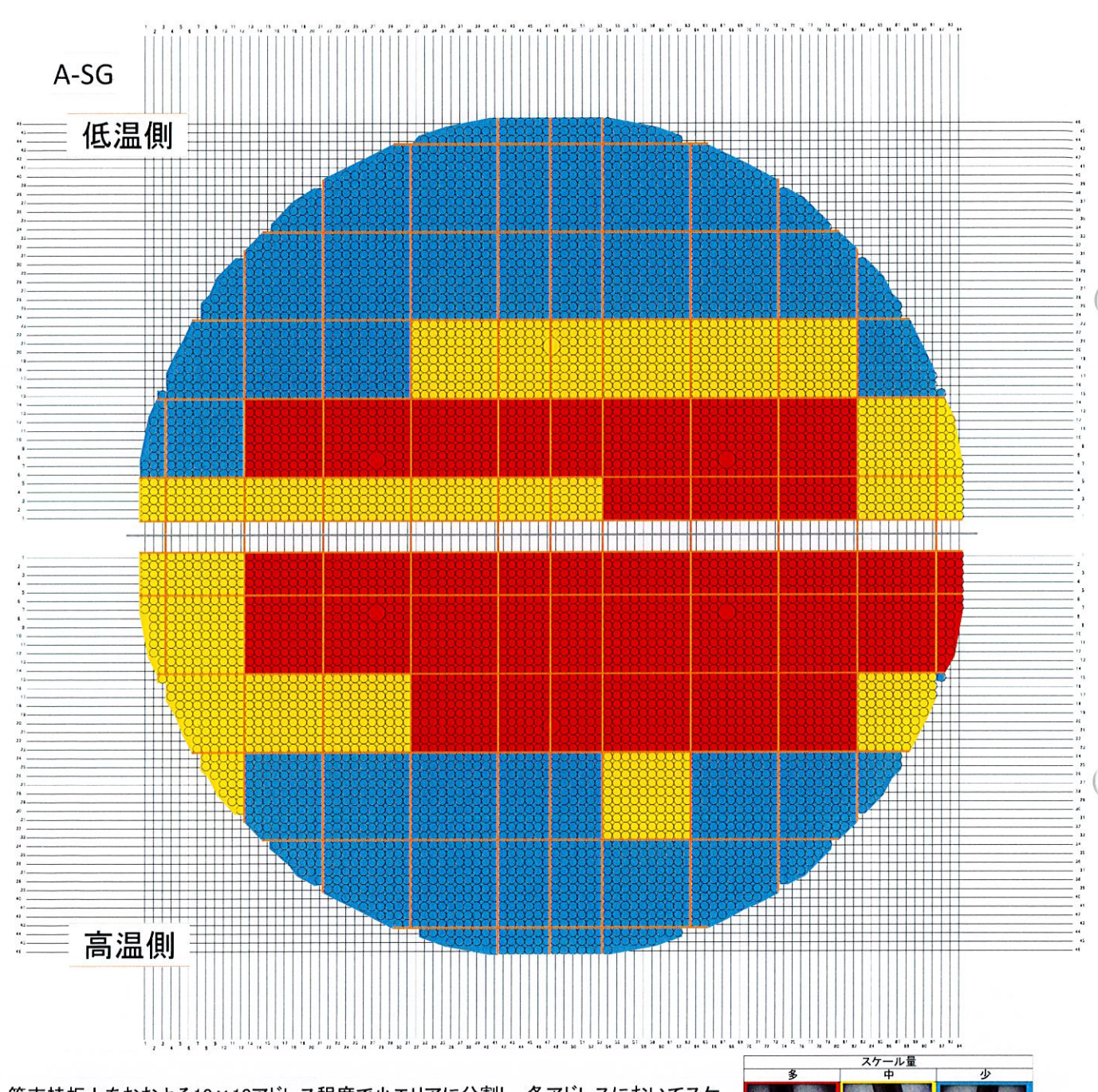




スケールの分布状況(第一管支持板)

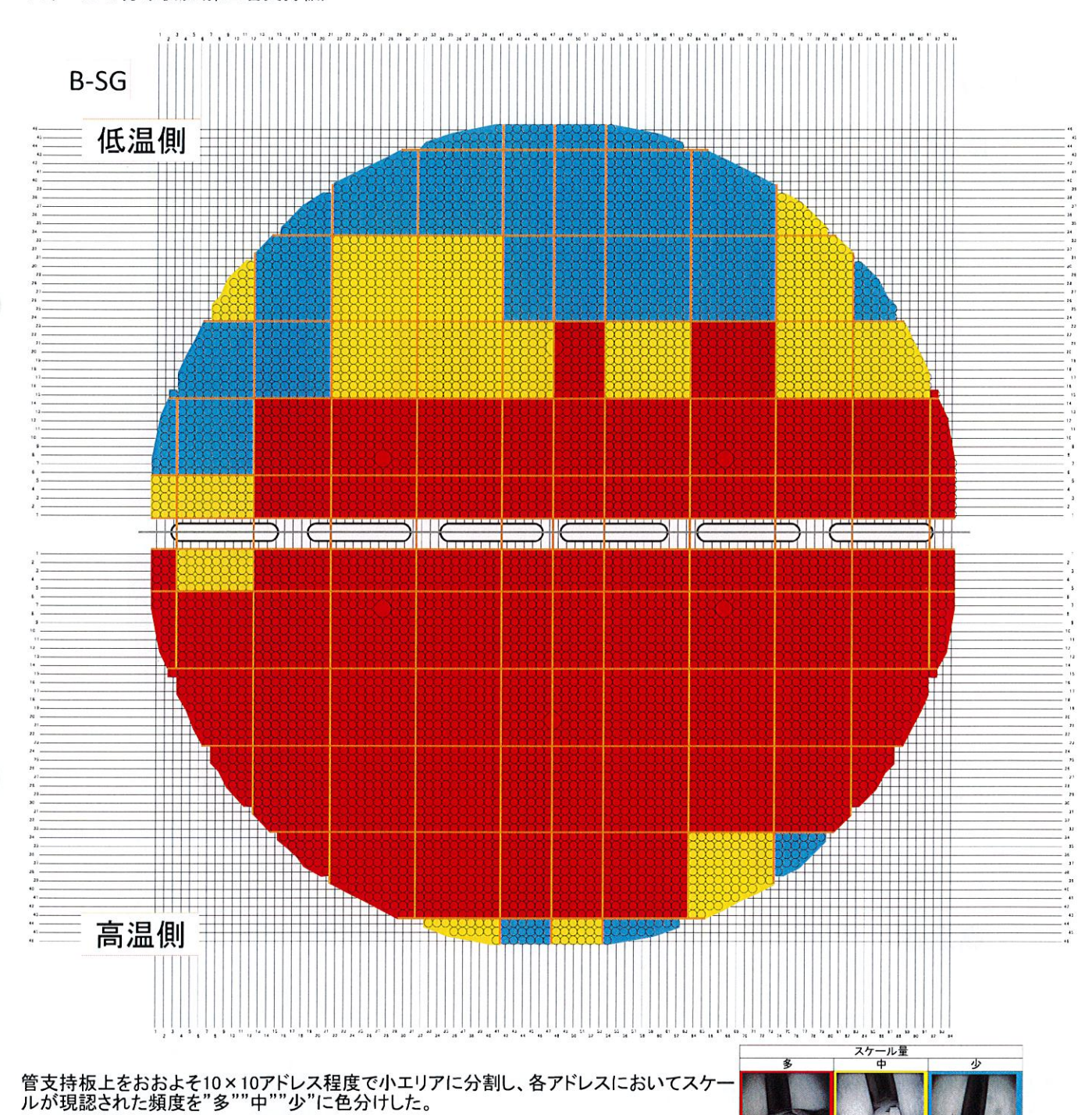


スケールの分布状況(管板)

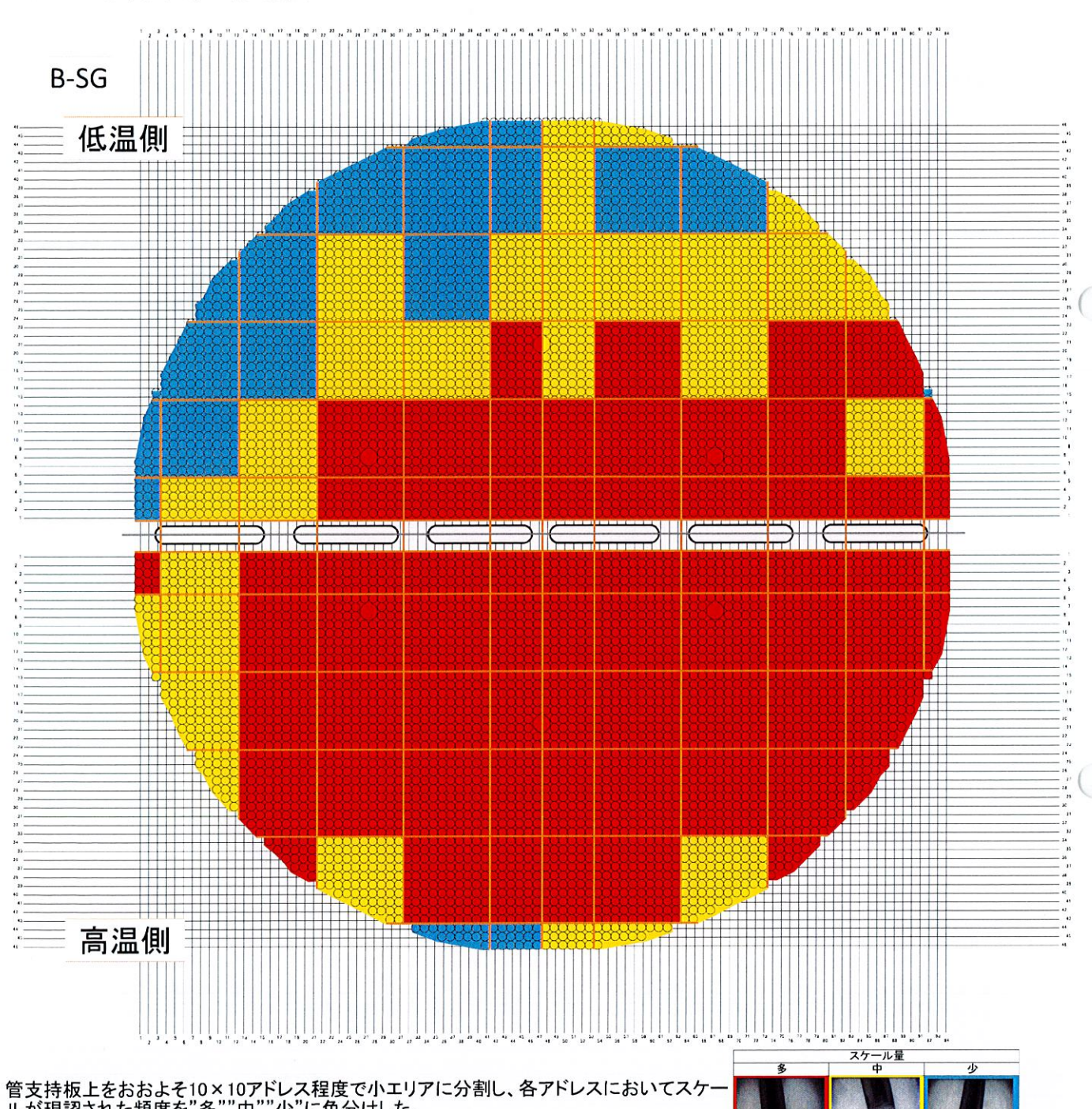




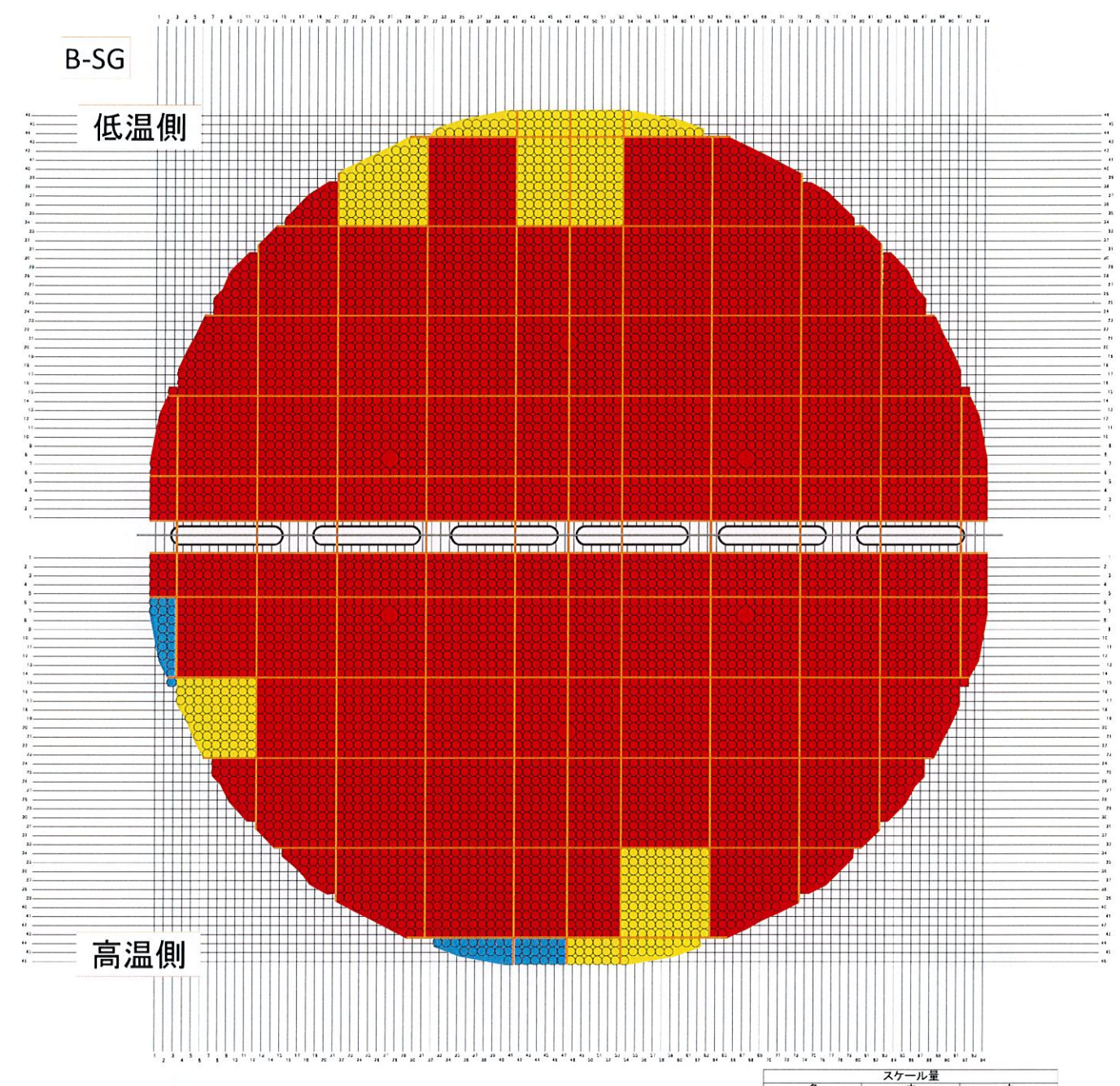
スケールの分布状況(第三管支持板)



スケールの分布状況(第二管支持板)

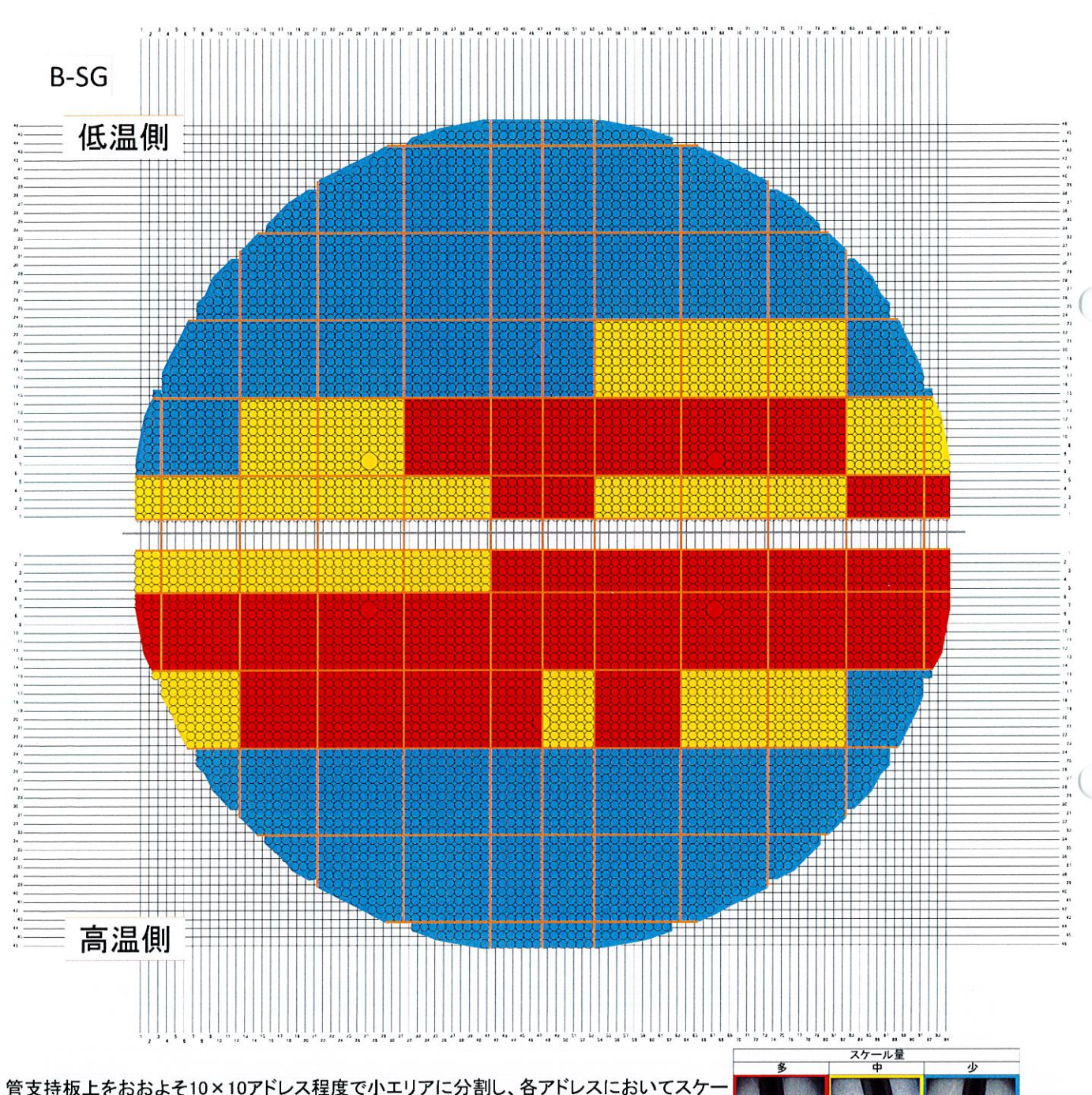


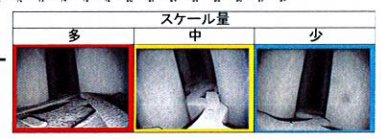
スケールの分布状況(第一管支持板)



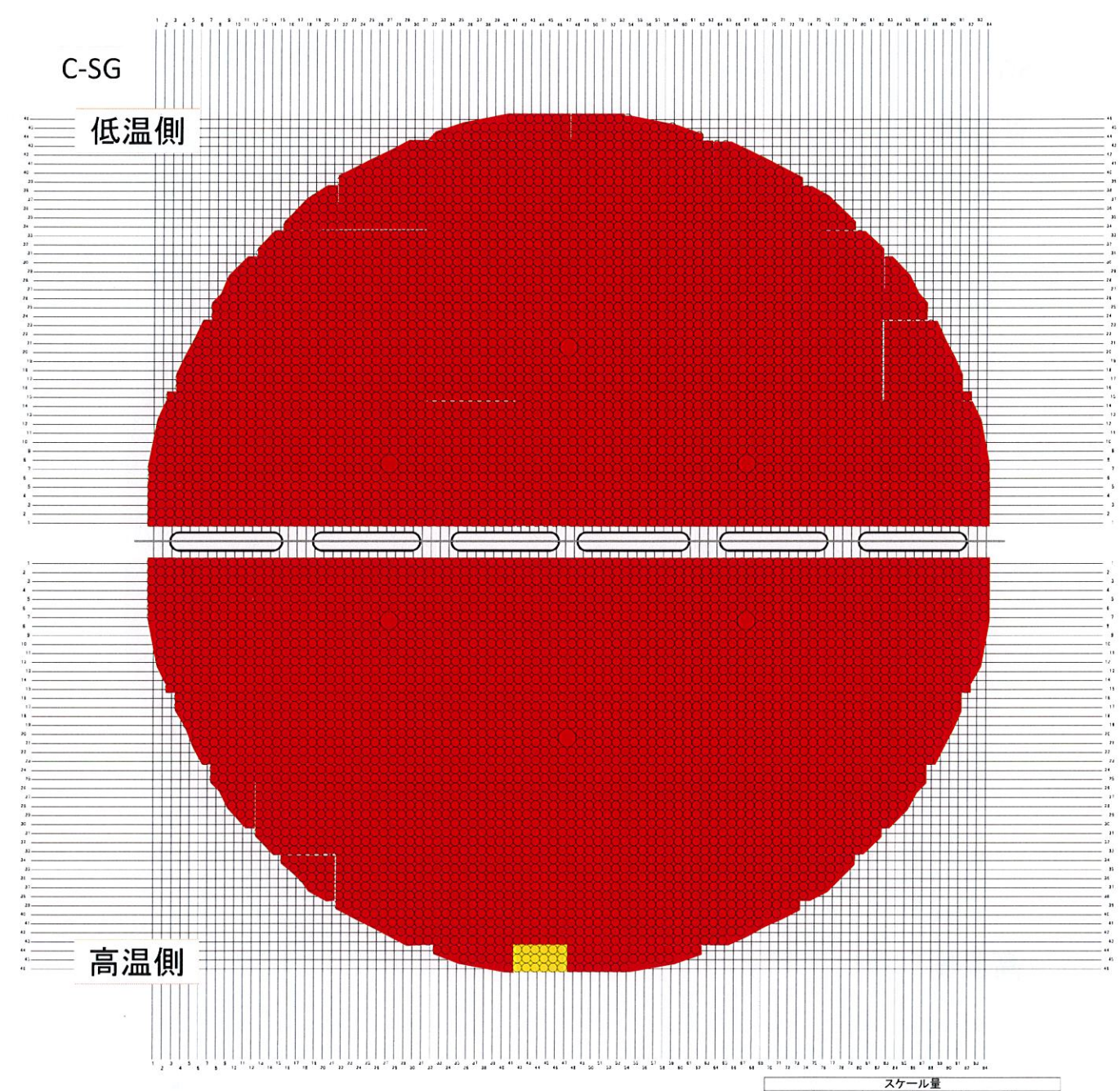


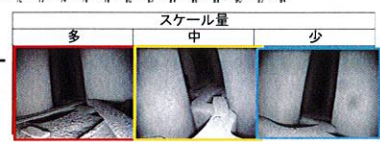
スケールの分布状況(管板)



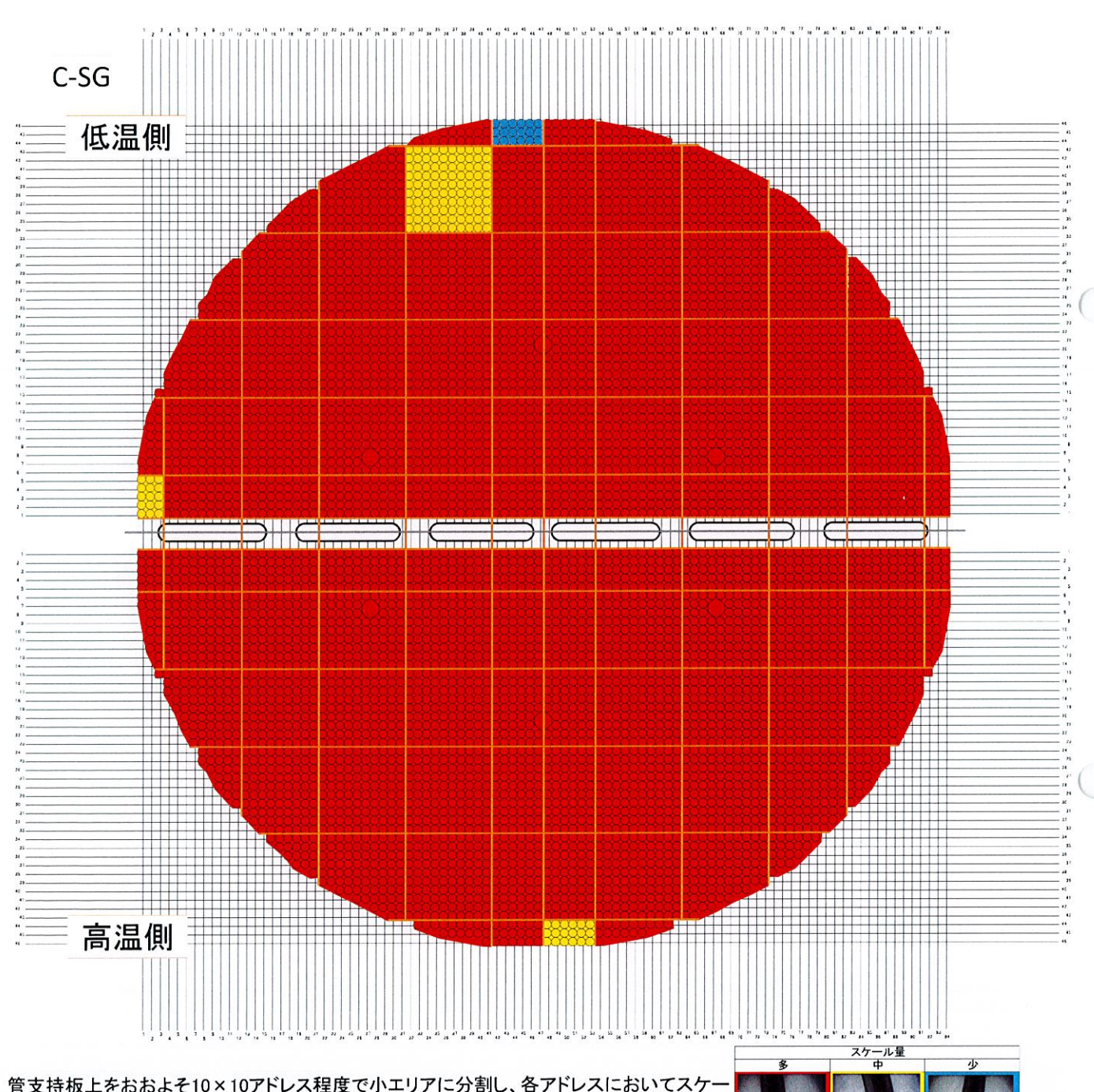


スケールの分布状況(第三管支持板)

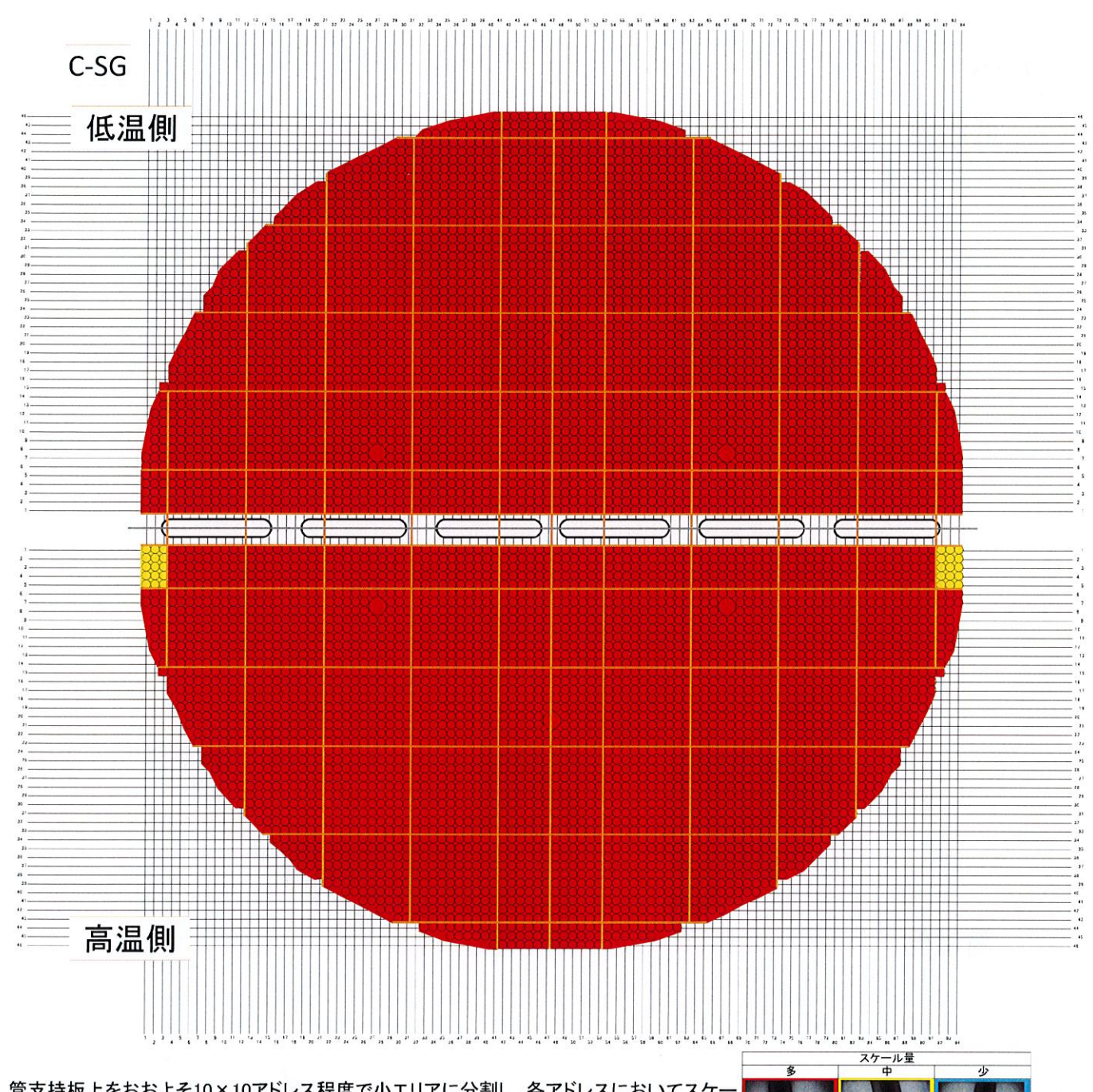


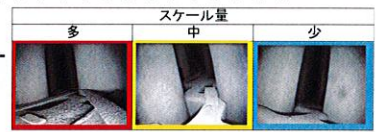


スケールの分布状況(第二管支持板)

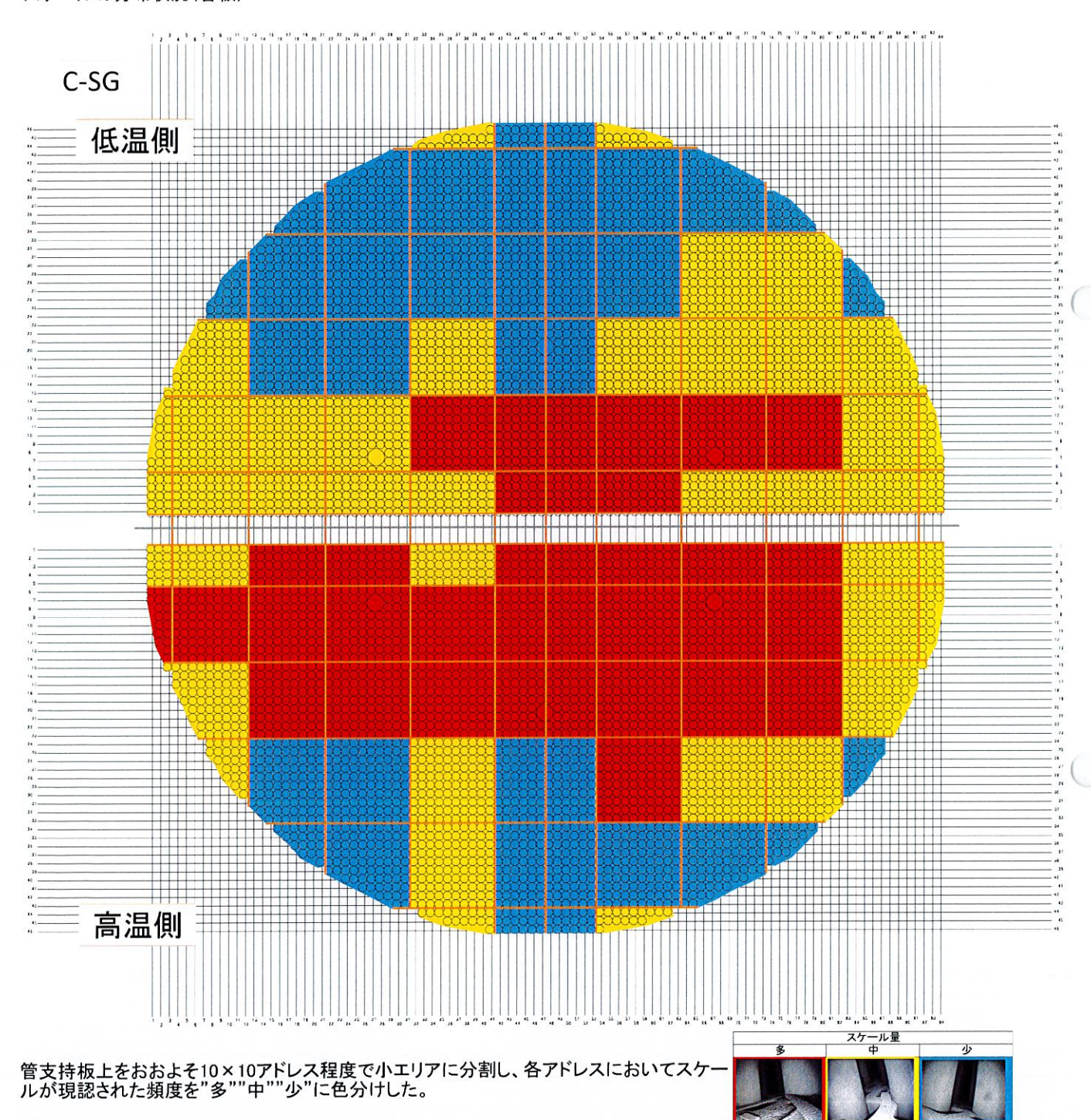


スケールの分布状況(第一管支持板)

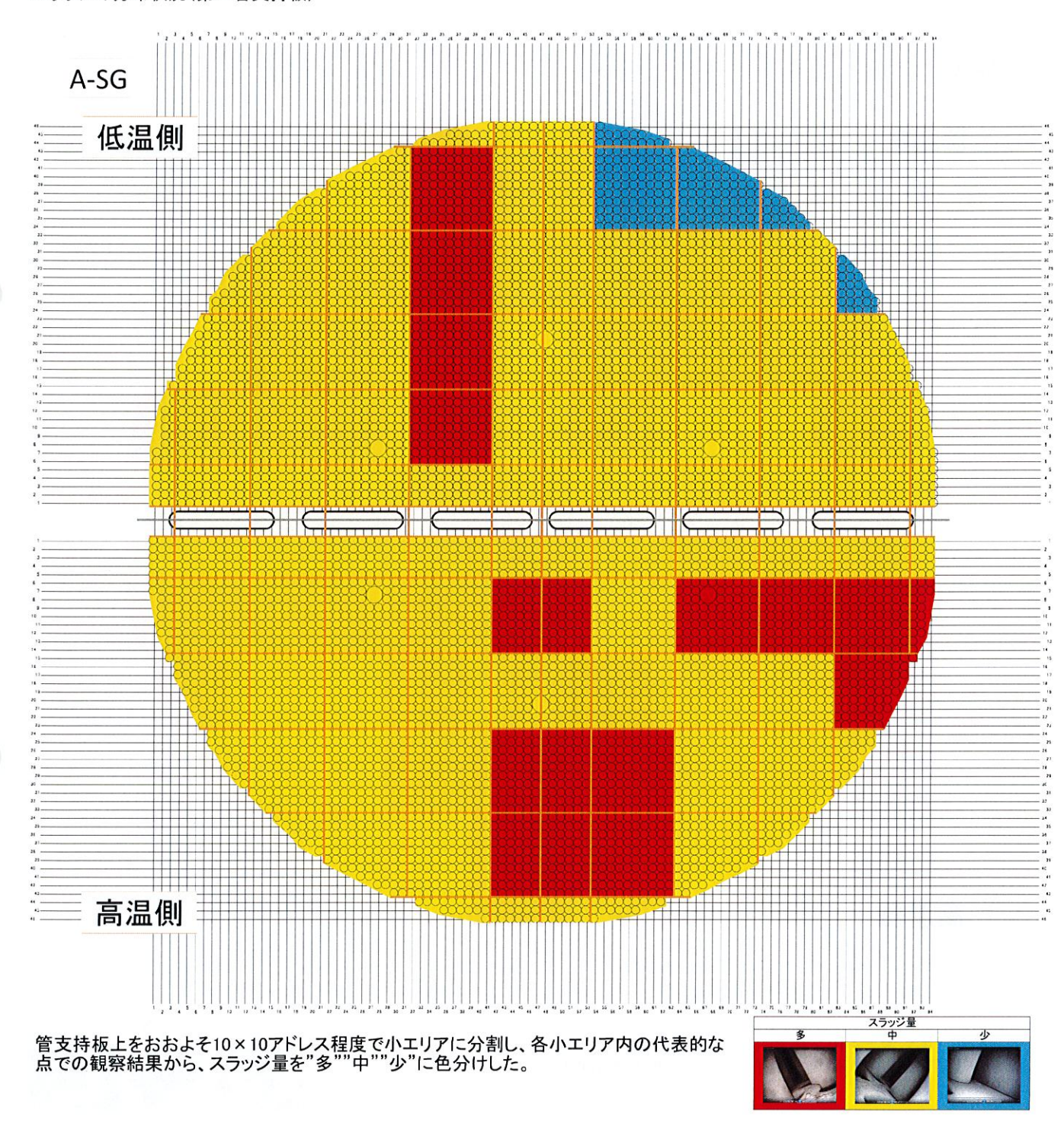




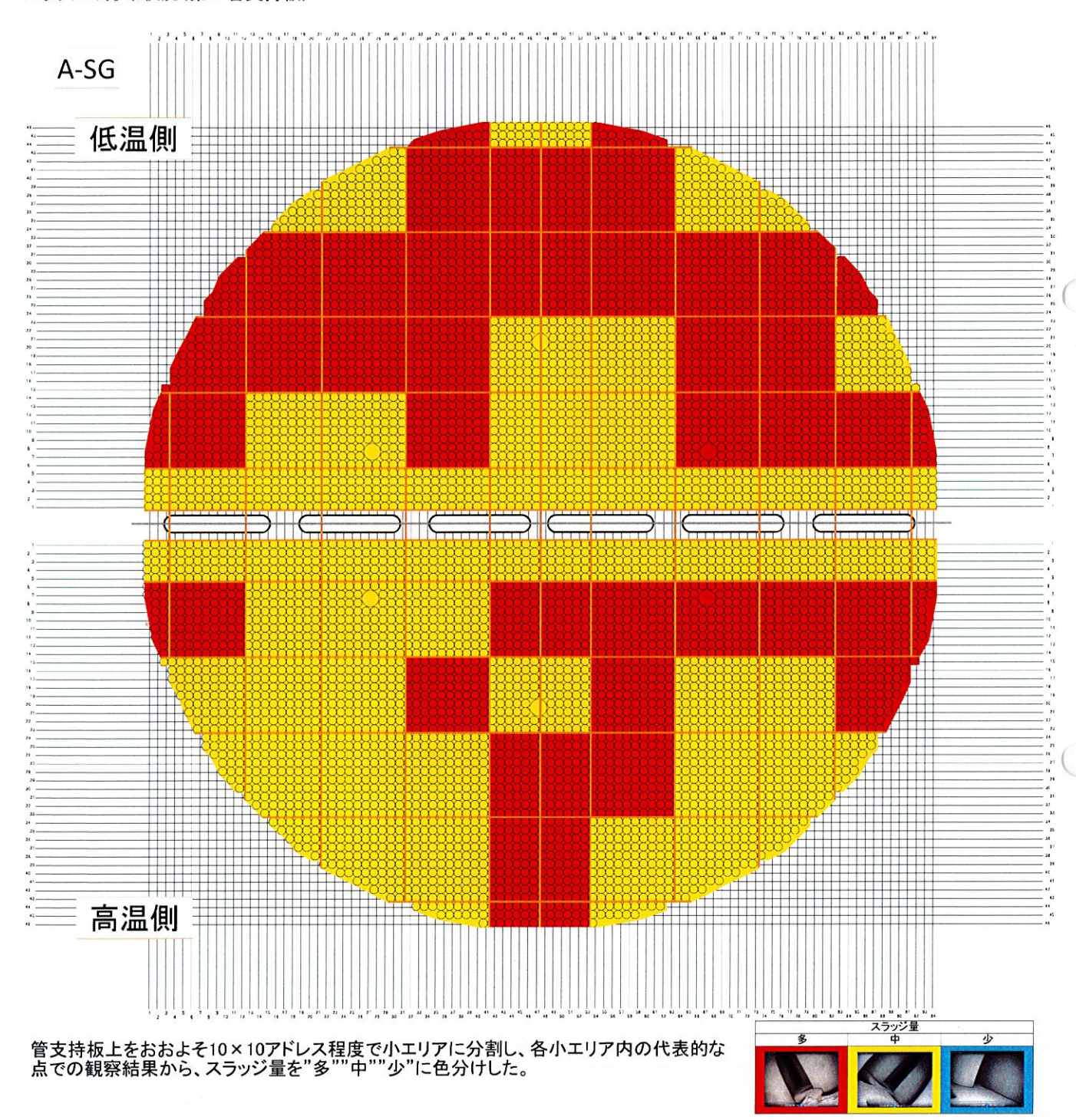
スケールの分布状況(管板)



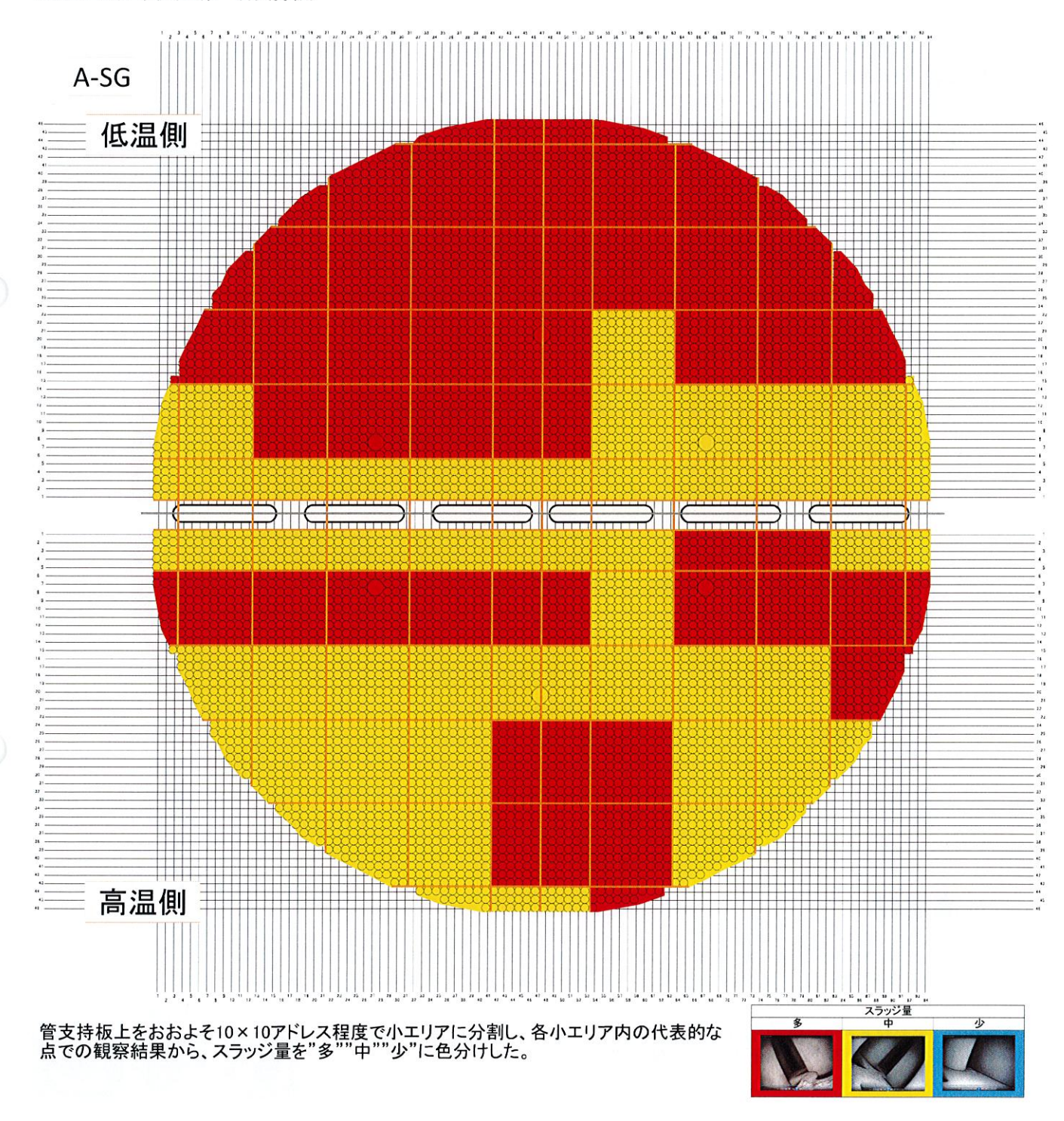
スラッジの分布状況(第三管支持板)



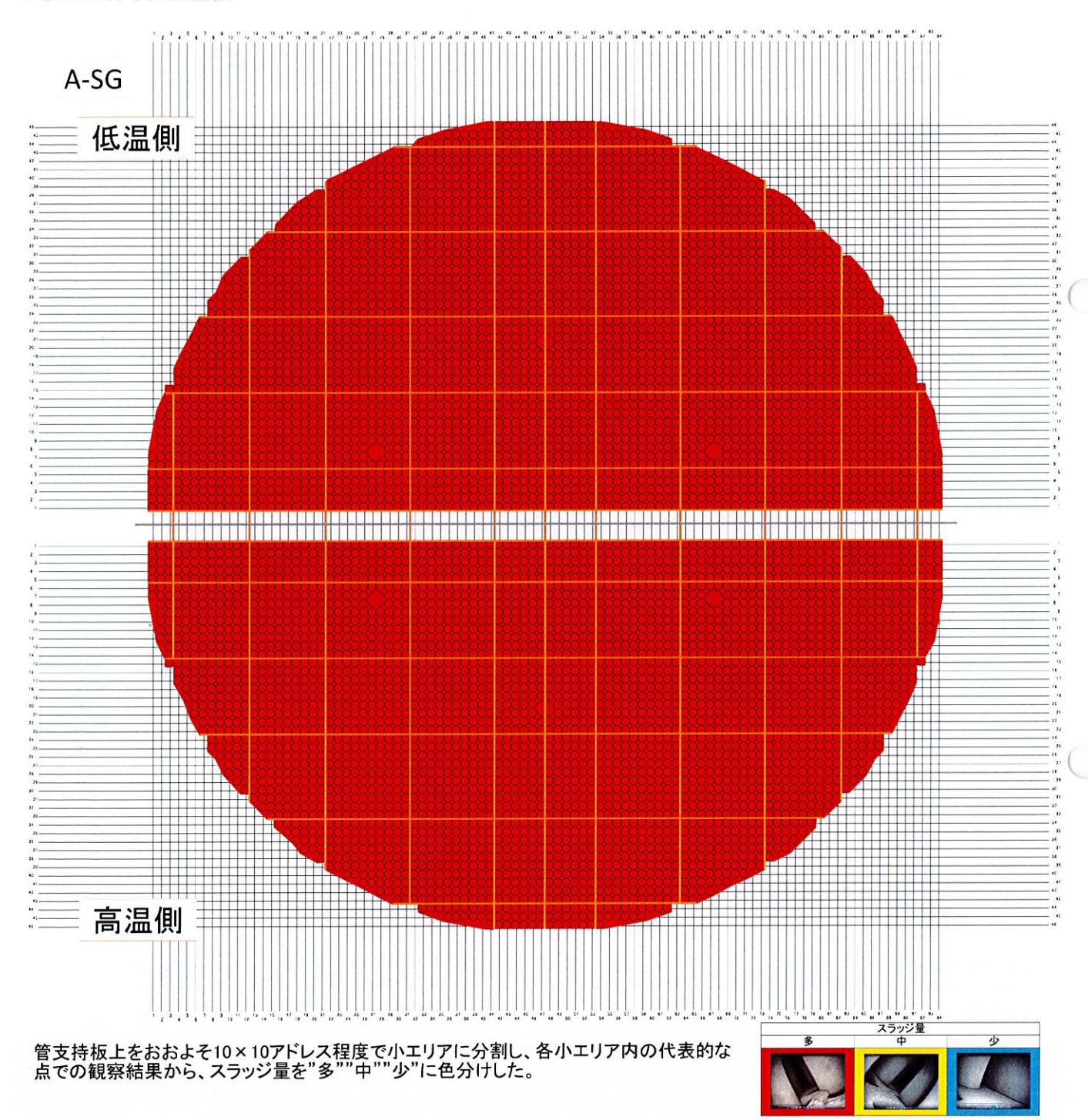
スラッジの分布状況(第二管支持板)



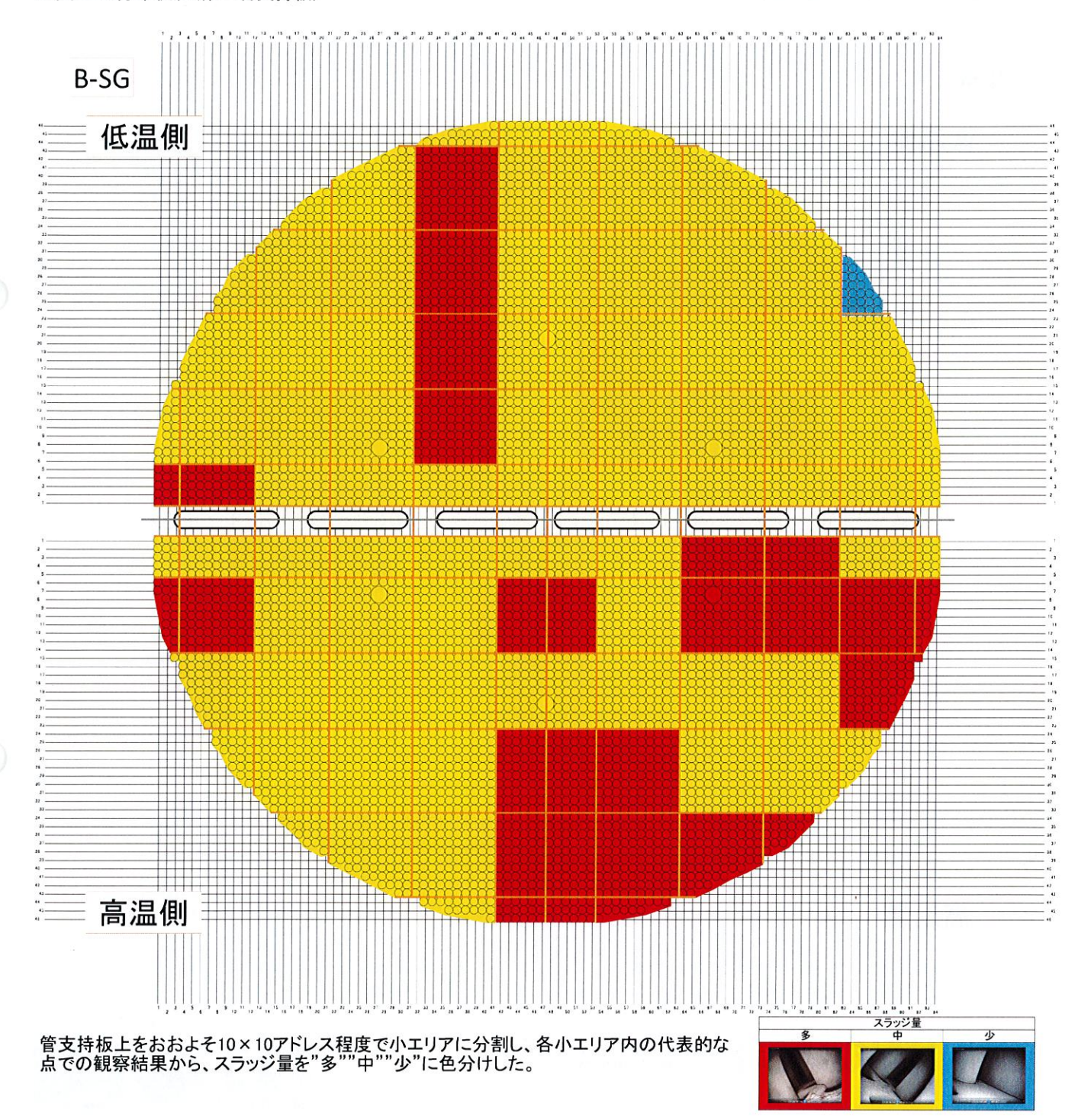
スラッジの分布状況(第一管支持板)



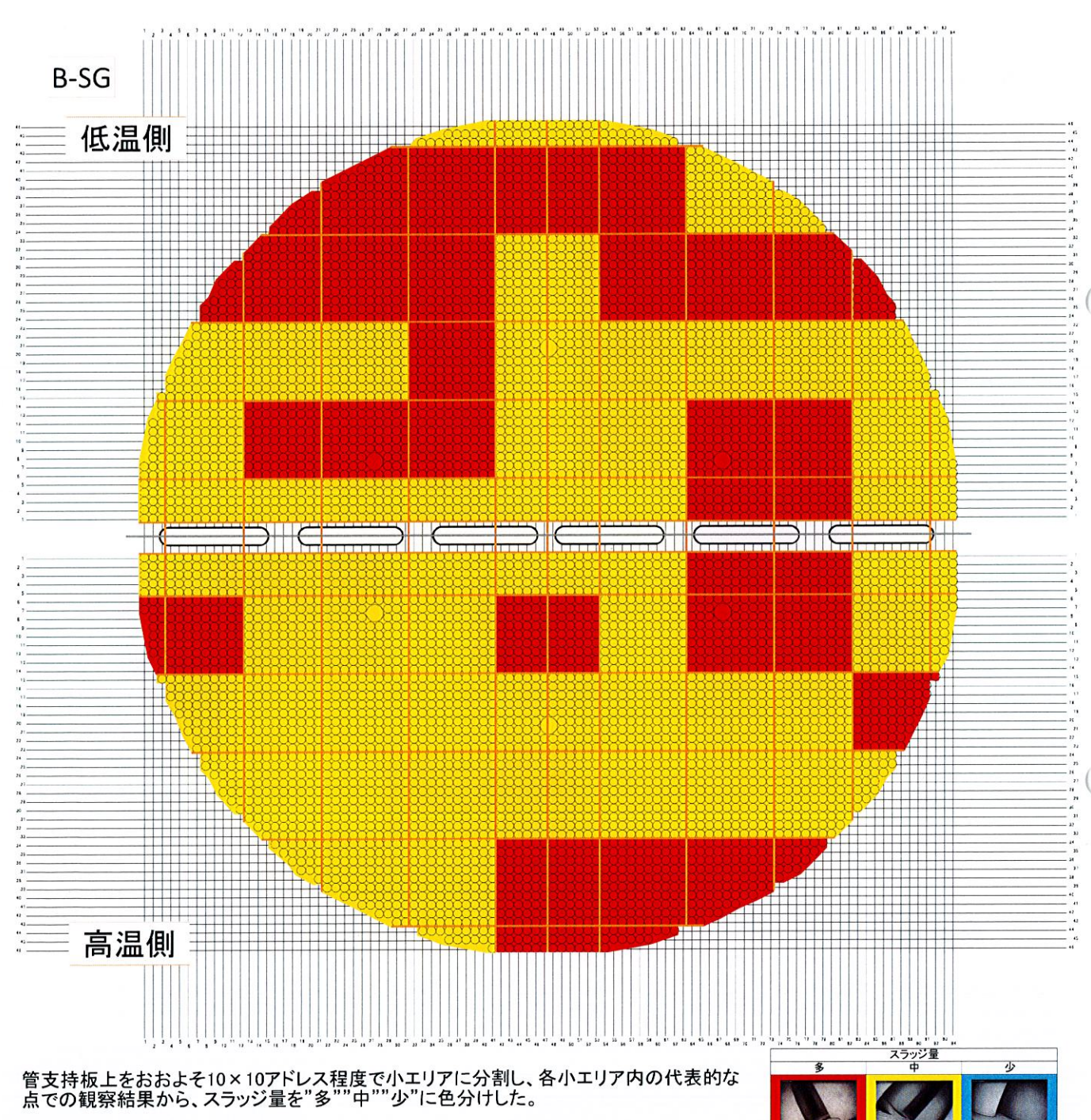
スラッジの分布状況(管板)



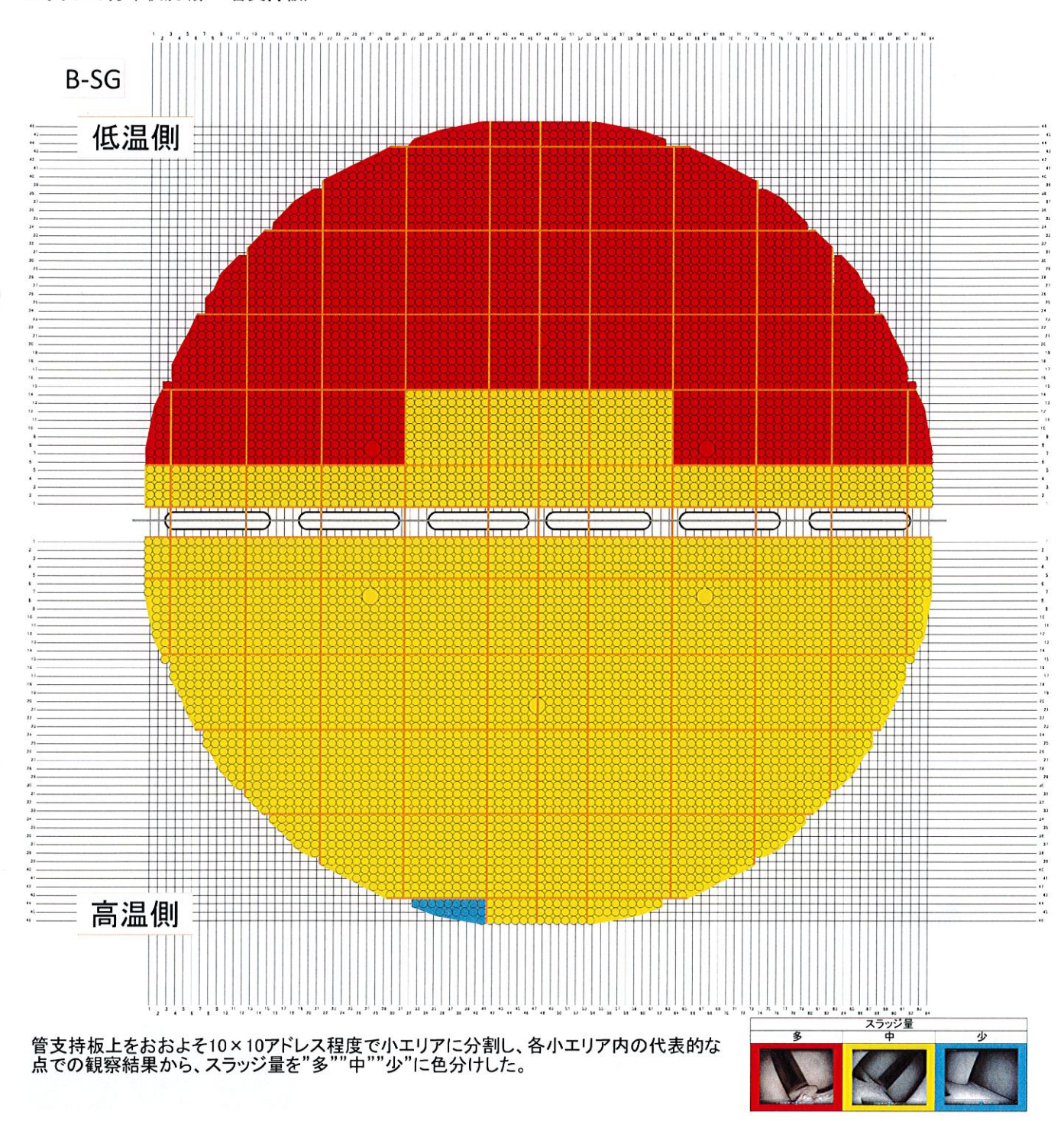
スラッジの分布状況(第三管支持板)



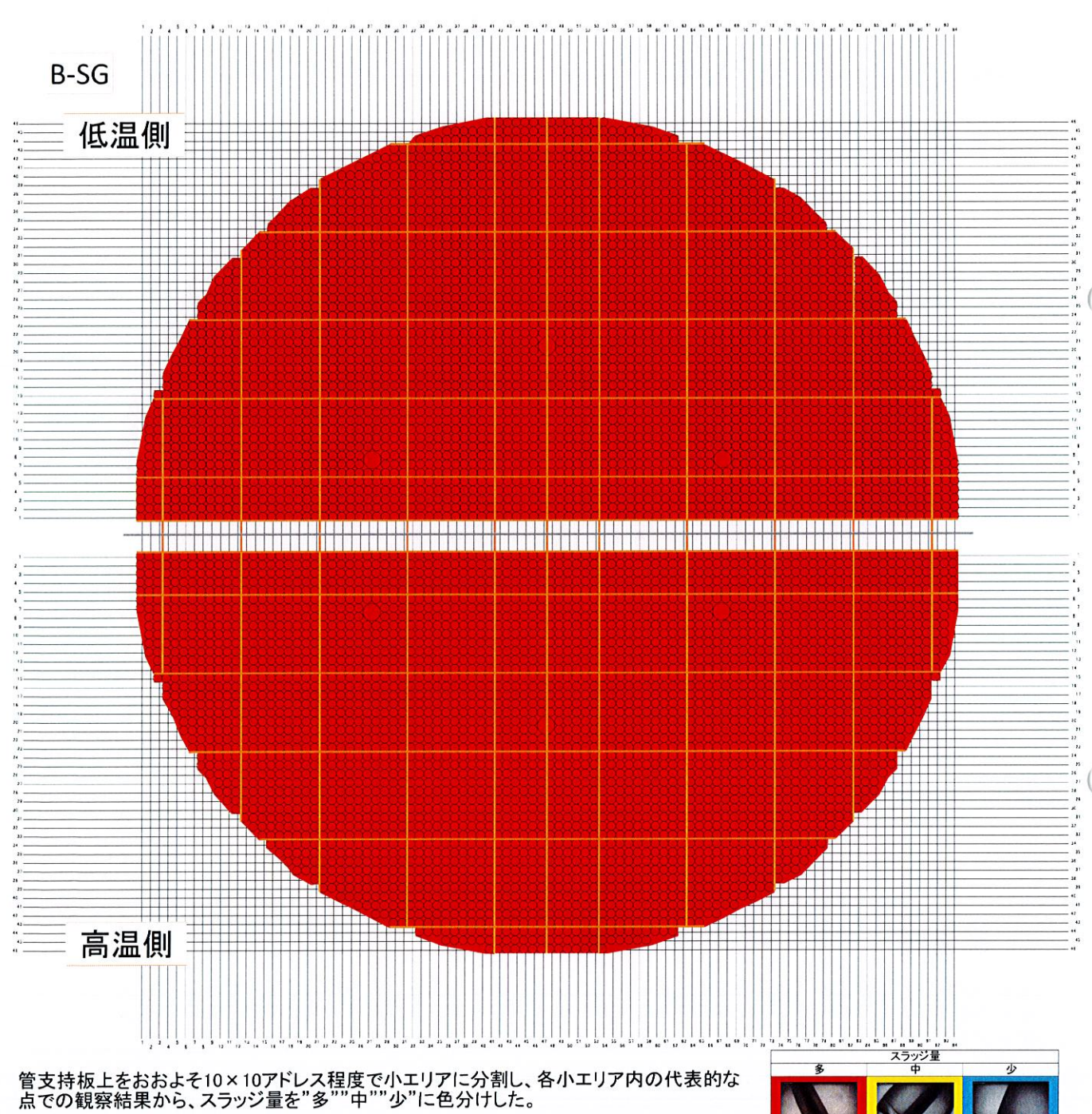
スラッジの分布状況(第二管支持板)



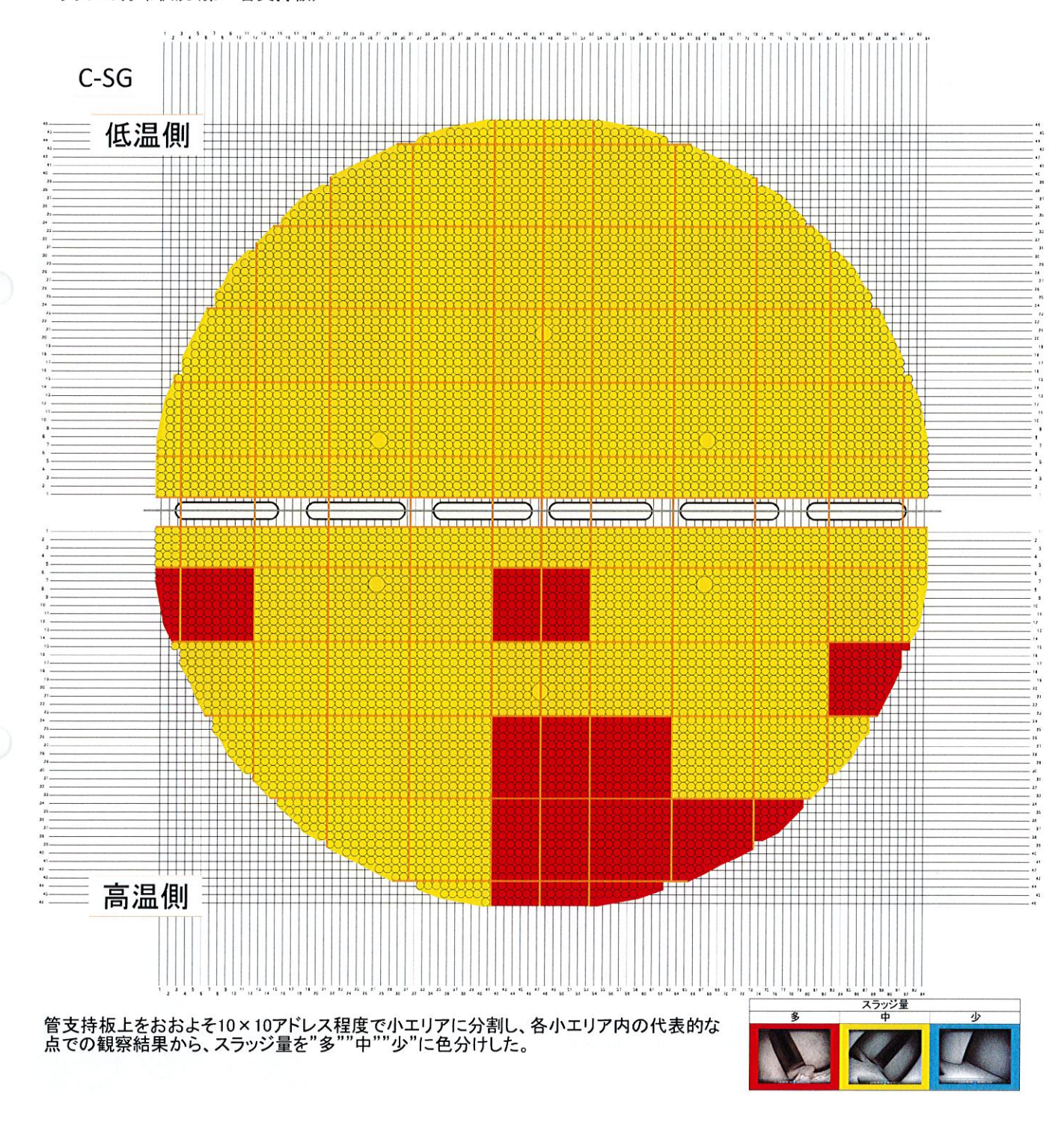
スラッジの分布状況(第一管支持板)



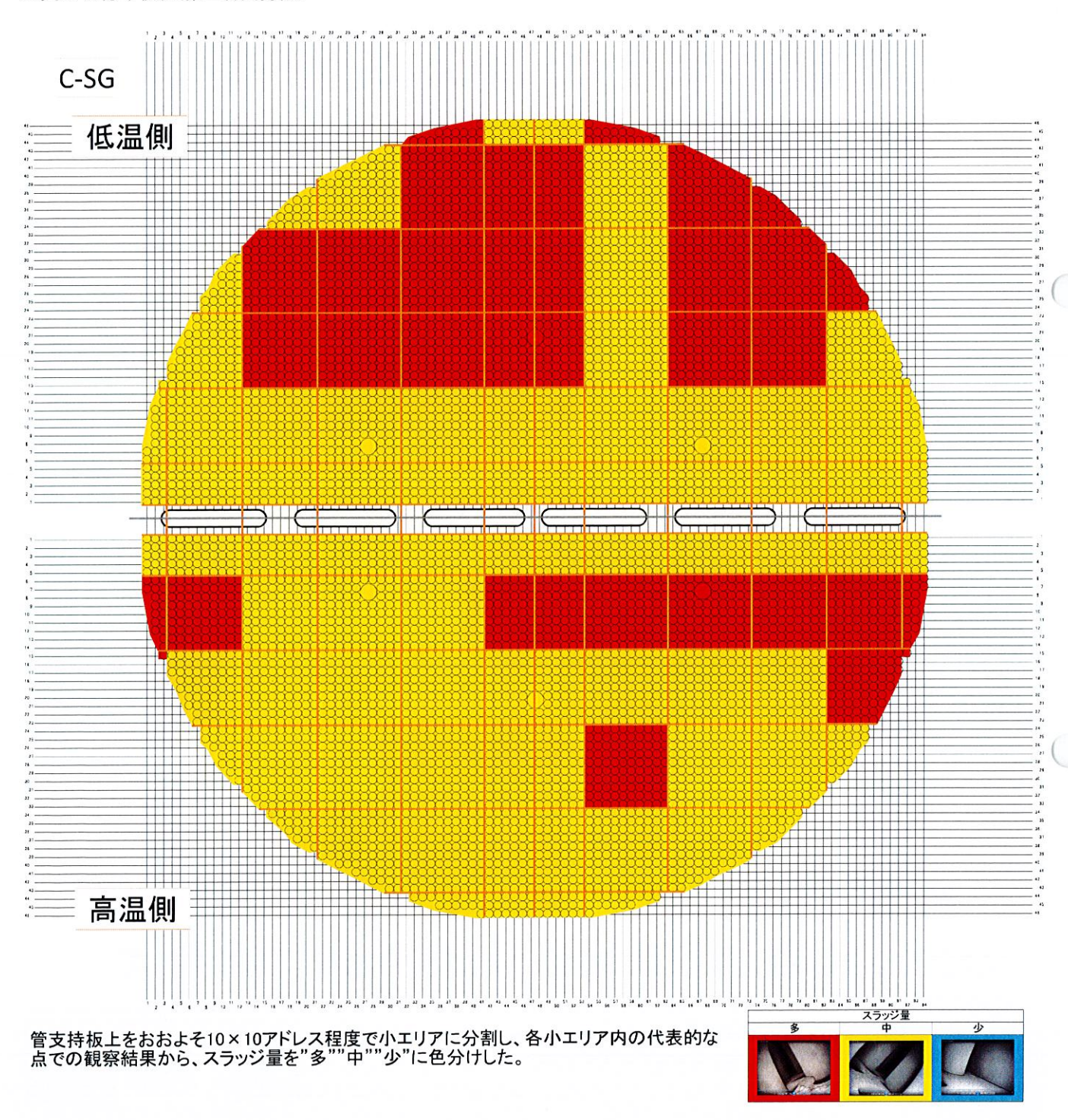
スラッジの分布状況(管板)



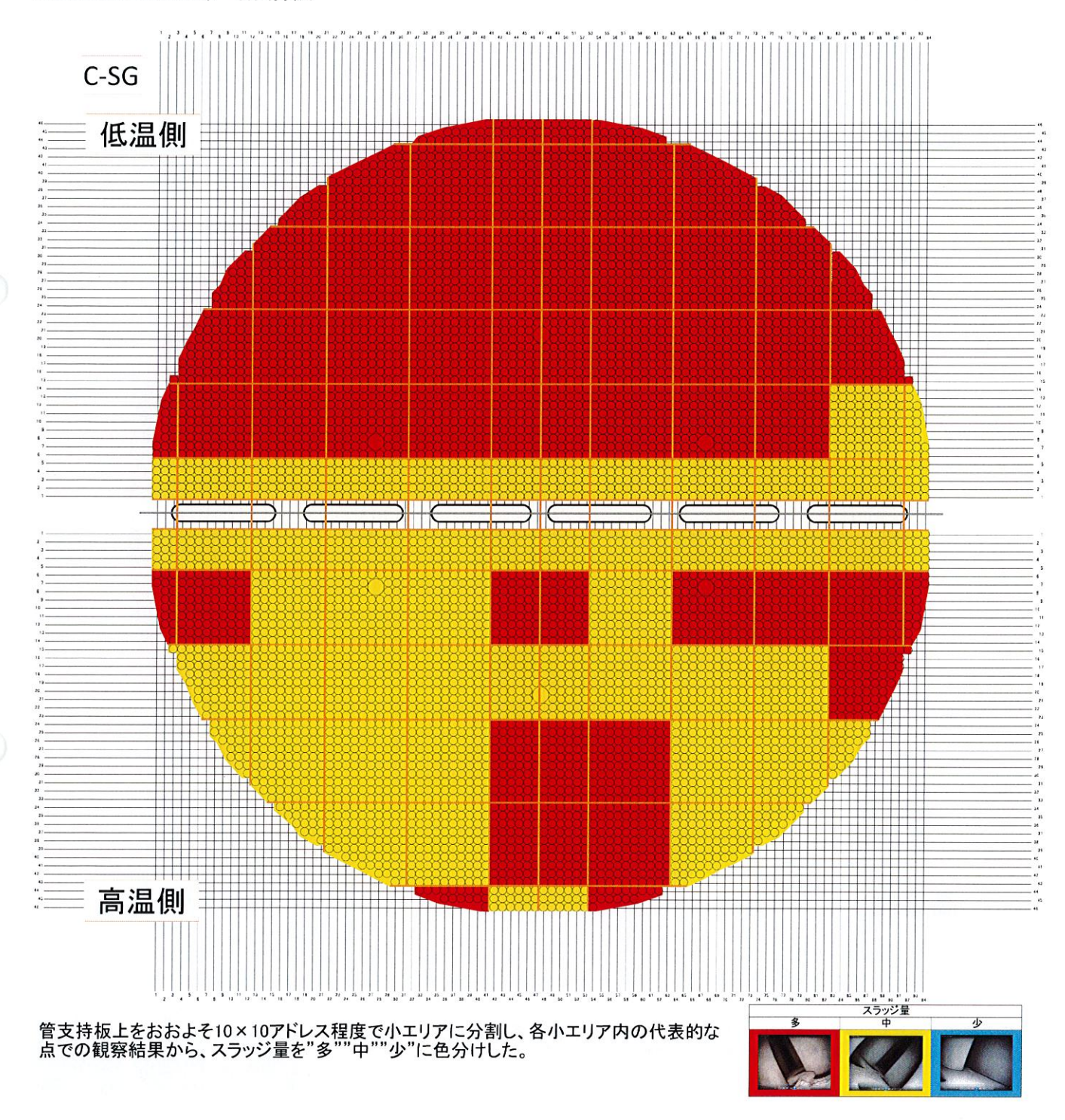
スラッジの分布状況(第三管支持板)



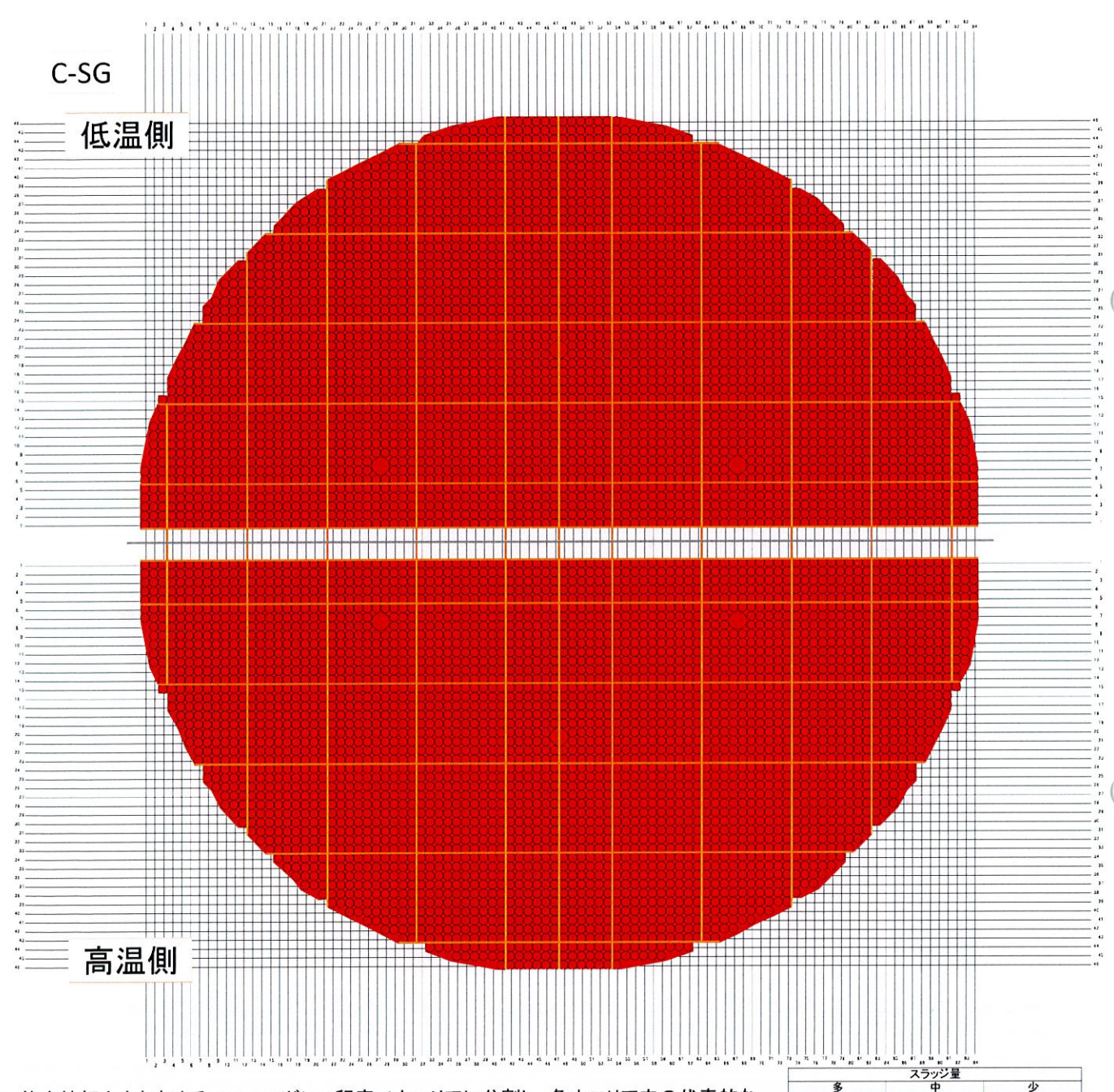
スラッジの分布状況(第二管支持板)



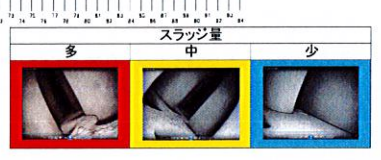
スラッジの分布状況(第一管支持板)



スラッジの分布状況(管板)



管支持板上をおおよそ10×10アドレス程度で小エリアに分割し、各小エリア内の代表的な点での観察結果から、スラッジ量を"多""中""少"に色分けした。

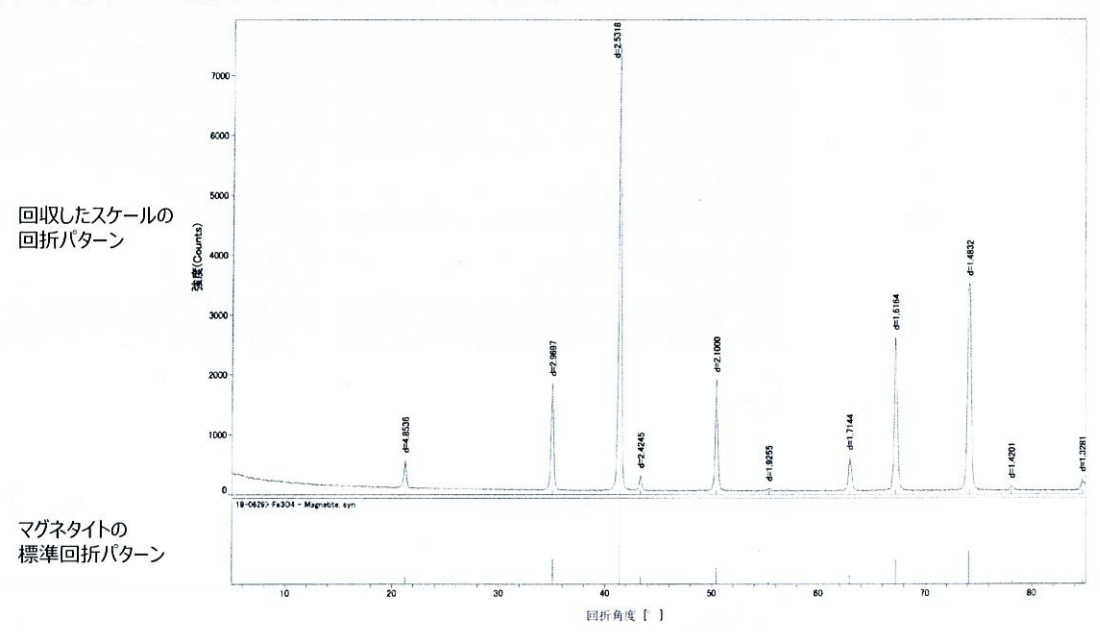


SG器内の伝熱管表面の観察結果

- ➤ S G器内のスケールの残存状況等の調査に合わせ、小型カメラを用いて、A、BおよびC S Gの伝熱管の外観観察を行った結果、全面的にスケールに覆われており、局所的にスケールが剥離した痕跡等が認められた。
- ➤ 伝熱管のこれらの状況については、高温側と低温側(水平方向)、管支持板間(上下方向)において有意な差は認められなかった。

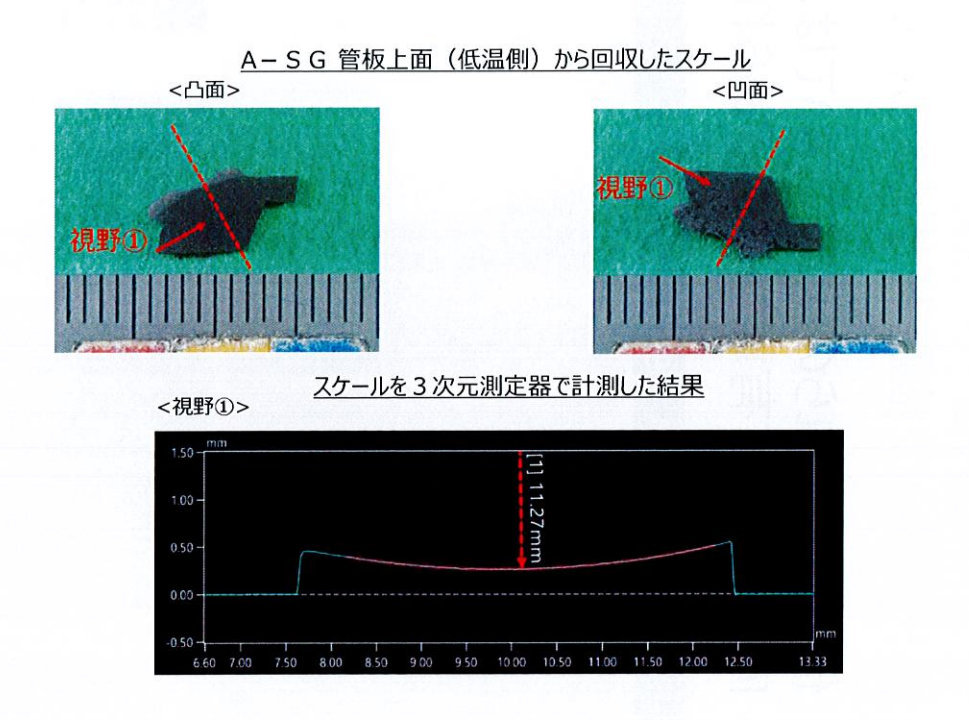
): スケールの剥離痕 A - SGB - SGC-SG 第四管支持板側 第三管支持板側 第二管支持板側 第一管支持板側 三管支持板側 第四管支持板側 第三管支持板側 二管支持板側 添付資料 第三管支持板側 一管支持板側

▶ 回収したスケールについて、X線回折※を用いた表面の化学成分分析を実施した結果、主成分はマグネタイトであり、SG器内で発生するスラッジと同成分であることを確認した。



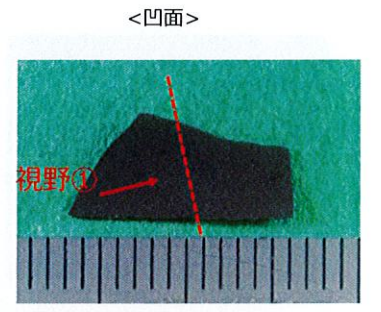
※:対象物にX線を照射し、X線回折パターンを解析することで、構成成分の同定をする分析方法

- ▶ A、BおよびC-SGの管板、第一~第三管支持板上面に残存しているスケールのうち、比較的大きなものを選定し取り出したスケールは、主に多角型、長尺型に分類され、長さが最大のものは、前者が長さ約25mm、幅約13mm、後者が長さ約29mm、幅約6mmであり、これらのスケールは管支持板の流路穴よりも大きく、運転中に管支持板下面に留まる可能性のある形状であった。
- ▶ また、これらのスケールについては、目視確認の結果、やや湾曲した形状をしており、そのうち各SGから取り出した15個のスケールについて3次元測定器により計測した結果、直径約22.3~22.5mmの円筒状に沿った形状であり、伝熱管(円筒)の外径(直径22.2mm)に近いことを確認した。



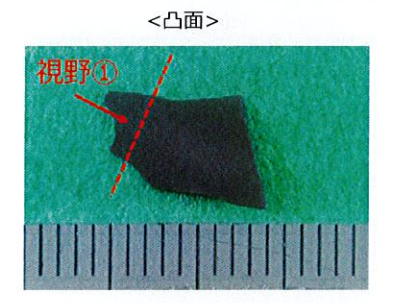
A-SG 管板上面(高温側)から回収したスケール

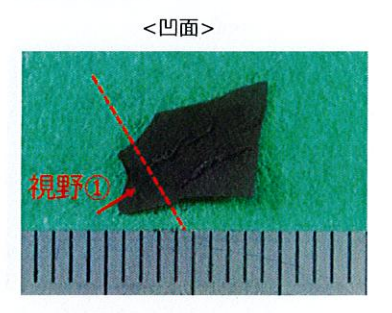
<凸面> 視野①



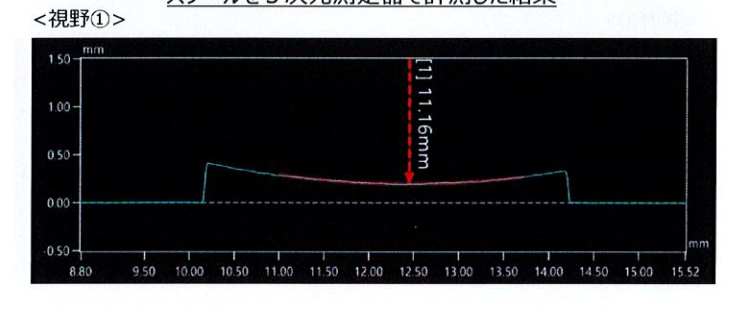
スケールを3次元測定器で計測した結果

A-SG 管板上面(高温側)から回収したスケール

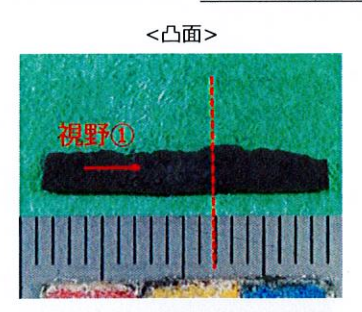


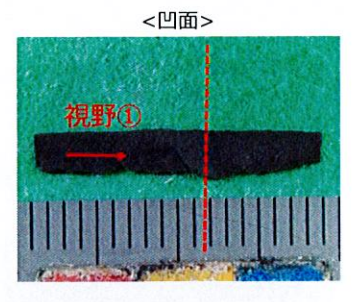


スケールを3次元測定器で計測した結果

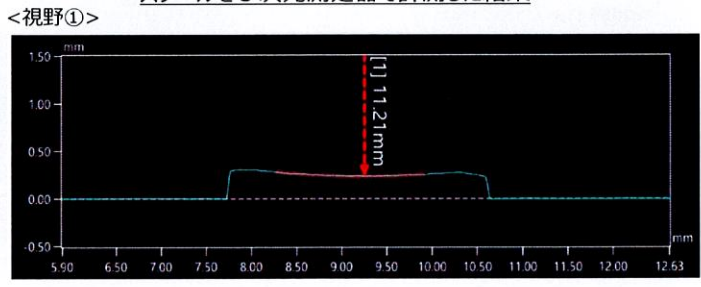


A-SG第一管支持板上面(低温側)から回収したスケール

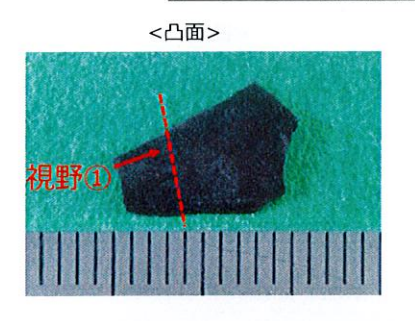




スケールを3次元測定器で計測した結果

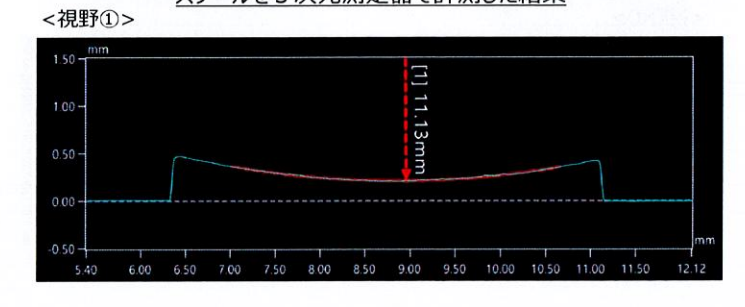


A-SG 第二管支持板上面(高温側)から回収したスケール





スケールを3次元測定器で計測した結果

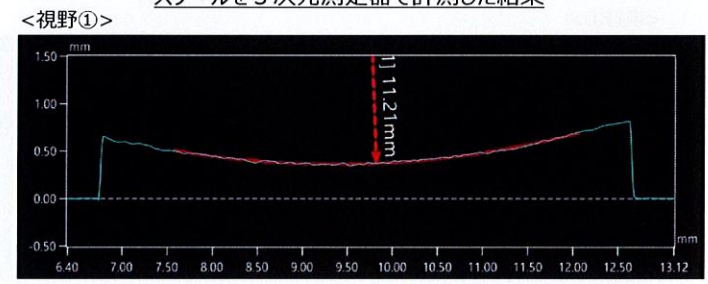


A-SG 第三管支持板上面(低温側)から回収したスケール

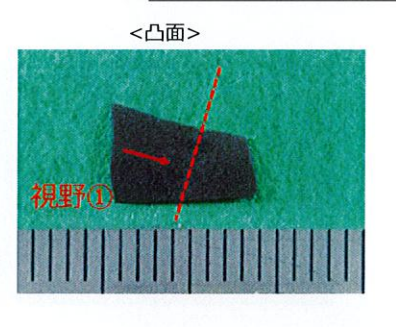


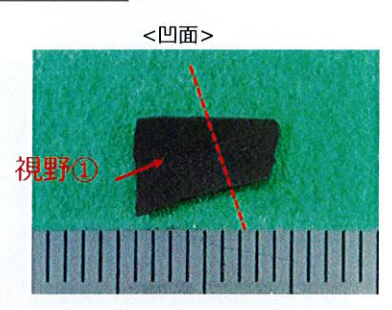


スケールを3次元測定器で計測した結果

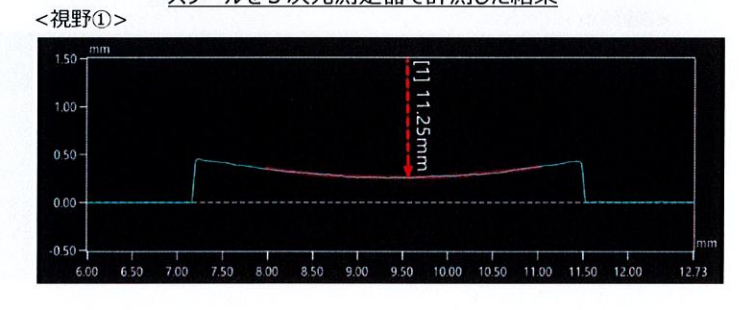


B-SG 管板上面(高温側)から回収したスケール



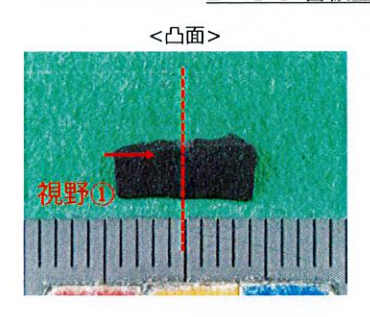


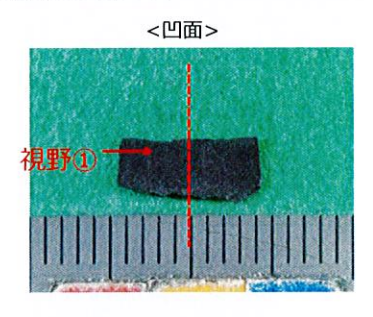
スケールを3次元測定器で計測した結果



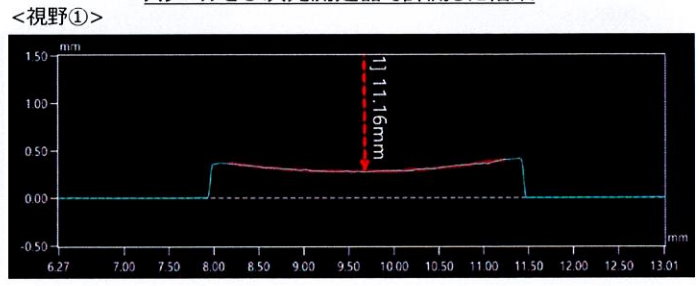
回収したスケールの化学分析および形状確認結果(5/8)

B-SG 管板上面(高温側)から回収したスケール

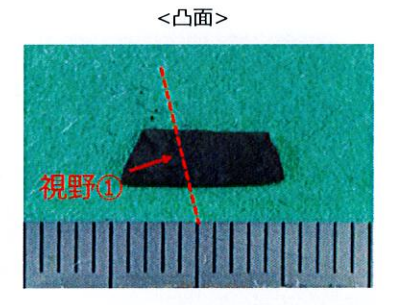


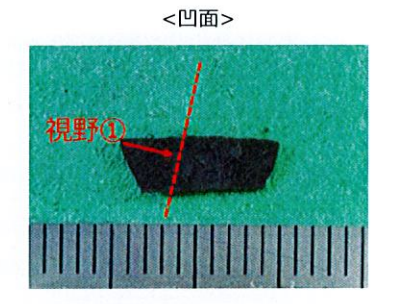


スケールを3次元測定器で計測した結果

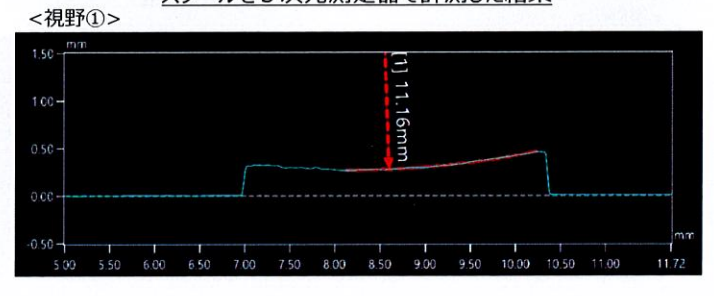


B-SG 第一管支持板上面(高温側)から回収したスケール



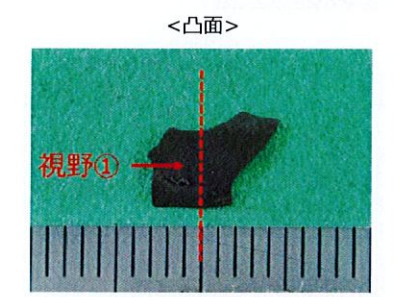


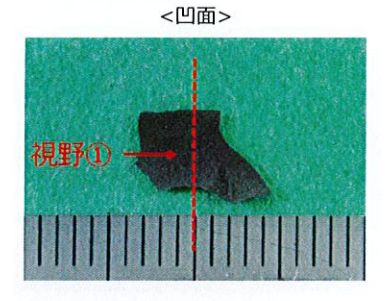
スケールを3次元測定器で計測した結果



回収したスケールの化学分析および形状確認結果(6/8)

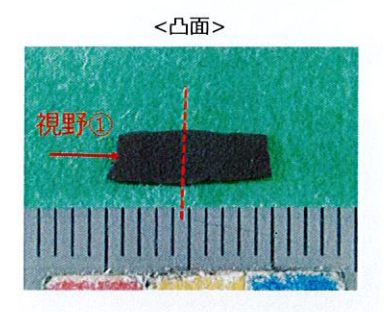
B-SG 第二管支持板上面(低温側)から回収したスケール

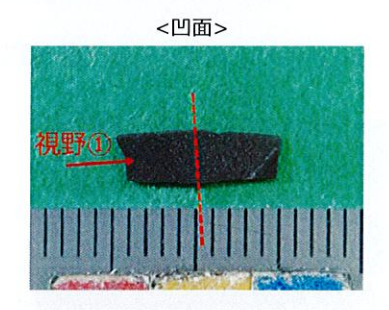




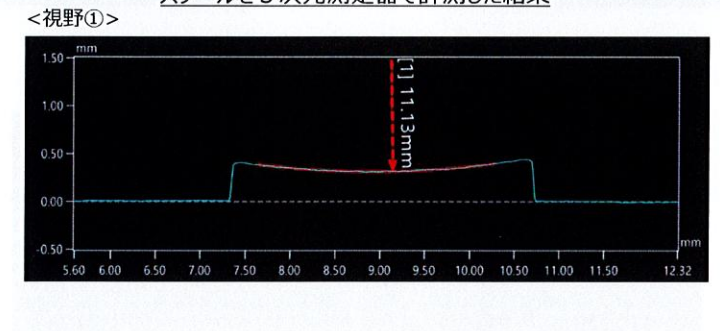
スケールを3次元測定器で計測した結果

B-SG 第三管支持板上面(低温側)から回収したスケール



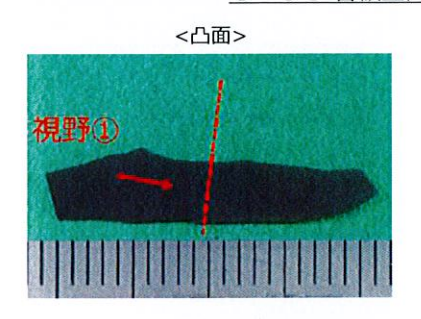


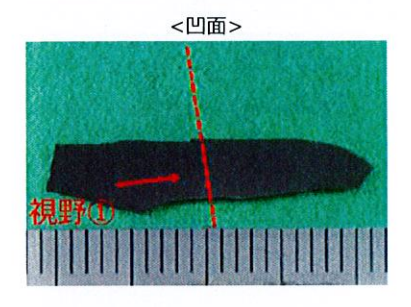
スケールを3次元測定器で計測した結果



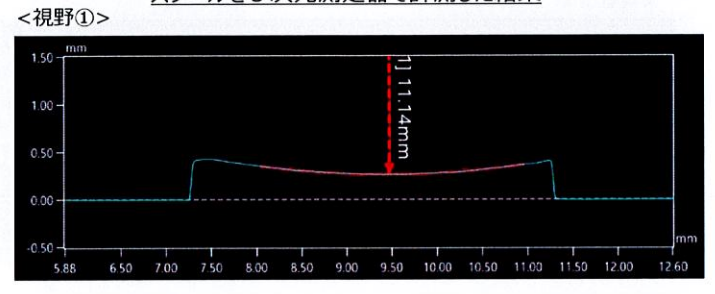
回収したスケールの化学分析および形状確認結果(7/8)

C-SG 管板上面(高温側)から回収したスケール

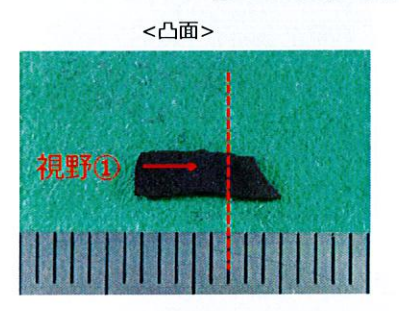


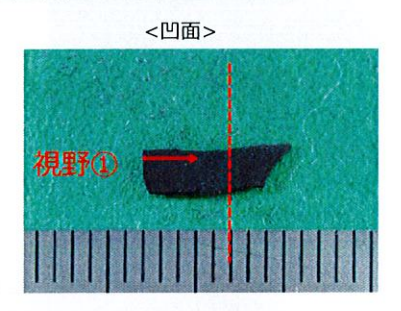


スケールを3次元測定器で計測した結果

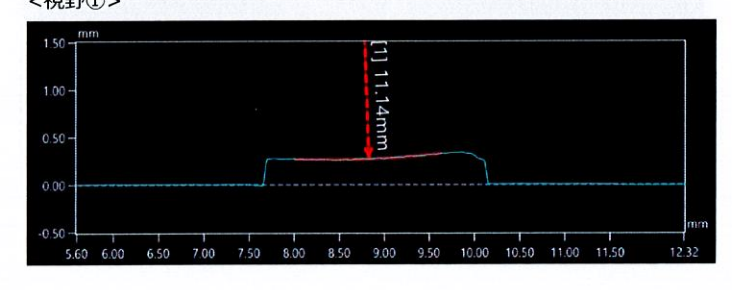


C-SG 第一管支持板上面(高温側)から回収したスケール

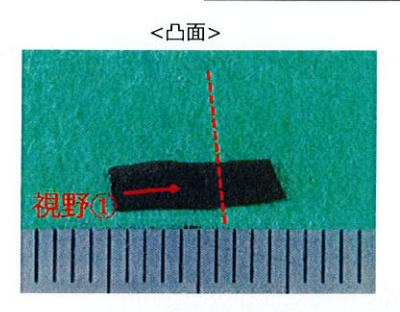


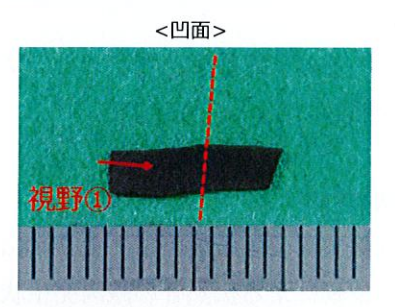


スケールを3次元測定器で計測した結果 <視野①>

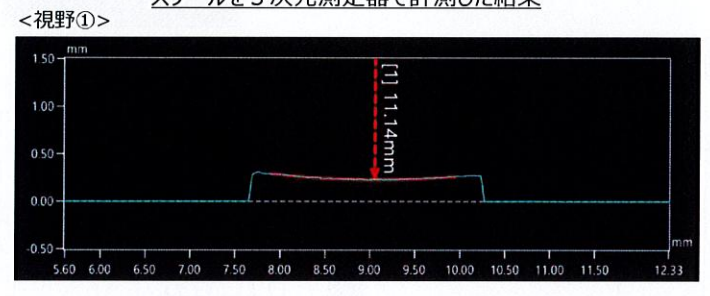


C-SG 第二管支持板上面(低温側)から回収したスケール

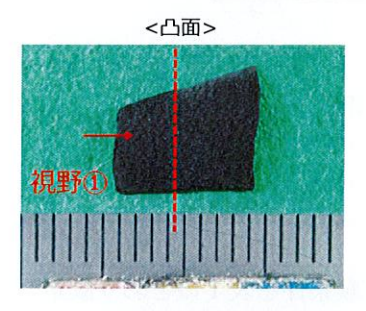


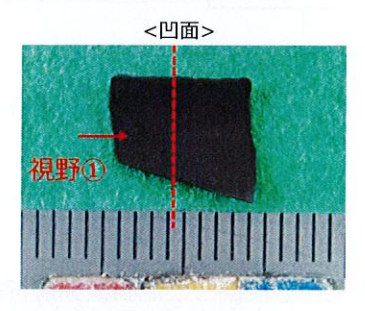


スケールを3次元測定器で計測した結果

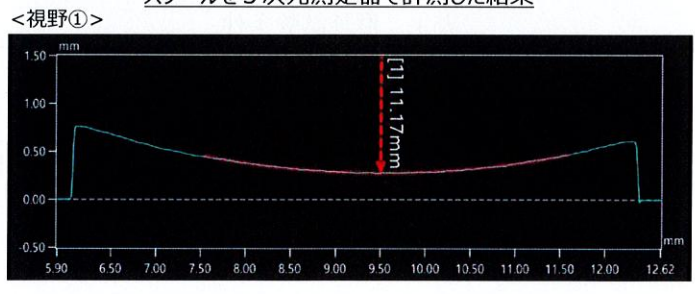


C-SG 第三管支持板上面(低温側)から回収したスケール





スケールを3次元測定器で計測した結果



伝熱管とスケールの摩耗試験方法について

以下のとおり伝熱管とスケールの摩耗試験を実施し、スケールで有意な減肉が生じる可能性を検証した。

1. 試験概要

加振装置(図1参照)により、伝熱管をスケールに接触させた状態で加振し、スケールの摺動による伝熱管の減肉発生状況を確認する。

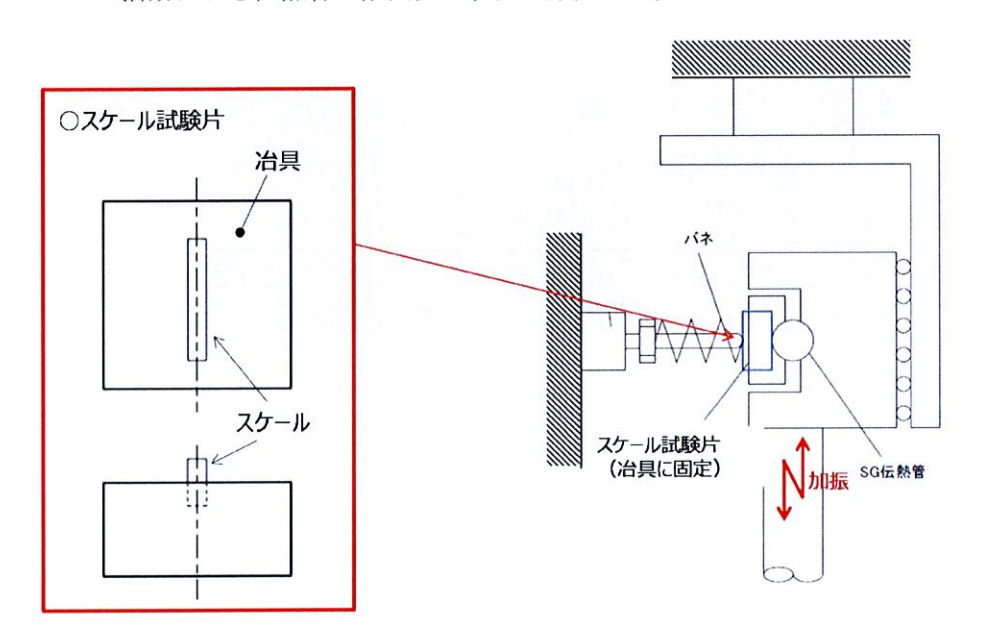


図1 加振装置概念図

2. 試験条件

実機条件を模擬した流動振動解析結果から摩耗試験条件を表1のとおり設定した。

 項目
 条件
 備考

 伝熱管 摺動条件
 押付力
 約1N
 熱流動解析結果より設定

 振動数
 約8Hz
 振動応答解析結果より設定

 振幅
 約0.4mm
 BEC穴ランド部寸法より設定

表1 摩耗試験条件

3. 摩耗試験結果の整理方法

試験後の伝熱管の減肉量とスケールの摩滅量を測定した後、体積比をとって結果を整理した。スケールおよび伝熱管の試験前後の外観を図2および図3に示す。

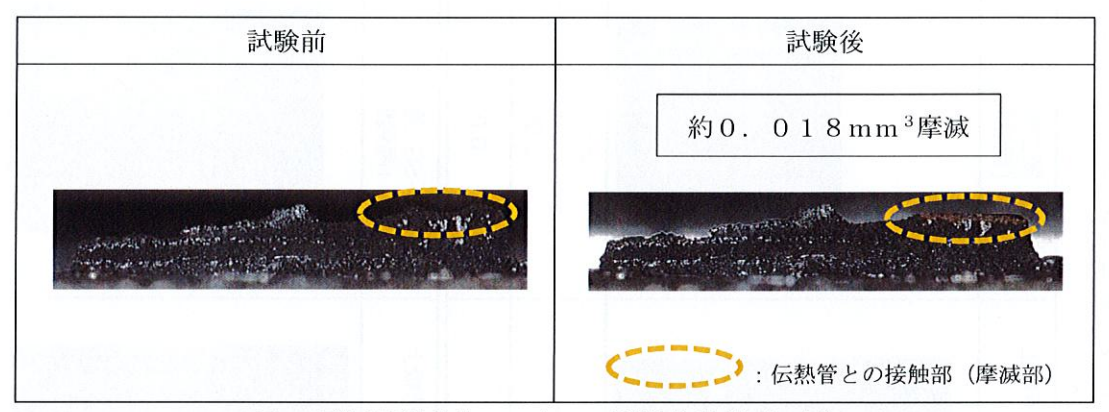


図2 摩耗試験前後のスケール試験片外観 (一例)

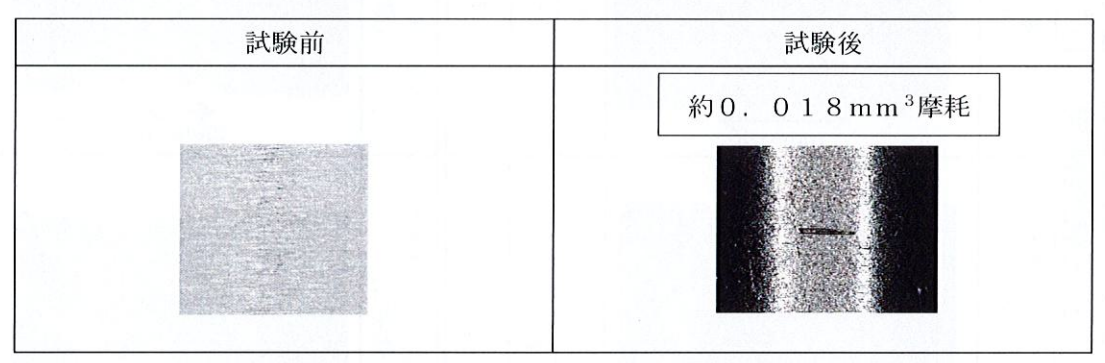


図3 摩耗試験前後の伝熱管試験片外観 (一例)

以 上

回収したスケールの断面観察結果および摩耗試験結果(1/13)

スケール120個を対象に断面観察を行った結果、稠密層(密度の高い酸化鉄の層)厚さが0.1mm以上のスケールを48個確認した。 <断面観察結果(1/12)>

			~ 四 田 既 示 小					
	スケール回収位置	B-SG 第一管支持板上 (高温側)	B-SG 第二管支持板上 (低温側)	B-SG 第二管支持板上 (低温側)	B-SG 第二管支持板上 (低温側)	B-SG 第二管支持板上 (低温側)		
	断面ミクロ画像	接液側 ((((((((接液側	接液側 接液側 伝熱管側	接液側 (大熟管側	接液側		
	スケール厚さ(mm)	約0.2	約0.2	約0.2	約0.1	約0.2		
	稠密層厚さ(mm)	0.08	0.16	0.12	0.08	0.06		
	摩耗体積比 (伝熱管/スケール)	0.0	1.0	0.4	0.0	0.0		
	スケール回収位置	B-SG 第二管支持板上 (低温側)	B-SG 第二管支持板上 (低温側)	C-SG 第一管支持板上 (高温側)	B-SG 管板上 (高温側)	B-SG 管板上 (高温側)		
	断面ミクロ画像	接液側 *** *** *** *** ** ** ** **	接來側 接來側	接液側 ((((((((接液側	接液側 ***		
	スケール厚さ(mm)	約0.2	約0.2	約0.2	約0.2	約0.2		
	稠密層厚さ(mm)	0.08	0.14	0.04	0.10	0.08		
	摩耗体積比 (伝熱管/スケール)	0.0	0.0	0.0	0.0	0.0		
L								

回収したスケールの断面観察結果および摩耗試験結果(2/13)

<断面観察結果(2/12)>

		- 一 一 一 田田の元			
スケール回収位置	B-SG 管板上 (高温側)	C-SG 第二管支持板上 (高温側)	C-SG 第二管支持板上 (低温側)	A-SG 第二管支持板上 (高温側)	C-SG 管板上 (低温側)
断面ミクロ画像	接液側 **	接液側 ***	接液側	接液側 *** *** *** *** *** *** *** *** *** *** *** *** *** *** *** *** *** *** *** *** *** *** *** *** *** *** *** *** *** *** *** *** *** *** *** *** *** *** *** *** *** *** *** *** *** *** *** *** *** *** *** *** *** *** *** *** *** *** *** *** *** *** *** *** *** *** *** *** *** *** *** *** *** *** *** *** *** *** *** *** *** *** *** *** *** *** *** *** *** *** *** *** *** *** *** *** *** *** *** *** *** *** *** *** *** *** *** *** *** *** *** *** *** *** *** *** *** *** *** *** *** *** *** *** *** *** *** *** *** *** *** *** *** *** *** *** *** *** *** *** *** *** *** *** *** *** *** *** *** *** *** *** *** *** *** *** *** *** *** *** *** *** *** *** *** *** *** *** *** *** *** *** *** *** *** *** *** *** *** *** *** *** *** *** *** *** *** *** *** *** *** *** *** *** *** *** *** *** *** *** *** *** *** *** *** *** *** *** *** *** *** *** *** *** *** *** *** *** *** *** *** *** *** *** *** *** *** *** *** *** *** *** *** *** *** *** *** *** *** *** *** *** *** *** *** *** *** *** *** *** *** *** *** *** *** *** *** *** *** *** *** *** *** *** *** *** *** *** *** *** *** *** *** *** *** *** *** *** *** *** *** *** *** *** *** *** *** *** *** *** *** **	接液側 ((((((((
スケール厚さ(mm)	約0.2	約0.2	約0.2	約0.2	約0.2
稠密層厚さ(mm)	0.04	0.08	0.10	0.06	0.08
摩耗体積比 (伝熱管/スケール)	0.0	0.0	0.0	0.0	0.0

スケール回収位置	B-SG 第二管支持板上 (低温側)			C-SG 第二管支持板上 (高温側)	C-SG 第二管支持板上 (低温側)
断面ミクロ画像	接液側 伝熱管側	接液側 伝熱管側	接液側 企	接液側 接液側 左熱管側	接液側
スケール厚さ (mm)	約0.2	約0.2	約0.2	約0.2	約0.2
稠密層厚さ(mm)	0.12	0.12	0.06	0.04	0.08
摩耗体積比 (伝熱管/スケール)	0.0	0.0	0.0	0.0	0.0

-131

添付資料―21(2/13)

回収したスケールの断面観察結果および摩耗試験結果(3/13)

<断面観察結果(3/12)>

			200 ACC 200 / 200 ACC						
	スケール回収位置	A-SG 管板上 (高温側)	A-SG 管板上 (高温側)	A-SG 管板上 (高温側)	A-SG 管板上 (高温側)	C-SG 管板上 (低温側)			
	断面ミクロ画像	接液側。	接液側 接液側 伝熱管側	接液側	接液側	接液側 (本) (本) (本) (本) (本)			
	スケール厚さ(mm)	約0.2	約0.2	約0.2	約0.2	約0.2			
ı	稠密層厚さ(mm)	0.08	0.08	0.08	0.10	0.10			
133	摩耗体積比 (伝熱管/スケール)	0.0	0.0	0.0	0.0	0.0			

スケール回収位置	C-SG 管板上 (低温側)	C-SG 管板上 (高温側)	C-SG 管板上 (高温側)	C-SG 管板上 (高温側)	C-SG 管板上 (高温側)
断面ミクロ画像	接液側 (接液側 接液側 伝熱管側	接液側	接液側。 (伝熱管側	接液側
スケール厚さ(mm)	約0.2	約0.2	約0.2	約0.2	約0.2
稠密層厚さ(mm)	0.10	0.06	0.10	0.10	0.12
摩耗体積比 (伝熱管/スケール)	0.0	0.0	0.0	0.0	0.8

回収したスケールの断面観察結果および摩耗試験結果(4/13)

	C-SG 第二管支持板上 (高温側)	# W W W W W W W W W W W W W W W W W W W	%30.3	0.12	0.4	A-SG 第三管支持板上 (低温側)	mm⁴1.0 →	(以)	0.14	6:0
	B-SG 管板上 (高温側)	mm01.0 (被)	約0.3	0.10	0.4	A-SG 第二管支持板上 (高温側)	mm ^{01.0}	※10.2	0.10	0.0
<断面観察結果(4/12)>	B-SG 管板上 (高温側)	mm90.0	約0.3	90.0	0.0	C-SG 管板上 (低温側)	mmS1.0	約0.2	0.12	0.0
<断面観察	B-SG 管板上 (高温側)	接液侧	約0.3	0.00	0.0	C-SG 管板上 (低温側)	0.0.0 (新面)	約0.2	0.02	0.0
	B-SG 管板上 (高温側)	0,08mm ★	約0.3	0.08	0.0	A-SG 管板上 (低温側)	mm+I.0 描	約0.2	0.14	2.0
	スケール回収位置	断面ミクロ画像	スケール厚さ(mm)	稠密層厚さ(mm)	摩耗体積比 (伝熱管/スケール)	スケール回収位置	断面三クロ画像	スケール厚さ(mm)	稠密層厚さ(mm)	摩耗体積比 (伝熱管/スケール)

回収したスケールの断面観察結果および摩耗試験結果(5/13)

<断面観察結果(5/12)>

			~	給来(5/12) <i>></i>		
	スケール回収位置	A-SG 第三管支持板上 (低温側)	A-SG 第三管支持板上 (低温側)	C-SG 第三管支持板上 (低温側)	A-SG 第二管支持板上 (高温側)	A-SG 第三管支持板上 (低温側)
	断面ミクロ画像	接液側	接液側。 接液側。 伝熱管側	接液側 伝熱管側	接液側 (左熱管側	接液側 Example Example Example Example Example Example
	スケール厚さ(mm)	約0.3	約0.2	約0.2	約0.3	約0.3
<u> </u>	稠密層厚さ(mm)	0.00	0.04	0.10	0.08	0.14
3	摩耗体積比 (伝熱管/スケール)	0.0	0.0	0.0	0.0	0.0
	スケール回収位置	B-SG 第二管支持板上 (低温側)	B-SG 第三管支持板上 (低温側)	A-SG 第一管支持板上 (低温側)	A-SG 第一管支持板上 (低温側)	A-SG 第一管支持板上 (低温側)
	断面ミクロ画像	接液側。 全 伝熱管側	6.12mm ← → ← ☆ ☆ ☆ ☆ ☆ ☆ ☆ ☆ ☆ ☆	接液側 (伝熱管側	接液側	接液側:
	スケール厚さ(mm)	約0.2	約0.3	約0.2	約0.2	約0.3
	稠密層厚さ(mm)	0.10	0.12	0.06	0.06	0.08
	摩耗体積比 (伝熱管/スケール)	0.0	0.0	0.0	0.0	0.0

(付資料 - 21 (5/

回収したスケールの断面観察結果および摩耗試験結果(6/13)

<断面観察結果(6/12)>	B-SG 管板上 (高温側)	mm50.0	2003	0.02	ı	A-SG 管板上 (低温側)	6.08mm 表液側 压熱管侧	の以	2.00	0000
	B-SG 管板上 (高温側)	mm80.0	約0.3	0.08	1	C-SG 第二管支持板上 (高温側)	mm80.0 一 一 一 一 一 一 一 一 一 一 一 一 一	200%	51.05 10.08	2
	C-SG第一管支持板上 (高温側)	mm20.0 ◆	約0.3	0.02	1	B-SG 管板上 (高温側)	mm≤0.0 →	次款官則 約0.3	0.02	t
	B-SG 第一管支持板上 (高温側)	0.10mm *	約0.3	0.10	ı	B-SG 管板上 (高温側)	0.08mm 数 在 放 后 包	約0.2	0.08	T
	A-SG 第二管支持板上 (高温側)	0.08mm ○.0	約0.2	0.08	F	B-SG 管板上 (高温側)	mm≯0.0 ◆ → → → → → → → → → → → → → → → → → → →	約90.2	0.04	
	スケール回収位置	断面ミクロ画像	スケール厚さ(mm)	稠密層厚さ(mm)	摩耗体積比 (伝熱管/スケール)	スケール回収位置	断面三クロ画像	スケール厚さ(mm)	稠密層厚さ(mm)	摩耗体積比 (伝熱管/スケール)

回収したスケールの断面観察結果および摩耗試験結果(7/13)

〈断面観察結果 (7/12) >

A-SG 第二管支持板上 (高温側) A-SG 管板上 (高温側)	接夜側 無極	約0.2	0.08 0.08	ì	A-SG 管板上 A-SG 管板上 (高温側)	#	約0.2	0.10 0.12	1
2 /0	接液側 mm+1.0	約0.2	0.08	ì	4	(元教管側 ← → mm80.0	約0.2	0.12	ı
A-SG 管板上 (高温側)	接液側伝熱管側	約0.2	0.14	1	A-SG 管板上 (高温側)	接液側、伝熱管側	約0.2	0.08	Į
A-SG管板上 (高温側)	mm+0.0 ◆→ (伝教育画	約0.2	0.04	1	A-SG 管板上 (高温側)	mm80.0 ************************************	約0.2	0.08	ľ
A-SG管板上 (高温側)	mm80.0 (安)	約0.2	0.08	1	A-SG 管板上 (低温側)	mmS0.0 接液圖	約0.2	0.02	I

回収したスケールの断面観察結果および摩耗試験結果(8/13)

<断面観察結果(8/12)>

_				ルロ 木(0/12) /				
	スケール回収位置	A-SG 管板上 (低温側)	B-SG 第二管支持板上 (低温側)	C-SG 第二管支持板上 (高温側)	C-SG 第二管支持板上 (高温側)	C-SG 第二管支持板上 (高温側)		
	断面ミクロ画像 Wm80.0 ← 伝熱管側		接液側 Windows Windows Windows Windows Windows Windows Windows Windows Windows Windows Windows	接液側 接液側 接液側	接液側 **	接液側		
L	スケール厚さ(mm)	約0.2	約0.2	約0.2	約0.2	約0.2		
1	稠密層厚さ(mm)	0.08	0.06	0.10	0.10	0.08		
1	摩耗体積比 (伝熱管/スケール)				_	-1		
	スケール回収位置	A-SG 管板上 (高温側)	A-SG 管板上 (低温側)	C-SG 管板上 (低温側)	C-SG 管板上 (低温側)	C-SG 管板上 (低温側)		
	勝面ミクロ画像 接液側 伝熱管側		接液側 接液側 伝熱管側	接液側	接液側	接液側 ***********************************		
L	スケール厚さ(mm)	約0.2	約0.2	約0.2	約0.2	約0.2		
	稠密層厚さ(mm)	0.10	0.10	0.06	0.08	0.08		
	摩耗体積比 (伝熱管/スケール)				MEL 20 :	. =		

付資料-21(8/13

回収したスケールの断面観察結果および摩耗試験結果(9/13)

					1				GUDD.	- 1	1
C-SG管板上 (低温側)	0.08mm (在教育画	約0.2	0.08	I		C-SG 第二管支持板上 (高温側)	(元)	約0.2	0.10	I	
C-SG 管板上 (低温側)	0.02mm 0.00€ (伝教管)	約0.2	0.02	I		C-SG 第二管支持板上 (高温側)	mm90.0 参源 应热管侧	約0.2	90.0	1	
C-SG 管板上 (低温側)	0.02 接液侧 后熟管侧	約0.2	0.02	ı		C-SG 管板上 (低温側)	順曼举3 1000 1000 1000 1000 1000 1000 1000 10	約0.2	0.08	1	
C-SG 管板上 (低温側)	0.08mm ● (伝熱管側	約0.2	0.08	Ī		C-SG 管板上 (低温側)	順量漢字	約0.2	90.0	1	(
C-SG管板上 (低温側)	接液側 伝熱管側	約0.2	0.00	1		C-SG 第二管支持板上 (高温側)	是 ○ ○ ○ ○ ○ ○ ○ ○ ○ ○ ○ ○ ○ ○ ○ ○ ○ ○ ○	約0.2	0.08	1	
スケール回収位置	断面ミクロ画像	スケール厚さ(mm)	稠密層厚さ(mm)	摩耗体積比 (伝熱管/スケール)		スケール回収位置	断面ミクロ画像	スケール厚さ(mm)	稠密層厚さ(mm)	摩耗体積比 (伝熱管/スケール)	

回収したスケールの断面観察結果および摩耗試験結果(10/13)

/ 熊田 (10/10) /

				-13	 9 —	L					
	スケール回収位置	断面ミクロ画像	スケール厚さ(mm)	稠密層厚さ(mm)	摩耗体積比 (伝熱管/スケール)		スケール回収位置	断面ミクロ画像	スケール厚さ(mm)	稠密層厚さ(mm)	摩耗体積比 (伝熱管/スケール)
	C-SG 管板上 (低温側)	6.08mm 在發層側	約0.2	0.08	î.		C-SG 管板上 (低温側)	mm C _{0.0}		0.02	II.
<断面観察結果	C-SG 管板上 (低温側)	(接) (約0.2	0.08	E		A-SG 第三管支持板上 (低温側)	接夜側	約0.2	0.00	E
活果(10/12)>	C-SG 第二管支持板上 (高温側)	(左) 10 mm	約0.2	0,10	ř		A-SG 第三管支持板上 (低温側)	(A) To mun	約0.2	0.10	ī
	C-SG 管板上 (低温側)	mm80.0 恢	約0.2	0.08	I		A-SG 第三管支持板上 (低温側)	(元 → Day →	約0.2	0.10	Į.
	C-SG 管板上 (低温側)	0.06mm (元款管制 約70.2					A-SG 第三管支持板上 (低温側)	6,08mm 后热管侧	4勺0.2	0.08	Ĭ

回収したスケールの断面観察結果および摩耗試験結果(11/13)

^
/12)
(11)
〈断面観察結果

A-SG管板上 (高温側)	mmS1.0 一 一 一 一 一 一 一 一 一 一 一 一 一	約0.2	0.12	1	A-SG 管板上 (高温側)	(1.10mm) (五.10mm) (五.10mm)	約0.2	0.10	I
A-SG管板上 (高温側)	0.08mm 接液刨 瓦赖管刨	約0.2	0.08	Ī	A-SG 管板上 (低温側)	# # # # # # # # # # # # # # # # # # #	約0.2	0.04	1
A-SG管板上 (高温側)	A K A M M M M M M M M M M M M M M M M M	約0.2	0.12	Ţ	A-SG 管板上 (高温側)	mm01.0 (五)	約0.2	0.10	ı
C-SG管板上 (低温側)	0.06mm (市 (市 (市 (市)	約0.2	90.0	I	A-SG 管板上 (低温側)	mm01.0 ** (石穀管團	約0.2	0.10	1
A-SG 第三管支持板上 (低温側)	(1.10mm) (1.10mm) (1.10mm) (1.10mm)	約0.2	0.10	1	A-SG管板上 (低温側)	(Sylen)	約0.2	0.10	-
スケール回収位置	断面ミクロ画像	スケール厚さ(mm)	稠密層厚さ(mm)	摩耗体積比 (伝熱管/スケール)	スケール回収位置	断面三クロ画像	スケール厚さ(mm)	稠密層厚さ(mm)	摩耗体積比 (伝熱管/スケール)

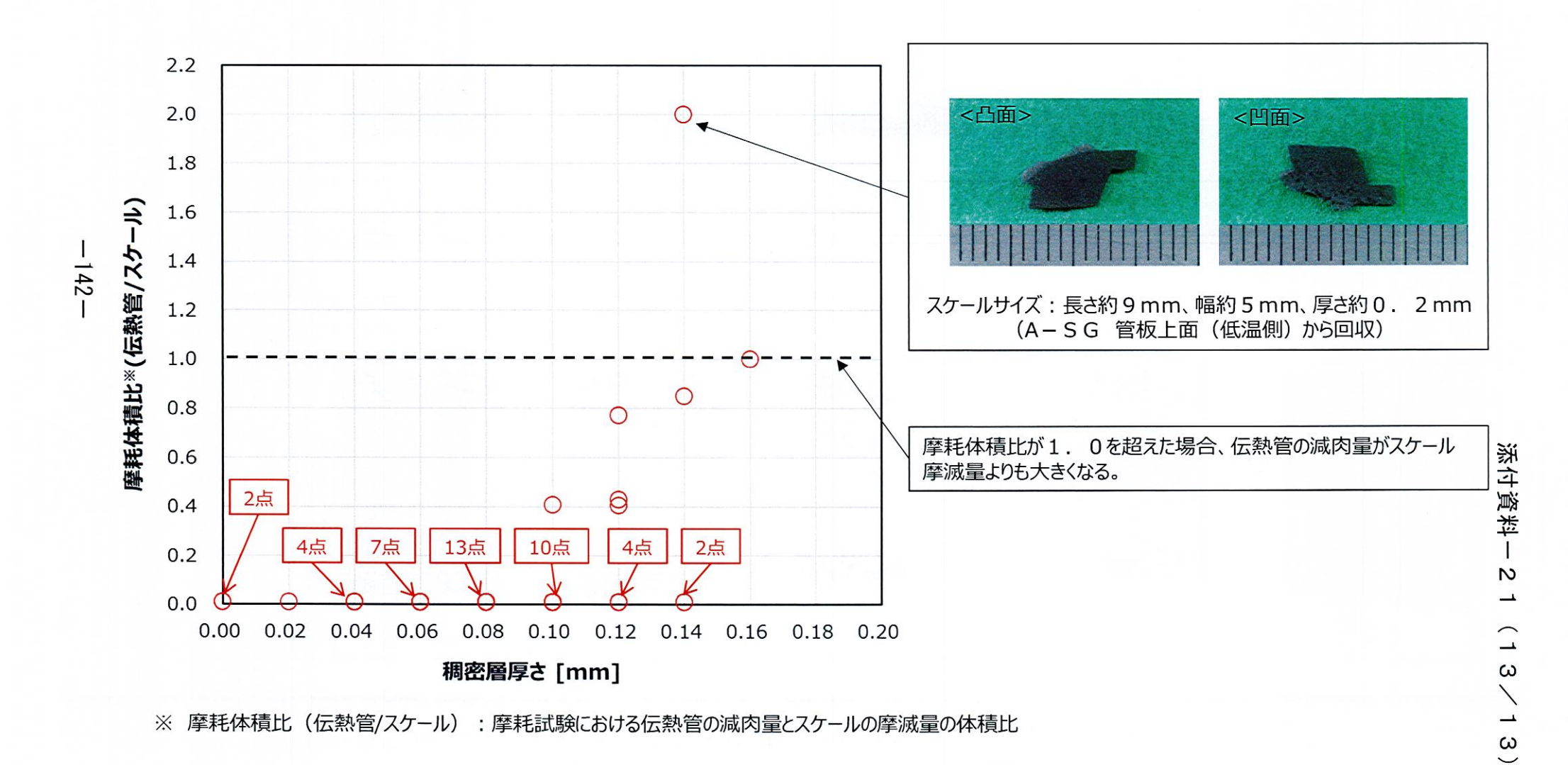
回収したスケールの断面観察結果および摩耗試験結果(12/13)

_	- 141-									
摩耗体積比 (伝熱管/スケール)	稠密層厚さ(mm)	スケール厚さ(mm)	断面ミクロ画像		摩耗体積比 (伝熱管/スケール)	稠密層厚さ(mm)	スケール厚さ(mm)	断面ミクロ画像	スケール回収位置	
Ĵ	0.06	約0.2	0.06mm 接液侧	A-SG 管板上 (低温側)	Ĺ	0.10	約0.2	0.10mm 按液便	A-SG 管板上 (高温側)	
ī	0.10	約0.2	0.10mm 接液側	A-SG 管板上 (高温側)	ľ	0.04	約0.2	0.04mm 接液側	A-SG 管板上 (高温側)	<断面観察結果
ι	0.10	約0.2	(元) (元) (元) (元) (元) (元) (元) (元) (元) (元)	A-SG 管板上 (高温側)	T	0.10	約0.2	0.10mm 行熟管應	A-SG 管板上 (高温側)	結果(12/12)>
L	0.08	約0.2	0.08mm 接液側	A-SG 管板上 (高温側))	0.14	約0.2	0.14mm () (京 (京 (京 (京 (京 (京 (京 (元 (元 (元 (元 (元 (元 (元 (元 (元 (元	A-SG 管板上 (低温側)	
í	0.06	約0.2	0.06mm	A-SG 管板上 (高温側)	ï	0.10	約0.2	0.10mm	A-SG 管板上 (低温側)	

(81/21) 13-|株資村添

回収したスケールの断面観察結果および摩耗試験結果(13/13)

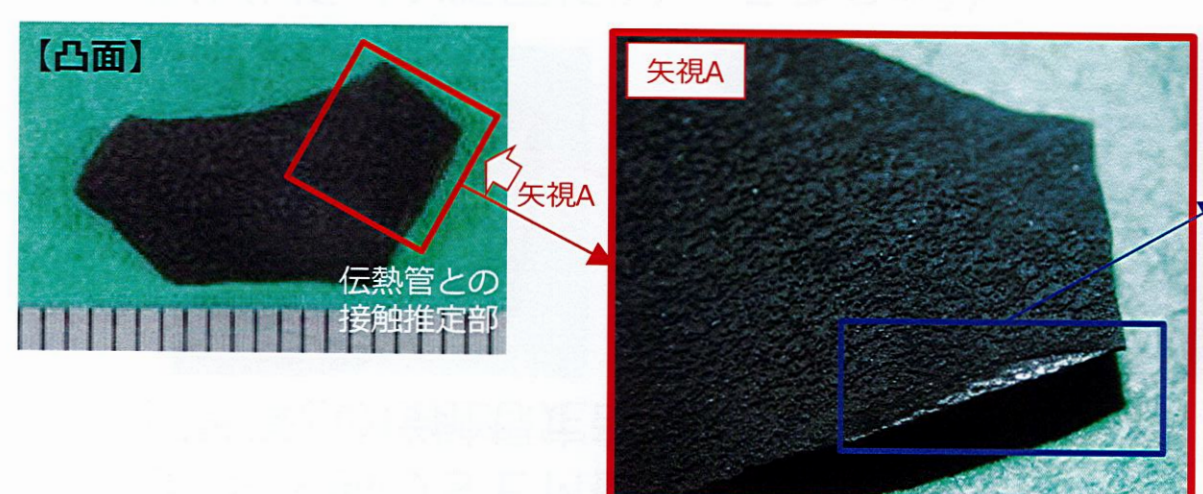
比較的大きなスケール 5 0 個を対象に摩耗試験を行い、伝熱管とスケールの摩耗体積比を調査した結果、 伝熱管の減肉量がスケール摩滅量以上のスケールを 2 個確認した。

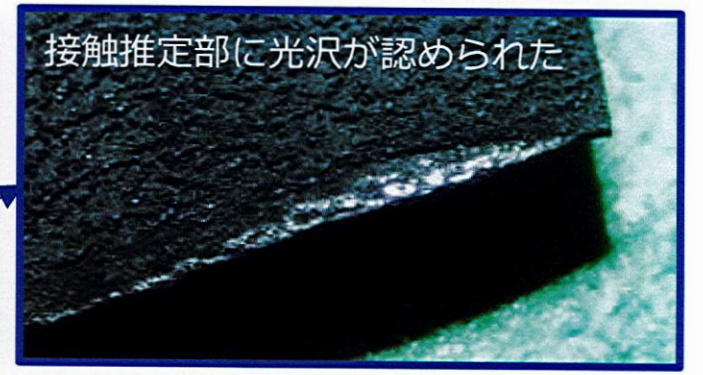


減肉が認められた X 26, Y 9の第三管支持板部の下方、X 26-27, Y 8の第二管支持板上面で回収した A 回収物を分析した結果は、次のとおりである。
【凸面】

① 外観観察結果

- 伝熱管減肉部とA回収物の接触想定部には、接触痕のような痕があり、光沢が認められた。
- 形状(R形状)を計測した結果、直径約22.6mmの円筒状に沿った形状であることを確認したが、これは<u>伝熱管の外径22.2mmに近い形状</u>である。



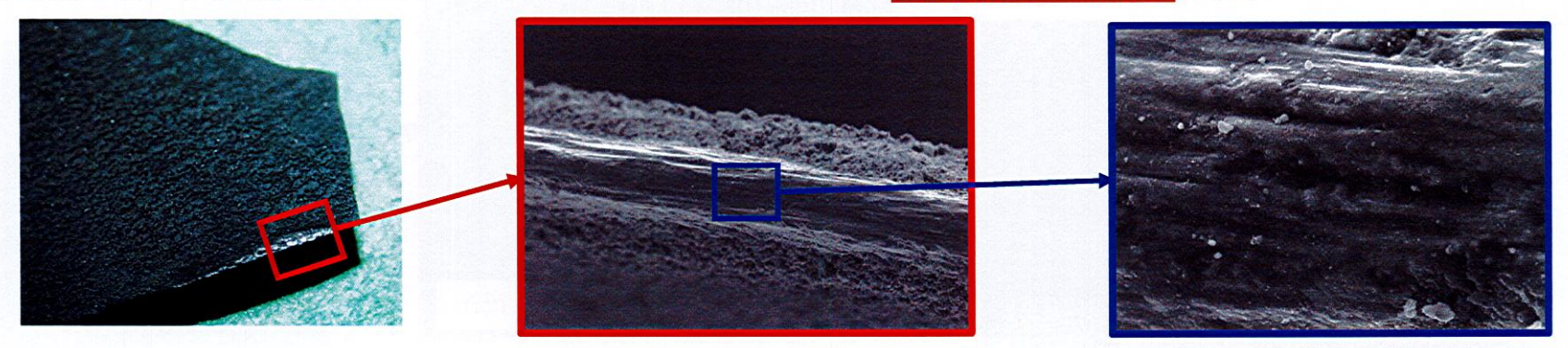


大きさ:約16mm×約10mm

厚さ:約0.2mm 質量:約0.09g

回収物分析結果(A-SG回収物)(2/3)

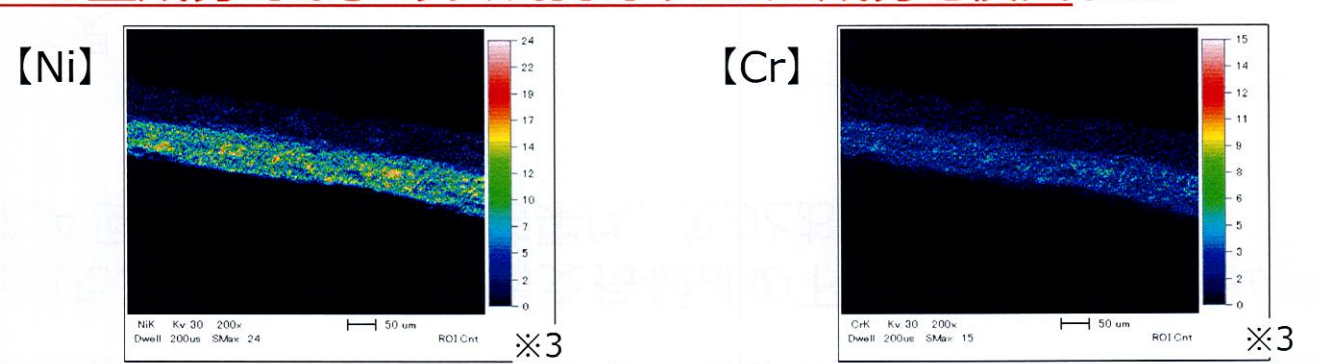
- ② 接触想定部のSEM観察
 - 伝熱管との接触想定部を拡大観察した結果、
 筋状痕を確認
 した。



③ 成分分析(X線回折※1、EDS※2)

筋状痕を確認

- 表面の化学成分分析を実施した結果、中央部の<u>主成分はマグネタイト</u>であったことから、 スケールであると推定した。
- 伝熱管との接触想定部の表面化学成分を分析した結果、<u>伝熱管(インコネルTT</u> 600)の主成分であるニッケルおよびクロムの成分を検出した。



※1:対象物にX線を照射し、X線回折パターンを解析することで、構成成分の同定をする分析方法

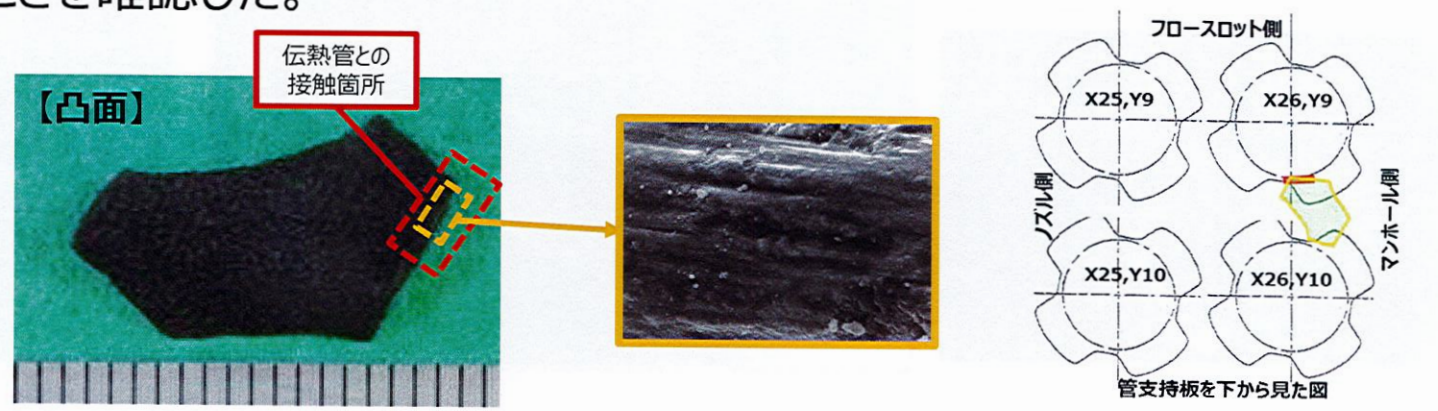
※2:電子線照射により発生する特性X線のエネルギーと強度から構成元素を分析する装置

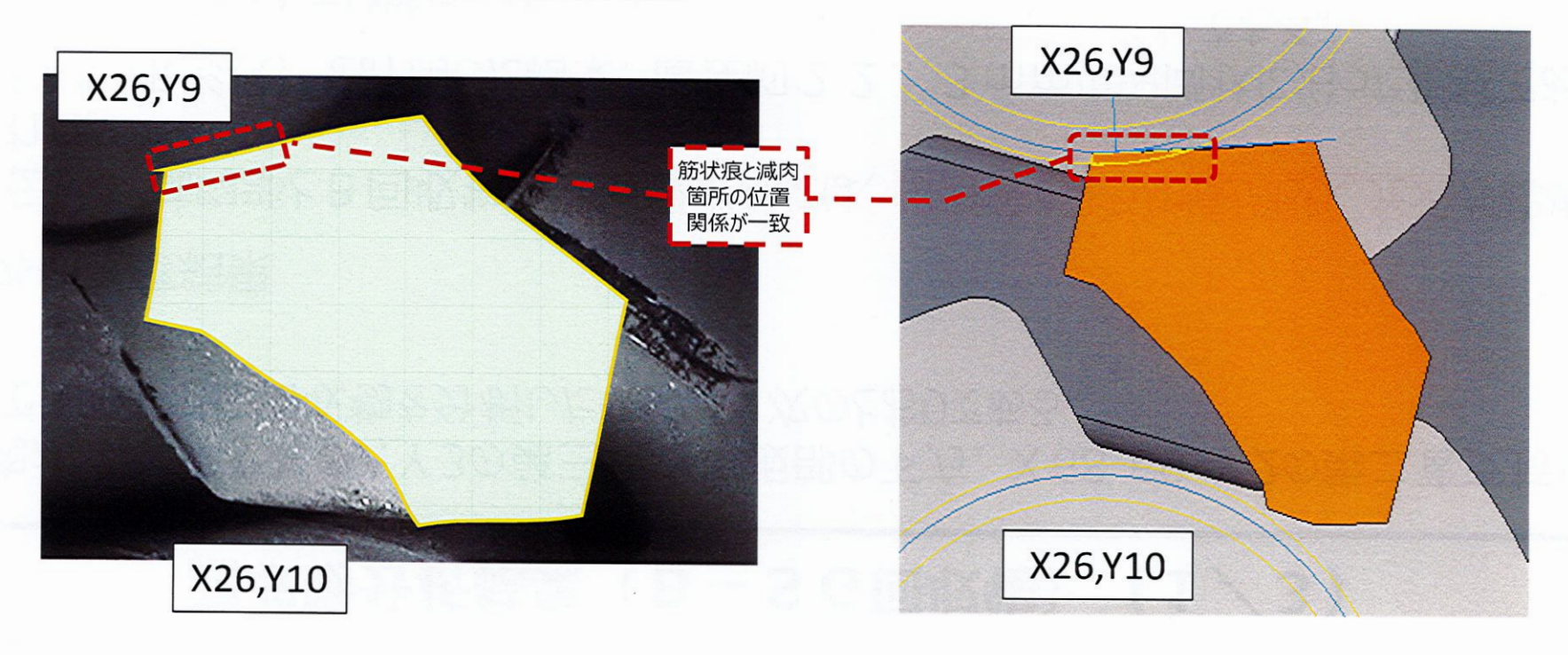
※ 2 · 分析した成分のX線の反射強度で、1 秒当たりのX線カウント数(含有元素の濃度が高いほど大きくなる)

回収物分析結果(A-SG回収物)(3/3)

④ 減肉箇所との関係

● A回収物の形状や筋状痕の位置は、以下のとおり X 26, Y 9 の減肉箇所の位置と一致することを確認した。



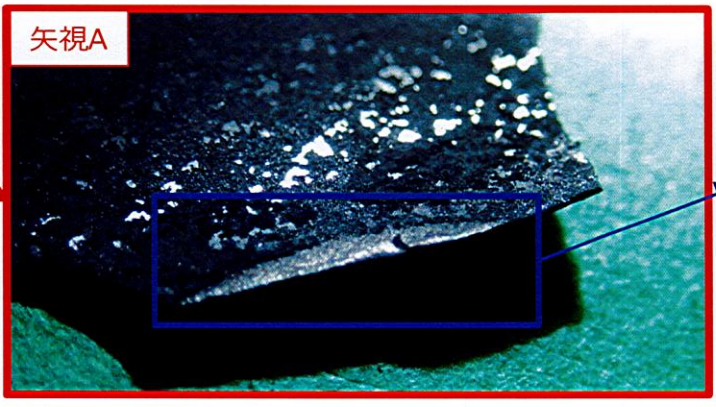


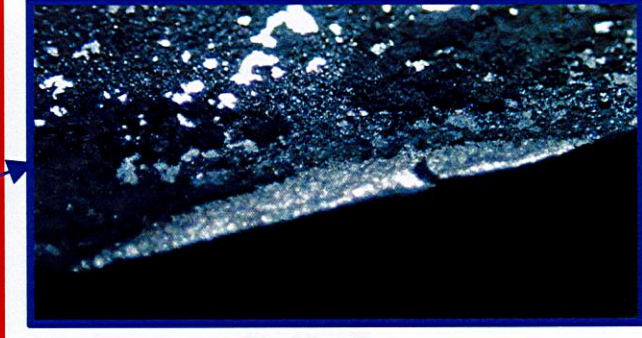
減肉が認められたX69,Y3の第三管支持板部の下方、X68-69,Y2の第二管支持板 上面で回収したB回収物を分析した結果は、次のとおりである。

外観観察結果

- 伝熱管減肉部とB回収物の接触想定部には、接触痕のような痕があり、光沢が認めら れた。
- 形状(R形状)を計測した結果、直径約22.3mmの円筒状に沿った形状であるこ とを確認したが、これは伝熱管の外径22.2mmに近い形状である。





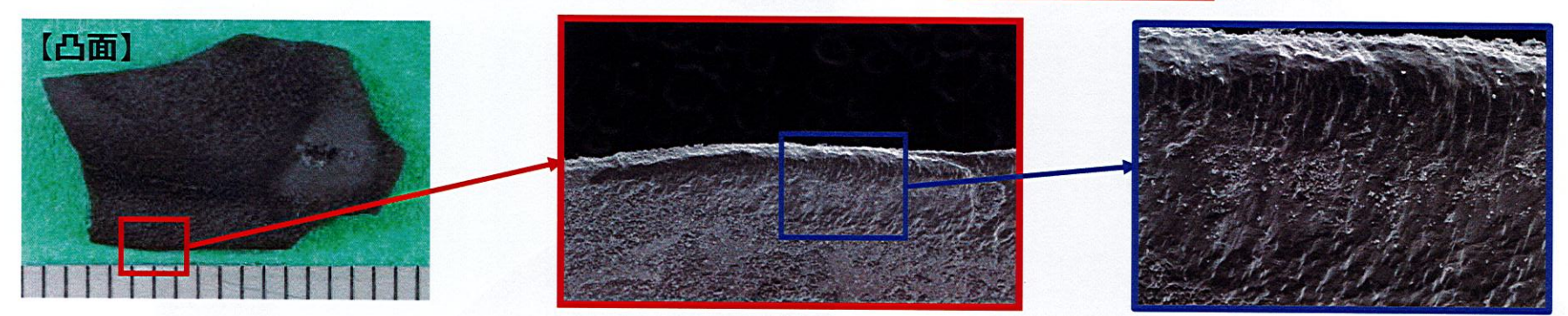


大きさ:約17mm×約10mm

厚さ:約0.3mm 質量:約0.14g

回収物分析結果(B-SG回収物)(2/3)

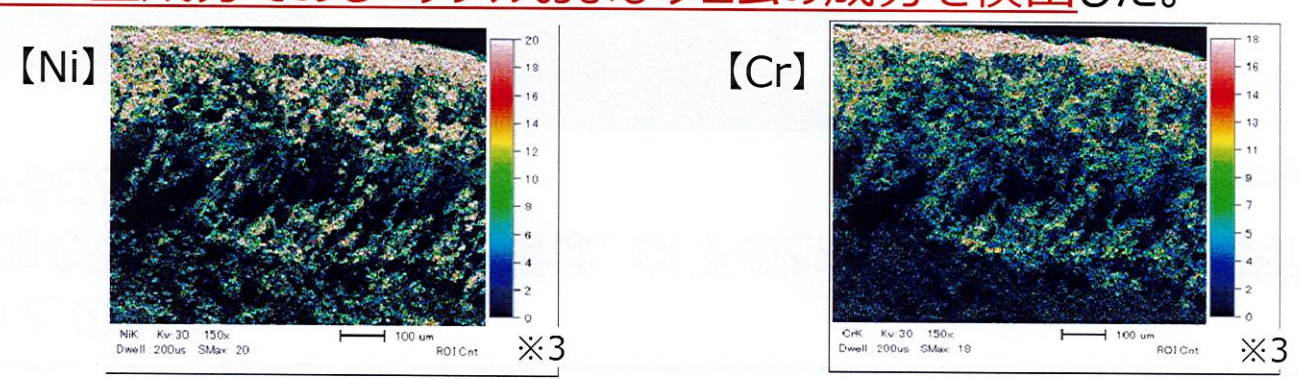
- ② 接触想定部のSEM観察
 - 伝熱管との接触想定部を拡大観察した結果、筋状痕を確認した。



① 成分分析 (X線回折^{※1}、 E D S ^{※2})

筋状痕を確認

- 表面の化学成分分析を実施した結果、中央部の<u>主成分はマグネタイト</u>であったことから、 スケールであると推定した。
- 伝熱管との接触想定部の表面化学成分を分析した結果、<u>伝熱管(インコネルTT</u> 600)の主成分であるニッケルおよびクロムの成分を検出した。



※1:対象物にX線を照射し、X線回折パターンを解析することで、構成成分の同定をする分析方法

※2:電子線照射により発生する特性X線のエネルギーと強度から構成元素を分析する装置

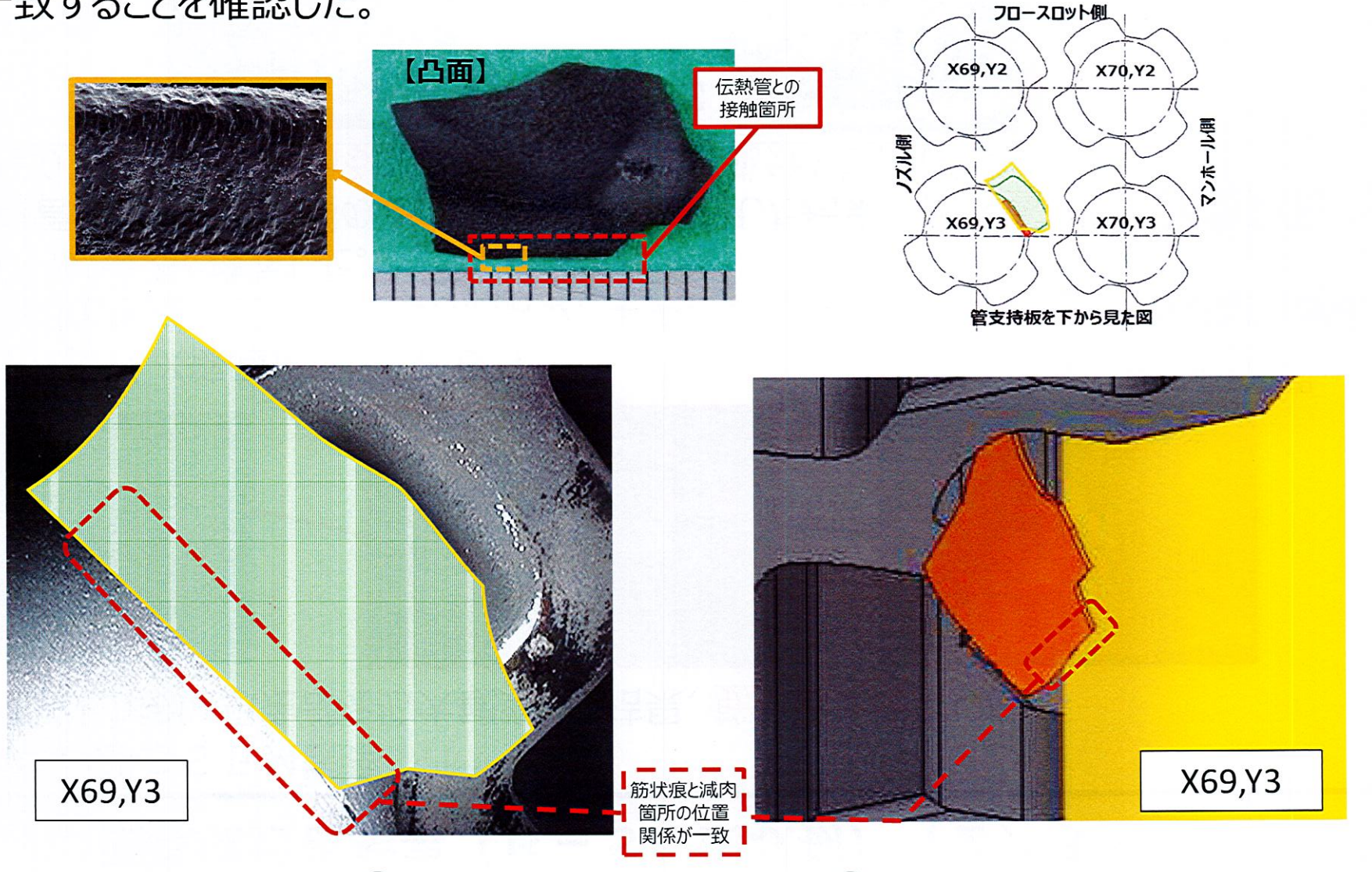
※3:分析した成分のX線の反射強度で、1秒当たりのX線カウント数(含有元素の濃度が高いほど大きくなる)

回収物分析結果(B-SG回収物)(3/3)

④ 減肉箇所との関係

● B回収物の形状や筋状痕の位置は、以下のとおりX69,Y3の減肉箇所の位置

と一致することを確認した。



-148-

スケール剥離による減肉信号への影響

1. 概要

減肉信号とスケール付着信号は、周波数間の振幅・位相の相関関係が異なるため、スケール付着箇所の信号は MIX フィルタを適用することで消去されるが、減肉信号は消去されない。そこで、実機で検出された信号と、スケール付着・剥離(EDMスリット有り)およびスケール付着・剥離(EDMスリット無し)の信号を比較し、スケール付着箇所の信号と減肉信号の違いを実験的に示した。また、局所的なスケール剥離について、ECTでの信号検出性を確認した。

2. 試験方法

2.1 スケール付着・剥離 (EDMスリット有り) の試験片データ

深さ59%、長さ5mm、幅0.4mmの外面周方向矩形EDMスリットが付与された伝熱管外面に四三酸化鉄を薄く延ばした厚さ1.0mm程度の模擬スケールを貼り付け、スリット直上に当たる部分に、スリット同様の切れ目を入れた。この伝熱管でECTデータを取得した。

2.2 スケール付着・剥離 (EDMスリット無し) の試験片データ

伝熱管外面に四三酸化鉄を薄く延ばした厚さ 1.0 mm程度の模擬スケールを貼り付け、模擬スケールに長さ約 4 mm (周方向)、幅約 0.5 mm (軸方向)の切れ目を入れ、局所的なスケール剥離を模擬した。この伝熱管でECTデータを取得した。

3. 結果

取得したデータを下の表に示す。

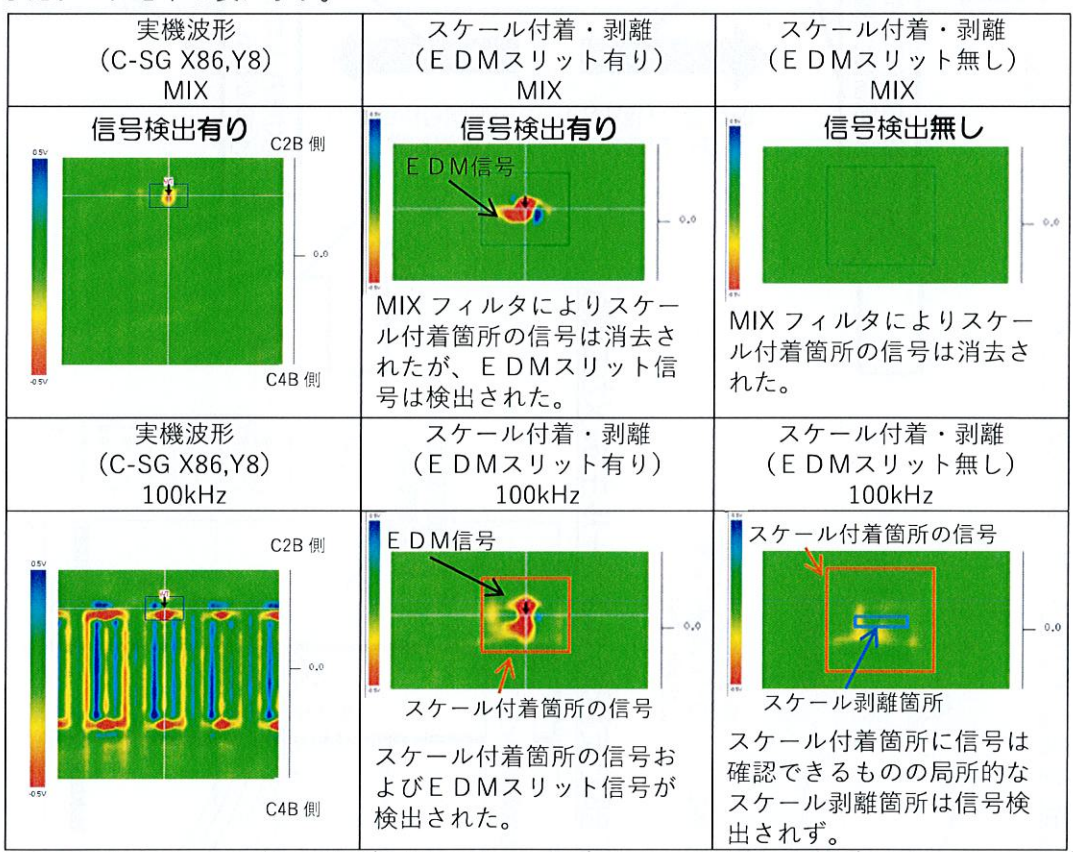


表:実機波形とスケール付着・剥離(EDMスリット有り)、スケール付着・剥離(EDMスリット無し)比較

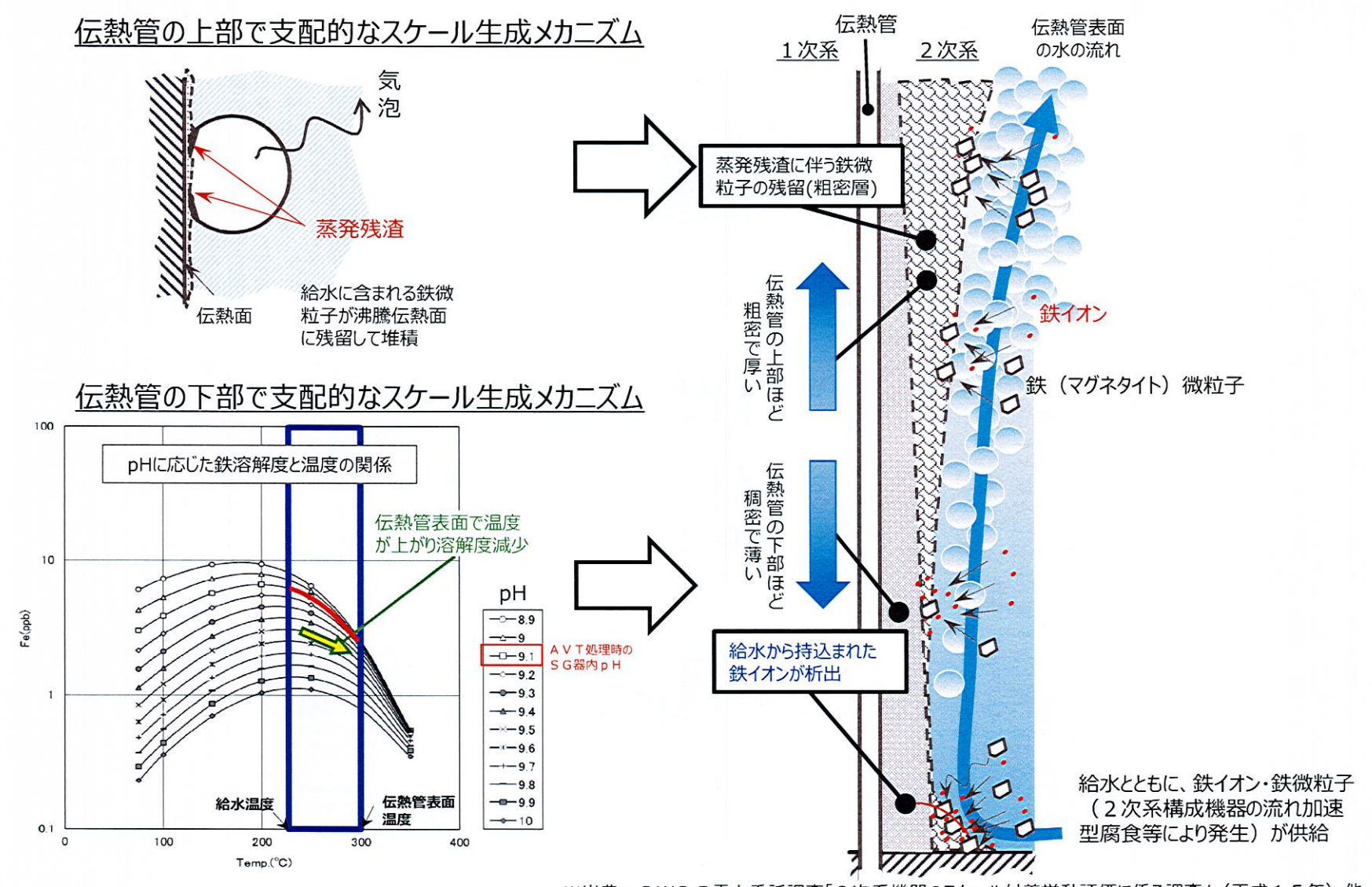
4. まとめ

- ・スケール付着・剥離(EDMスリット有り)の試験片を用いた検証結果より、スケール付着箇所の信号は MIX フィルタにより消去されるが、EDMスリットの信号は消去されず、有意な信号として検出される。
- ・スケール付着・剥離 (EDMスリット無し)の試験片を用いた検証結果より、局所的なスケール剥離箇所では信号が検出されない。
- ⇒実機波形は MIX フィルタを適用しても有意な信号が検出されていることから、スケール付着や局所的なスケール剥離の信号ではなく、減肉信号と考えられる。

添付資料一24

スケール生成メカニズム

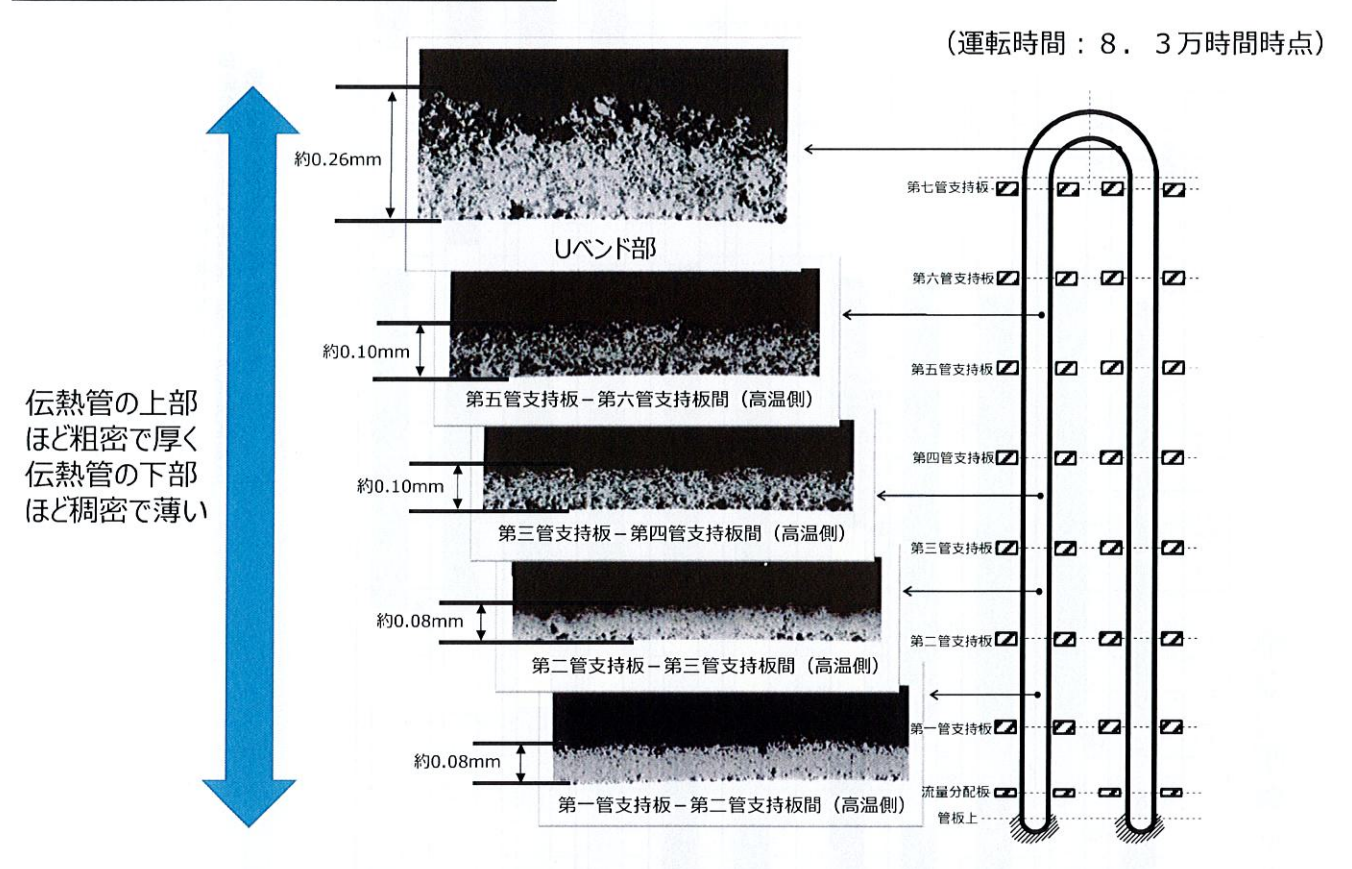
(平成8年 高浜発電所3号機 蒸気発生器伝熱管調査報告書の知見を踏まえたイメージ)



※出典: PWR5電力委託調査「2次系機器のスケール付着挙動評価に係る調査」(平成15年)他

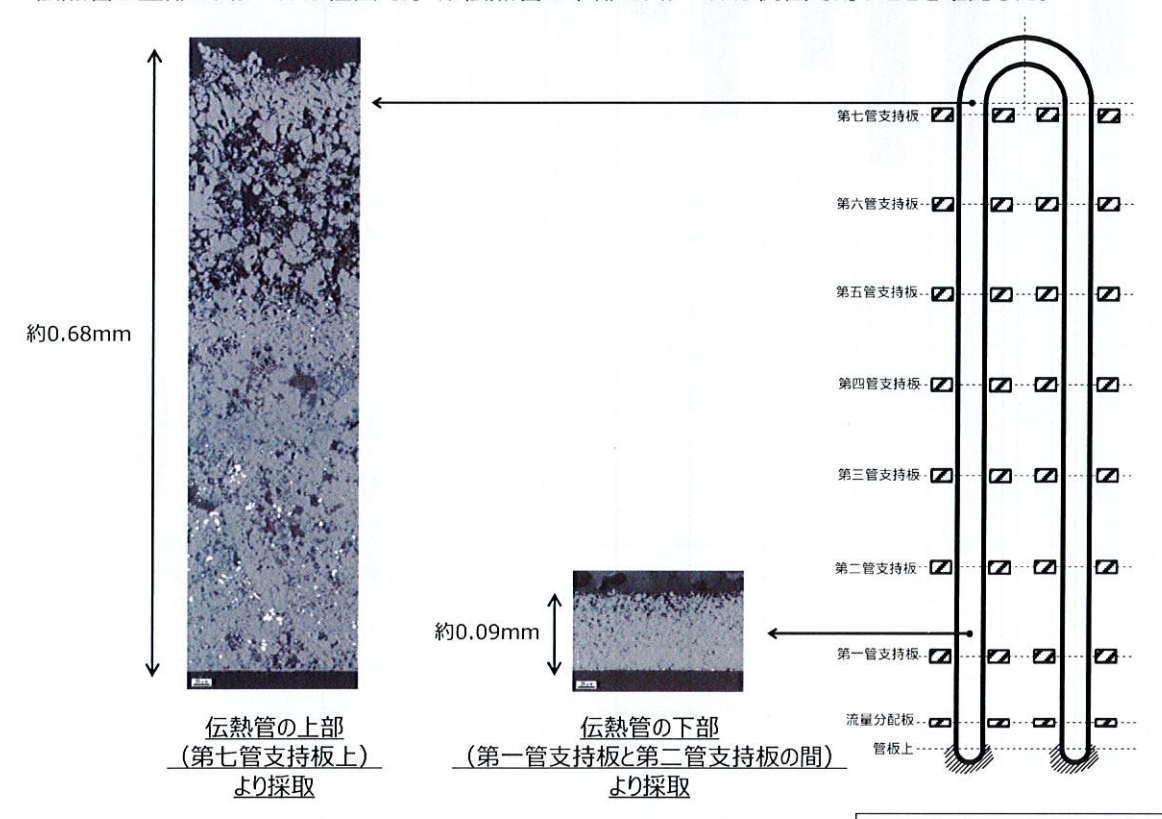
発電用原子炉施設故障等報告書 (高浜発電所4号機 蒸気発生器伝熱管の損傷について) (2021年2月19日)より引用

○高浜発電所3号機平成8年調査時



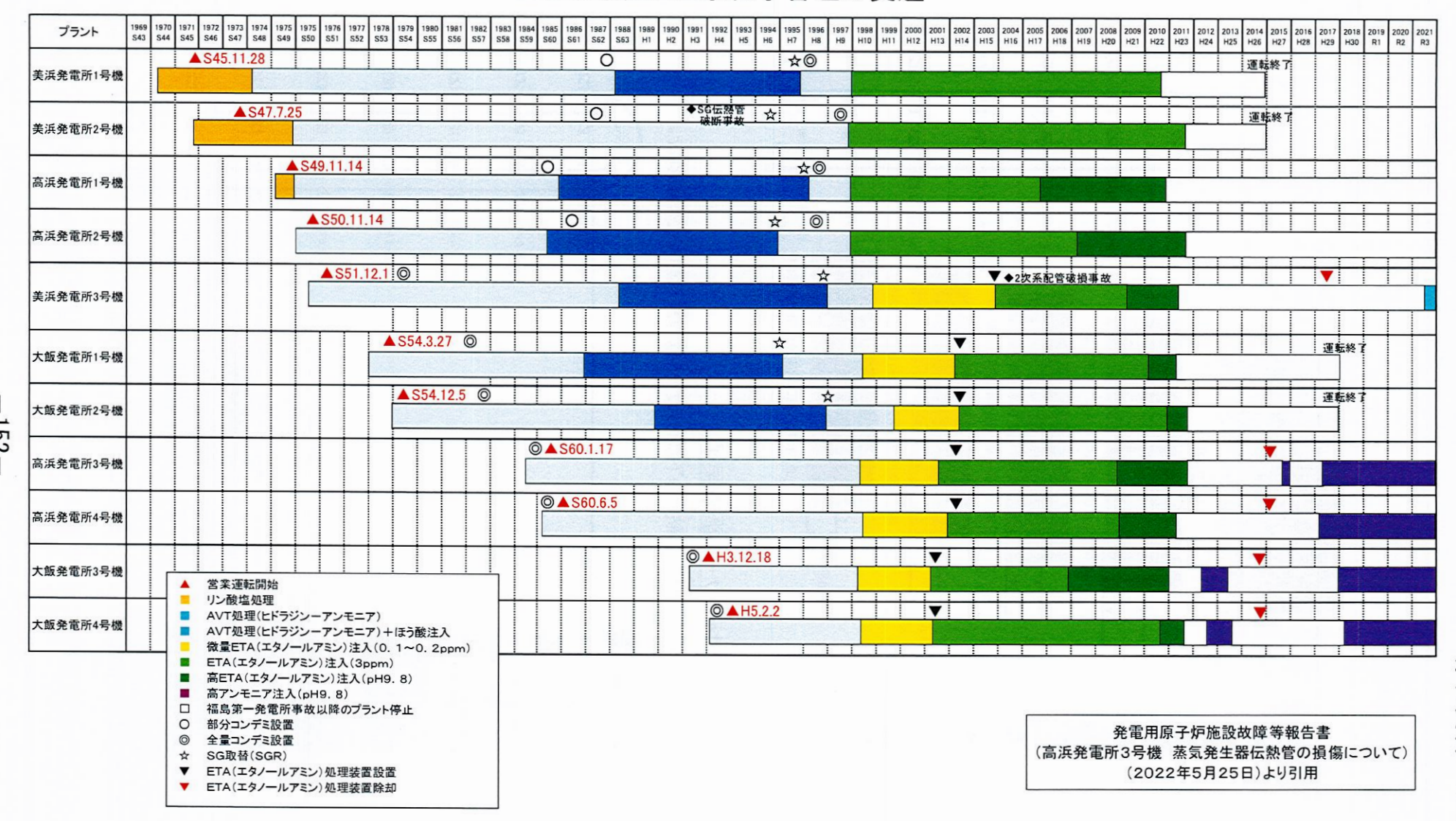
○高浜発電所 4 号機におけるスケール調査実績

伝熱管の上部のスケールは粗密で厚く、伝熱管の下部のスケールは稠密で薄いことを確認した。



発電用原子炉施設故障等報告書 (高浜発電所4号機 蒸気発生器伝熱管の損傷について) (2021年2月19日)より引用

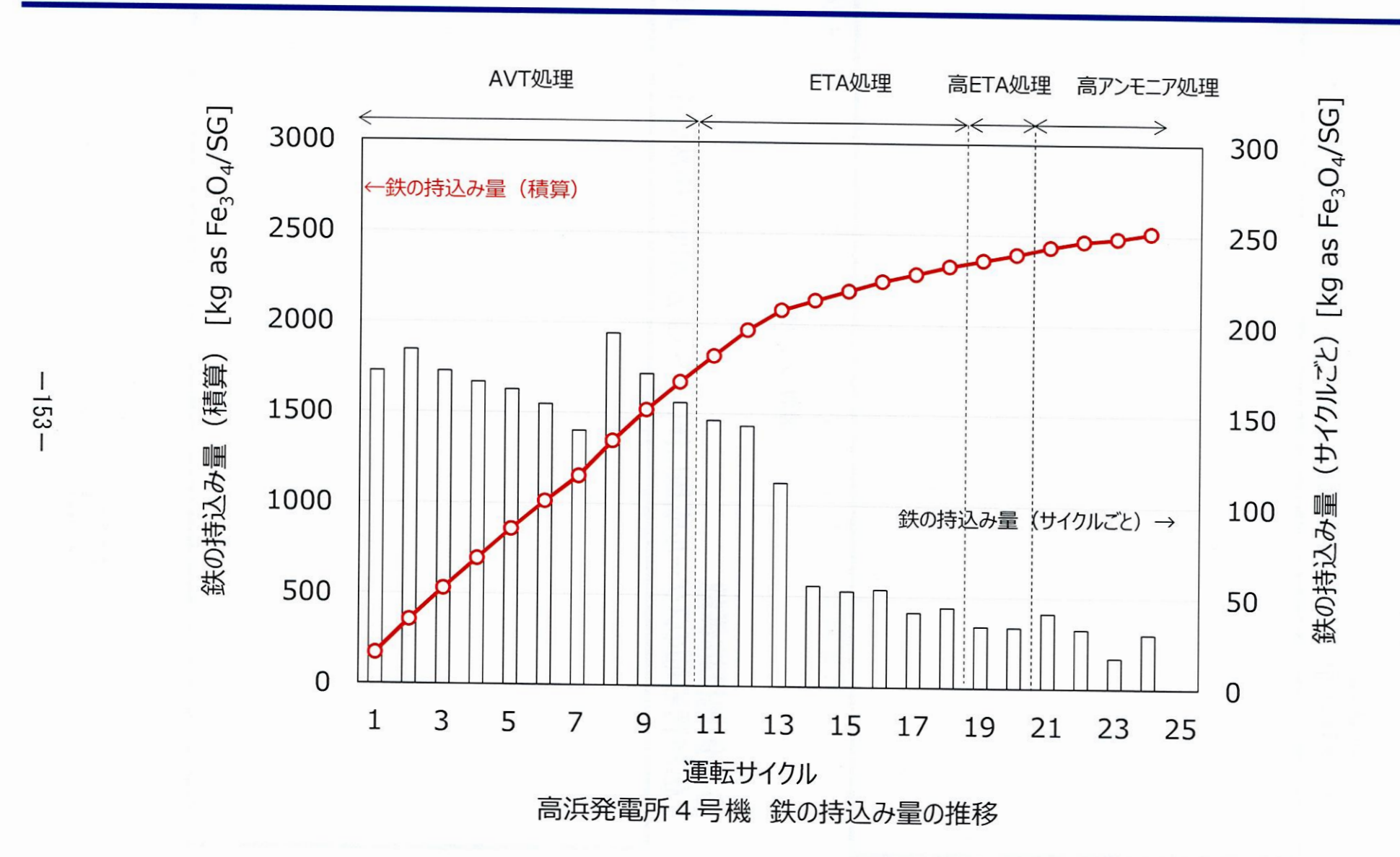
2次系水処理と水化学管理の変遷



152—

添付資料-26(1/2

高浜発電所 4 号機 鉄の持込み量の推移



プラント性能指標の推移

主	苾	気	F	カ
_	7777	X U	_	//

伝熱管表面のスケール成長に伴い、主蒸気圧力は徐々に低下

主蒸気圧力[MPa abs]

3 4 5 6 7 8 9 10 11 12 13 14 15 16 17 18 19 20 21 22 23 24 運転サイクル

SG伝熱抵抗係数

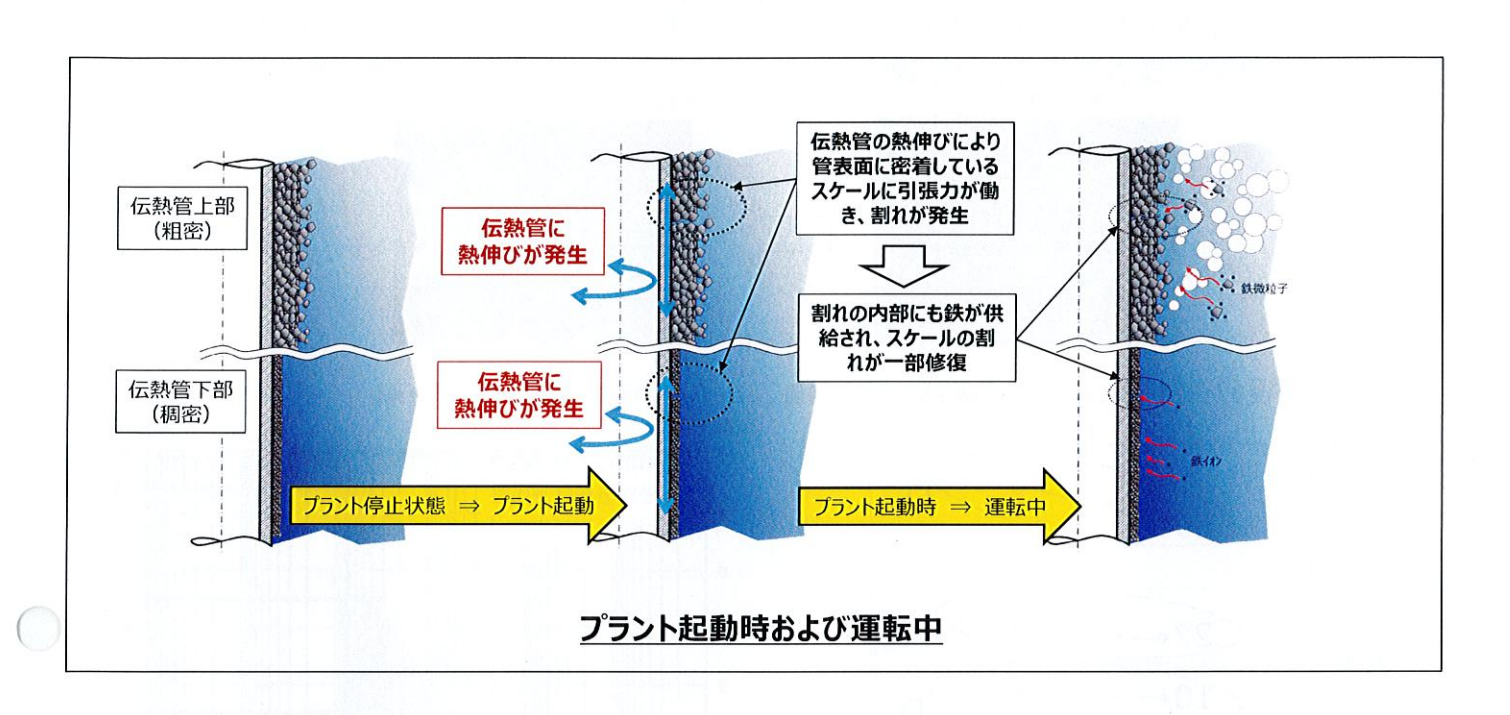
伝熱管表面のスケール成長に伴い、SG伝熱抵抗係数は徐々に上昇

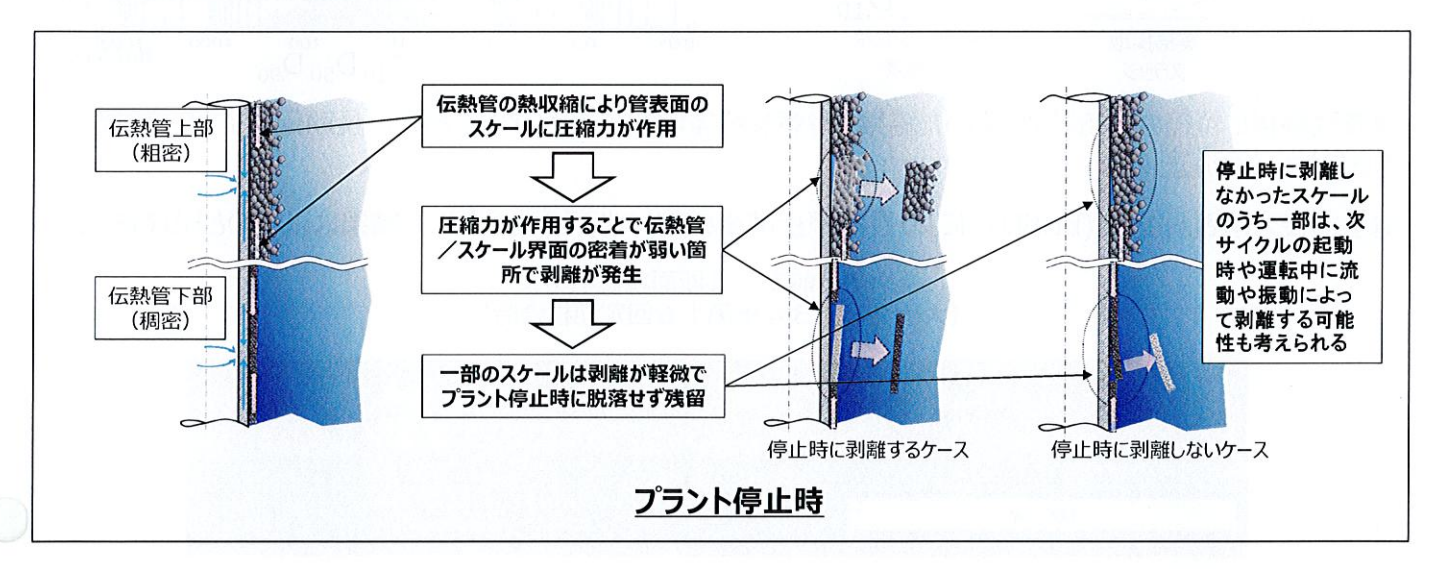
S G 伝熱抵抗係数[10-4h・ft2-° F/Btu]

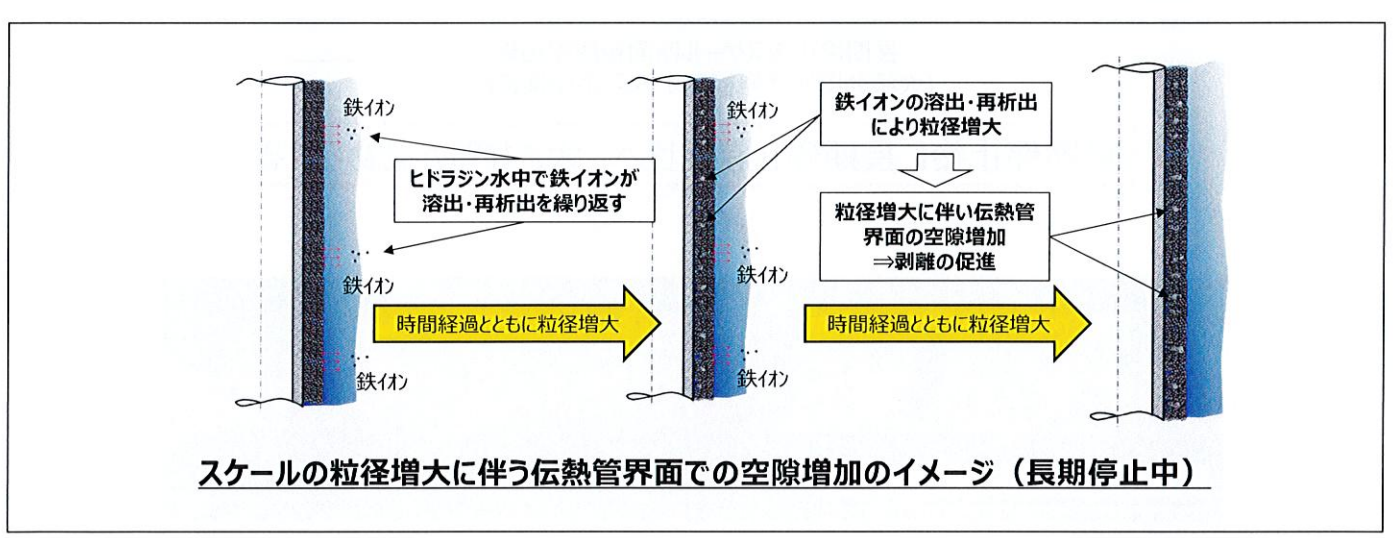
9 10 11 12 13 14 15 16 17 18 19 20 21 22 23 24

運転サイクル

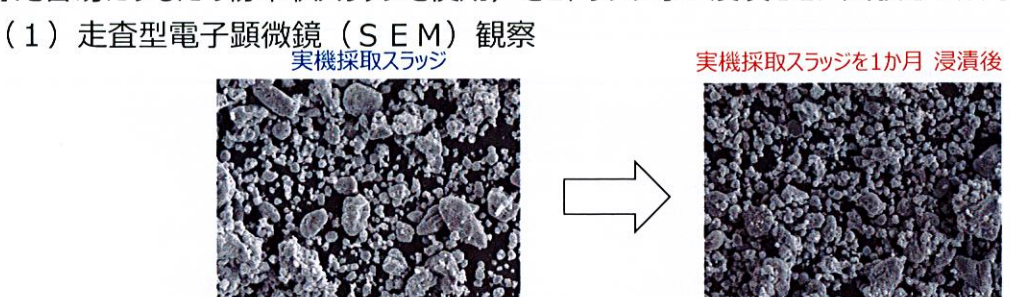
: 枠組みの範囲は機密に係る事項ですので公開することはできません。



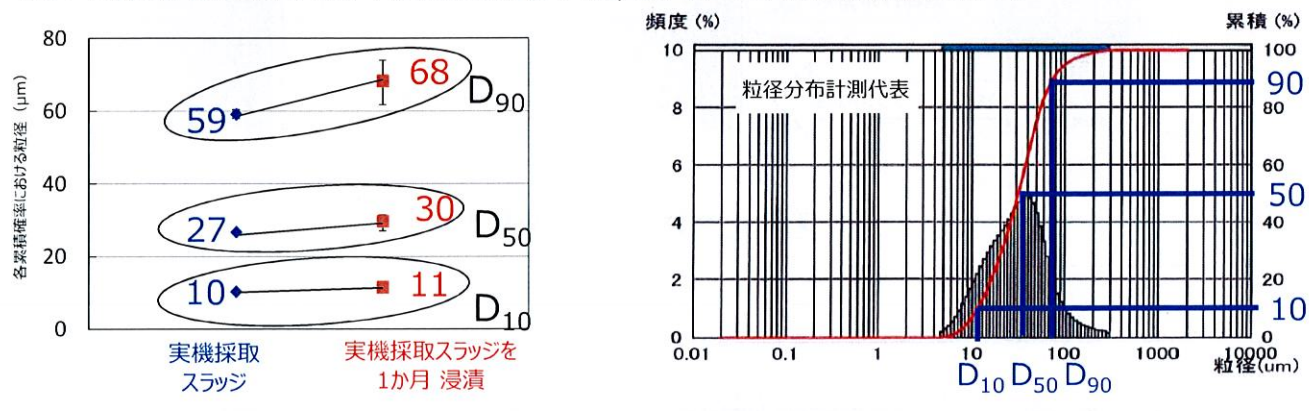




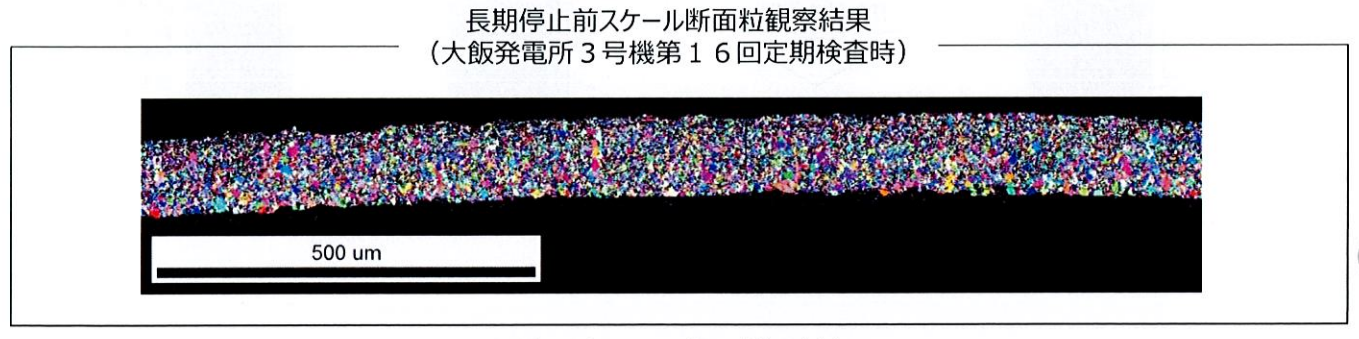
発電用原子炉施設故障等報告書 (高浜発電所3号機 蒸気発生器伝熱管の損傷について) (2022年5月25日)より引用 ・スケールの粒径増大化を実験で検証すべく、実機(ヒドラジン水による満水保管)と同条件にて、スラッジ(粒の観察を容易にするため粉末状スラッジを使用)をヒドラジン水に浸漬させた試験を1か月間実施した。

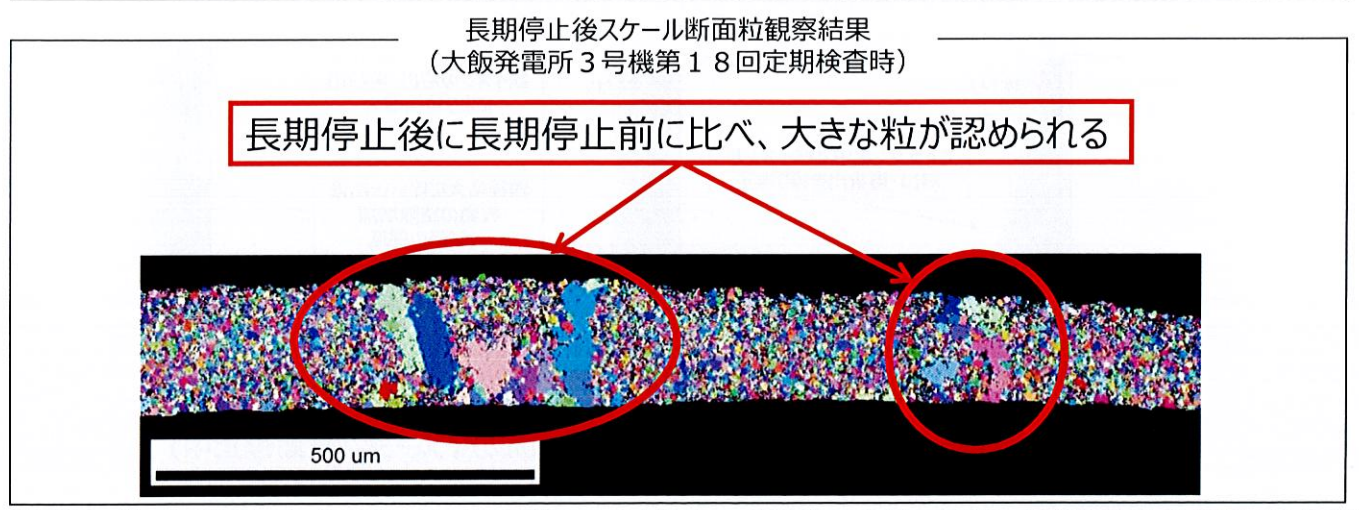


(2) 粒径分布計測(プロット: 3回繰り返し計測平均値, エラーバー: 3回計測の最大値, 最小値)



- ・浸漬試験後に粒径の分布計測を行った結果、有意な粒径増加が認められたことから、長期停止により、<u>粒径が大きくなることを推定</u>した。
- ・電子線後方散乱回折法(EBSD)※により長期停止前後のスケール断面を観察した結果は以下のとおりである。





※:結晶粒サイズ等の情報を取得できる分析手法であり、結晶面が向いている方向によって、異なる色で示すことで、同色の一塊が結晶粒であると識別することができる。

スケールのSG2次側器内挙動の推定および流況モックアップ試験による接触状態の再現

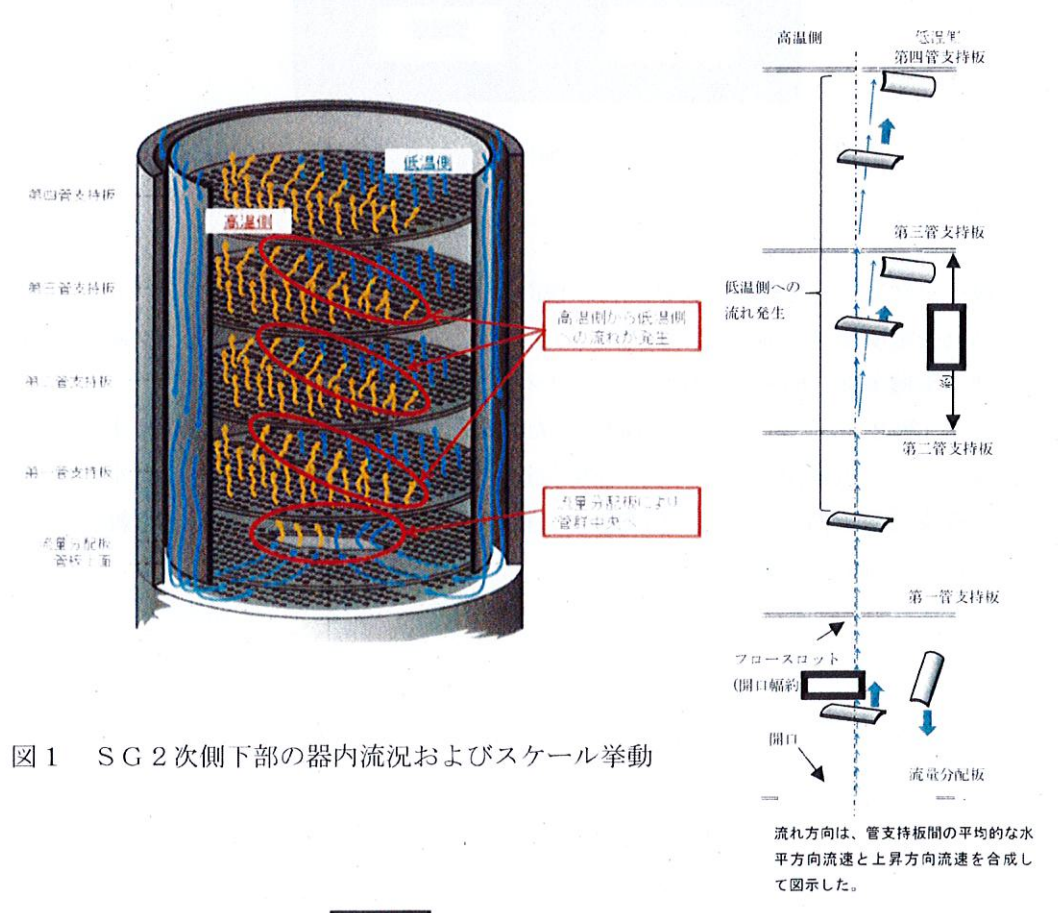
熱流動解析によりSG2次側器内で管支持板下面に到達するまでのスケール挙動を推定するとともに、SG2次側器内の流況モックアップ試験により、推定したスケールの接触状態が実機二相流相当条件においても再現するか検討を行った。

- 1. SG器内でのスケール挙動の推定
- (1) フロースロット部近傍の第三および第四管支持板下面に到達するまでのスケール挙動の推定

図1にSG2次側下部の器内流況および想定されるスケールの挙動を示す。

運転中のSG2次側器内の流況下では、流体抗力がスケールの落下力を上回ることから、管板直上で発生したスケールの場合、管群内の上昇流に乗って流量分配板および各管支持板フロースロット部を通過し、減肉箇所へ到達したことが考えられる。第一管支持板より上方では、管群の高温側と低温側の圧力損失差から、高温側から低温側への水平方向流があることから、第一管支持板および第二管支持板フロースロット部を通過したものが第三管支持板の低温側下面に至ったものと推定される。

なお、第一管支持板上方または第二管支持板上方で発生したスケールを想定した場合においても、発生したアドレスによっては、同様に管群内の上昇流および高温側から低温側への水平方向流に乗り、フロースロット部を通過し、第三および第四管支持板の低温側下面に至る可能性はあると考えられる。



(2) 管群中央領域の第四管支持板低温側下面に到達するまでのスケール挙動の推定 図2に第四管支持板下面に到達するスケールの推定される挙動を示す。

運転中のSG2次側器内の鉛直方向の流体抗力はスケールの重力による落下力より大きいため、当該部直下近傍の第三管支持板上面に到達していたスケールが運転中の上昇流に乗って当該部の管支持板下面に到達したと考えられる。

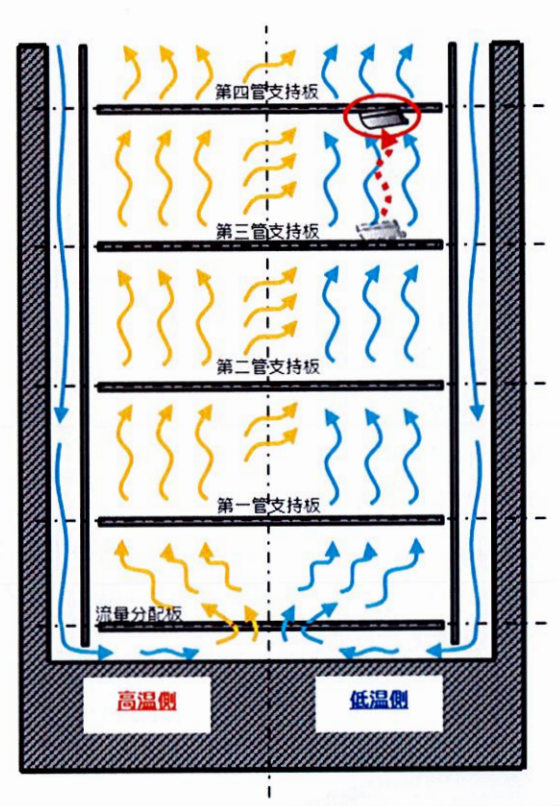


図2 SG2次側下部の器内流況およびスケール挙動

2. 流況モックアップ試験結果を踏まえた検討

高浜発電所4号機前回(第23回)定期検査で実施した流況モックアップ試験の試験 流速は実機条件と同等の流体力が発生する流速として設定した。

今回 (第24回) 定期検査で確認された減肉箇所における、熱流動解析により求めた 流速はいずれも流況モックアップ試験流速と比較して大きいため、スケールはそれぞ れの管支持板下面に到達し、伝熱管との接触状態が実機二層流においても維持された 可能性があるものと推定した。

<参考>

高浜発電所4号機前回(第23回)定期検査における流況モックアップ試験による接触状態の再現

(1) 試験方法

3次元熱流動解析で得られるSG2次側流況を再現する水空気試験装置を用いて、 C2、C3およびC4スケールの各模擬スケール片について、推定した接触状態が実機 二相流相当条件下において管支持板下面で維持されるか確認を行った(図1参照)。

- 試験流速 :
- ・模擬スケール片形状:約18mm×約10mm×約0.3mm

(C2スケールと同一形状、凹面側で管支持板下面に拘束)

・模擬スケール片形状:約23mm×約11mm×約0.3mm

(C3スケールと同一形状、凸面側で管支持板下面に拘束)

・模擬スケール片形状:約21mm×約10mm×約0.3mm (C4スケールの破損前想定形状と同一形状、凹面側で管支持板下面に拘束)

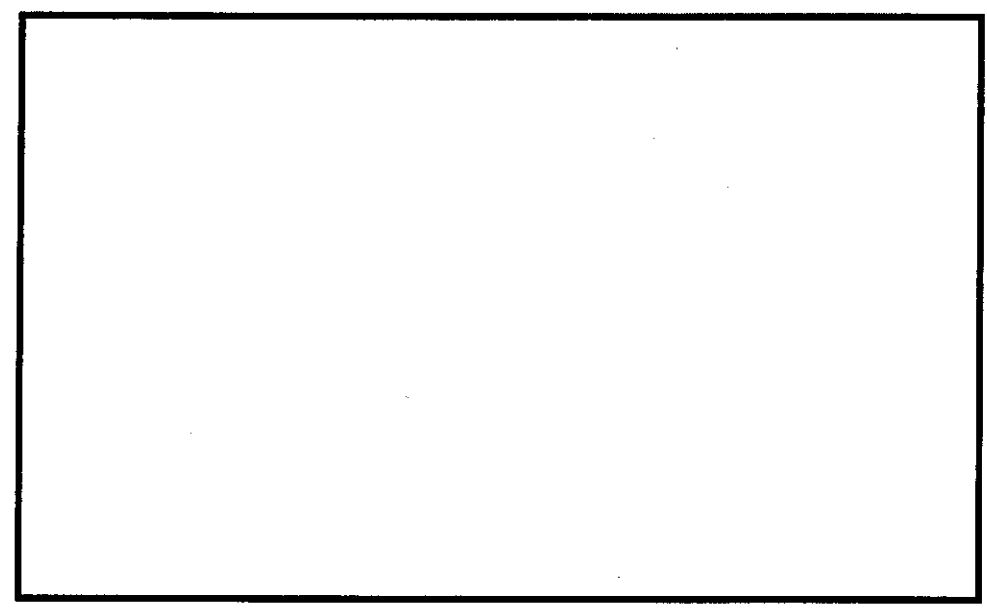


図1 水空気試験装置概要

(2) 試験結果

試験装置内の水-空気二相流中で、模擬スケール片はいずれも管支持板下面で推定 した接触状態が維持されたことから、スケール片は凹面・凸面のいずれであっても管支 持板下面で保持されうることを確認した(図2参照)。

> 発電用原子炉施設枚障等報告書 (高浜発電所4号機 蒸気発生器伝熱管の損傷について) (2021年2月19日)より引用

-159-

< C2スケールと伝熱管X55, Y8との接触状態を想定>



< C3スケールと伝熱管 X21, Y8との接触状態を想定>





図2 水空気試験結果

以上の結果から、今回の原因と考えられるスケールは、SG器内で伝熱管から剥離後に管 群内の上昇流および高温側から低温側への水平方向流に乗って第三管支持板低温側下面に 到達し、伝熱管との接触状態が実機二相流中においても維持された可能性があるものと推 定した。

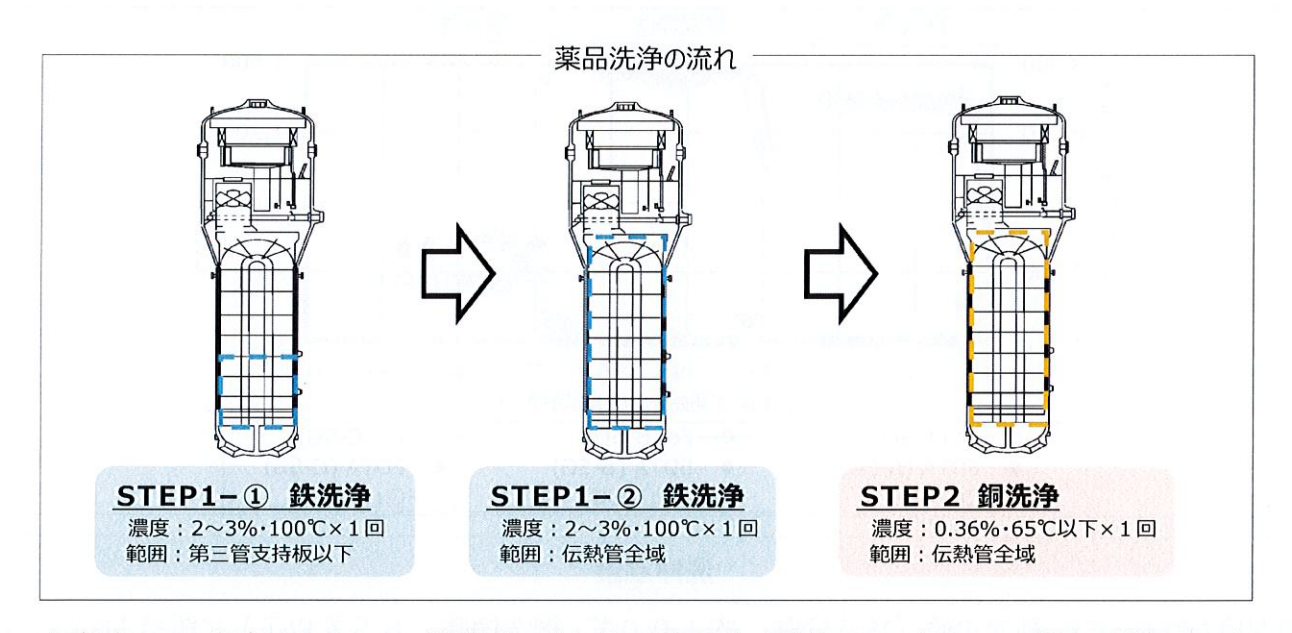
以上

発電用原子炉施設故障等報告書 (高浜発電所4号機 蒸気発生器伝熱管の損傷について) (2021年2月19日)より引用

高浜発電所4号機前回(第23回)定期検査における 薬品洗浄の実施結果(1/3)

<薬品洗浄の実施方法>

- ○鉄洗浄の条件については、洗浄試験の結果から、薬品濃度は2~3%、 洗浄温度は100℃とした。
- ○スケールの生成メカニズムから、スケールは下部ほど稠密で薄く、上部ほど粗密 で厚いことが分かっている。よって1回目の洗浄は第三管支持板以下を対象に 実施し、その後、伝熱管全域を洗浄する方法で行った。
- ○なお、鉄洗浄後に併せて銅洗浄を実施しているが、これは伝熱管の外面減肉 対策ではなく、伝熱管の腐食防止のための予防保全*1の位置づけである。
- ○その他の洗浄に係る諸条件は、これまでの国内施工実績と同様とした。



※1:運転中のSG器内は、ヒドラジンで脱酸素しており還元性雰囲気を維持しているため、SG器内に残留したスケール中の 銅は溶出することはなく、金属銅のまま安定的に存在し、伝熱管の腐食を引き起こす可能性はない。しかしながら、何らかの 理由によりスケール中の金属銅が溶出した場合でも、腐食(粒界腐食割れやピッティング)要因となる電位が上昇する ことを防止するため、念のため銅洗浄を実施し、除去したものである。

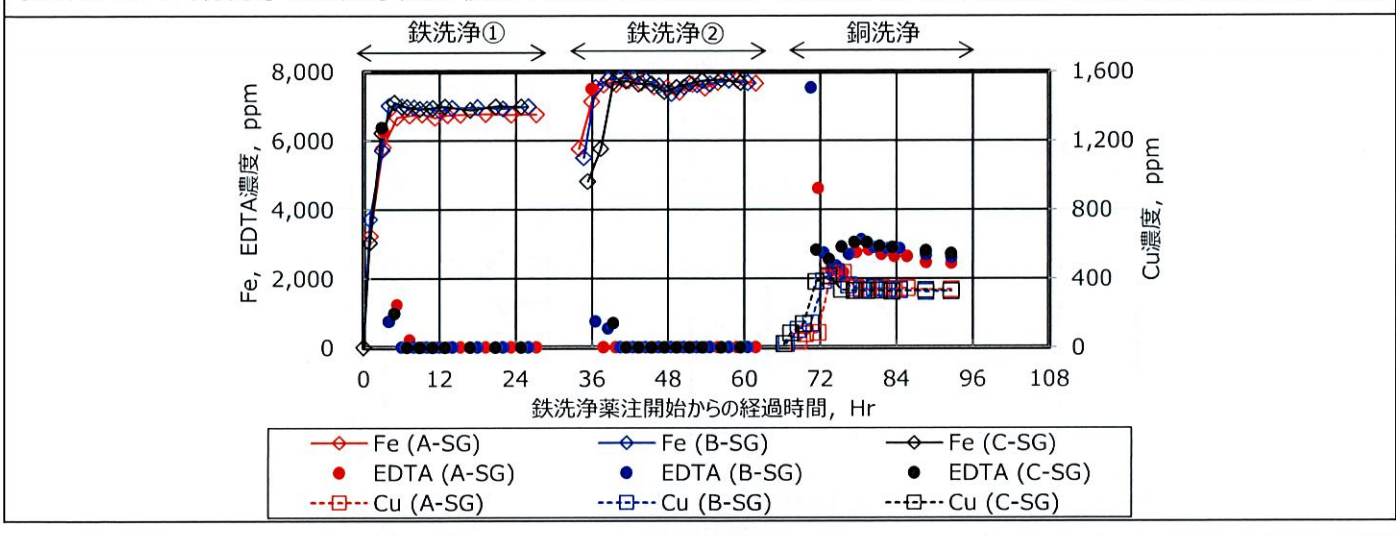
高浜発電所4号機前回(第23回)定期検査における薬品洗浄の実施結果(2/3)

<薬品洗浄の実施結果>

- 〇以下の水質挙動から、薬品洗浄が適切に実施できていることを確認した。
- ○洗浄中のSG器内水の鉄濃度と洗浄水位から算出した鉄除去量は、約680kg/SG (STEP1-①鉄洗浄で約200kg/SG、STEP1-②鉄洗浄で約480kg/SG)であることを確認した。(SG器内の鉄持込み量は約2,520kg/SG)
- 〇また、洗浄中のSG器内水の銅濃度と洗浄水位から算出した銅除去量は、約24kg/SGであることを確認したことから、SG器内の銅はほぼ除去できたと考えられる。(SG器内の銅持込み量は約29kg/SG)

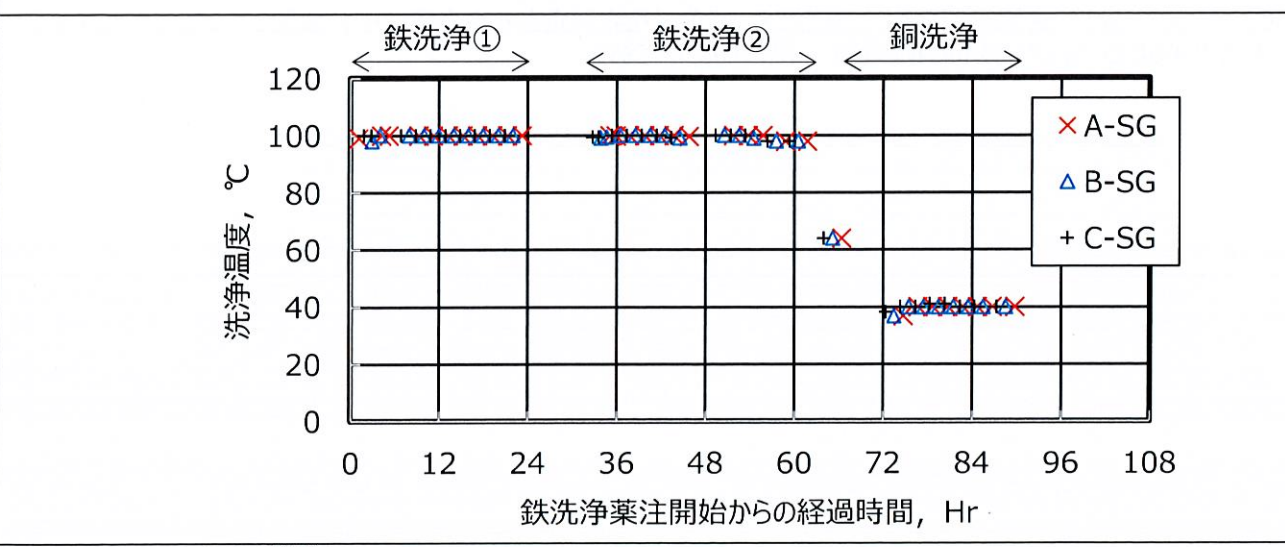
溶解鉄濃度および銅濃度の推移

STEP1-①鉄洗浄およびSTEP1-②鉄洗浄ともに洗浄開始後 4 \sim 5 時間で溶解鉄濃度が飽和しており、 EDTA $^{\times 2}$ 濃度が 1 0 0 p p m未満となったことから、EDTAがほぼ全量使用され、鉄の溶解反応は完了した。 また、STEP2 銅洗浄では洗浄開始後 1 2 時間程度で溶解銅濃度が飽和しており、銅の溶解反応は完了した。



洗浄温度

洗浄温度が計画どおり、所定の値(鉄洗浄時:約100℃、銅洗浄時:65℃以下)に維持されていることを確認した。

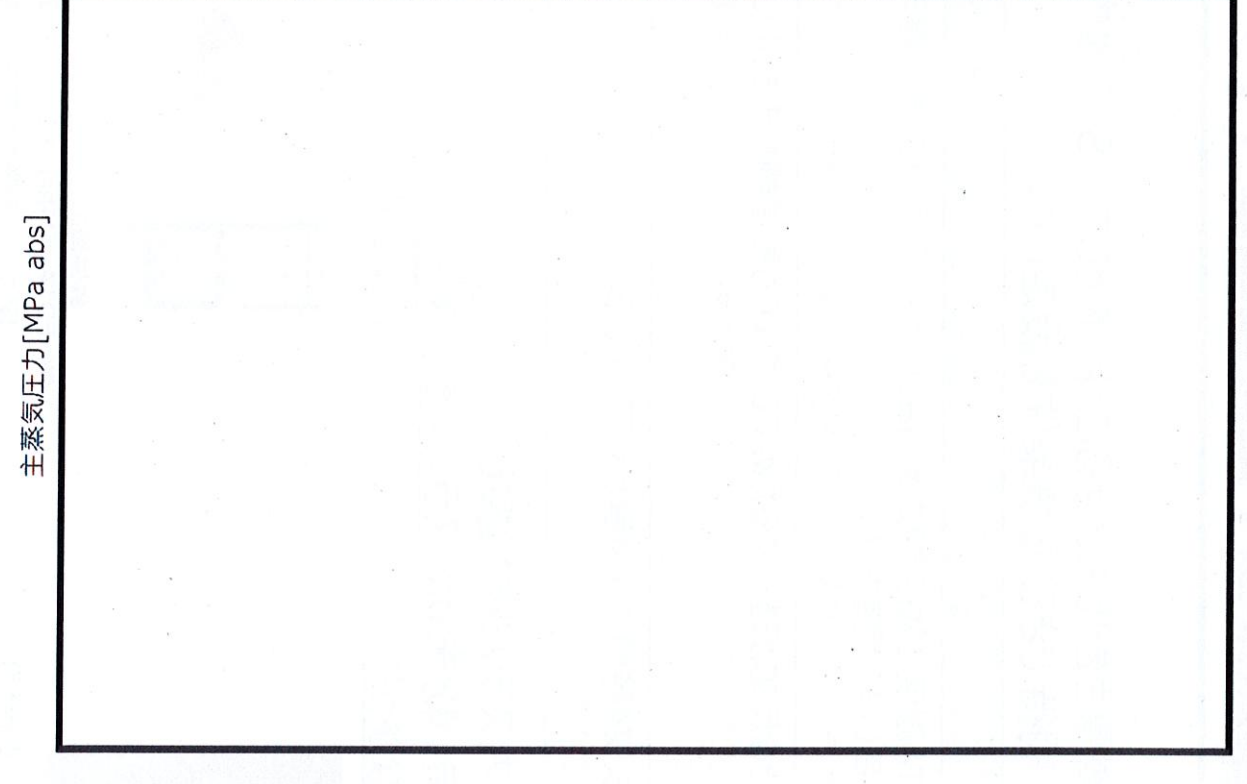


※2:エチレンジアミン四酢酸

高浜発電所4号機前回(第23回)定期検査における薬品洗浄の実施結果(3/3)

<主蒸気圧力の向上>

〇前回(第23回)定期検査後の運転実績を確認した結果、主蒸気圧力が向上したことを確認した。薬品洗浄の効果により伝熱管に付着したスケールが減少し、熱伝達率が改善したものと考えられる。



<SG伝熱抵抗係数の低下>

○SG伝熱抵抗係数について、第24運転サイクル初期の評価を実施した。

評価の結果、従来はサイクルを重ねる度に伝熱管表面のスケールが成長し、SG伝熱抵抗係数は徐々に上昇する傾向であったが、今サイクルは、前サイクルに比べ低下を確認した。

運転サイクル	S G伝熱抵抗係数 (10 ⁻⁴ h・ft²・° F/Btu) 運転サイクル初期
2 4 サイクル (今回評価)	1.32
2 3 サイクル	1.82
2 2 サイクル	1.81

- : 枠組みの範囲は機密に係る事項ですので公開することはできません。

続付資料-32(1/5)

スラッジ影響を考慮した薬品洗浄工場試験結果(1/5)

(前回の薬品洗浄条件設定の考え方)

■ 稠密スケールの一部を溶解して稠密層厚さを低減させること目的として、S G 器内構造物への 影響が少なく、スケール脆弱化効果が期待できる洗浄条件を設定した。

	設定条件	根拠
EDTA*濃度	~ 3 %	鉄の溶解量はEDTA濃度に依存するため、高いスケール脆弱化効果を得るためには、洗浄液中のEDTA濃度は高いほうが望ましい。 →S G器内構造物への影響を考慮して、国内実機適用実績の最大濃度3 %を上限に設定
温度	100 ℃	 温度が高いほど鉄との反応が進行するため 80 ℃よりも高温側が望ましい。 →洗浄時のSG器内が均一になること、および作業安全の観点から沸騰しない温度として、 100℃を上限に設定
時間	24 時間	 薬品洗浄実績から、24時間で鉄溶解が完了している。 →洗浄時間は24時間で設定

■ ラボ試験では、スケールのみでSG器内スラッジを模擬しており、実機に存在する反応面積が大きい粉末状のスラッジを実際に共存させた試験は実施していなかった。



図1 スケール回収画像(C-SG 第一管支持板) (高浜発電所4号機前回(第23回)定期検査の薬品洗浄前)

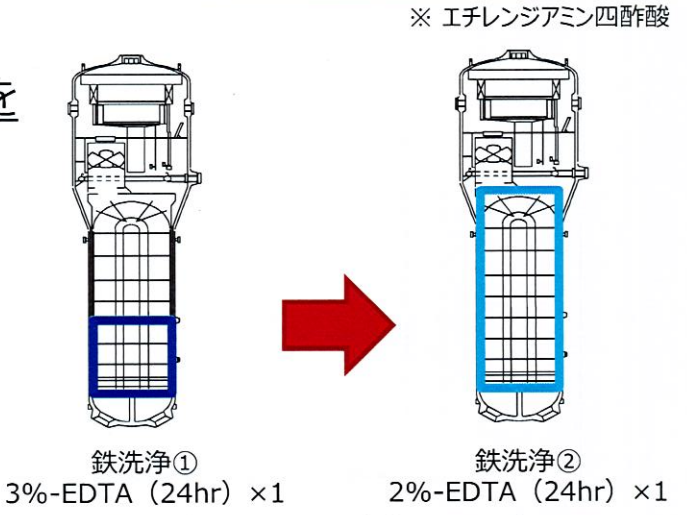


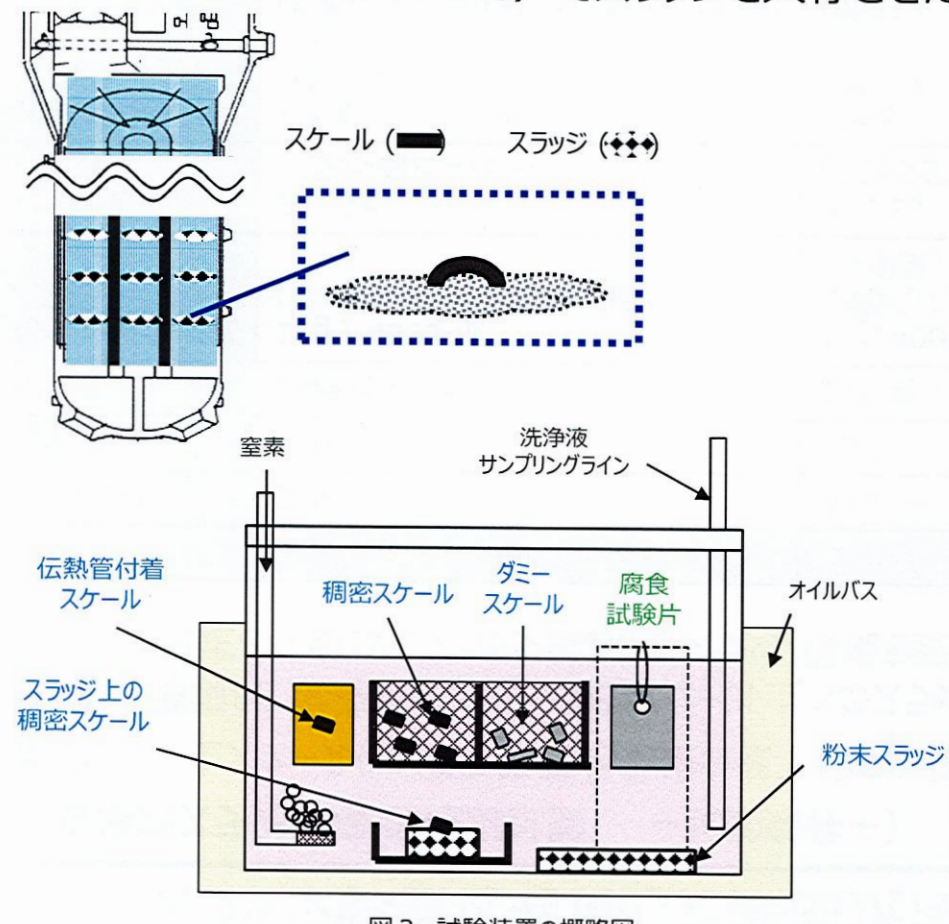
図2 実機での薬品洗浄のステップ (高浜発電所4号機前回(第23回)定期検査時)

スラッジ影響を考慮した薬品洗浄工場試験結果(2/5)

(SG器内スラッジの影響確認試験)

- SG器内スラッジ量は、SG器内全体の鉄量に比べ、大きな割合を占めるものではないが、表面積が大きいスラッジが共存することにより、スケールの脆弱化効果を低減する可能性が考えられる。
- そこで、スラッジ共存環境下における洗浄効果に対する影響を確認するため、前回の薬品洗浄 条件(EDTA3%+2%)でスラッジを共存させた試験を実施した。

項目



伝熱管付着スケール	伝熱管に付着したスケールを模擬した、 スケールの片側からの洗浄効果を確認 するための試験片
稠密スケール	洗浄前後のスケール減量や稠密層の変 化を評価するための試験片
ダミースケール	試験容器内の洗浄液/スケール量を調整するためのスケール(洗浄前後の固体を区別しない)
スラッジ上の稠 密スケール	スラッジ上に落下したスケールに対する 洗浄効果を確認するための試験片
粉末スラッジ	試験容器内の洗浄液/スラッジ量を調整するためのスラッジ
腐食試験片	実機の構成材料の腐食量を評価する 試験片 (接液面積比は実機を模擬)

目的

図3 試験装置の概略図

《付資料-32(3/5

スラッジ影響を考慮した薬品洗浄工場試験結果(3/5)

(SG器内スラッジの影響確認試験 -試験条件-)

- スラッジ上スケールに対する脆弱化効果の低下傾向を確認(試験①)
- 実機環境は、共存するスラッジ量やスケール上へのスラッジ堆積状況が多種多様であり、洗浄効果が異なることが想定されるため、スラッジ量およびスラッジ環境を変更した影響確認試験を実施(試験②, ③)

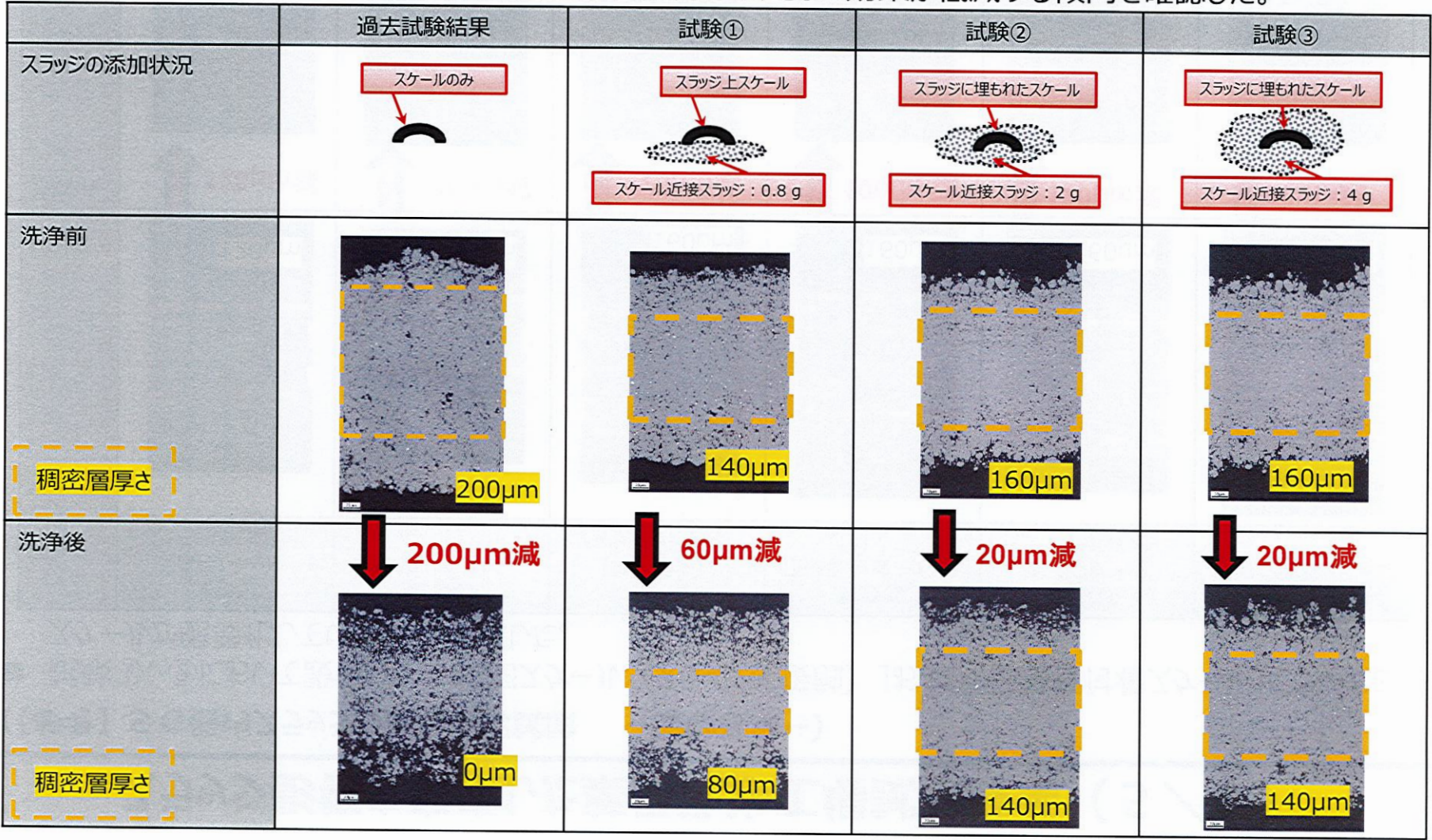
	試験①	試験②	試験③
EDTA濃度	3 % → 2 %	3 % → 2 %	3 % → 2 %
温度	100℃	100℃	100℃
時間	24時間 x 2回	24時間 x 2回	24時間 x 2回
スケール・スラッジ量 /液量	11g / 400g-液 (SG器内想定鉄量の1.5倍)	14g/400g-液 (試験①にスケール量を合わせ、スラッ ジを増量)	11g / 400g-液 (試験①に鉄量を合わせ、スラッジを増 量)
スケール量: スラッジ量	9g:2g (スラッジ割合=18%)	9g:5g (スラッジ割合=36%)	7g:4g (スラッジ割合=36%)
想定鉄量内訳	・スケール 9 g ・稠密(個体) 1枚 ・スラッシ゛ 2 g (粉末スラッジ:1.2g+スケール近接スラッジ:0.8g) ・スラッシ゛上スケール 1枚 ・伝熱管スケール 1枚	 ・スケール 9 g ・稠密(個体) 1枚 ・スラッシ* 5 g (粉末スラッシ*:3g+スケール近接スラッシ*:2g) ・スラッシ*上スケール 1枚 ・伝熱管スケール 1枚 	・スケール 7 g ・稠密(個体) 1枚 ・スラッシ゛ 4 g (粉末スラッジ:0g+スケール近接スラッジ:4g) ・スラッシ゛上スケール 1枚 ・伝熱管スケール 1枚
試験環境	スラッジ上スケール スケール近接スラッジ: 0.8 g	スラッジに埋もれたスケール スケール近接スラッジ:2g	スラッジに埋もれたスケール スケール近接スラッジ:4 g

付資料-32(4/5

スラッジ影響を考慮した薬品洗浄工場試験結果(4/5)

(SG器内スラッジの影響確認試験 -試験結果-)

- 試験の結果、スラッジとスケールが接していなければ十分な脆弱化効果があるが、<u>スラッジと接していると脆弱化</u>効果が低減することを確認した。
- また、スケール上にスラッジが堆積しているような状況では、さらに効果が低減する傾向を確認した。



6付資料-32 (5/5

スラッジ影響を考慮した薬品洗浄工場試験結果(5/5)

(【参考】SG器内スラッジの影響確認試験 - 試験結果-)

■ 試験①、②において設置した、「稠密スケール(スラッジ非接触)」および「伝熱管付着スケール」についても、 スケールが脆弱化していることを確認した。

	試験① 稠密スケール (スラッジ非接触)	試験① 伝熱管付着スケール	試験② 稠密スケール (スラッジ非接触)	試験② 伝熱管付着スケール	試験③ 稠密スケール (スラッジ非接触)	試験③ 伝熱管付着スケール
洗浄前						
稠密層厚さ	120µm 120µm減	100µm 100µm減	160µm 120µm減	160µm 100µm減	160µm 120µm減	<mark>100μm</mark> 80μm減
		7.8%				
 - 稠密層厚さ	<u>0μm</u>	<mark>0μm</mark>	<u>40μm</u>	60μm	<u>40µm</u>	<u>20μm</u>

スケールによる伝熱管の減肉メカニズム調査の流れ

- ○以下の試験および解析により、回収したスケールが伝熱管に有意な減肉を与えうるメカニズムを調査した。
- ○各試験および解析については、実機条件を模擬して行った。

①減肉痕の確認と接触状態の推定

・小型カメラによる目視点検により、過去と同様に スケールによる減肉痕と推定されることを確認し、 スケールの接触状態を推定



<試験>

②減肉痕との接触状態の再現

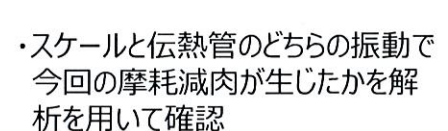
- ・実機二相流相当のモックアップ試験により、①で推定した接触状態の再現性を確認
- ・再現性が確認できた場合は、以下の解析および試験を実施



<解析>

<試験>

③摩耗形態の推定



・推定にあたっては、両者の摩耗の 仕事率(ワークレート)を算出、 比較し、実機の摩耗減肉量が得 られるのはどちらになるかを確認



・伝熱管、スケールを模擬した装置により摩耗減肉 を発生させ

減肉試験

4) - 2 E C T モックアップ試験



・減肉試験により得られた摩耗減 肉形状と同等の人工欠陥を与え た伝熱管のECT信号を取得 し、実機ECT信号と比較

ることで摩耗減肉形状を推定

⇒①で推定した接触状態で今回 の摩耗減肉形状が得られること を確認

⑤摩耗体積の評価

・③のワークレートを用いて算出した摩耗体積と、④ – 2の人工欠陥の体積との比較を実施 ⇒①で推定した接触状態により今回の摩耗量が1サイクルで発生し得ることを確認

スケールと伝熱管の接触時における摩耗形態の推定について

スケールとの接触で伝熱管が摩耗する場合、スケール片の振動により摩耗するケースと 伝熱管の振動により摩耗するケースが考えられるため、両ケースの可能性について検討し た。

1. スケール振動のケース

スケールが振動するには、端部が固定された状態で流体力を受けて振動する必要があるため、本ケースではスケールの端部が拘束された片持ち梁の状態を想定する。この想定に基づき図1のとおり計算モデル*1を設定し、ワークレート*2の計算を行った。

- *1 片端が固定されたスケール片が流体力により1次モードで振動。
- *2 摩耗体積を評価する一般式 (Archard の式) で用いられる摩耗を生じさせる仕事率で、 次のとおり、押付力と摺動速度の積で表現される。

<Archard の式>

 $V = W_S \times W_R \times T$

V: 摩耗体積

Ws:比摩耗量(材質の組合せと摩耗モードで決まる材料係数: スケールと伝熱管の摩耗試験により取得)

 $W_R: ワークレート (下記参照)$

T: 運転時間

<ワークレート計算式>

 $W_R = F \times 2L / \zeta \times f$

 $W_R: \mathcal{D}-\mathcal{D} \mathcal{V}-\mathcal{F}[W]$

F:押付力[N]

L:静的振幅[m]

ζ:接触物の減衰比[%]

f:固有振動数[Hz]

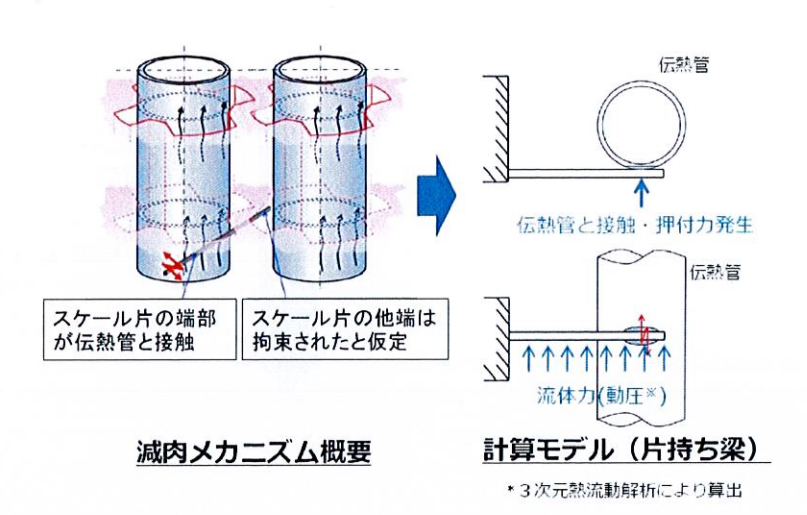


図1 スケールの接触状態の計算モデル化概要 (スケール振動ケース)

この結果、今回、外面減肉が見つかった伝熱管付近において、高浜発電所4号機前回(第23回)および今回(第24回)定期検査にて伝熱管を減肉させたと推定されたスケールのうち最大のものをスケール形状として想定した場合、いずれも流体力を受ける面積が小さく、有意なワークレートは発生しないことを確認した。ワークレート計算結果を表1に示す。

表1 スケール振動のワークレート計算結果

評価伝熱管	スケール 形状 (mn)	押付力 (N)	ワークレート (mW)	実機減肉量 再現可能性	備考
A - S G X39, Y1	23×11×0. 3*3	1	< 0. 01	×	実機減肉量を再現するに は 1mW オーダーのワーク
A — S G X24, Y1	23×11×0. 3*3	1	< 0. 01	×	レートが必要
A – S G X26, Y9	23×11×0, 3*3	1	< 0, 01	×	
A — S G X26, Y10	23×11×0. 3*3	1	< 0. 01	×	
A - S G X87, Y2	23×11×0. 3*3	1	< 0. 01	×	
B — S G X84, Y9	23×11×0. 3*3	1	< 0. 01	×	
B — S G X69, Y3	23×11×0. 3*3	1	< 0. 01	×	
C — S G X37, Y22	23×11×0. 3*3	1	< 0.01	×	
C — S G X89, Y3	23×11×0. 3*3	1	<0.01	×	
C — S G X39, Y5	23×11×0, 3*3	1	< 0. 01	×	
C — S G X86, Y8	23×11×0. 3*3	1	< 0.01	×	
C — S G X71, Y5	23×11×0. 3*3	1	< 0. 01	×	

^{*3}高浜発電所4号機前回(第23回)および今回(第24回)定期検査にて伝熱管を減肉させたと推定されたスケールのうち最大のもの

2. 伝熱管振動のケース

本ケースでは、スケールが流体力によって管支持板下面で保持され、接触する伝熱管のランダム振動*4により伝熱管自身に減肉が発生したことを想定する。本想定下では、管支持板部の伝熱管の振幅は、伝熱管と管支持板BEC穴ランド部*5の隙間の範囲に制限される(図2参照)。

- *4 蒸気と水が伝熱管に衝突する力と、伝熱管の周りに生じる流れの乱れによって伝熱管が振動する現象。
- *5 管支持板に加工されている四ツ葉型管穴のうち凸面部。

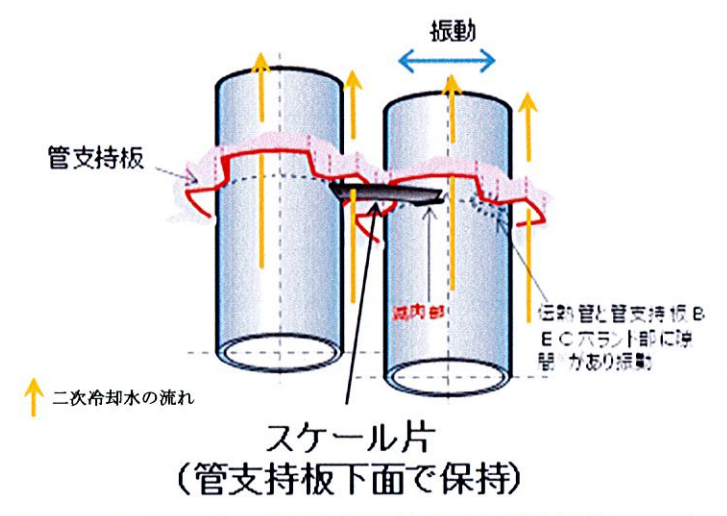


図2 スケール片の接触状態の想定(伝熱管振動ケース)

そこで、本想定の実機との整合性を確認するため、減肉が認められた伝熱管について、管支持板のBEC穴ランド部との隙間を目視にて確認した結果、一定の隙間が認められた(図3参照)。

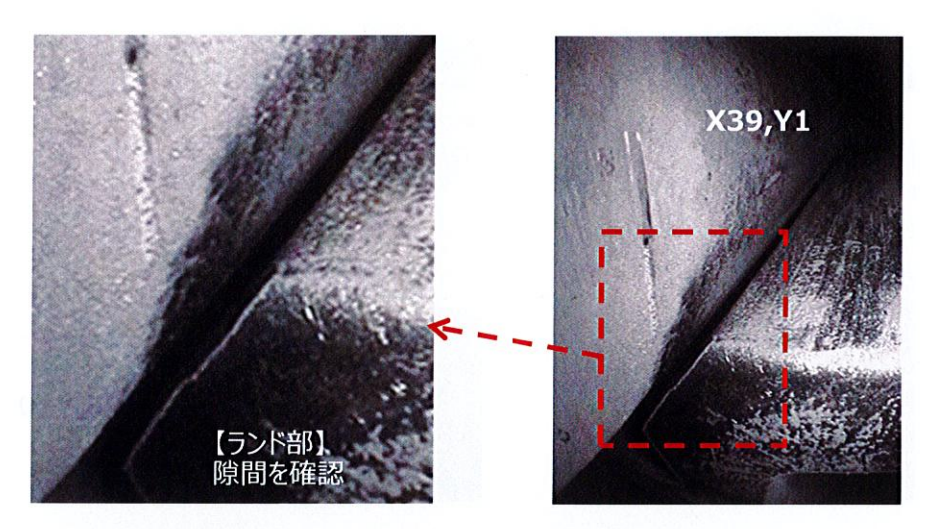


図3-1 伝熱管とランド部の隙間確認結果 (A-SG: X39, Y1)

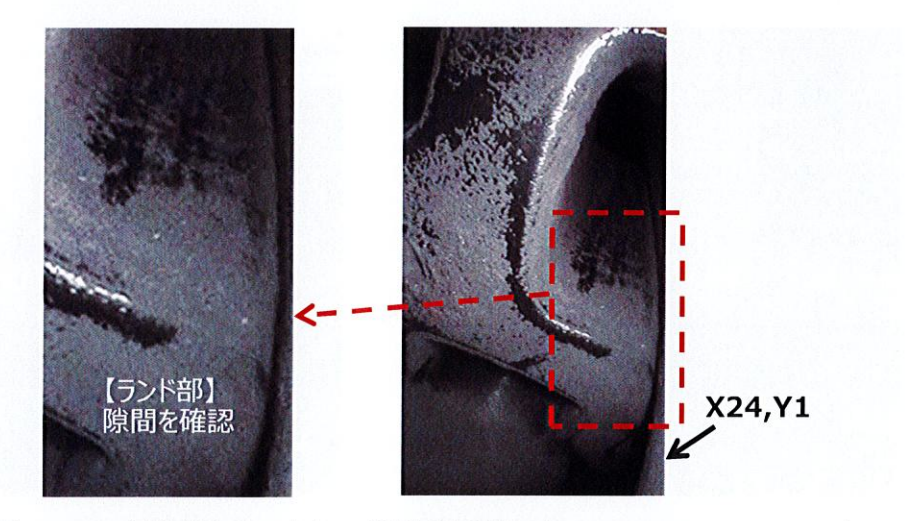


図3-2 伝熱管とランド部の隙間確認結果(A-SG: X24, Y1)

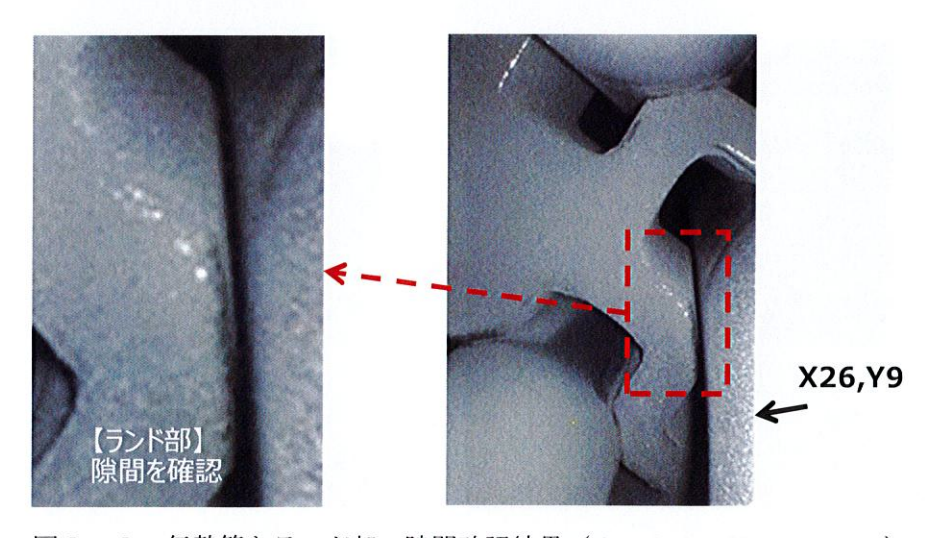


図3-3 伝熱管とランド部の隙間確認結果(A-SG: X26, Y9)

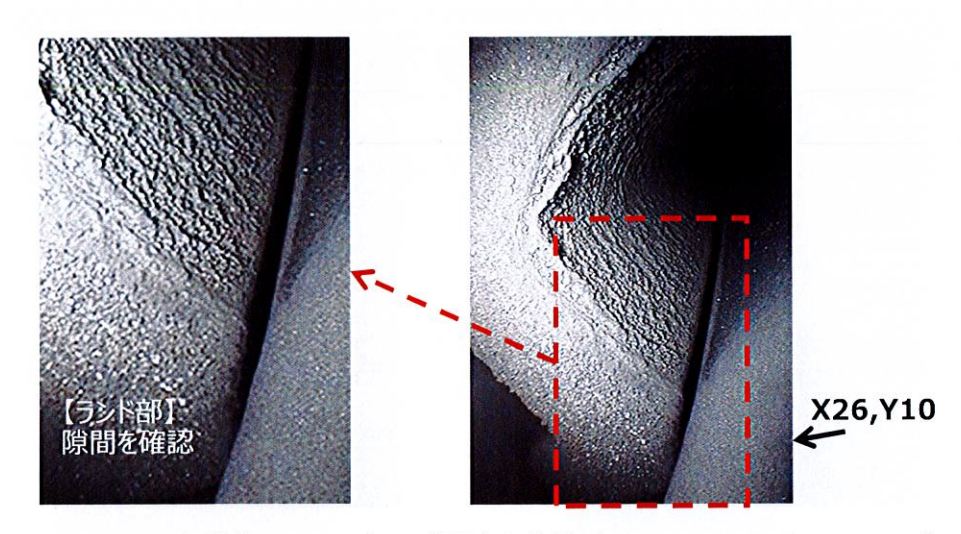


図3-4 伝熱管とランド部の隙間確認結果(A-SG: X26, Y10)

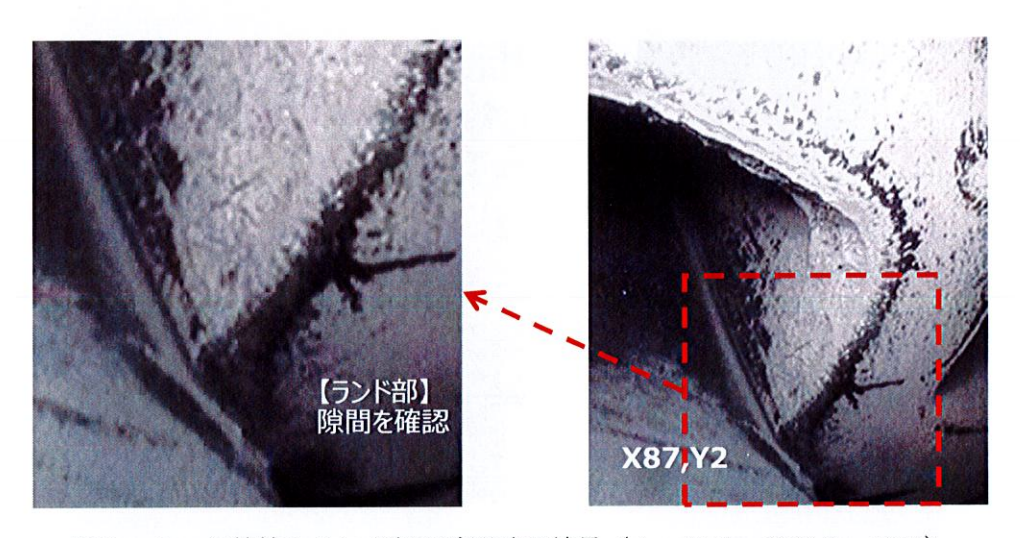


図3-5 伝熱管とランド部の隙間確認結果(A-SG: X87, Y2)

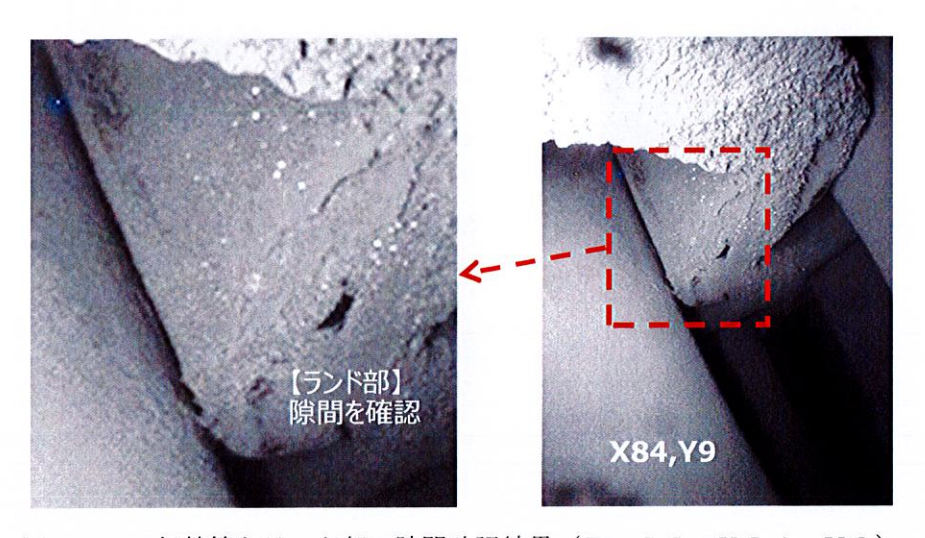


図3-6 伝熱管とランド部の隙間確認結果 (B-SG: X84, Y9)

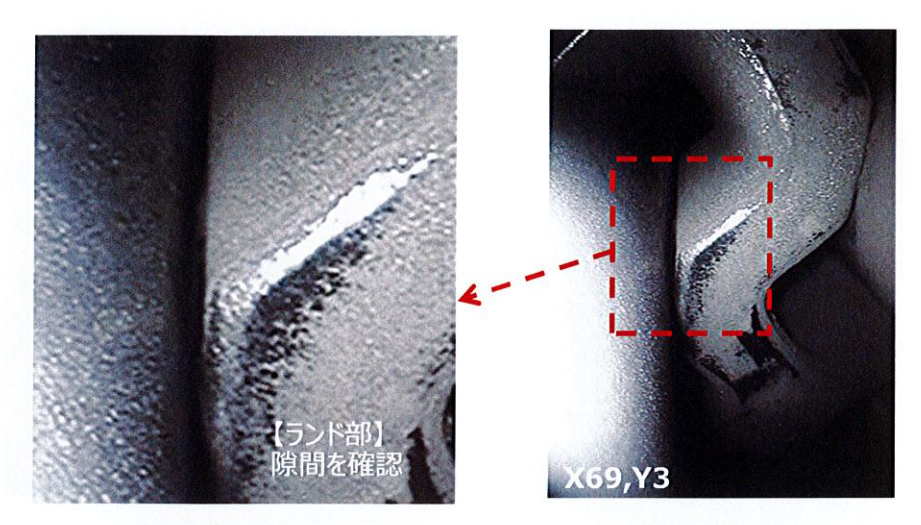


図3-7 伝熱管とランド部の隙間確認結果 (B-SG: X69, Y3)

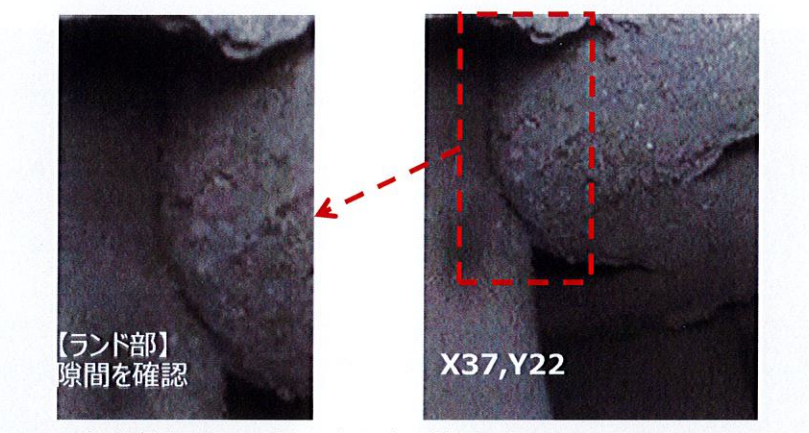


図3-8 伝熱管とランド部の隙間確認結果(C-SG: X37, Y22)

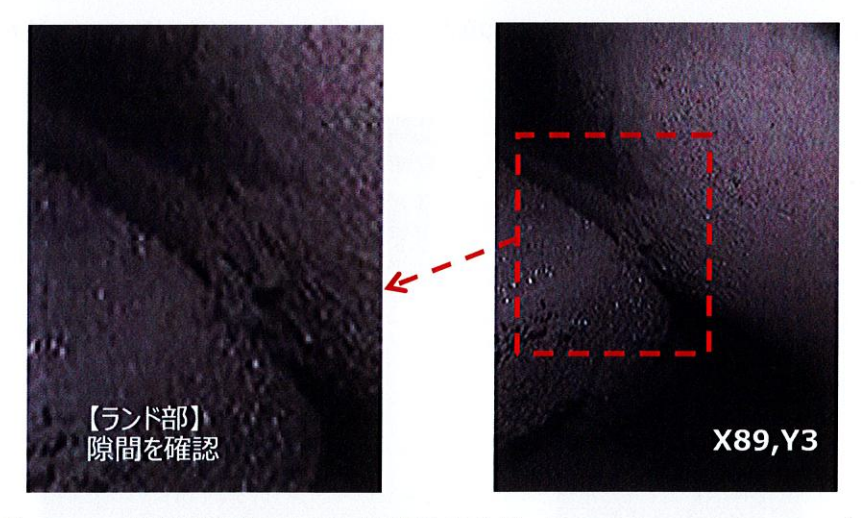


図3-9 伝熱管とランド部の隙間確認結果 (C-SG: X89, Y3)

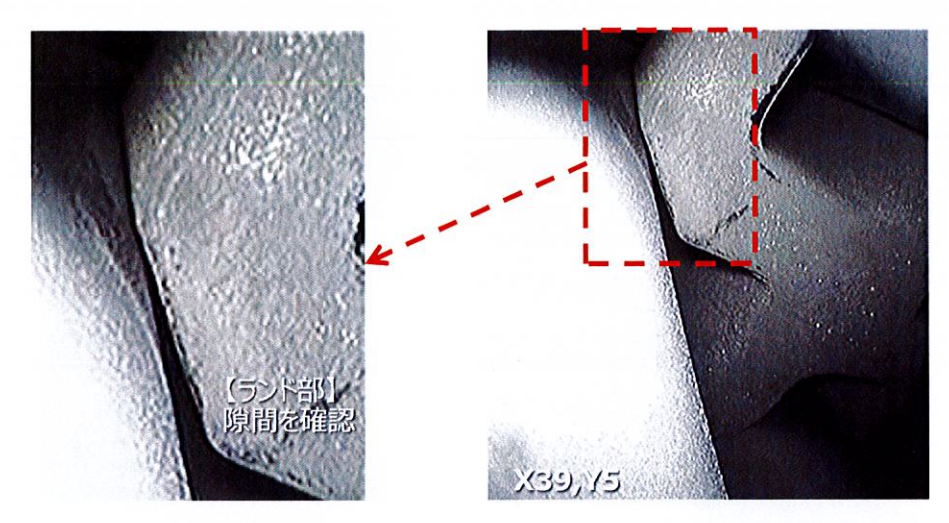


図3-10 伝熱管とランド部の隙間確認結果 (C-SG: X39, Y5)

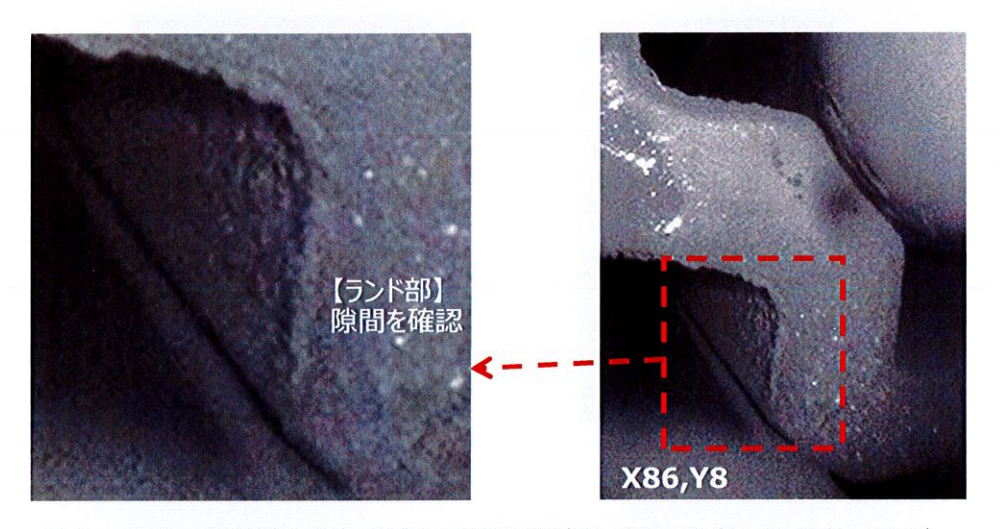


図3-11 伝熱管とランド部の隙間確認結果 (C-SG: X86, Y8)

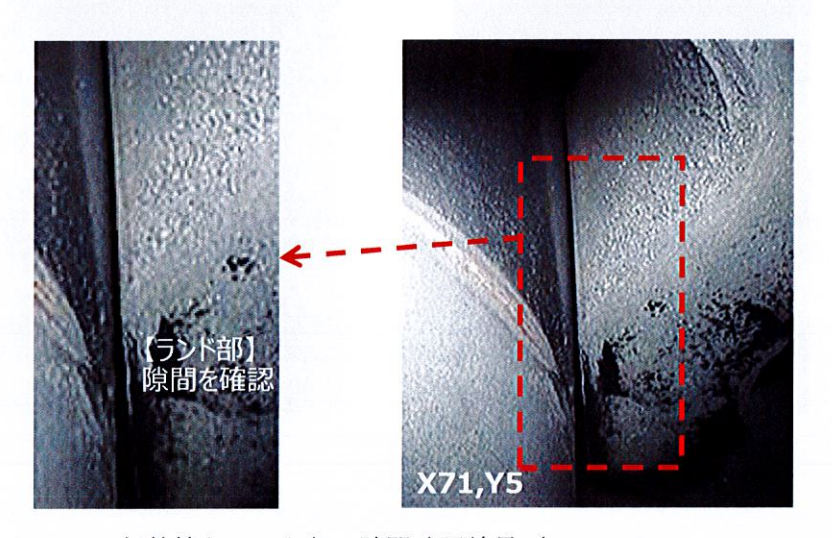


図3-12 伝熱管とランド部の隙間確認結果 (C-SG: X71, Y5)

この確認結果より、本想定は実機と整合しているものとし、今回外面減肉が見つかった 12本の伝熱管についてワークレートの試算*6を行った(表2参照)。その結果、伝熱管 振動の場合はスケール片振動のケースに比べて十分大きなワークレートが得られること を確認した。

*6 伝熱管振動の場合は、流動振動解析を用いてワークレートを算出する(算出方法の概要は「参考」参照)。

評価伝熱管	押付力(N)	ワークレート (mW)	実機減肉量 再現可能性
A-SG X39, Y1		約3	
A-SG X24, Y1		約 3	
Λ-SG X26, Y9		約 2	
A-SG X26, Y10		約 2	
A-SG X87, Y2		約 3	
B-SG X84, Y9	ole e	約3	
B-SG X69, Y3	約 1	約3	O
C-SG X37, Y22		約1	
C-SG X89, Y3		約3	
C-SG X39, Y5		約 3	
C-SG X86, Y8		約 2	
C-SG X71, Y5		約3	

表2 伝熱管振動のワークレート試計算結果

3. 結論

以上のとおり、スケール片振動では有意なワークレートは発生しないが、伝熱管振動では有意なワークレートが発生することを確認したため、今回の減肉事象は伝熱管振動によるものと推定した。

<参考>

流動振動解析によるワークレートの算出方法について、以下にB-SG(X84,Y9)の場合を例に概要を示す。

参1-1. ワークレート計算の考え方(図4参照)

- ・伝熱管は蒸気-水二相流の流れの乱れ(平均流速に対する変動)により振動し、スケールとの接触部が減肉すると想定する。
- ・流れの乱れによる励振力(ランダム励振力)は、熱流動解析で得られた時間平均流速・ 密度分布と、試験で得られた圧力変動データから設定する。
- ・伝熱管全体をモデル化し、ランダム励振力による振動応答解析を実施することで、ワークレートを算出する。

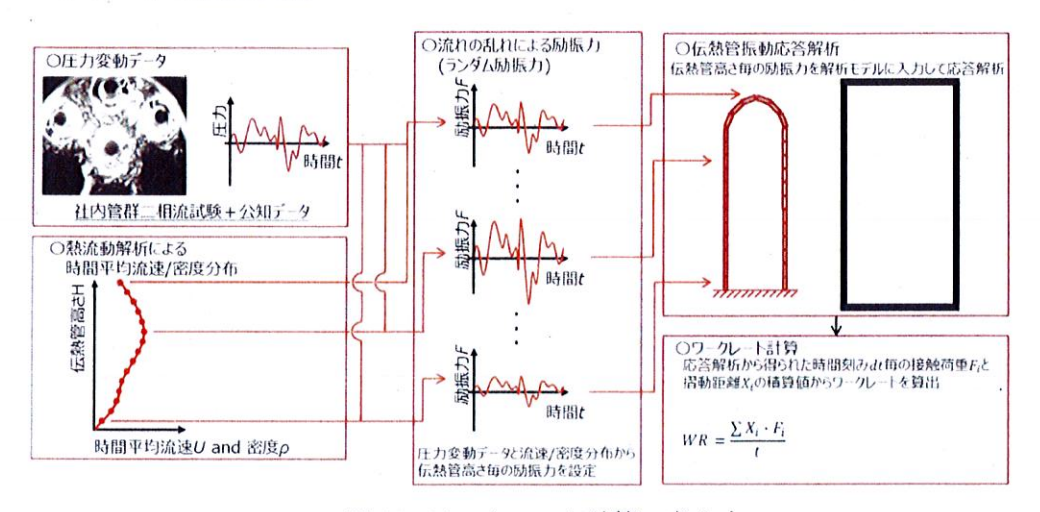


図4 ワークレート計算の考え方

参1-2. 熱流動解析 (図5参照)

- ・熱流動解析にて当該伝熱管の直管部全長の流速・密度分布を算出する。
- ・熱流動解析より得られた流速・密度分布および既知の圧力変動データ(管群二相流試験等)から、振動応答解析(参1-3.項参照)の入力条件となる励振力を算出する。

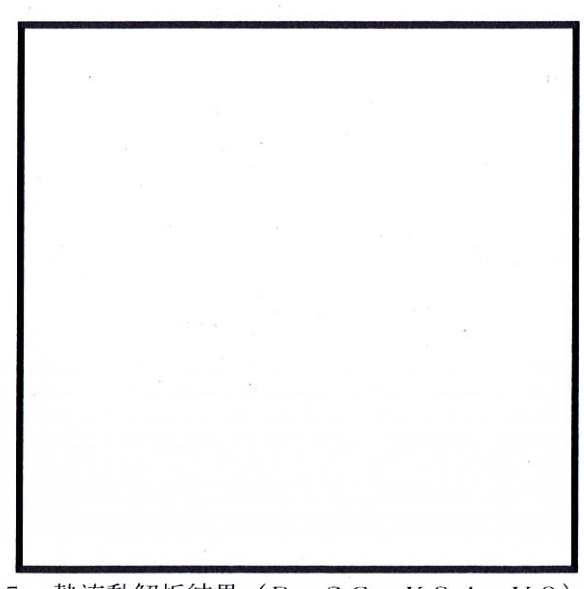


図5 熱流動解析結果 (B-SG: X84, Y9)

: 枠組みの範囲は機密に係る事項ですので公開することはできません。 - 178 -

参1-3. 振動応答解析 (図6参照)

- ・振動応答解析の計算モデルには、スケールの接触・摺動を考慮し、管支持板下面の位置でスケール片から押付力を受けるものとする。
- ・参1-2. 項で算出した励振力を入力して振動応答解析を行い、時間とともに変化する 摺動距離、押付力を算出し、それらを積算することでワークレートを算出する。

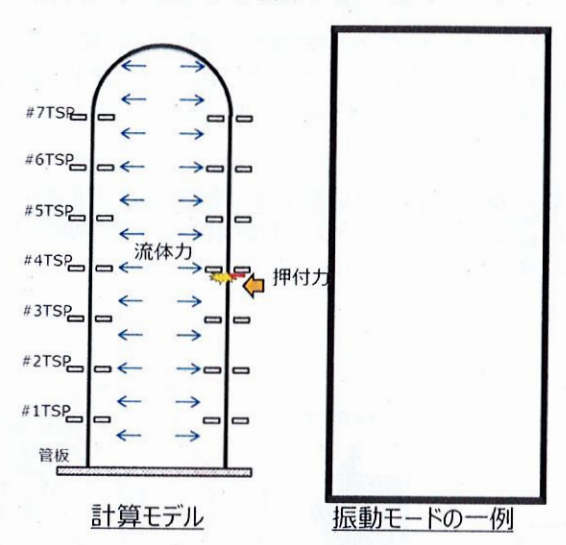


図6 振動応答解析結果(B-SG: X84, Y9)

スケールと伝熱管の接触時における摩耗形態の推定について (スケールによる最大減肉深さに係る考察)

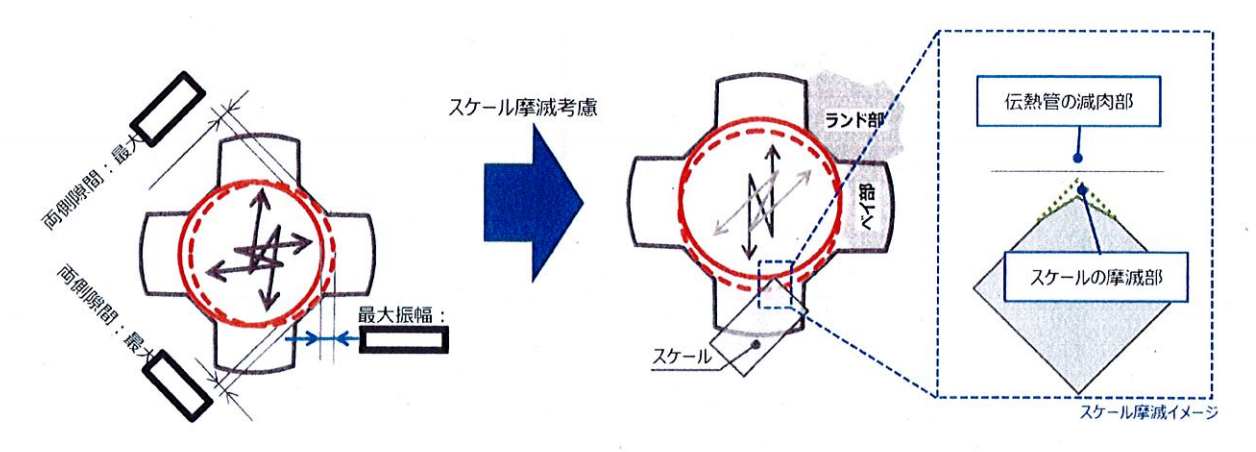
<スケールと異物の減肉メカニズムの考察>

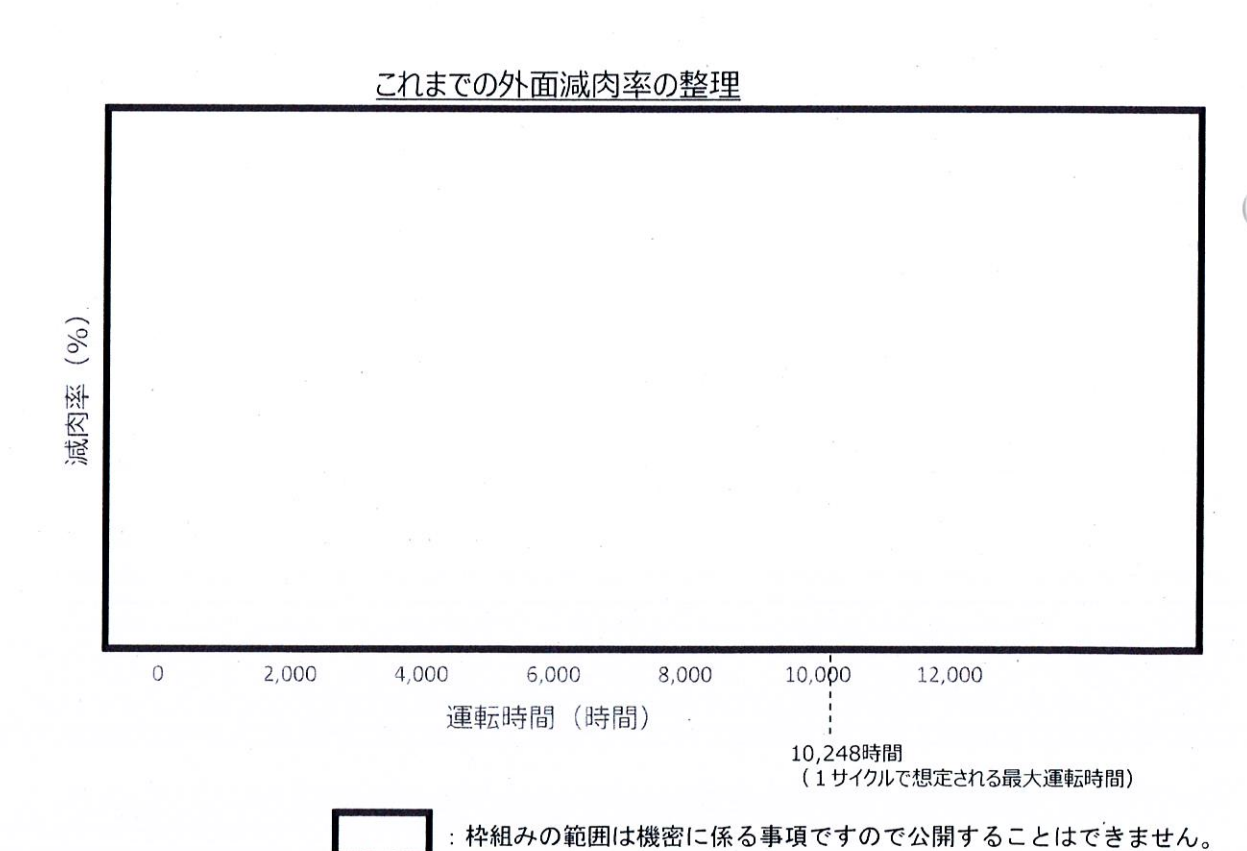
- ○スケールが伝熱管に摩耗減肉を与える<u>メカニズムは、次のとおりであり、異物の場合と同じ</u>である。
 - ・流体力で振動する伝熱管が、上昇流で管支持板下面に押付けられたスケールに接触すると、接触部で伝熱管は摺動
 - ・このとき、スケールが伝熱管との摺動で破損しなければ、摺動は継続し、伝熱管には摩耗減肉が発生
 - ・比摩耗量についても、スケールと異物 (SUS304で6.6×10-15 m²/N) は同等
- ○ただし、同じ比摩耗量、同じワークレートで摺動し続けたとしても、最終的な摩耗減肉量は異物の場合より小さい。
 - ・スケールは微細な粒子で構成されるため、伝熱管との摺動で、自身が摩滅(構成粒子が脱落、又は微細な折損)
 - ・伝熱管と接触しなくなるまで自身の摩滅が進むと、その時点で伝熱管の摩耗減肉の進展は停止
 - ・異物の場合は、スケールのような摩滅現象は顕著でないため、異物の方が最終的な摩耗減肉量は大きくなる

〈最大減肉深さの考察〉

- ○減肉メカニズムは異物と同じであり、最大減肉深さの考え方(伝熱管最大振幅に制限)も同じである。
- ○異物の場合の最大減肉深さは * 7となるが、スケールの場合は自身も摩滅するため、最大減肉深さは異物の場合よりも小さくなり、貫通には至らない。

*7公差内での最大ケース





減肉試験による実機摩耗減肉形状の確認について

スケールの接触状態を推定した上で、減肉試験を行い、推定したスケールの接触状態により伝熱管に生じると考えられる摩耗減肉形状を再現した。

1. スケールの接触状態の推定

伝熱管の減肉位置や減肉形状から、スケールの接触状態を図 $1-1\sim1$ 2のように推定した。なお、伝熱管を減肉させたと推定されるスケール(A-SGから回収したスケールをスケールA、B-SGから回収したスケールをスケールBという。)が回収された箇所は、添付資料-22で推定したスケールの接触状態を考慮した。

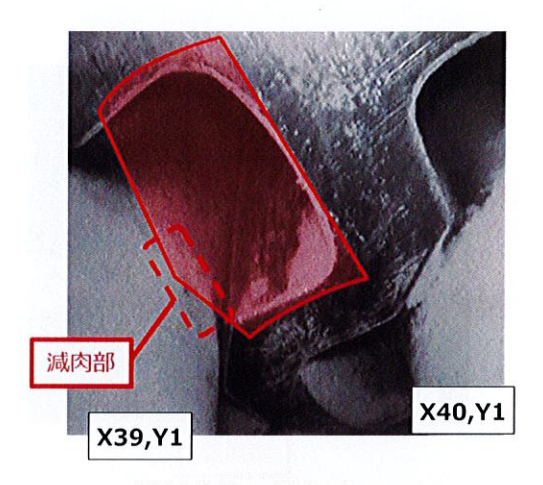


図1-1 スケールの接触状態の推定 (A-SG: X39, Y1)

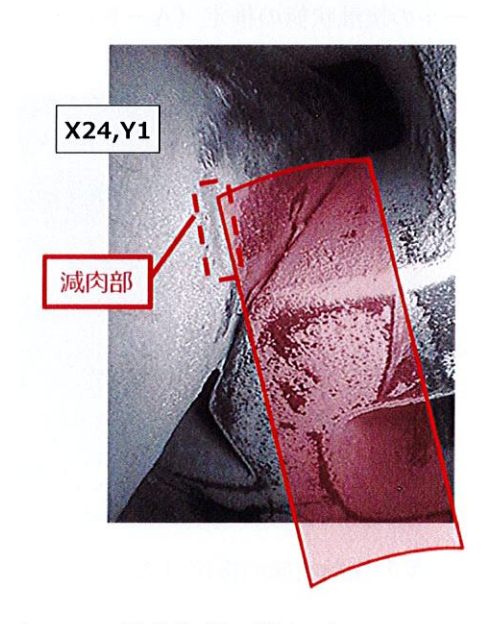


図1-2 スケールの接触状態の推定 (A-SG: X24, Y1)

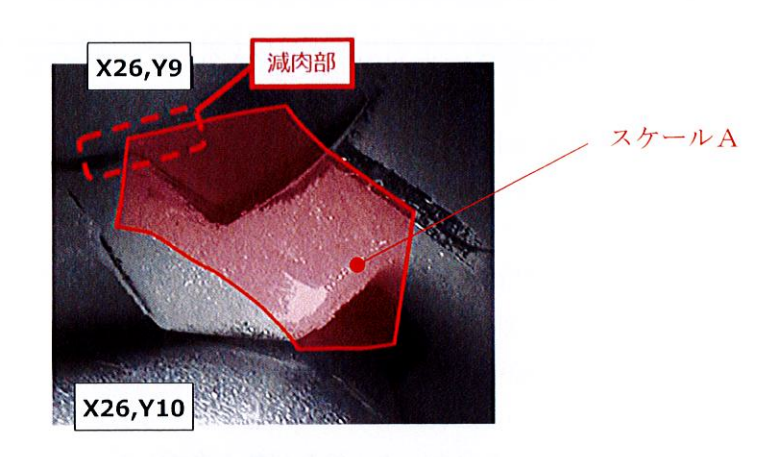


図1-3 スケールの接触状態の推定(A-SG: X26, Y9)

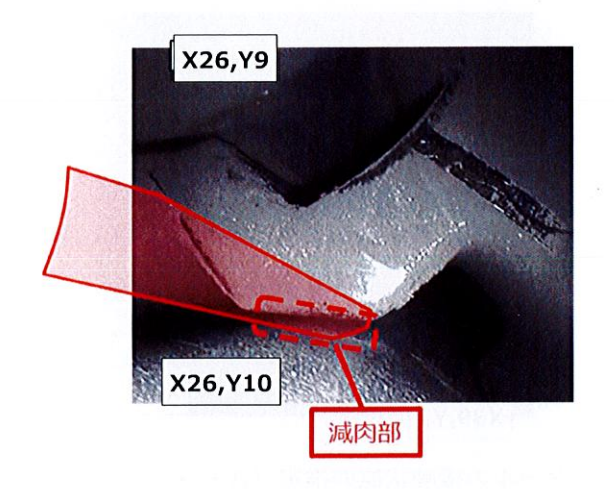


図1-4 スケールの接触状態の推定(A-SG: X26, Y10)

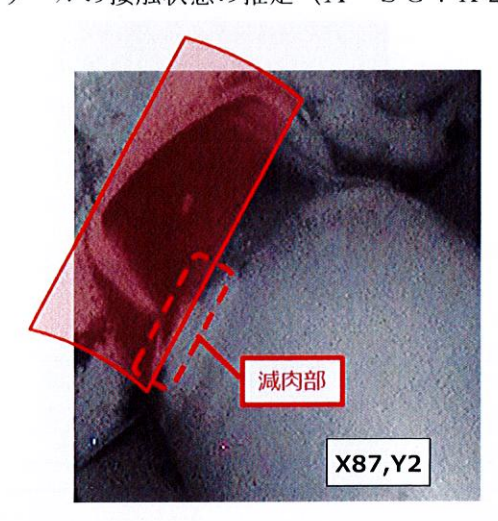


図1-5 スケールの接触状態の推定(A-SG: X87, Y2)

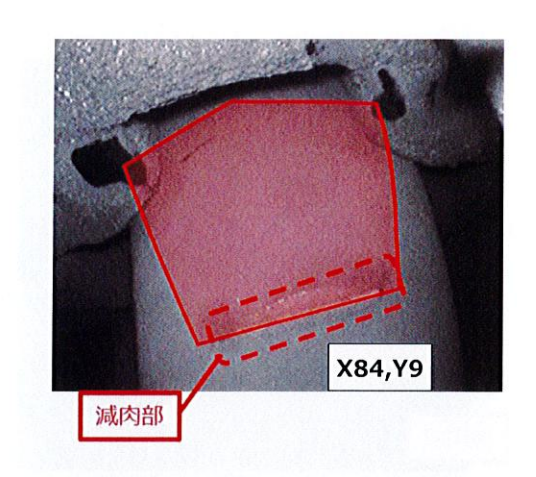


図 1-6 スケールの接触状態の推定 (B-SG:X84,Y9)

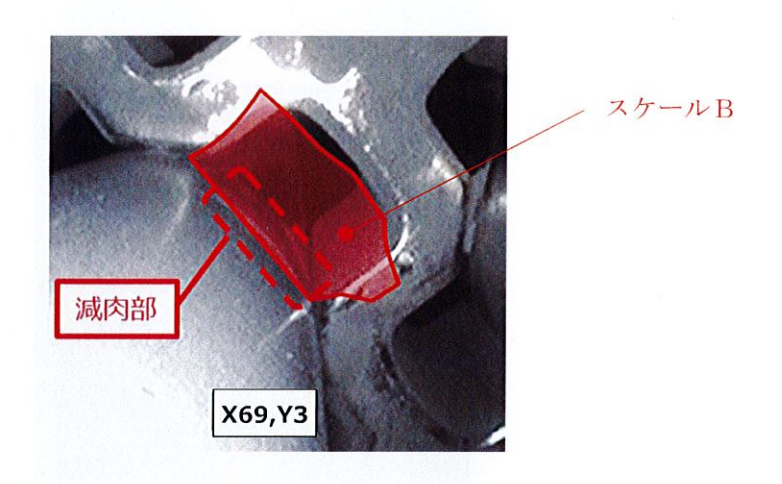


図1-7 スケールの接触状態の推定(B-SG: X69, Y3)

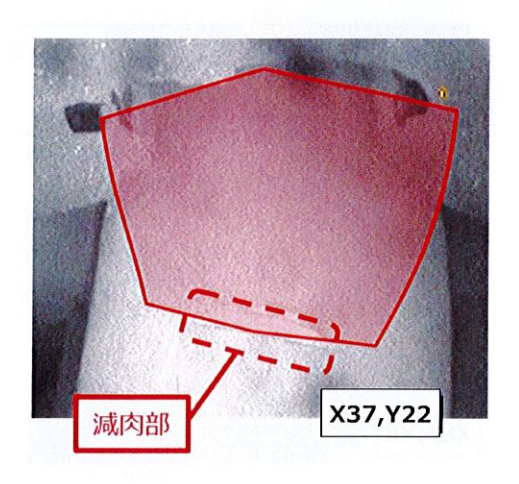


図1-8 スケールの接触状態の推定 (C-SG: X37, Y22)

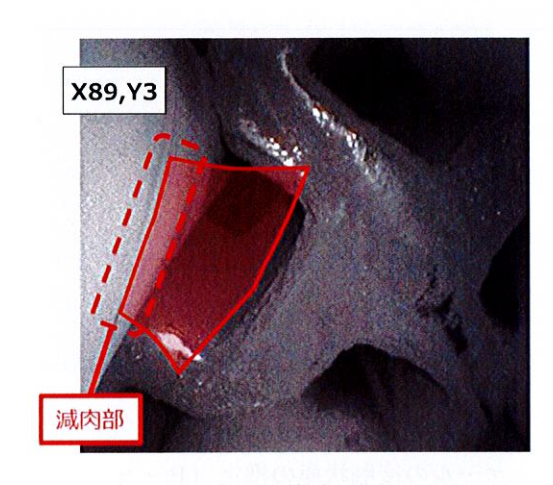


図1-9 スケールの接触状態の推定(C-SG: X89, Y3)

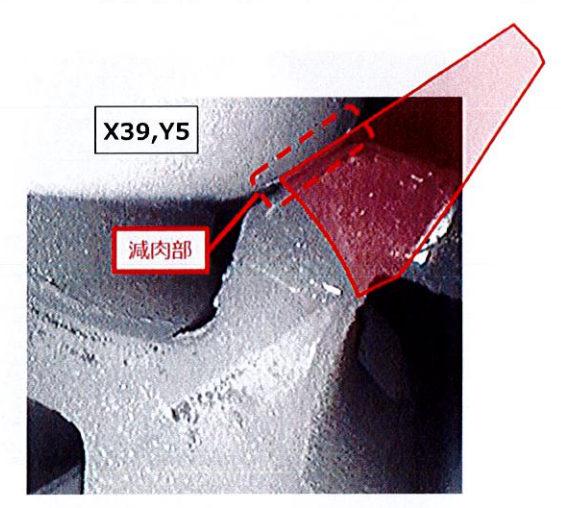


図1-10 スケールの接触状態の推定(C-SG: X39, Y5)

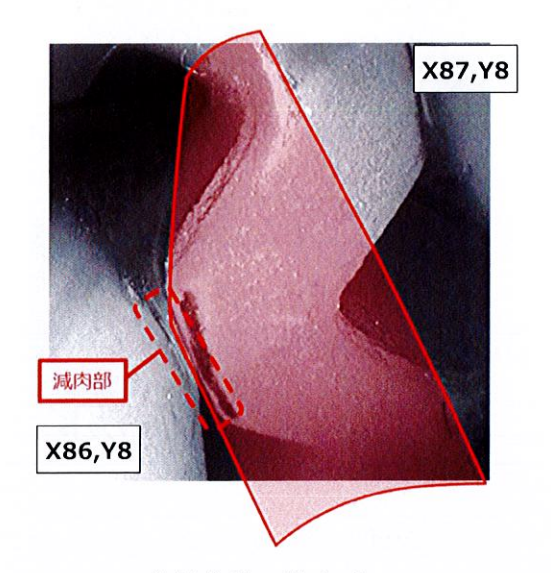


図1-11 スケールの接触状態の推定(C-SG: X86, Y8)

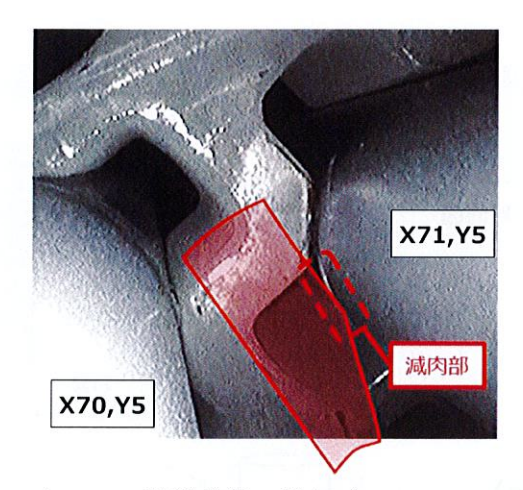


図1-12 スケールの接触状態の推定(C-SG: X71, Y5)

2. 減肉試験の方法

スケール接触状態で伝熱管振動により発生する減肉形状を確認するため、減肉試験を次のとおり実施した。

- ・円柱形状の石膏で伝熱管を模擬し、スケールを模擬したステンレス片との振動接触に より減肉を発生させる。
- ・石膏の減肉形状は試験後の破面観察で確認を行う。 なお、形状把握のため、実機 2 倍のスケールモデルとする。
- ・円柱とステンレス片の接触箇所、接触角度を変化させ、摩耗減肉形状を模擬した。 試験条件にはスケールの接触状態の模擬として、スケールAはスケールの周方向断面 が伝熱管に接触する姿勢、スケールBおよびその他の推定スケールは軸方向断面が伝 熱管に接触する姿勢を考慮した。
- ・試験装置概要を図2-1、試験条件一覧を表2-1に示す。

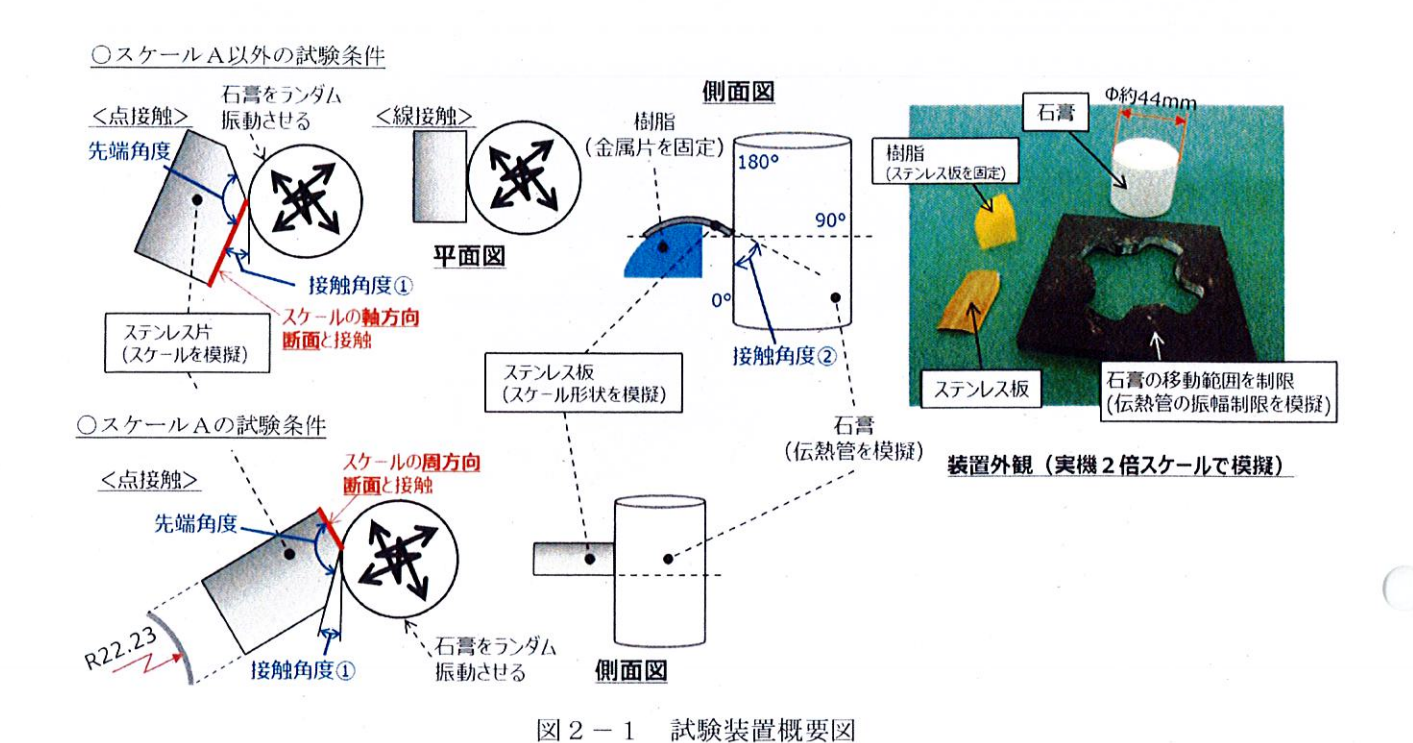


表 2-1 試験条件一覧

5+ 各 广· 表h 经;	振動	接触	接触	接触	ステン	レス片	振動振幅
対象伝熱管	モード	条件	角度 ①	角度 ②	先端角度	厚み	(2倍スケール)
A-SG: X39, Y1		点接触	15°	75°	150°	0.6 mm	
A-SG: X24, Y1		点接触	15°	75°	150°	0.6 mm	€3
A-SG: X26, Y9 (スケールA)		点接触	0°	90°	110°	0.4 mm	
A-SG: X26, Y10		点接触	0°	75°	160°	0.4 mm	
A-SG: X87, Y2		線接触	0°	60°	180°	0.6 mm	
B-SG: X84, Y9	伝熱管	点接触	0°	135°	170°	0.6 mm	
B-SG: X69, Y3 (スケールB)	振動	線接触	0°	120°	. 180°	0.6 mm	
C - SG : X37, Y22		線接触	0°	120°	180°	0.6 mm	
C-SG: X89, Y3		線接触	0°	105°	180°	0.6 mm	
C-SG: X39, Y5		点接触	0°	75°	90°	0.6 mm	
C-SG: X86, Y8	_	点接触	0°	75°	160°	0.6 mm	
C-SG: X71, Y5		点接触	0°	75°	170°	0.6 mm	

3. 減肉試験の結果

減肉試験によって得られた各減肉形状をそれぞれ図 $3-1\sim1$ 2に示す。また、それぞれ取得した減肉形状の寸法を実機相当に補正し整理した結果を表3-1に示す。

	: 枠組みの範囲は機密に係る事項ですので公開する	ことはできません。
Total Control of the		

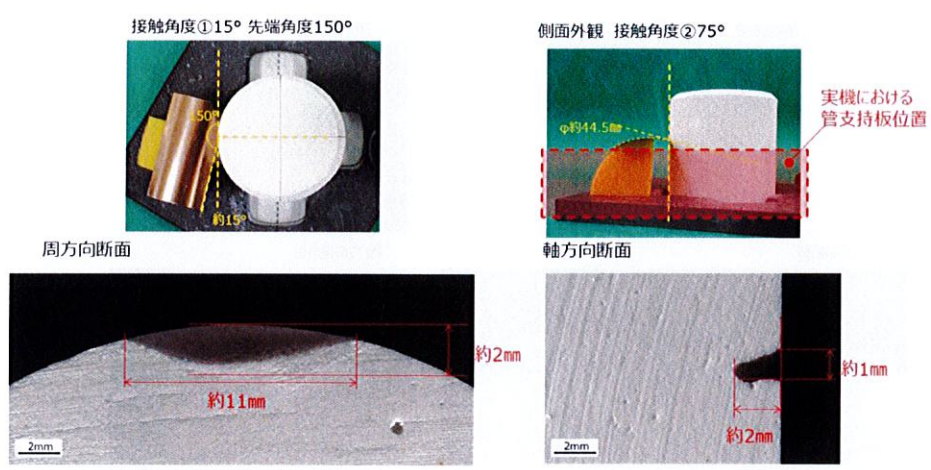


図3-1 減肉試験で取得した減肉形状 (A-SG: X39, Y1)

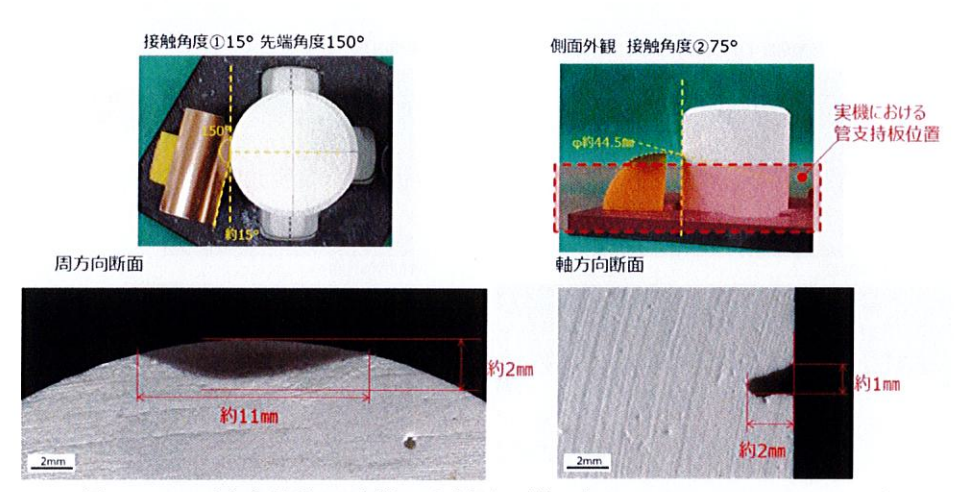


図3-2 減肉試験で取得した減肉形状 (A-SG: X24, Y1)

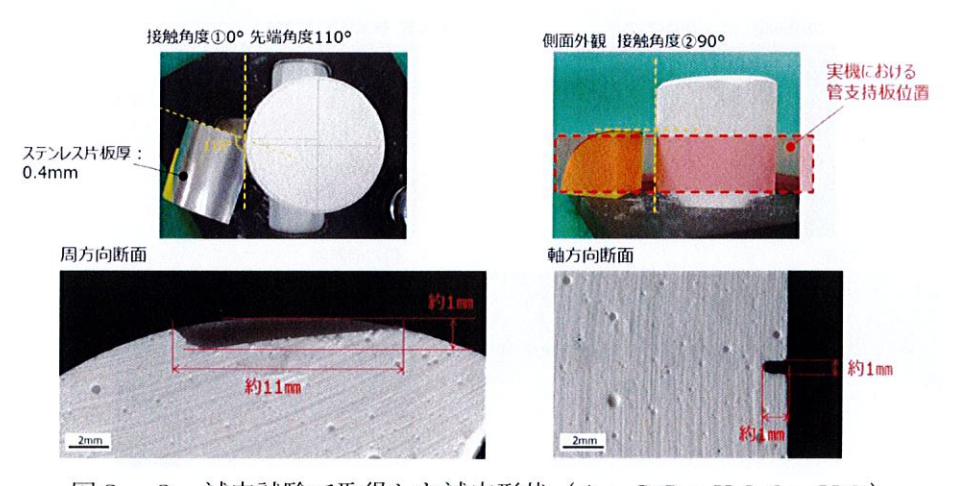


図3-3 減肉試験で取得した減肉形状 (A-SG: X26, Y9)

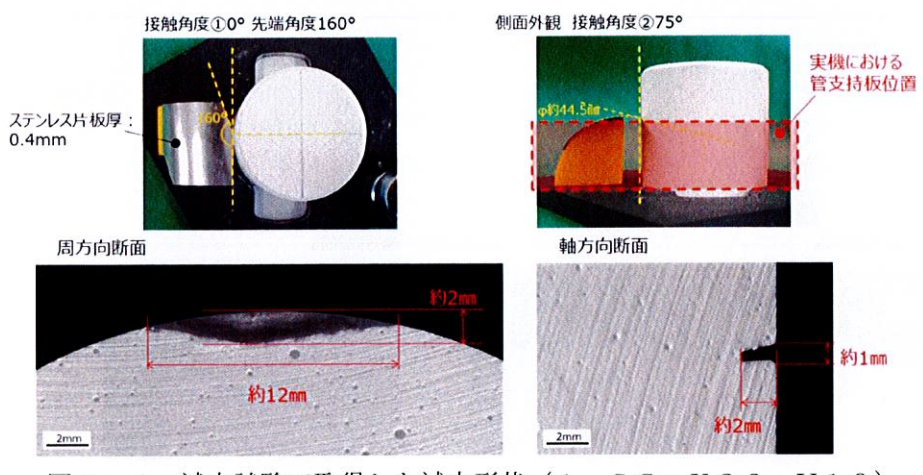


図3-4 減肉試験で取得した減肉形状 (A-SG: X26, Y10)

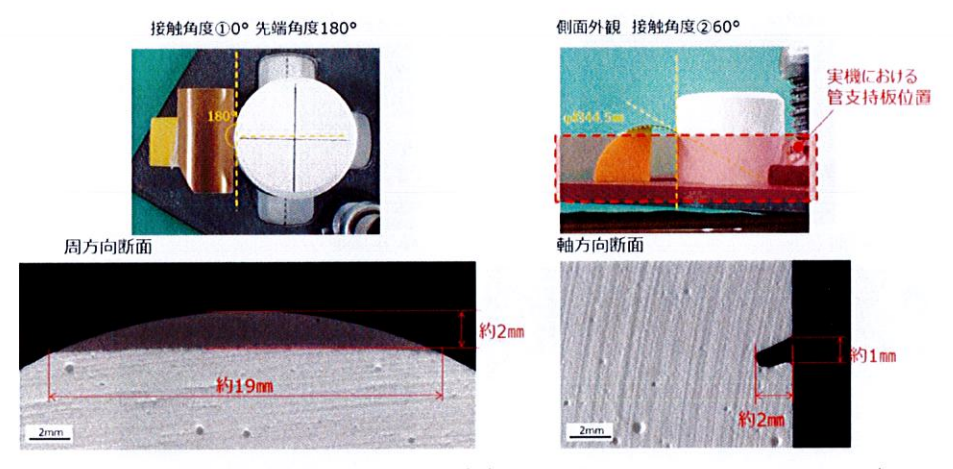


図3-5 減肉試験で取得した減肉形状 (A-SG: X87, Y2)

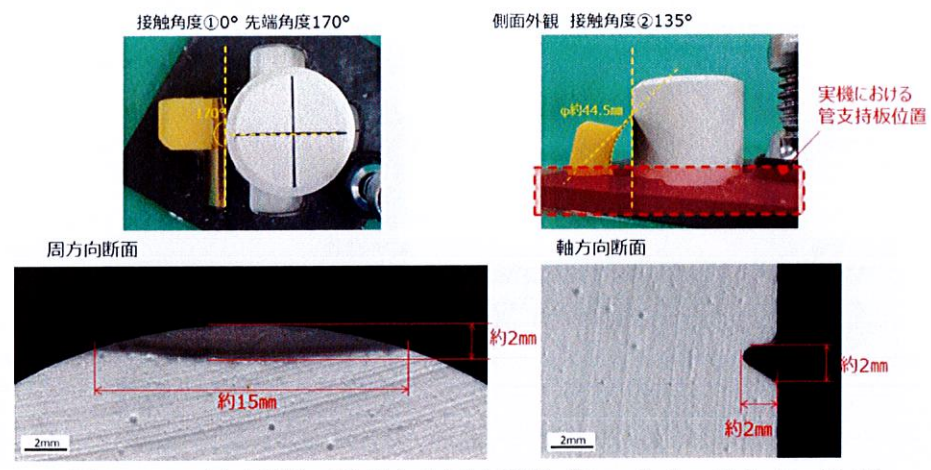


図3-6 減肉試験で取得した減肉形状(B-SG: X84, Y9)

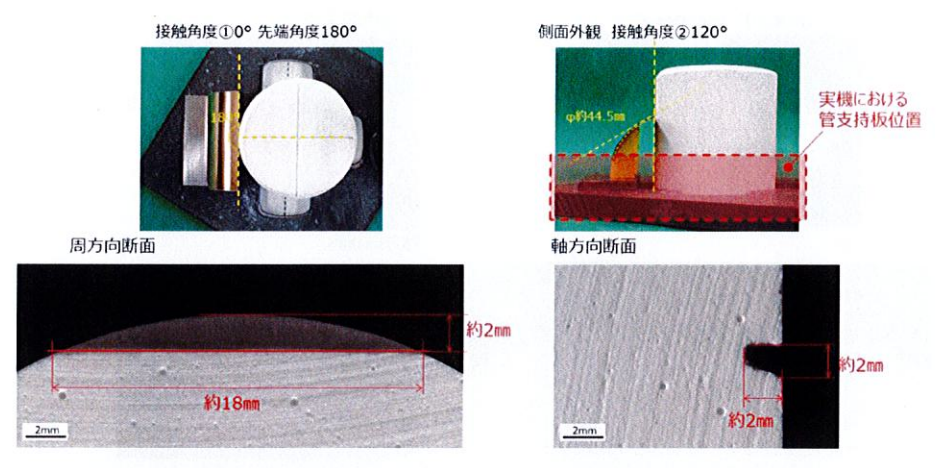


図3-7 減肉試験で取得した減肉形状 (B-SG: X69, Y3)

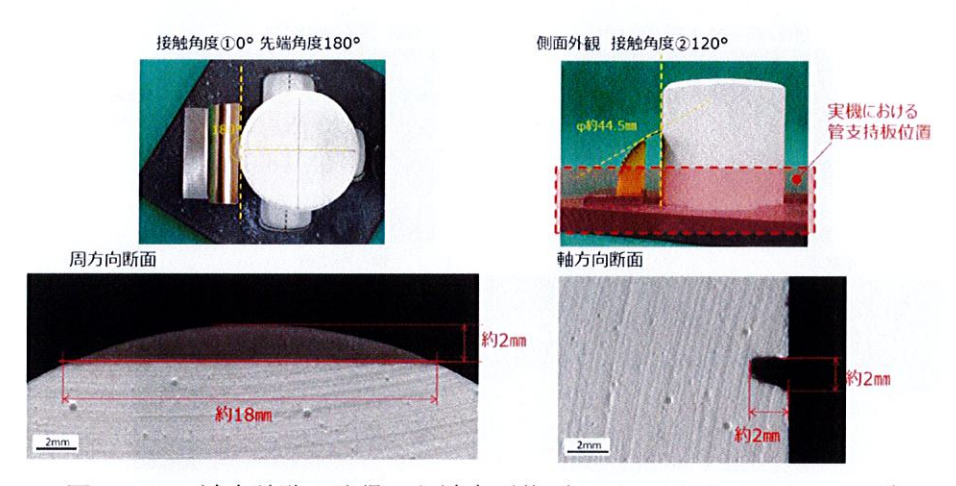


図3-8 減肉試験で取得した減肉形状 (C-SG: X37, Y22)

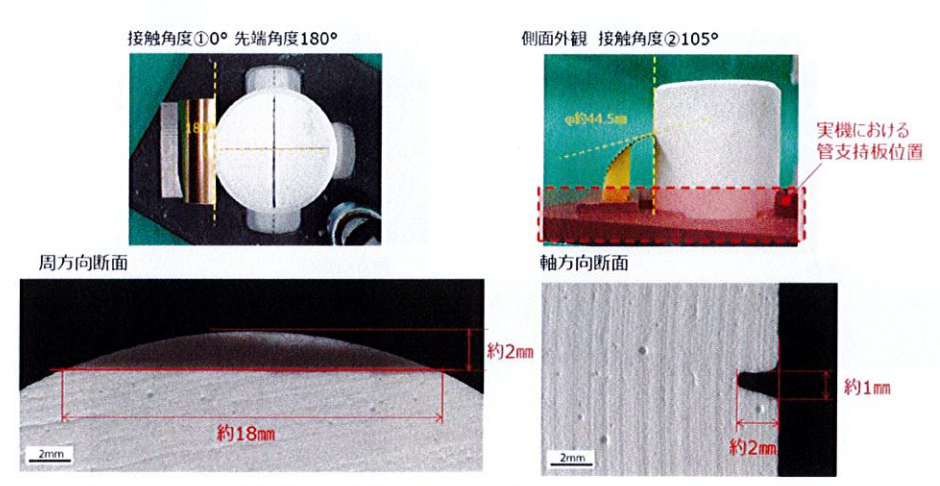


図3-9 減肉試験で取得した減肉形状 (C-SG: X89, Y3)

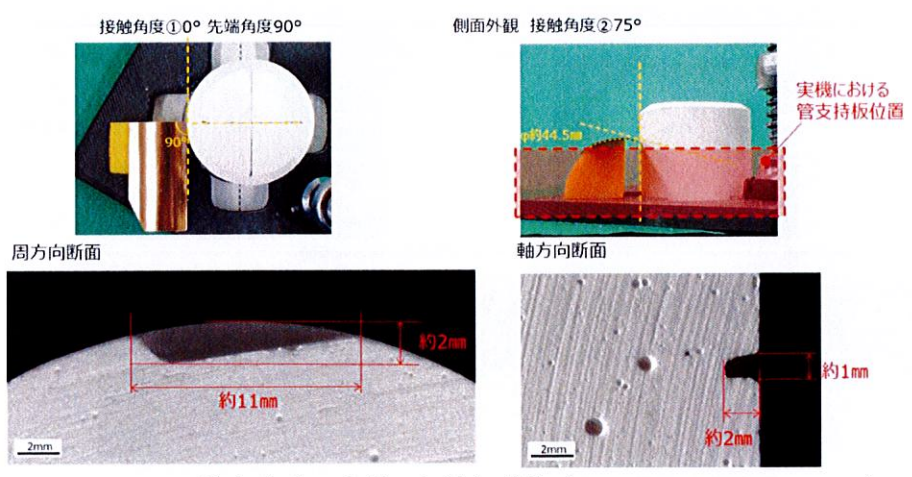


図3-10 減肉試験で取得した減肉形状(C-SG: X39, Y5)

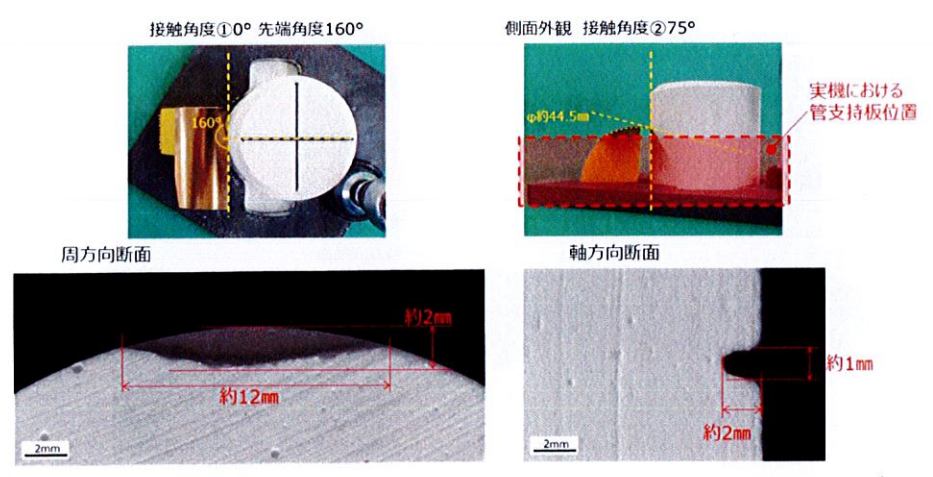


図3-11 減肉試験で取得した減肉形状 (C-SG: X86, Y8)

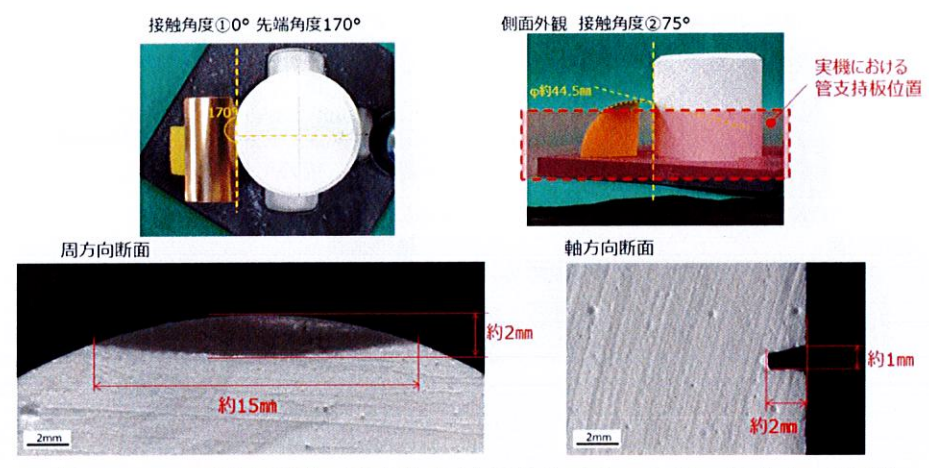


図3-12 減肉試験で取得した減肉形状(C-SG: X71, Y5)

表 3-1 減肉形状寸法一覧

	1 1 1	WINDOX 117			
 対象伝熱管		減肉形状	寸法 • • • • • • • • • • • • • • • • • • •	T	備考
V3 54 10 10 11		深さ	軸方向	周方向	PH 3
A—SG: X39, Y1	減肉試験結果	約2 mm	約1 mm	約 11mm	
N 30. X33, 11	実機相当寸法	約 0.6mm	約 0.5mm	約 3mm	
A—SG: X24, Y1	減肉試験結果	約2 mm	約1 mm	約 11mm	
	実機相当寸法	約 0.3mm	約 0.4mm	約 2mm	
A-SG: X26, Y9	減肉試験結果	約1 mm	約1 mm	約 11mm	
(スケールA)	実機相当寸法	約 0.4mm	約 0.4mm	約 4mm	
A—SG: X26, Y10	減肉試験結果	約2 mm	約1 mm	約 12mm	
A 30. A20, 110	実機相当寸法	約 0.5mm	約 0.4mm	約 4mm	
1-SC - V 8 7 V 9	減肉試験結果	約2 mm	約1 mm	約 19mm	
A—SG: X87, Y2	実機相当寸法	約 0.3mm	約0.4mm	約 5mm	実機ECT信号 の深さを基準に 補正
B-SG: X84, Y9	減肉試験結果	約2 mm	約2 mm	約 15mm	
	実機相当寸法	約 0.6mm	約 0.9mm	約 7mm	
B-SG: X69, Y3	減肉試験結果	約2 mm	約2 mm	約 18mm	
(スケールB)	実機相当寸法	約 0.3mm	約0.4mm	約 5mm	111111111111111111111111111111111111111
C—SG: X37, Y22	減肉試験結果	約2 mm	約2 mm	約 18mm	
C-3G. X37, 122	実機相当寸法	約 0.4mm	約 0.5mm	約 6mm	
C—SG: X89, Y3	減肉試験結果	約 2 mm	約1 mm	約 18mm	i
C 5G. A65, 15	実機相当寸法	約 0.4mm	約 0.4mm	約 6mm	
C-SG: X39, Y5	減肉試験結果	約2 mm	約1 mm	約 11mm	
C 5G.A55, 10	実機相当寸法	約 0.6mm	約 0.5mm	約 4mm	
C-SG: X86, Y8	減肉試験結果	約2 mm	約1 mm	約 12mm	
C-5G: X60, 16	実機相当寸法	約 0.4mm	約0.5mm	約 4mm	
C—SG: X71, Y5	減肉試験結果	約2 mm	約1 mm	約 15mm	
C 3G. A/1, 13	実機相当寸法	約 0.4mm	約 0.4mm	約 5mm	

なお、以上のとおり再現した実機相当寸法については、ECTモックアップ試験により実 機ECT信号との整合性を確認する。

以 上

ECTモックアップ試験による実機ECT信号との整合性確認について

減肉試験で再現した減肉形状 (実機相当寸法) と同等形状の人工欠陥を与えた伝熱管モックアップ (インコネルTT600製) のECT信号を取得し、実機ECT信号との整合性を確認した。

1. ECTモックアップ試験の条件

ECTモックアップ試験に用いる人工欠陥寸法を表1に示す。

+4 <i>在</i> 7 /二 素t		人工欠陥寸法	Ę.	備考
対象伝熱管 	深さ	軸方向長さ	周方向長さ	1
A-SG: X39, Y1	約 0.6mm	約 0.5mm	約 3mm	
A-SG: X24, Y1	約 0.3mm	約 0.4mm	約 2mm	
A-SG: X26, Y9	約 0.4mm	約 0.4mm	約4mm	
A-SG: X26, Y10	約 0.5mm	約 0.4mm	約4mm]
A - SG : X 87, Y 2	約 0.3mm	約 0.4mm	約 5mm	減肉試験結果
B-SG: X84, Y9	約 0.6mm	約 0.9mm	約7mm	
B - SG : X69, Y3	約 0.3mm	約 0.4mm	約 5mm	(天城相当り (法) より設定
C-SG: X37, Y22	約 0.4mm	約 0.5mm	約6mm	
C-SG: X89, Y3	約 0.4mm	約 0.4mm	約6mm	
C-SG: X39, Y5	約 0.6mm	約 0.5mm	約 4mm	
C-SG: X86, Y8	約 0.4mm	約 0.5mm	約 4mm	
C-SG: X71, Y5	約 0.4mm	約 0.4mm	約 5mm	

表1 ECTモックアップ試験に用いる人工欠陥寸法

2. ECTモックアップ試験の結果

1. 項の人工欠陥のECT信号を取得し、実機のECT信号と比較した結果、両者は整合することを確認し、試験結果を図 $1\sim1$ 2に示す。この結果より、スケールが推定した姿勢で伝熱管と摺動すれば、今回認められた減肉を発生させる可能性があると推定された。ただし、1 サイクルで今回の減肉に至った可能性(時間的因子)については、別途流動振動解析を用いた計算により検証する。

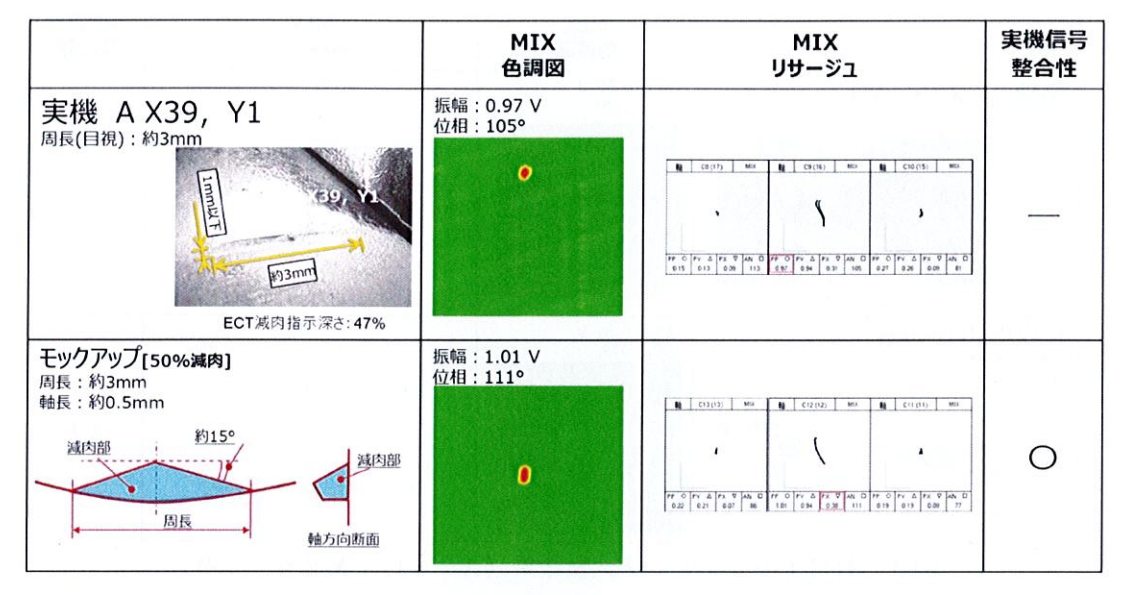


図1 ECTモックアップ試験結果 (A-SG:X39,Y1)

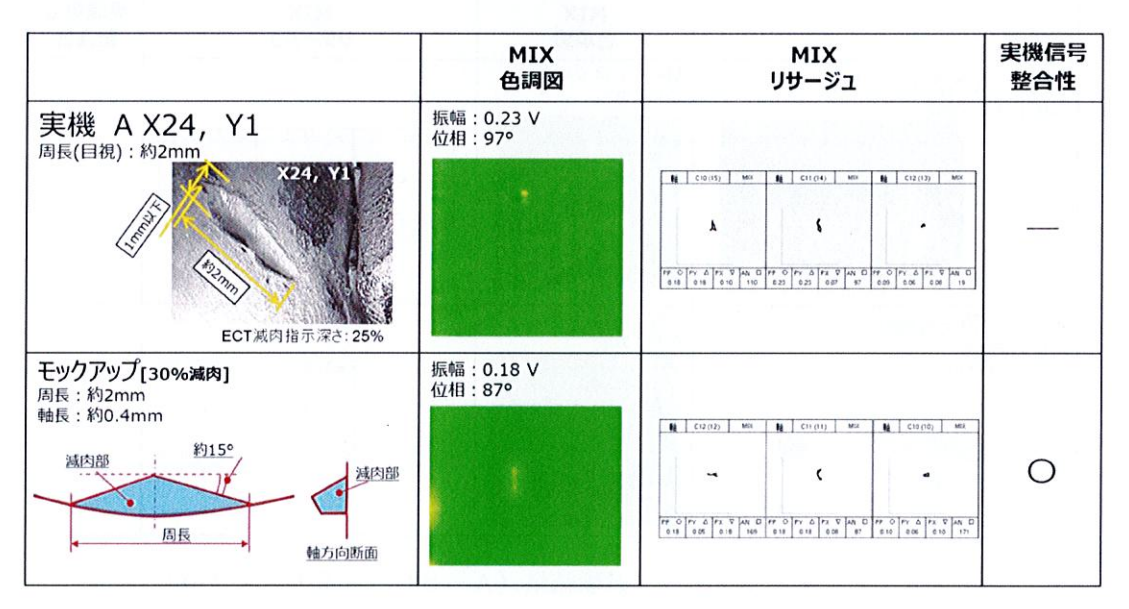


図2 ECTモックアップ試験結果 (A-SG: X24, Y1)

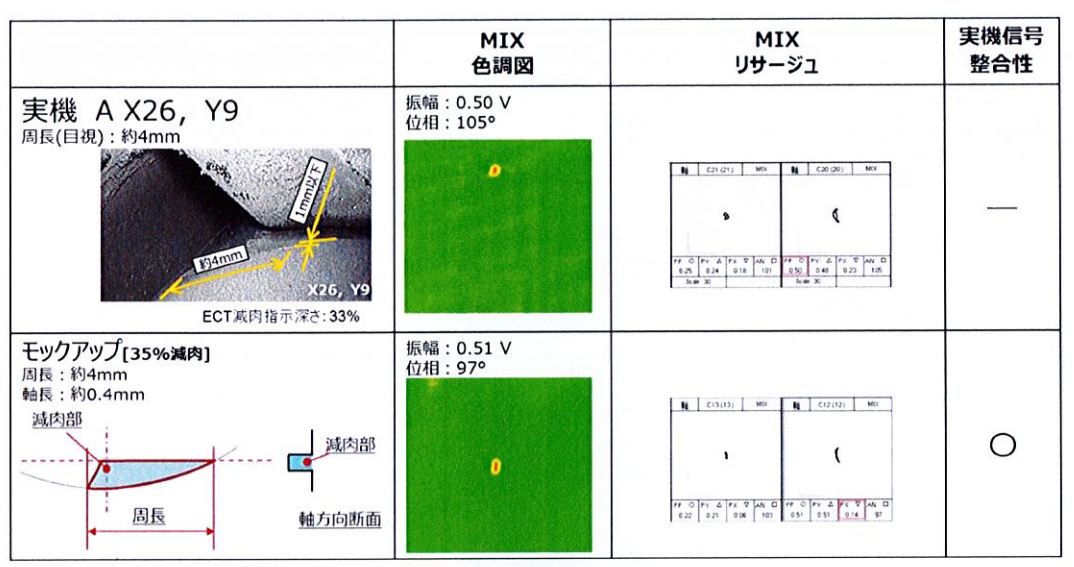


図3 ECTモックアップ試験結果 (A-SG: X26, Y9)

	MIX 色調図	MIX リ サ ージュ	実機信号 整合性
実機 A X26, Y10 周長(目視): 約4mm - X26, V10 ECT域内指示深さ: 40%	振幅:0.54 V 位相:98°		
モックアップ[35%減肉] 周長:約4mm 軸長:約0.4mm 滅肉部 減肉部 種方向断面	振幅:0.50 V 位相:108°	# (1)(% No # (1)707) NO # (1)(1)(1) NO (0

図4 ECTモックアップ試験結果 (A-SG: X26, Y10)

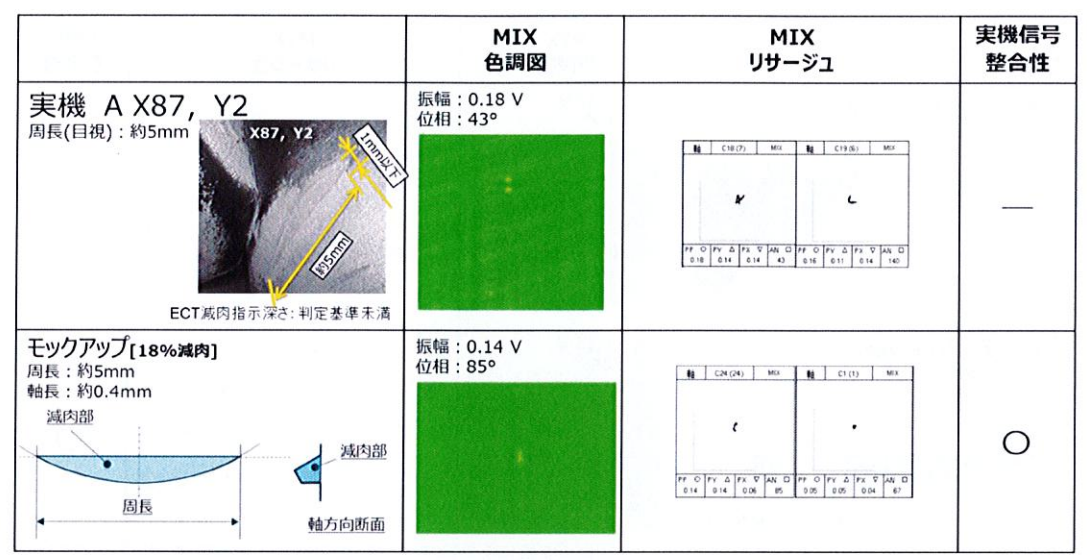


図5 ECTモックアップ試験結果 (A-SG: X87, Y2)

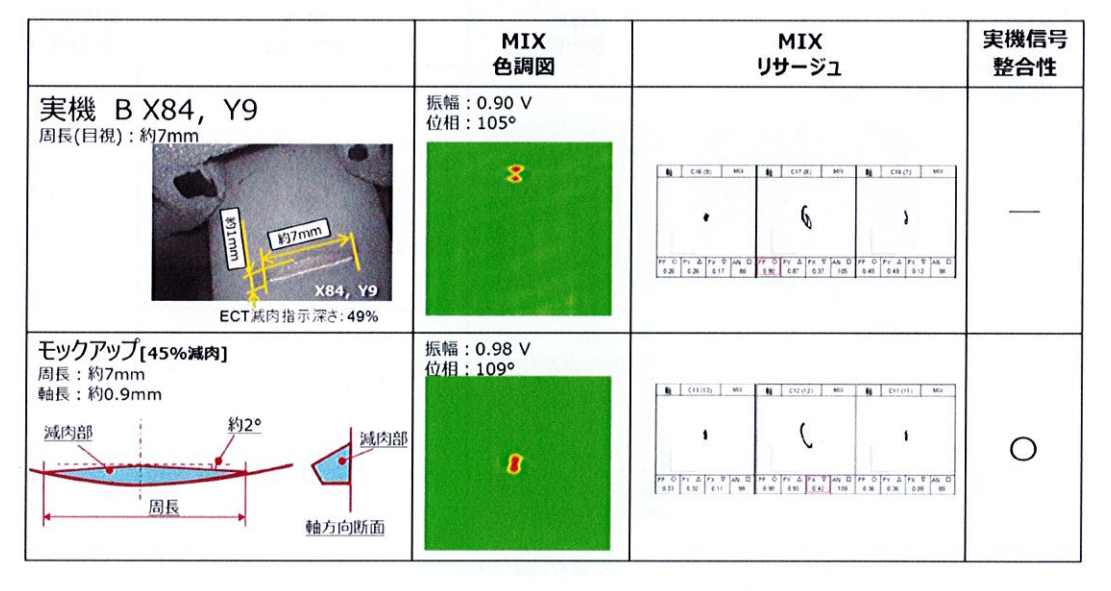


図6 ECTモックアップ試験結果 (B-SG: X84, Y9)

	MIX 色調図	MIX リサージュ	実機信号 整合性
実機 B X69, Y3 周長(目視): 約5mm X69, Y3 ECT滅肉指示深さ: 判定基準未満	振幅: 0.13 V 位相: 99°		_
モックアップ[18%減肉] 周長:約5mm 軸長:約0.4mm 減肉部 	振幅:0.14 V 位相:85°	\$\begin{array}{c c c c c c c c c c c c c c c c c c c	0

図7 ECTモックアップ試験結果 (B-SG: X69, Y3)

4	MIX 色調図	MIX リ リ ージュ	実機信号 整合性
実機 C X37, Y22 周長(目視):約6mm X37, Y22 ECT. 从内指示深さ:34%	振幅:0.39 V 位相:99°		_
モックアップ[35%減肉] 周長:約6mm 軸長:約0.5mm 減肉部 過長 軸方向断面	振幅:0.46 V 位相:101°		0

図8 ECTモックアップ試験結果 (C-SG: X37, Y22)

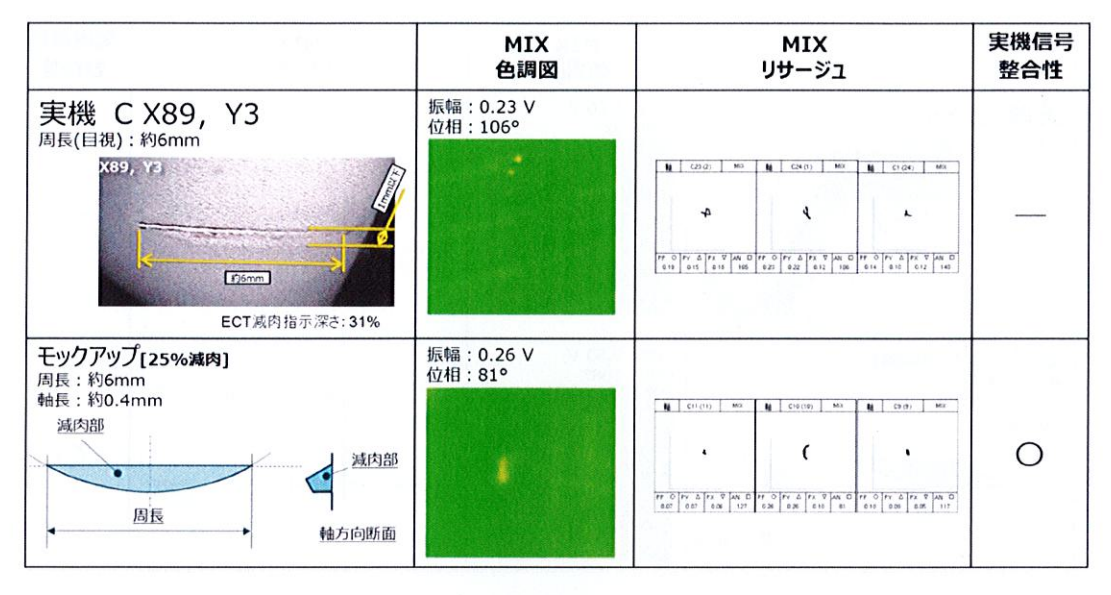


図9 ECTモックアップ試験結果 (C-SG:X89, Y3)

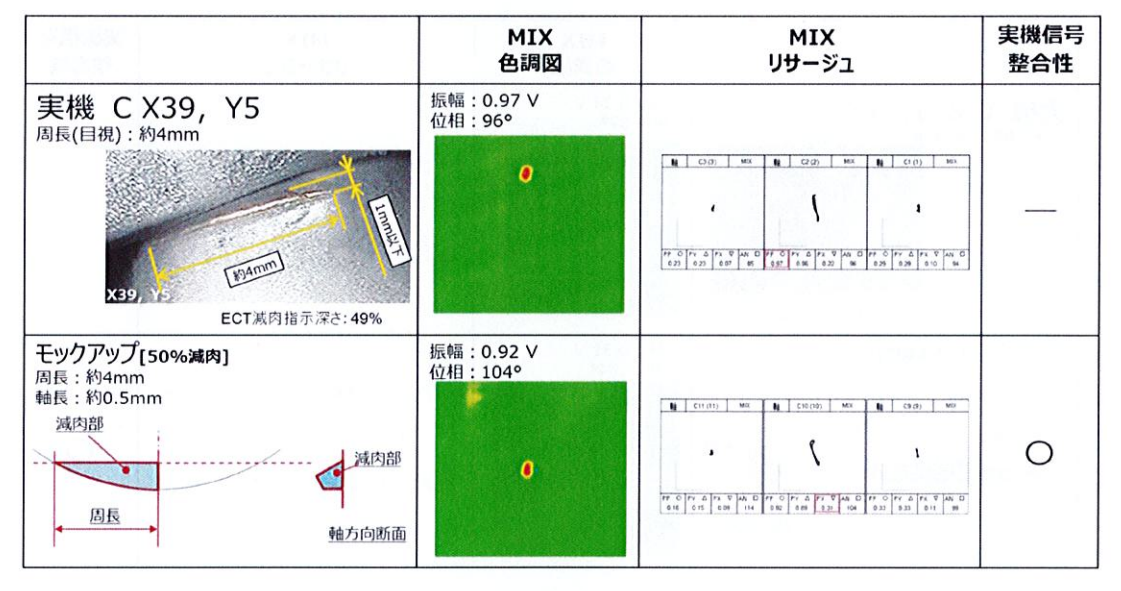


図10 ECTモックアップ試験結果 (C-SG: X39, Y5)

	MIX 色調図	MIX リ サ ージュ	実機信号 整合性
実機 C X86, Y8 周長(目視): 約4mm x86, Y8 ECT感向指示深さ: 35%	振幅: 0.46 V 位相: 92°	$\begin{array}{c ccccccccccccccccccccccccccccccccccc$	_
モックアップ[35%減肉] 周長:約4mm 軸長:約0.5mm 減肉部 減肉部 過長 軸方向断面	振幅: 0.50 V 位相: 108°		0

図11 ECTモックアップ試験結果 (C-SG: X86, Y8)

* × 1	MIX 色調図	MIX レ ジ ージュ	実機信号 整合性
実機 C X71, Y5 周長(目視): 約5mm ECT	振幅:0.34 V 位相:87°	N	_
モックアップ[30%減肉] 周長:約5mm 軸長:約0.4mm 減肉部 均5° 均5° 減内部	振幅:0.31 V 位相:104°		0

図12 ECTモックアップ試験結果 (C-SG: X71, Y5)

以 上

ワークレートを用いた摩耗体積の計算結果について

流動振動解析によりスケールと伝熱管の摩耗のワークレートを算出し、比摩耗量および 1サイクルの運転時間を乗じて、スケールとの接触により1サイクルで発生する摩耗体積 を計算した。また、ECTモックアップ試験で実機減肉形状と整合することを確認した人工 欠陥の摩耗体積との比較評価を行った。その結果を表1に示す。

表1 摩耗体積の比較評価結果(1/2)

衣1 摩和神墳の比較計画結末(1/2)					
対象 伝熱管	評価手法	比摩耗量	ワーク レート	運転時間	摩耗体積
A—SG: X39, Y1	ECTモック アップ試験	_	_	_	約 0.4mm³
	流動振動解析	$1 \times 10^{-14} \text{ m}^2/\text{N}$	約 3mW	約 10,050hr	約 1. 0mm³
A—SG: X24, Y1	ECTモック アップ試験	_	_	_	彩 0.1mm³
	流動振動解析	1×10 ⁻¹⁴ m ² /N	約 3mW	約 10,050hr	約 1. 0mm³
A—SG: X26, Y9	ECTモック アップ試験	_	_		約 0. 3mm³
	流動振動解析	$1 \times 10^{-14} \text{ m}^2/\text{N}$	約 2mW	約 10,050hr	約 0.7mm³
A—SG: X26, Y10	ECTモック アップ試験	_	-		約 0. 3mm³
	流動振動解析	$1 \times 10^{-14} \text{ m}^2/\text{N}$	約 2mW	約 10,050hr	約 0.7mm³
A—SG: X87, Y2	ECTモック アップ試験		<u> </u>		約 0. 2mm³
	流動振動解析	$1 \times 10^{-14} \text{ m}^2/\text{N}$	約 3mW	約 10,050hr	約 1.0mm³
B—SG: X84, Y9	ECTモック アップ試験	_	_	_	約 1. 1mm³
	流動振動解析	$1 \times 10^{-14} \text{ m}^2/\text{N}$	約 3mW	約 10,050hr	約 1.2mm³
B—SG: X69, Y3	ECTモック アップ試験	_			約 0. 2mm³
	流動振動解析	$1 \times 10^{-14} \text{ m}^2/\text{N}$	約 3mW	約 10,050hr	約 1.1mm ³

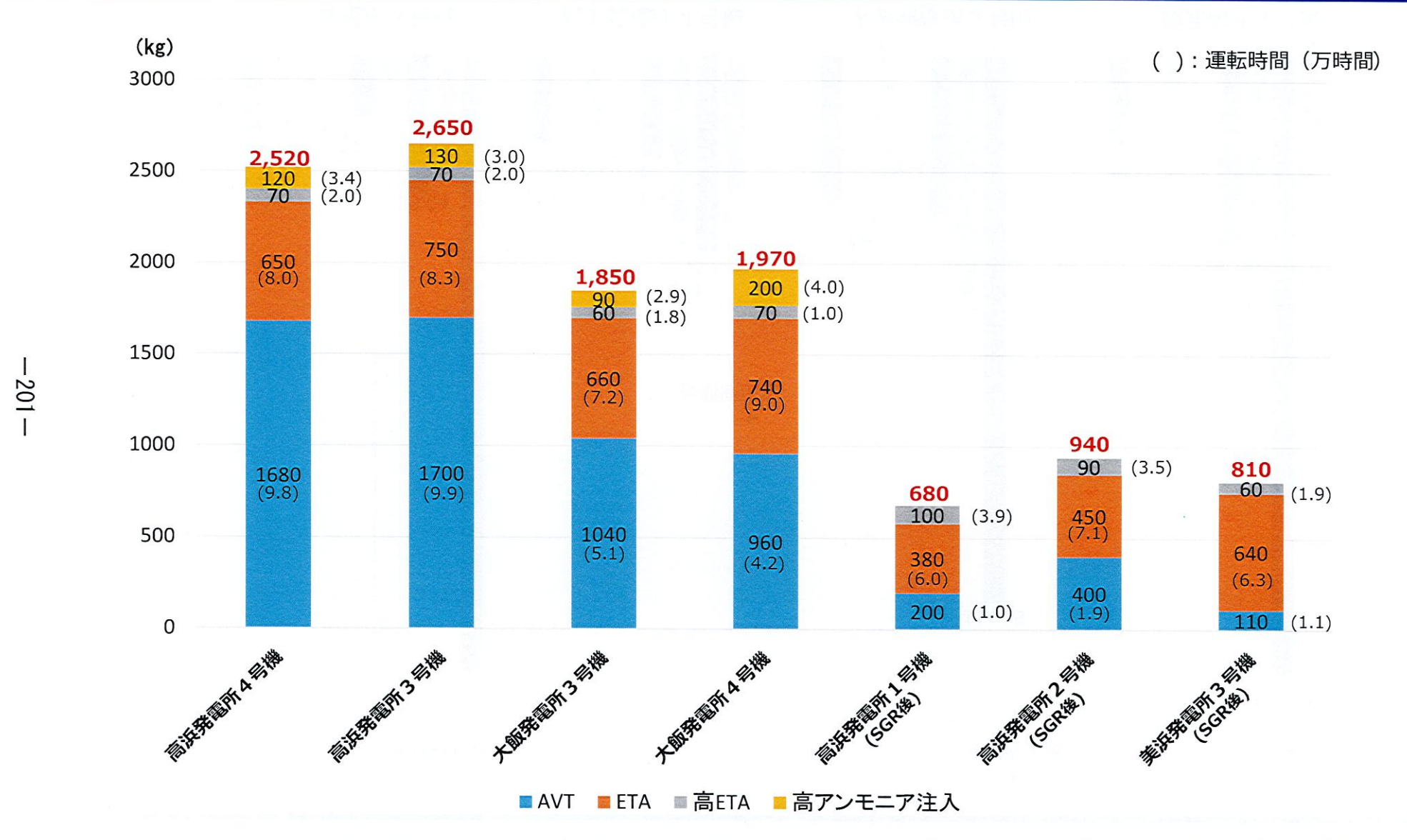
双 1 季代件債ッル・以 m m m が (2 / 2 /					
対象 伝熱管	評価手法	比摩耗量	ワーク レート	運転時間	摩耗体積
C—SG: X37, Y22	ECTモック アップ試験	_	_	_	約 0.4mm³
	流動振動解析	$1 \times 10^{-14} \text{ m}^2/\text{N}$	約1mW	約 10,050hr	約 0.4mm³
C-SG: X89, Y3	ECTモック アップ試験	_	_	_	約 0.5mm³
	流動振動解析	$1 \times 10^{-14} \text{ m}^2/\text{N}$	約3mW	約 10,050hr	約 1. 0mm³
C—SG: X39, Y5	ECTモック アップ試験		-		約 0.5mm³
	流動振動解析	$1 \times 10^{-14} \text{ m}^2/\text{N}$	約 3mW	約10,050hr	約 1. 1mm³
C—SG: X86, Y8	ECTモック アップ試験		_	_	約 0. 3mm³
	流動振動解析	$1 \times 10^{-14} \text{ m}^2/\text{N}$	約 2mW	約 10,050hr	約 0.7mm³
C-SG: X71, Y5	ECTモック アップ試験	_	_	_	約 0. 3mm³
	流動振動解析	$1 \times 10^{-14} \text{ m}^2/\text{N}$	約3mW	約 10,050hr	約 1.1mm³

表1 摩耗体積の比較評価結果(2/2)

この結果より、ワークレートを用いて計算した1サイクルで発生する摩耗体積は、ECTモックアップ試験で実機整合性を確認した人工欠陥の摩耗体積とほぼ一致することから、今回認められた減肉痕はスケールとの接触により1サイクルで発生した可能性があることを確認した。

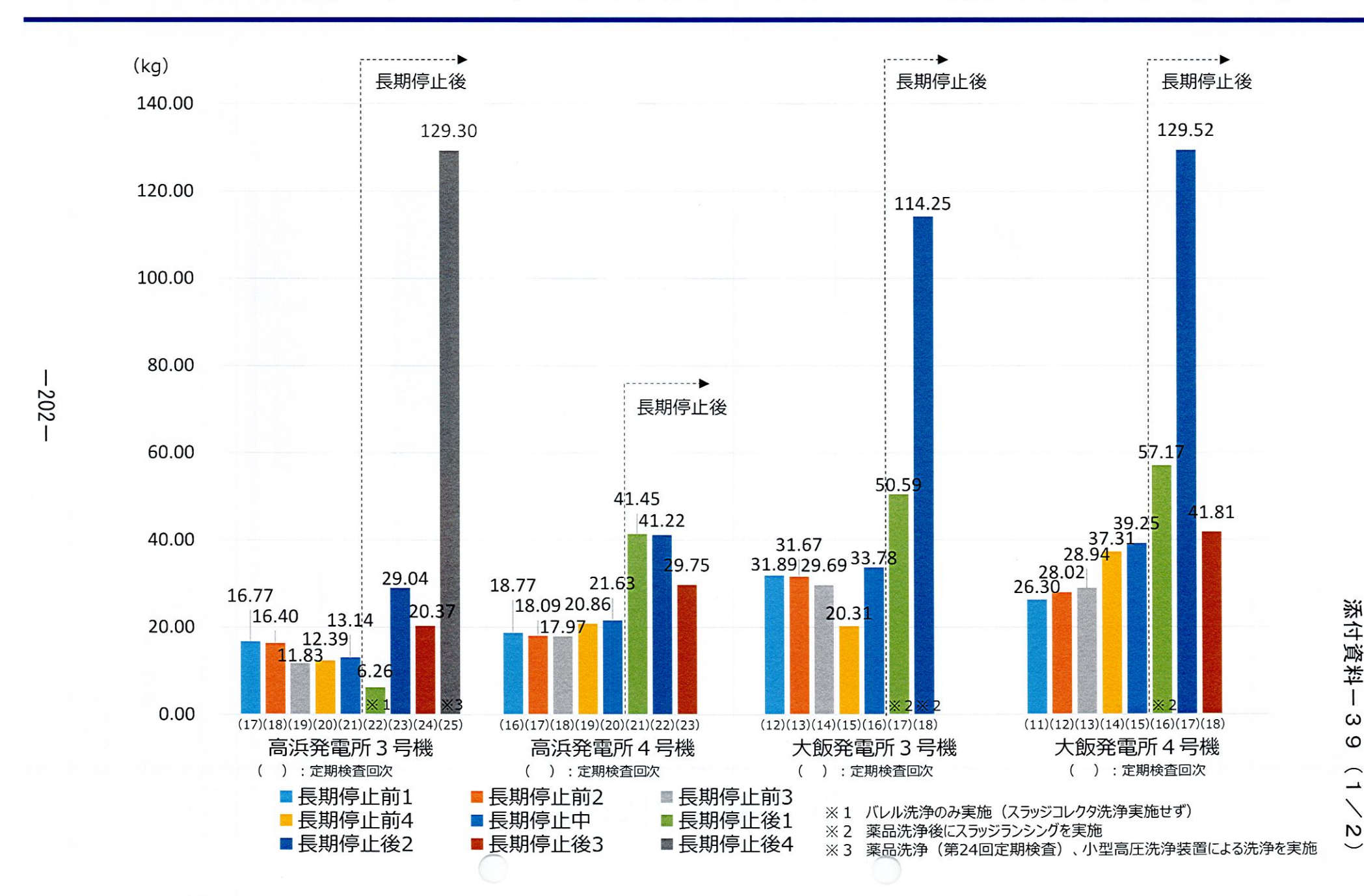
以上

鉄持込み量比較



[※]発電用原子炉施設故障報告書(高浜発電所3号機 蒸気発生器伝熱管の損傷について)(2022年5月25日)による報告以降の 高浜発電所4号機の運転実績を反映した。

これまでのスラッジランシングによるスラッジ・スケールの総回収量(1/2)



これまでのスラッジランシングによるスラッジ・スケールの総回収量(2/2)

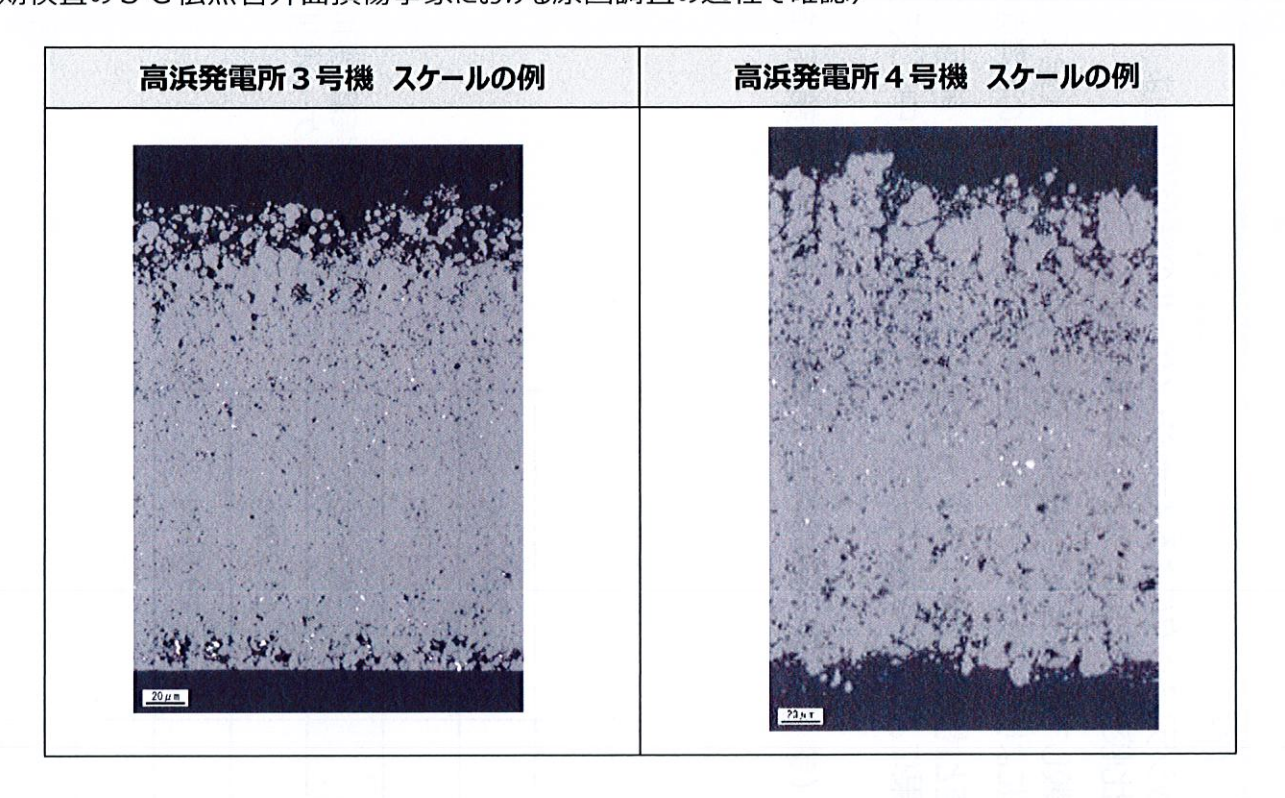
- 〇高浜発電所3号機前回(第24回)定期検査と今回(第25回)定期検査の比較
 - 高浜発電所 3 号機今回(第 2 5 回)定期検査におけるスラッジランシングによるスラッジ・スケールの総回収量は 1 2 9 . 3 k g となっており、前回(第 2 4 回)定期検査と比較して約 1 0 9 k g 増加している。
 - このうち管板部の回収量は、前回(第24回)定期検査と比較して約62kg増加している。これは、今回(第25回)定期検査において実施した小型高圧洗浄装置を用いた器内洗浄により、スラッジ・スケールの回収量が増加したものと考えられる。
 - また、スラッジコレクタの回収量は、前回(第24回)定期検査と比較して約47kg増加している。これは、前回(第24回)定期検査のスラッジランシング後に実施した薬品洗浄の効果により、SG器内のスケールが脆弱化し運転中にスラッジとして回収されたため増加したものと考えられる。
 - 以上より、高浜発電所 3 号機前回(第 2 4 回)および今回(第 2 5 回)定期検査で実施したスケール対策が、有効に作用したものと考えられる。

	=	前回(第24回) 定期検査	今回(第25回) 定期検査
	①A-SG	3.89kg	24.54kg
 管板部	②B-SG	4.02kg	26.32kg
6 1000	③C-SG	4.40kg	23.43Kg
	④3SG合計(①+②+③)	12.31kg	74.29kg
	<pre>④A-SG</pre>	3.20kg	14.72kg
 スラッジコレクタ	⑤B-SG	2.39kg	19.05kg
\\\\\\\\\\\\\\\\\\\\\\\\\\\\\\\\\\\\\\	⑥C-SG	2.47kg	21.24kg
	⑦3SG合計(④+⑤+⑥)	<u>8.06kg</u>	<u>55.01kg</u>
管板部・スラッジコレクタ合計(④+⑦)		20.37kg	129.3kg

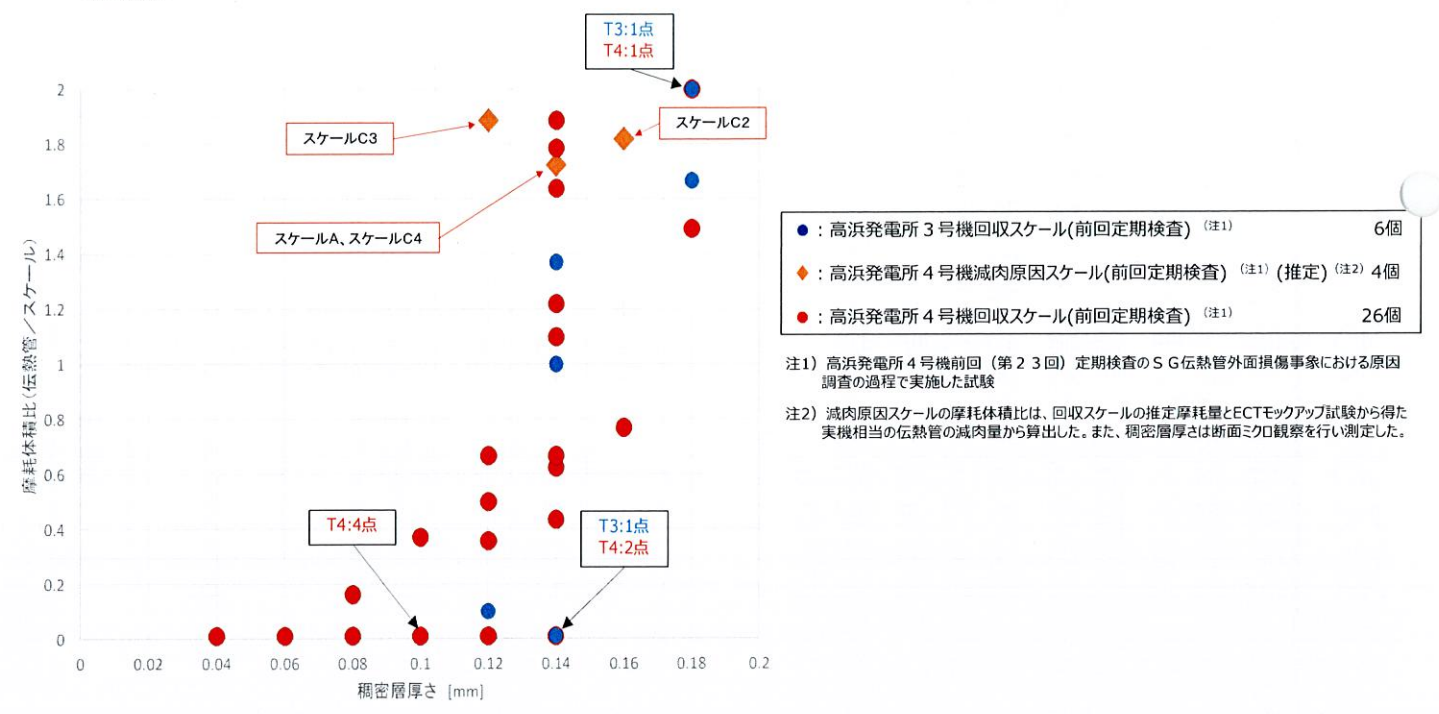
←小型高圧洗浄装置を用いた器内洗浄 によりスラッジ・スケール回収量が増加

←薬品洗浄によりスラッジ回収量が増加

○高浜発電所3号機および4号機の第二管支持板上面から回収したスケールの断面ミクロ観察を行った結果、両者の性状は同等であり、稠密層が主体であることを確認した。(高浜発電所4号機前回(第23回)定期検査のSG伝熱管外面損傷事象における原因調査の過程で確認)



○高浜発電所3号機と4号機のスケールについて、稠密層厚さと摩耗体積比の関係を比較した。 (高浜発電所4号機前回(第23回)定期検査のSG伝熱管外面損傷事象における原因調査の過程 で確認)



・高浜発電所3号機と4号機のスケールの稠密層厚さおよび摩耗体積比の関係は同等であることを確認

当社他プラントスケール摩耗試験結果

スケール 回収場所	スケール厚さ (mm)	伝熱管摩耗体積 (mm³)	スケール摩耗体積 (mm³)	摩耗体積比 (伝熱管 : スケール)
	約0.1	_	試験開始後に欠損	
	約0.2	約0.013	約0.19	1:15
大飯発電所	約0.1		試験開始後に欠損	=
3号機 管板上	約0.2	·	試験開始後に欠損	<u>1</u>
	約0.1	_	試験開始後に欠損	1
	約0.2		試験開始後に欠損	_
	約0.2	約0.001	約0.41	1:410
大飯発電所 4号機 管板上	約0.1		試験開始後に欠損	
	約0.1	_	試験開始後に欠損	<u> </u>

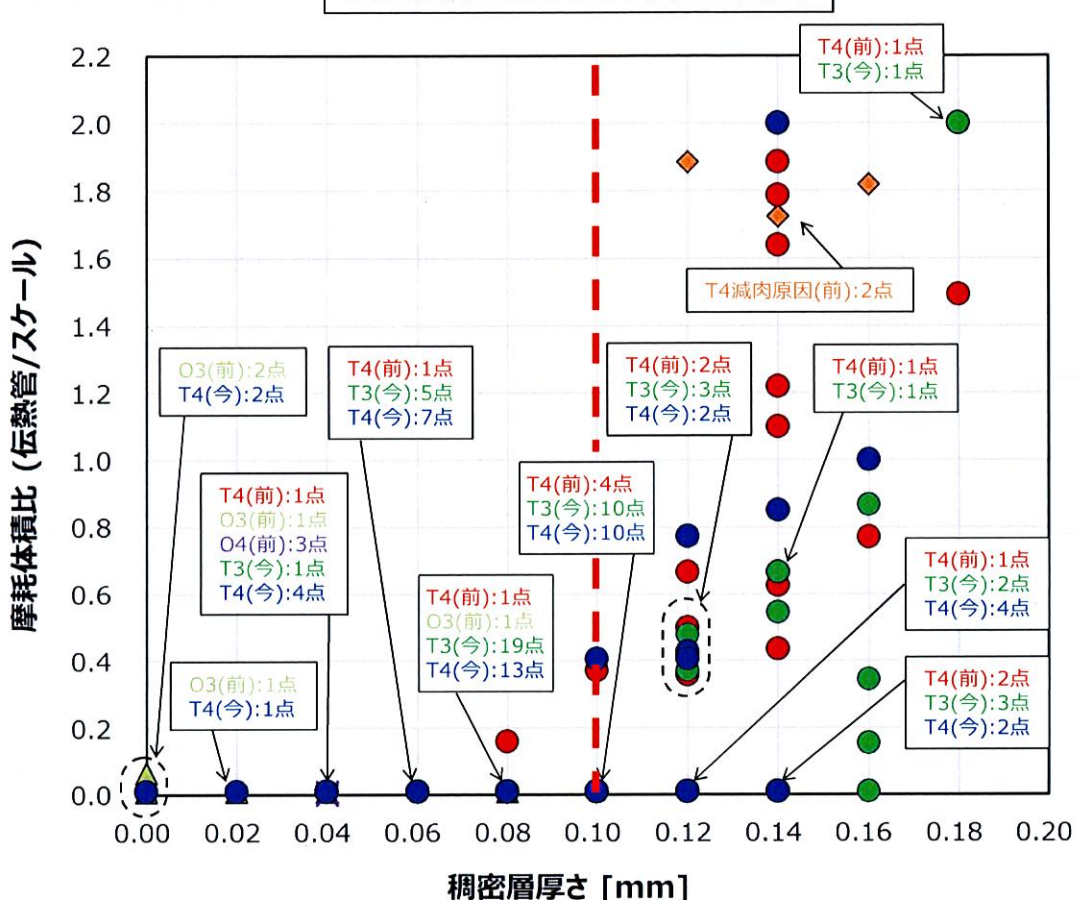
注)本試験結果は高浜発電所 4 号機の S G 伝熱管外面損傷 (2020年) の原因調査の過程で 実施した試験の結果である。

> 発電用原子炉施設故障等報告書 (高浜発電所4号機 蒸気発生器伝熱管の損傷について) (2021年2月19日)より引用

スケール性状による伝熱管減肉影響

- ●摩耗に寄与していると考えられる稠密層厚さと摩耗体積比の相関を確認した。
- ●空隙率の大きい多孔質化層は、摩耗能力に影響しないとし、「厚さ」としてカウントする稠密層を空隙率5%以下とする。





●:高浜発電所4号機回収スケール(今回定期検査)	50個
●:高浜発電所3号機回収スケール(今回定期検査)	50個
♦:高浜発電所4号機減肉原因スケール(前回定期検査)(注1)(推	定) ^(注2) 4個
●:高浜発電所4号機回収スケール(前回定期検査) ^(注1)	26個

●:高浜発電所4号機回収スケール(前回定期検査)(注1)△:大飯発電所3号機回収スケール(前回定期検査)(注1)6個

×:大飯発電所4号機回収スケール(前回定期検査)(注1) 3個

- 注1) 高浜発電所 4 号機の S G 伝熱管外面損傷 (2020年) の原因調査の過程 で実施した試験
- 注2)減肉原因スケールの摩耗体積比は、回収スケールの推定摩耗量とECT モックアップ試験から得た実機相当の伝熱管の減肉量から算出した。また、稠 密層厚さは断面ミクロ観察を行い測定した。

海外のSGの運転履歴等調査結果

1. 調査方法について

(1) 運転履歴

海外のSGの運転履歴について、米国電力研究所(EPRI)のSG管理プログラム (SGMP) 専有のデータベース等を用いて調査した。

EPRI SGMP専有のデータベースに登録されている世界のプラント総数は約260基であるが、この中から、高浜発電所3号機および4号機と同条件と考えられるSGを抽出するため、次の条件に合致するプラントを調査した。

なお、広く抽出するため、SGの設計仕様や運転パラメータが大きく異なるプラントで あっても、下記条件に合致していれば対象として抽出を行った。

<抽出条件>

- ・SGの運転時間が高浜発電所3号機および4号機で伝熱管外面減肉事象が生じた運転時間以上(EFPY*123*2以上)*3のプラント
- ・薬品洗浄実績が確認されなかったプラント
- ・管支持板が平板状構造であるプラント※4
 - ※1:定格負荷相当年数(運開後累積発電電力量(MWh)÷870(MW)÷24(時/日)÷365(日/年)により算出する)
 - ※2:高浜発電所3号機前々回(第23回)定期検査(EFPY24.0)、高浜発電所3号機前回(第24回)定期検査(EFPY25.2)、高浜発電所3号機今回(第25回)定期検査(EFPY26.2)、高浜発電所4号機前々回(第22回)定期検査(EFPY24.3)、高浜発電所4号機前回(第23回)定期検査(EFPY25.0)、高浜発電所4号機今回(第24回)定期検査(EFPY26.2)のうち最小の運転時間(EFPY24.0)に対し更に抽出範囲を広げるため、一EFPY1.0を追加考慮
 - ※3 EPRI SGMP専有データベースでは、至近の定期検査までの運転時間が登録されている。
 - ※4 エッグクレート型管支持板のような、薄板を格子状に配列した支持板構造を持つSGは除外 (スケールが伝熱管と接触した状態で保持されないため)

(2)スケールによる減肉経験の有無

海外においてスケールによる減肉が発生した事例の有無を調査するため、上記のEPR I SGMP専有のデータベースの他、EPRIの各種レポート (伝熱管の摩耗減肉損傷に関するもの)を確認するとともに、EPRIおよびEDFへの問合せを行った。

2. 調査結果について

(1) 運転履歴

調査の結果、抽出されたプラントは表1のとおりであり、全数の約260基に対し8基 のみと非常に少ないことを確認した。

プラント名	運開日	SG取替え日	現行SGEFPY
プランノ A	プラント A 1972. 12. 14		31.5
) / / A	1972. 12. 14	1982. 4. 1	(2021.10.4 時点)
プラントB	1072 0 1	1983. 5. 1	30. 0
77216	1973. 9. 1	1983. 5. 1	(2020. 10. 5 時点)
プラントC	1986. 4. 11		26. 9
77256	1900. 4. 11	_	(2019.1.5 時点)
プラントD	1005 10 4		25. 3
77210	1985. 12. 4	_	(2018.4.7 時点)
プラントE	1006 7 10		26. 0
J J Z F E	1986. 7. 18		(2019.1.10 時点)
プラントF	1978. 6. 1	1993. 4. 1	25. 5
77211	1976. 0. 1	1993, 4, 1	(2021. 3. 14 時点)
プラントG	1000 6 7	_	24. 7
77210	1990. 6. 7		(2019, 2, 16 時点)
プラント H ^{※ 5}	1000 10 1	1995. 6, 1	23. 9
/// r m	1980. 12. 1	1990. 0, 1	(2022. 3. 6 時点)

表1 海外プラント抽出結果

※5 発電用原子炉施設故障報告書(高浜発電所3号機 蒸気発生器伝熱管の損傷について)(2022年5月25日)による報告以降に、EPRI SGMP専有のデータベースの更新によって追加されたため、反映した。

(2) スケールによる減肉経験の有無

EPRI SGMP専有のデータベース、EPRIレポート**6では、海外でのスケールによる伝熱管損傷事象は確認されなかった。また、EPRIおよびEDFへの問合せの結果、スケールによる伝熱管損傷の事例は報告されていないことを確認した。

※6 EPRI SGMP専有レポート"Foreign Object Handbook R1 (3002007858)"より

3. 当社と海外におけるスケールマネジメントの考え方の違い

上記の調査において、海外では多くのプラントで薬品洗浄が行われていたことから、薬品洗浄をはじめとするスケールマネジメント方法の主な違いについて、表2のとおり整理した。整理にあたっては、主要国である米国と仏国の状況を調査するため、EPRI等の各種レポートを確認するとともに、EPRIおよびEDFへの問合せを行った。

項目	当社	海外**7
BEC穴閉塞	・ECTおよび目視による閉塞率管	・ECTや目視、SG2次側水
	理	位による閉塞率管理
	・機械式洗浄による閉塞回復	・薬品洗浄による閉塞回復
管板直上の腐	・スラッジランシング(定期検査毎)	・スラッジランシング
食環境生成		・薬品洗浄
伝熱性能低下	・薬品洗浄(ASCA洗浄)	・薬品洗浄(ASCA洗浄他)

表2 スケールマネジメントにおける当社と海外(米国・仏国)の主な違い

※7 EPRI SGMP専有レポート"Deposit Removal Strategies Sourcebook (3002005090)"より

この結果、当社において薬品洗浄で対応するのは伝熱性能の低下のみであるが、海外においては、主にBEC穴閉塞対応で薬品洗浄を用いている他、必要に応じて管板直上に堆積したスラッジ除去においても活用を行っている。従って、海外においては、薬品洗浄はスケールマネジメントにおける主要な対策と位置付けられていると推察され、結果、多くのプラントが薬品洗浄を経験しているものと考えられる。

4. メーカへの確認結果

スケールによる伝熱管の摩耗減肉に関する知見について、メーカへの確認を行った結果、上記と同様に、知見はないとの見解を得た。

5. 海外への情報発信

今回高浜発電所4号機で認められたスケールによる伝熱管摩耗減肉事象の原因調査で得られた知見については、今後、海外へもフィードバックを行うべく、EPRIのSGMP等を通じて海外のPWR事業者へ情報発信を行っていく。

以上

減肉した伝熱管の評価

減肉した伝熱管について、以下のとおり、強度および耐震性の観点から破損しない ことを確認した。

1. 強度

国PJ「蒸気発生器信頼性実証試験」((財)発電用熱機関協会、昭和50年度~昭和55年度)では、局部減肉を有する伝熱管の内圧強度評価手法を確立するため、内圧による高温破壊試験を実施している。その試験結果から導出された内圧破断評価式を用いて、運転中および事故時を包絡する内外差圧による破断圧力を算出した。

得られた破断圧力について、通常運転時および事故時の最大内外差圧に対する 裕度を確認することにより、減肉管の強度を評価した。

その結果、破断圧力は 31.60MPa であり、通常運転時および事故時の最大内外 差圧 MPa に対し、十分な裕度があることを確認した。

本評価式は、過去の高浜発電所3号機および4号機 SG伝熱管の旧振止め金具による局部減肉の特殊設計施設認可申請においても用いられており、下式にて表される。

$$P_B = \sigma_f \frac{t}{R} \left(\frac{1 - a/t}{1 - a/t \cdot 1/m} \right)$$

<計算条件>

PB: 局部減肉を有する伝熱管の破断圧力 (MPa)

σ_f: インコネルTT600 の流動応力=343.8MPa (@361.3℃)

t: 板厚= ____mm

R: 平均半径= _____mm

a: 減肉深さ= ____mm (= __mm×0.49)

m: Folias のバルジ係数(= $(1+1.05 \cdot c^2/R/t)^{-1/2}$)

2c: 減肉幅=5mm

表 減肉した伝熱管の強度評価結果

減肉深さ (%)* ¹	破断圧力 P _B (MPa)	事故時を包絡 する作用内外差圧 (MPa) * ²	裕度
49	31.60		

^{*!} 最大減肉深さのB-SG(X84,Y9)およびC-SG(X39,Y5)で代表

^{*2} 設計基準事故時および重大事故等時を包絡する内外差圧

2. 耐震性

減肉を有する伝熱管の耐震性について、次のとおり評価した。

- ・既工認*3の基準地震動 Ss による地震力および伝熱管全長モデル (施栓管の評価と同様) *4から、伝熱管直管部 (管支持板部) に作用する力 (部材力) を算出
- ・保守的に一様外面減肉と仮定し、伝熱管の断面積を減じた上で部材力から発 生応力および疲労累積係数を算出し、許容値に対する裕度を確認
 - *3 既工認添付資料 13·17·3·2·2 「蒸気発生器内部構造物の耐震計算書」 (原規規発第 1510091 号、平成 27 年 10 月 9 日認可)
 - *4 高浜発電所4号機既工認(新規制基準工認)補足説明資料「高浜発電所4号機 耐震性に関する説明書に係る補足説明資料 蒸気発生器伝熱管の評価について 関西電力株式会社 平成27年9月」

その結果、今回認められた減肉を考慮しても、発生応力および疲労累積係数に十分な裕度があること確認した。

発生応力*5 応力分類 許容値 裕度 および疲労累積係数 一次一般膜応力 195 MPa 334 MPa 1.7 膜応力+曲げ応力 208 MPa 434 MPa 2.0 一次+二次応力 492 MPa 2.3 208 MPa 疲労累積係数 0.0371

表 減肉した伝熱管の耐震性評価結果

以上

 $^{*^5}$ 最大減肉深さのB-SG(X 8 4,Y 9)およびC-SG(X 3 9,Y 5)で代表

写真③(写真②を側面から確認)

隣接伝熱管の健全性 (A-SG 低温側第四管支持板下面 伝熱管 X39, Y1) 点検方向 写真① X38,Y1 第五管支持板側 (低温側) フロースロット側 X38,Y1 ¥ 第三管支持板側 (低温側) ノズル側 X38,Y2 X40,Y2 マンホール側 X39,Y2 写真② X39,Y3 X38,Y3 X40,Y3 管板を下から見た図

右記波形データにおける 外面減肉信号と推定 される部位

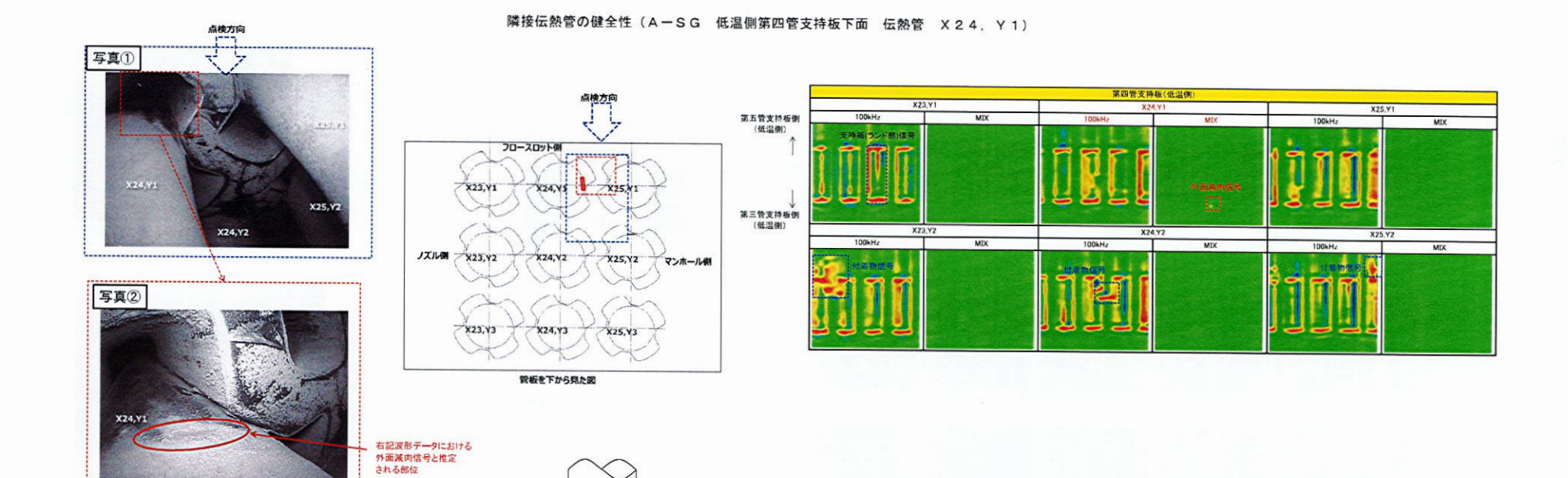
第四管支持板

減肉率 約47% 伝熱質

波形上の評価

- ・外面減肉信号は、X39,Y1にのみ認められる。(MIXで消失しない信号がある)
- ・その他のアドレスでは、支持板(ランド部)信号のみが認められ、MIXでは信号が消失している。
- *なお、ECT信号は信号源の実長さより長くなるため、上記のランド部信号範囲は実範囲より広いと考えられる。

写真③(写真②を側面から確認)



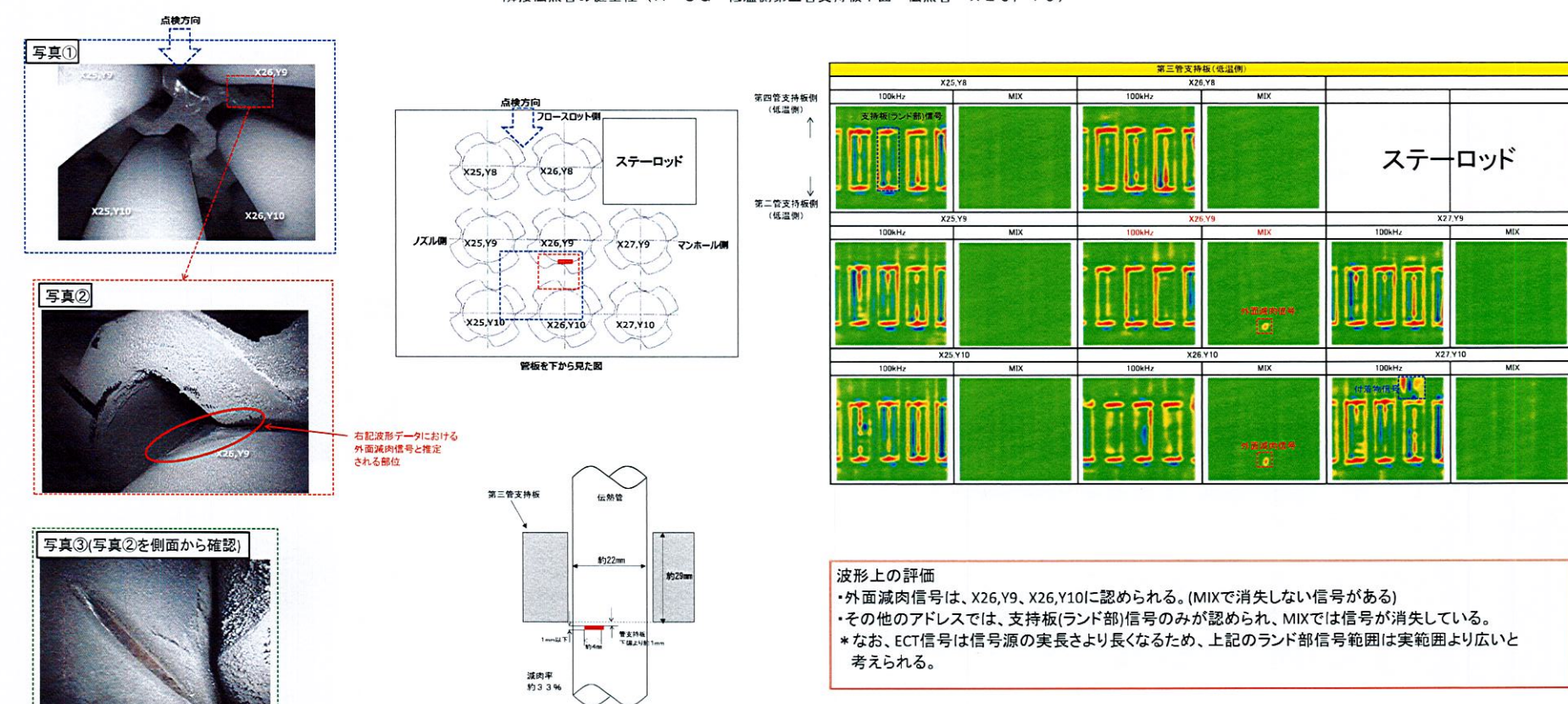
第四管支持板

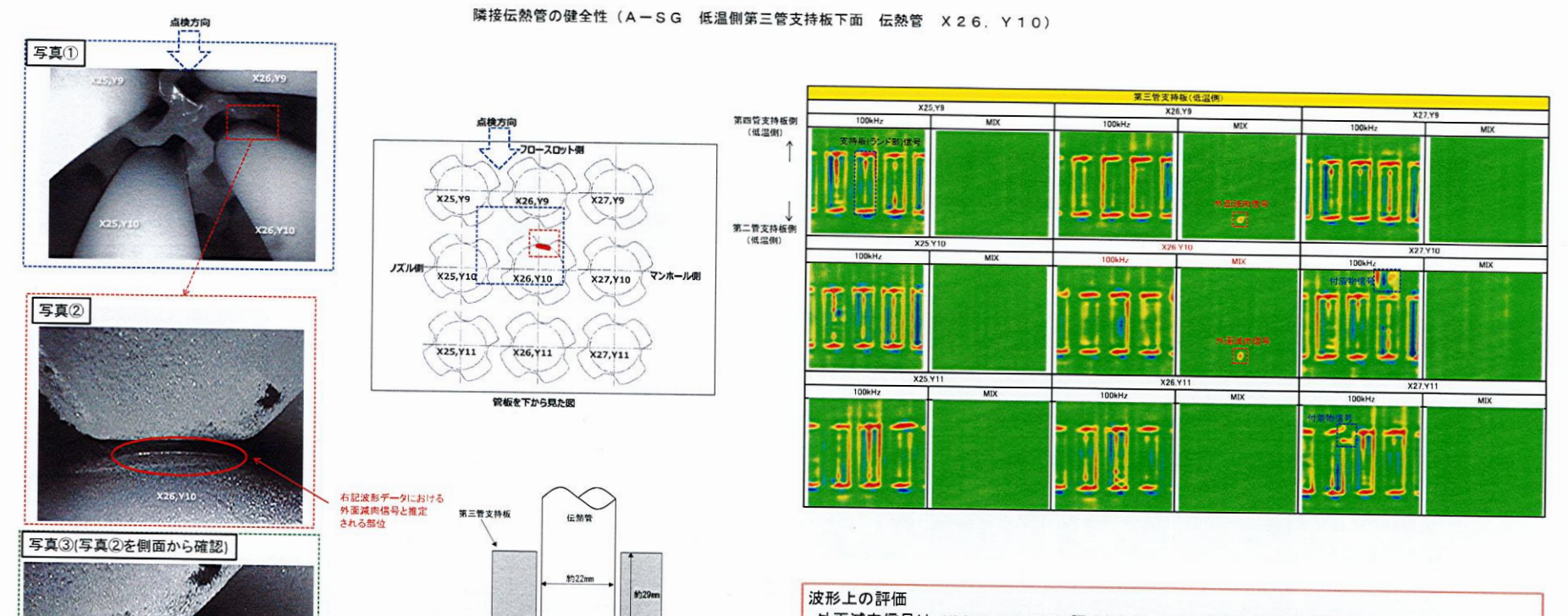
減肉率 約25% 伝熱管

波形上の評価

- ・外面減肉信号は、X24,Y1にのみ認められる。(MIXで消失しない信号がある)
- ・その他のアドレスでは、支持板(ランド部)信号のみが認められ、MIXでは信号が消失している。
- *なお、ECT信号は信号源の実長さより長くなるため、上記のランド部信号範囲は実範囲より広いと 考えられる。

隣接伝熱管の健全性 (A-SG 低温側第三管支持板下面 伝熱管 X26, Y9)





波肉率 約40%

- 外面減肉信号は、X26,Y9、X26,Y10に認められる。(MIXで消失しない信号がある)
- ・その他のアドレスでは、支持板(ランド部)信号のみが認められ、MIXでは信号が消失している。
- *なお、ECT信号は信号源の実長さより長くなるため、上記のランド部信号範囲は実範囲より広いと 考えられる。

写真③(写真②を側面から確認)

隣接伝熱管の健全性 (A-SG 低温側第四管支持板下面 伝熱管 X87, Y2) 点検方向 写真① 第五管支持板側 (低温側) フロースロット側 X86,Y1 X87,Y1 X86,Y2 ¥三管支持板側 (低温側) MIX ノズル側 マンホール側 X86, V2 X87,Y2 X88,Y2 写真② X87,Y3 X88,Y3 X86,Y3 X87,Y3 管板を下から見た図 右記波形データにおける 外面減肉信号と推定 される部位

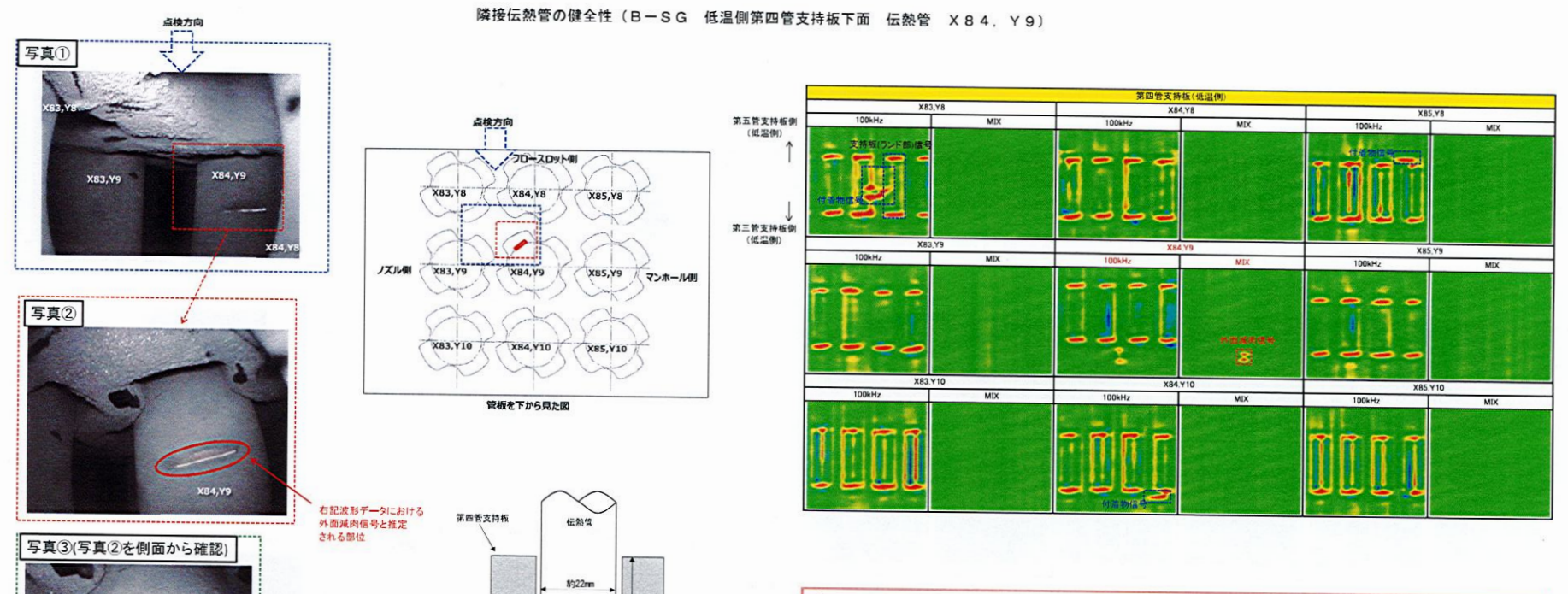
第四管支持板

減肉率 判定基準未満 伝動管

管支持版 下端より1mm以下

波形上の評価

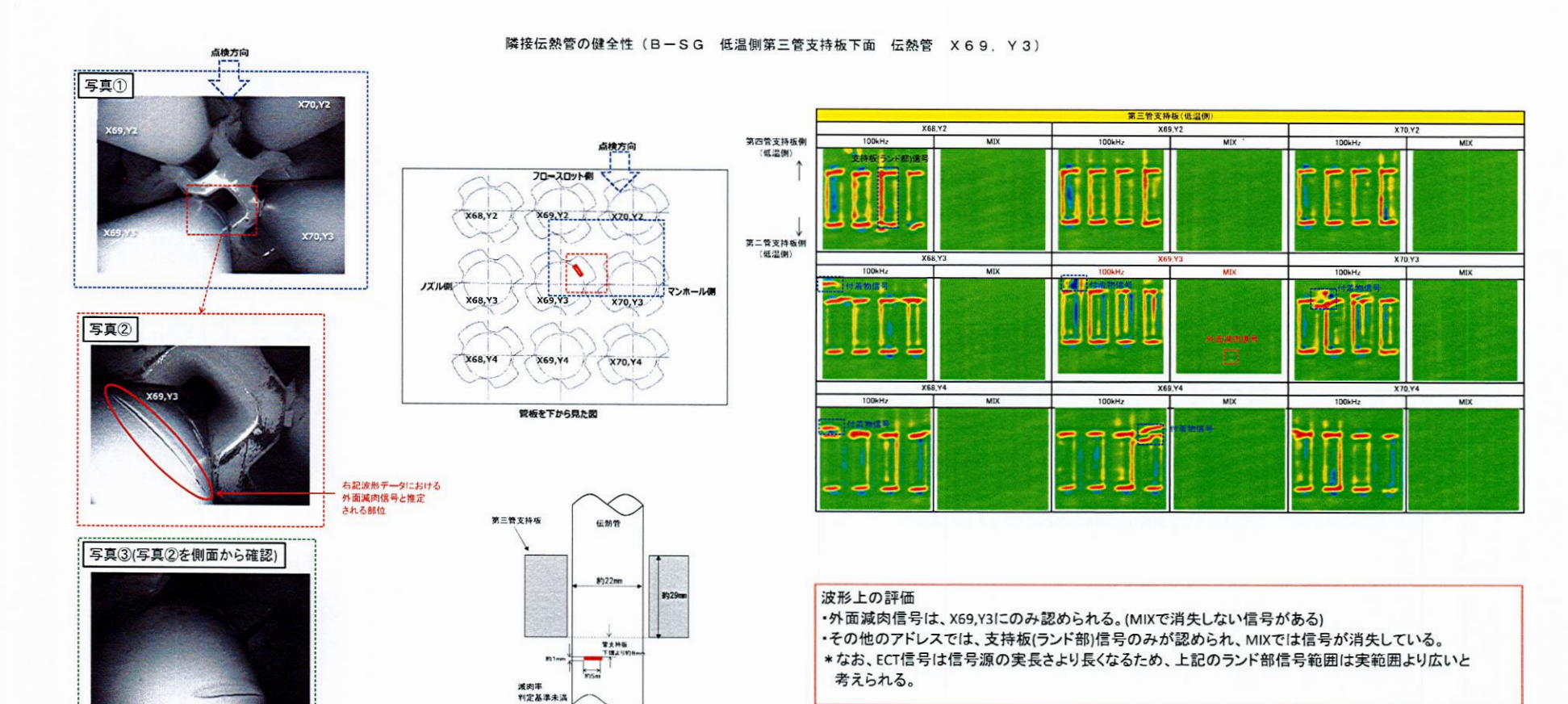
- ・外面減肉信号は、X87,Y2にのみ認められる。(MIXで消失しない信号がある)
- ・その他のアドレスでは、支持板(ランド部)信号のみが認められ、MIXでは信号が消失している。
- *なお、ECT信号は信号源の実長さより長くなるため、上記のランド部信号範囲は実範囲より広いと考えられる。

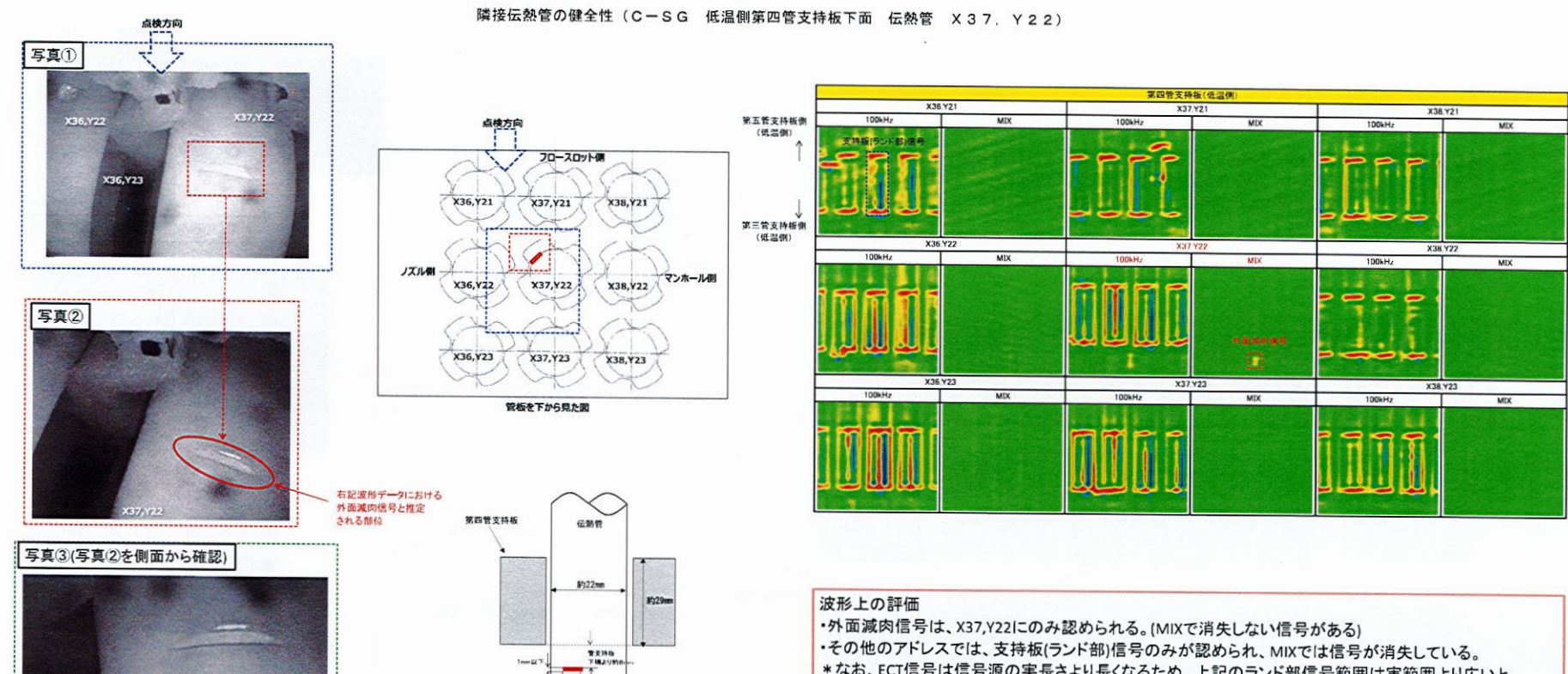


減肉率 約49%

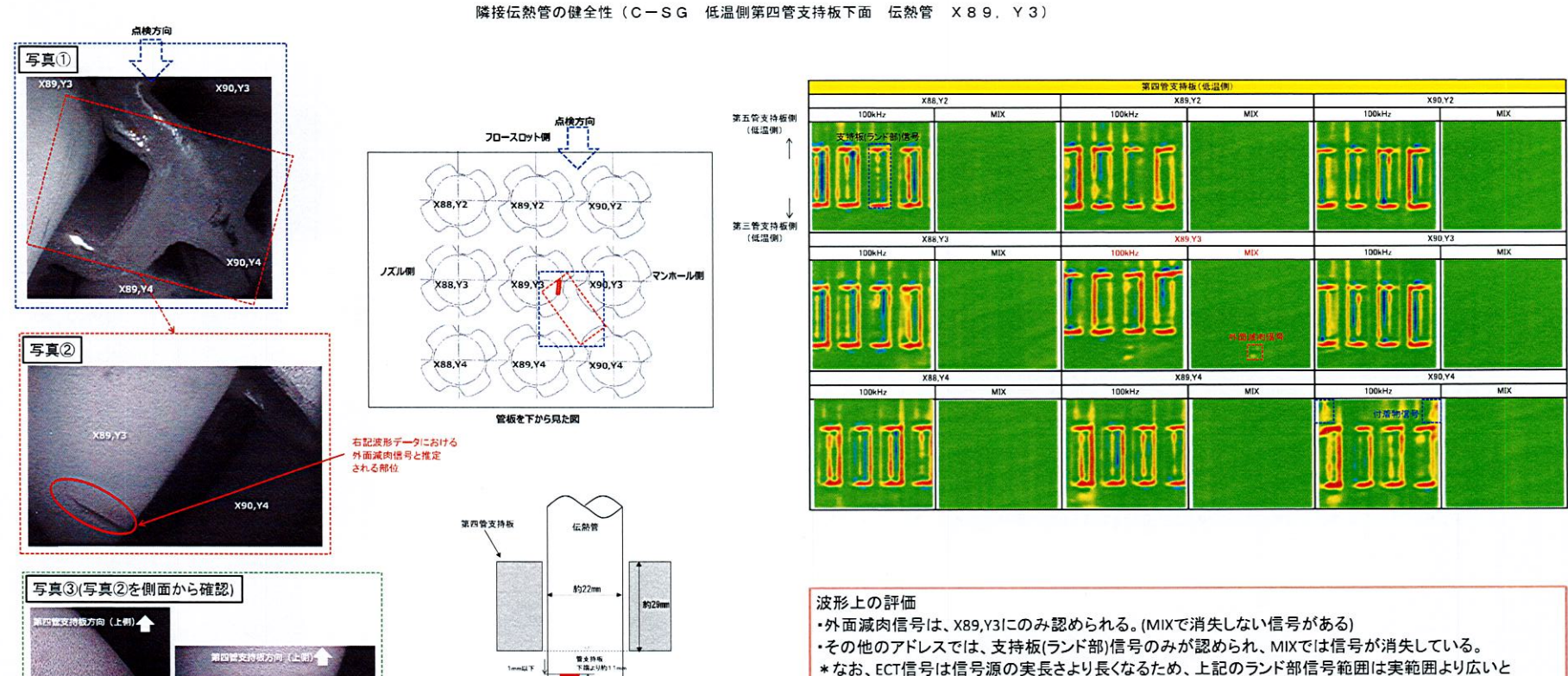
波形上の評価

- ・外面減肉信号は、X84,Y9にのみ認められる。(MIXで消失しない信号がある)
- ・その他のアドレスでは、支持板(ランド部)信号のみが認められ、MIXでは信号が消失している。
- *なお、ECT信号は信号源の実長さより長くなるため、上記のランド部信号範囲は実範囲より広いと 考えられる。





波肉率 約34% *なお、ECT信号は信号源の実長さより長くなるため、上記のランド部信号範囲は実範囲より広いと考えられる。

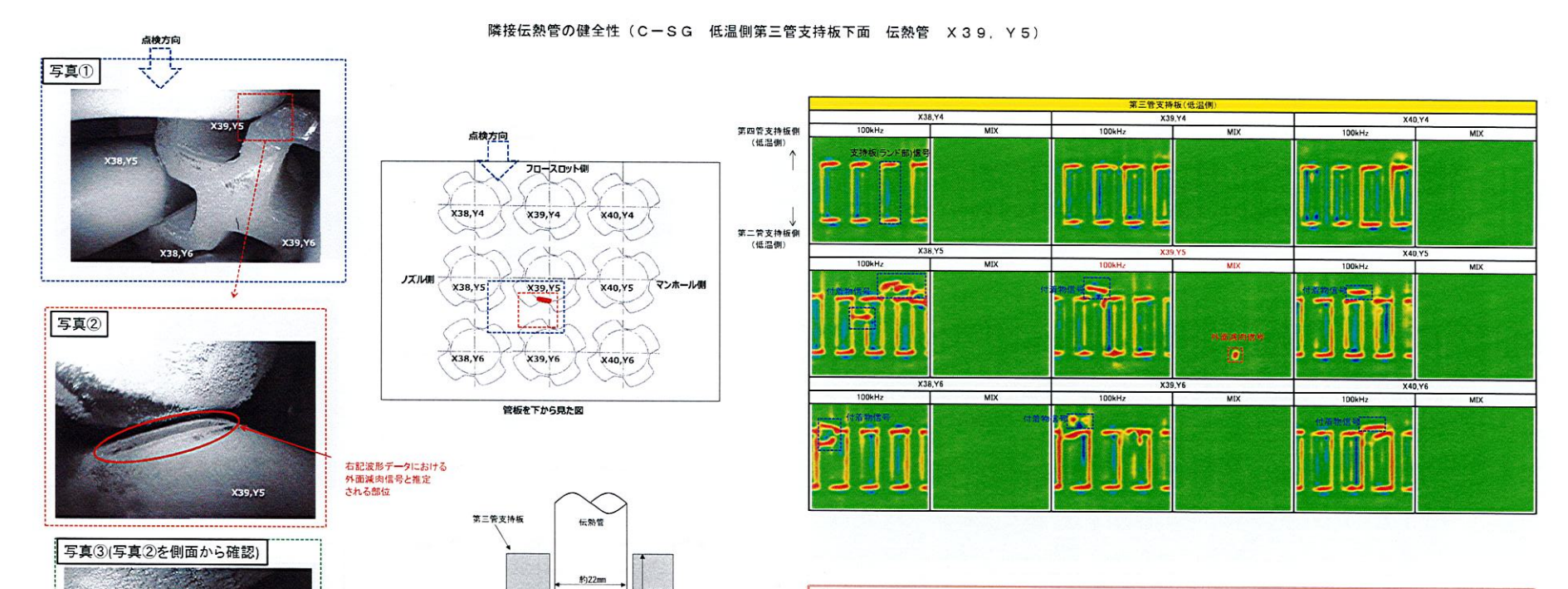


減肉率 約31%

第三管支持板方向(下侧)

第三管支持极方向(下侧)

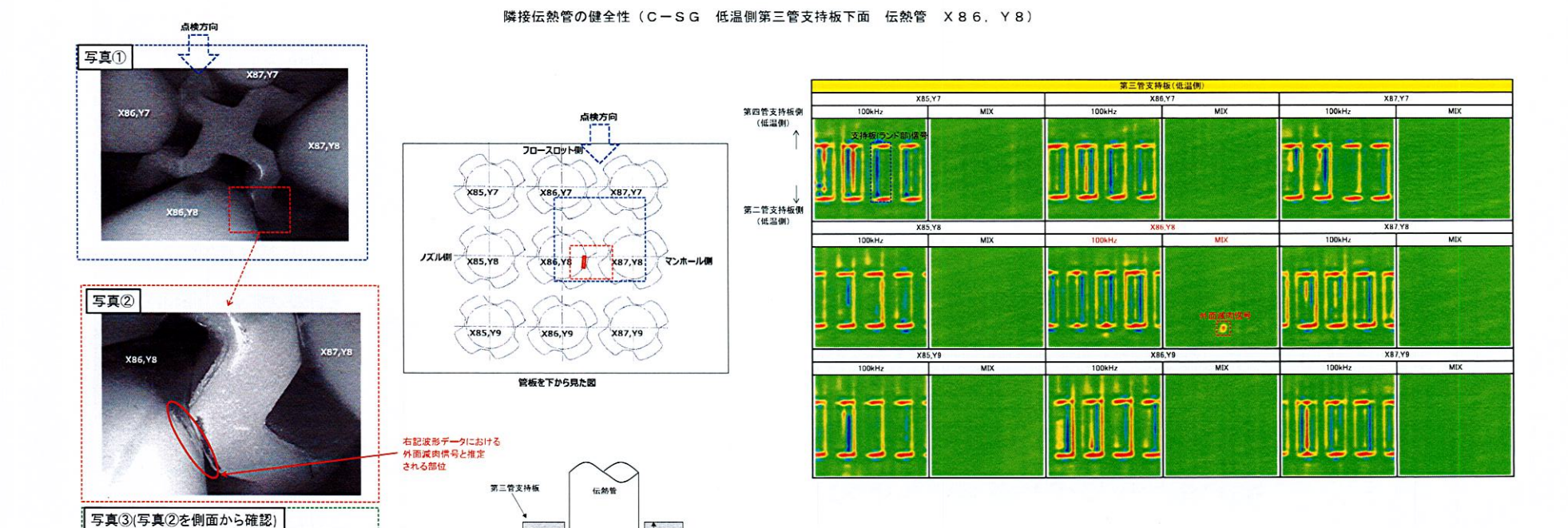
*なお、ECT信号は信号源の実長さより長くなるため、上記のランド部信号範囲は実範囲より広いと考えられる。



減肉率 約49%

波形上の評価

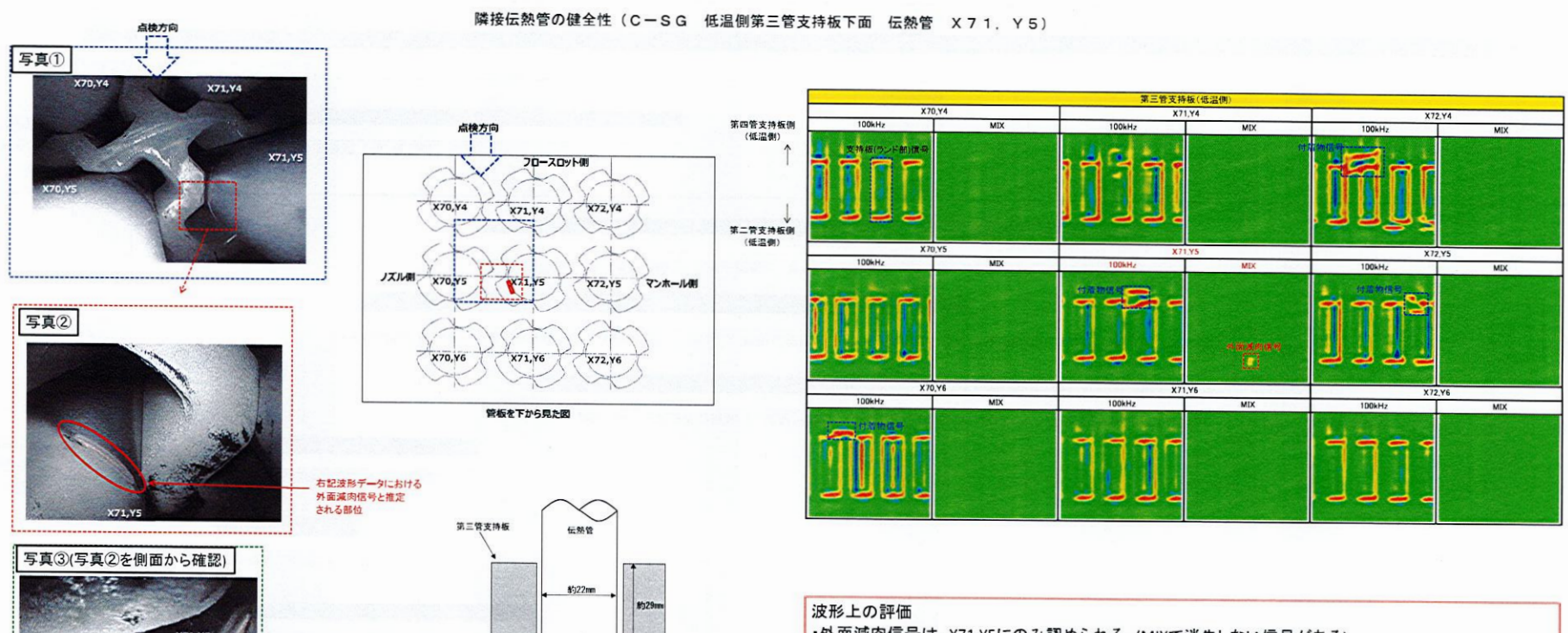
- ・外面減肉信号は、X39,Y5にのみ認められる。(MIXで消失しない信号がある)
- ・その他のアドレスでは、支持板(ランド部)信号のみが認められ、MIXでは信号が消失している。
- *なお、ECT信号は信号源の実長さより長くなるため、上記のランド部信号範囲は実範囲より広いと考えられる。



減肉率 約35%

波形上の評価

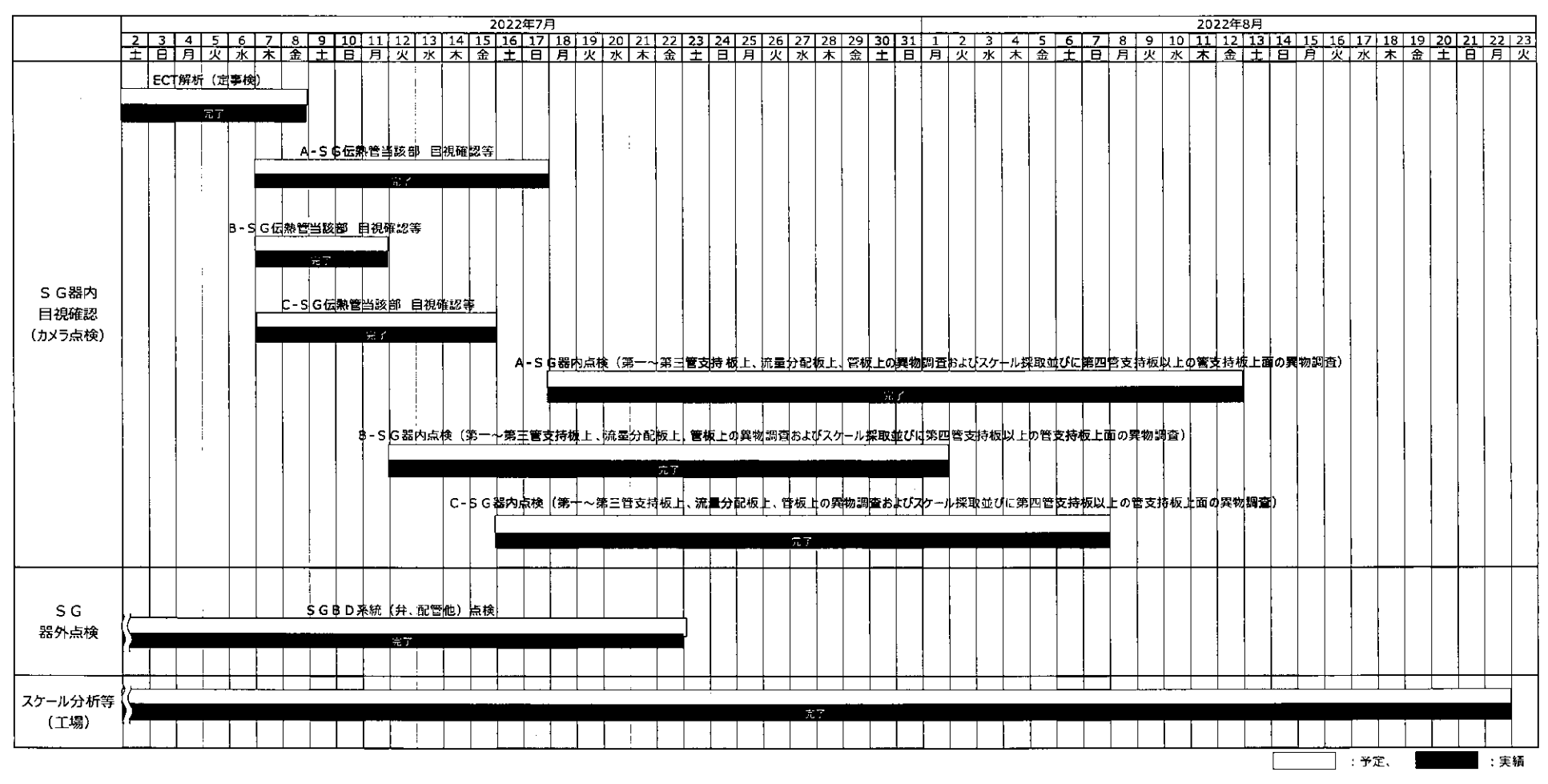
- ・外面減肉信号は、X86,Y8にのみ認められる。(MIXで消失しない信号がある)
- ・その他のアドレスでは、支持板(ランド部)信号のみが認められ、MIXでは信号が消失している。
- *なお、ECT信号は信号源の実長さより長くなるため、上記のランド部信号範囲は実範囲より広いと考えられる。



減肉率 約34%

- ・外面減肉信号は、X71,Y5にのみ認められる。(MIXで消失しない信号がある)
- ・その他のアドレスでは、支持板(ランド部)信号のみが認められ、MIXでは信号が消失している。
- *なお、ECT信号は信号源の実長さより長くなるため、上記のランド部信号範囲は実範囲より広いと考えられる。

S G点検スケジュール



高浜発電所4号機前回(第23回)定期検査における 伝熱管外面減肉事象に係る調査・対策内容からの主な変更点

	項目 (調査·対策)	高浜発電所4号機 今回(第24回)定期検査 (高浜発電所3号機 今回(第25回)定期検査も同様)	高浜発電所4号機 前回(第23回)定期検査
10000000000000000000000000000000000000	S G器内調査	・信号指示が認められた箇所の外観調査 ・S G器内のスケールの残存状況等の調査 ・S Gから回収したスケールの形状および性状の調査(摩耗試験数50個) ・S G器内の伝熱管表面の観察	・信号指示が認められた箇所の外観 調査 ・S G器内のスケールの残存状況等 の調査 ・S Gから回収したスケールの性状の 調査(摩耗試験数 2 6 個)
調査	スケールの S G 器内挙動	前回推定したスケールのSG器内挙動 に加えて、管群外筒を通過する可能性 等もあると推定。	管板、第一管支持板、第二管支持板上方で発生したスケールが、管群内の上昇流に乗って流量分配板および管支持板フロースロット部を通過し、減肉箇所まで移動したと推定。
	スケールの 剥離メカニズム	スケールの剥離は主にはプラント停止時だが、前回薬品洗浄により剥離しきらなかったスケールがプラント起動時・運転中にも剥離する可能性は否定できない。	スケールの剥離はプラント停止時と推 定。
	薬品洗浄時のスラッジ影響考慮	スケールとスラッジが混在する条件で新た に工場試験を実施した結果、スケール 近傍にスラッジが存在する場合は脆弱 化効果が低減することを確認した。	工場試験ではスラッジの存在を考慮 せず。(すべてスケールとして模擬)
対	管支持板上の洗浄	管支持板上等のスケールおよびスラッジ を可能な限り除去するため、小型高圧 洗浄装置により管支持板の洗浄を実施 する。	未実施
策	薬品洗浄条件 (洗浄範囲、薬品濃度)	1 回目:伝熱管全域、 薬品濃度3% 2 回目:伝熱管全域、 薬品濃度3%	1回目:第三管支持板以下、 薬品濃度3% 2回目:伝熱管全域、 薬品濃度2%

付資料-48 (1/9)

1. 薬品洗浄の方法について(1/4)

(1)薬品洗浄方法の選定

■ 薬品洗浄については、薬品の種類や濃度、洗浄温度等の条件に応じて、複数の種類があるが、主に下表1-1のとおり、高濃度の薬品を用いる本格化学洗浄と、比較的低濃度の薬品を用いる希薄薬品洗浄に分かれる。

表1-1	主な薬品洗浄方法	(各洗浄条件は基本的なケースを示す)
171 1	エクボロリルフノノム	(ロルルナ本) 16全体リカムノ ハモハッノ

		本格化学洗浄		希薄薬品	a洗浄 a a a a a a a a a a a a a a a a a a
		KWU法 (Simens法)	EPRI法	ASCA*1	DMT
鉄洗浄	薬品濃度	40% EDTA ^{* 2}	20% EDTA*2	1% ^{*3} EDTA ^{*2}	1% シュウ酸
	洗浄温度	160~175℃	93~121℃	80℃	60~88℃
条件	洗浄時間	4∼10hr	30∼40hr	24hr	4∼24hr
洗浄	洗浄効果		同左	スケールの粗密化 (脆弱化)	同左
SG器内構造物に対する腐食影響		影響の可能性あり	同左	影響はご〈軽微	同左
国内実績 (現行SG)		実績なし	実績なし	多数実績あり	実績なし

- $\ensuremath{\mathbb{X}}$ 1 Advance Scale Conditioning Agent
- ※2 エチレンジアミン四酢酸
- ※3 国内では3%まで実績あり
- 本格化学洗浄については、SG器内スケールのほぼ全量が除去可能であり、洗浄効果は非常に高いものの、高濃度薬品によりSG器内構造物への腐食影響の可能性がある。
- ASCA洗浄に代表される希薄薬品洗浄は、SG器内構造物への影響はほぼ無視できる程度であり、スケールを 粗密化(脆弱化)する効果がある。
- SG器内構造物への影響の観点から、現在は海外においても後者が主流であり、国内ではASCA洗浄が十分な適用実績があることから、今回の対策として、ASCA洗浄法を適用することとする。

発電用原子炉施設故障等報告書 (高浜発電所4号機 蒸気発生器伝熱管の損傷について) (2021年2月19日)より引用

1. 薬品洗浄の方法について(2/4)

- (2) ASCA洗浄の方法(基本的なケースを示す)
 - a. ASCA洗浄の目的およびメカニズム

プラント停止時に酸の一種であるEDTAを加え、比較的低温、アルカリ環境下で緩やかにスケール中の鉄と反応させ、スケールを粗密化し表面積を拡大することで、SG伝熱性能の回復を図るもの。

ASCA洗浄は鉄洗浄、銅洗浄の2ステップからなり、それぞれ内容は次のとおりであり、スケールの粗密化(脆弱化)効果をもたらすのは鉄洗浄。

(a) 鉄洗浄

- ・スケールを一部溶解させ、粗密化させる目的で実施する。
 - ① S G器内を高濃度のヒドラジン水 (1,000pm)で浸漬し、還元性雰囲気を生成する。
 - ②スケール中には空隙が存在することから、高濃度ヒドラジン水はスケール内部まで浸入し、還元性環境下でスケール(マグネタイト: Fe_3O_4)中の Fe^3 +は Fe^2 +として溶出することで、スケールの粗密化が進む。
 - ③溶出した Fe^2 +はEDTAと結合して安定な化合物(キレート錯体)を作る。

(b) 銅洗浄

- ・鉄洗浄によりスケール中に含まれていた銅(金属銅)が分離するが、銅が残留するとSG器内で酸化(酸化銅)し、伝熱管の腐食性雰囲気生成に繋がるおそれがあるため、銅洗浄により除去する。
 - ①空気注入による酸化性雰囲気で金属銅(Cu)をCu²⁺として溶解する。
 - ②溶出したС u 2+は E D T A と結合して安定な化合物(キレート錯体)を作る。

発電用原子炉施設故障等報告書 (高浜発電所4号機 蒸気発生器伝熱管の損傷について) (2021年2月19日)より引用

5付資料—48 (3/9)

1. 薬品洗浄の方法について(3/4)

表1-2 ASCA洗浄条件一覧(各洗浄条件は基本的なケースを示す)

15 C	AH:/+:/A		銅洗浄	
項目		鉄洗浄 備考		備考
EDTA	1~3% (10,000~ 30,000ppm)	国内実績値	0.36%(高浜発電所3号機実績)	C u 含有量の2倍
その他薬品	・アンモニア ・ヒドラジン (1,000ppm)	p H調整 還元性雰囲気	・アンモニア ・重炭酸アンモニウム	p H調整 E D T A 触媒
温度	80℃	_	40∼65℃	_
рН	9	アンモニアで調整	10	アンモニアで調整
洗浄雰囲気	還元性雰囲気	N ₂ バブリング	酸化性雰囲気	エアバブリング
洗浄時間	24hr	反応飽和目安	24hr	反応飽和目安

発電用原子炉施設故障等報告書 (高浜発電所3号機 蒸気発生器伝熱管の損傷について) (2022年5月25日)より引用

《付資料-48 (4/9

1. 薬品洗浄の方法について (4/4)

b. ASCA洗浄の工事概要(基本的なケースを示す)

S Gブローダウン系統等に仮設系統(図1-1参照)を接続し、表1-2の条件で薬品注入並びに鉄洗浄および銅洗浄を行った後は、S Gブローダウン系統および仮設系統を経由して排水し、器内のリンスを行う。

廃液ついては、廃液処理装置(図1-2参照)にて濃縮処理および乾燥固化処理を行い減容し、最終的には、発電所内の焼却設備で焼却処分を行う。

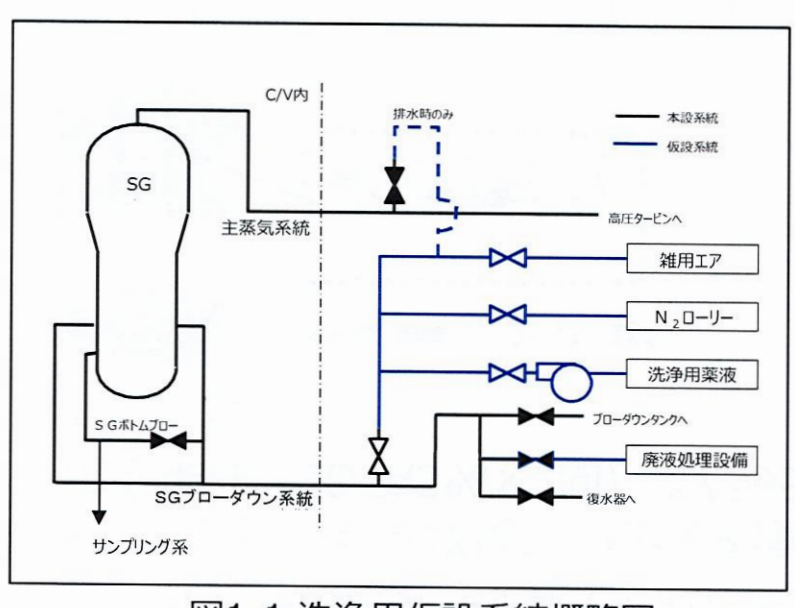


図1-1 洗浄用仮設系統概略図

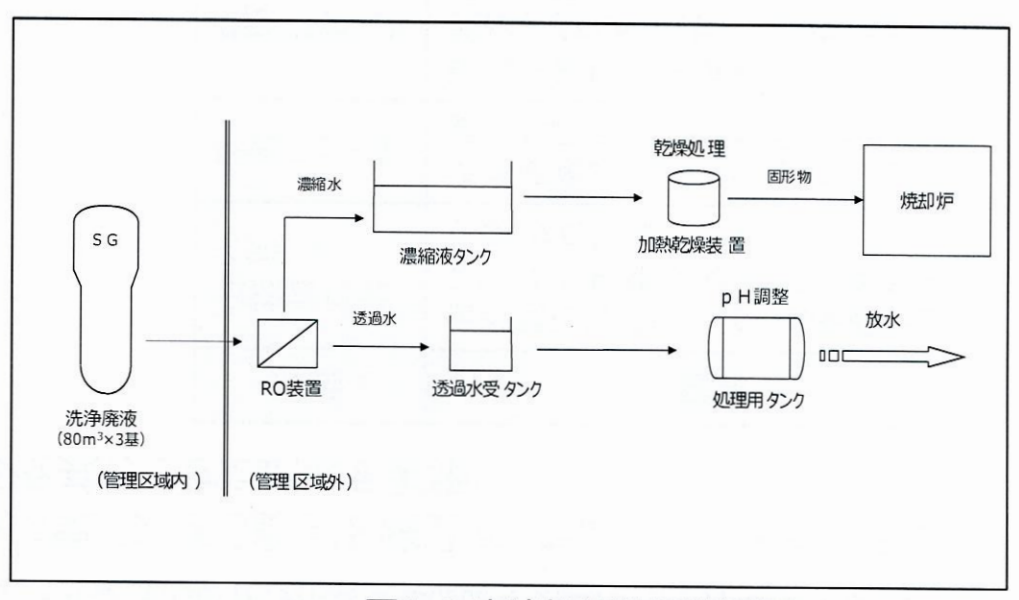


図1-2 廃液処理装置概略図

発電用原子炉施設故障等報告書 (高浜発電所4号機 蒸気発生器伝熱管の損傷について) (2021年2月19日)より引用

2. S G 器内スラッジの影響について(1/4)

- SG器内スラッジ量は、SG器内全体の鉄量に比べ、大きな割合を占めるものではないが、表面積が大きいスラッジが共存することにより、スケールの脆弱化効果を低減する可能性が考えられる。
- そこで、スラッジ共存環境下における洗浄効果に対する影響を確認するため、今回実施する薬品 洗浄条件(EDTA3%×2回)でスラッジを共存させた試験を実施した。

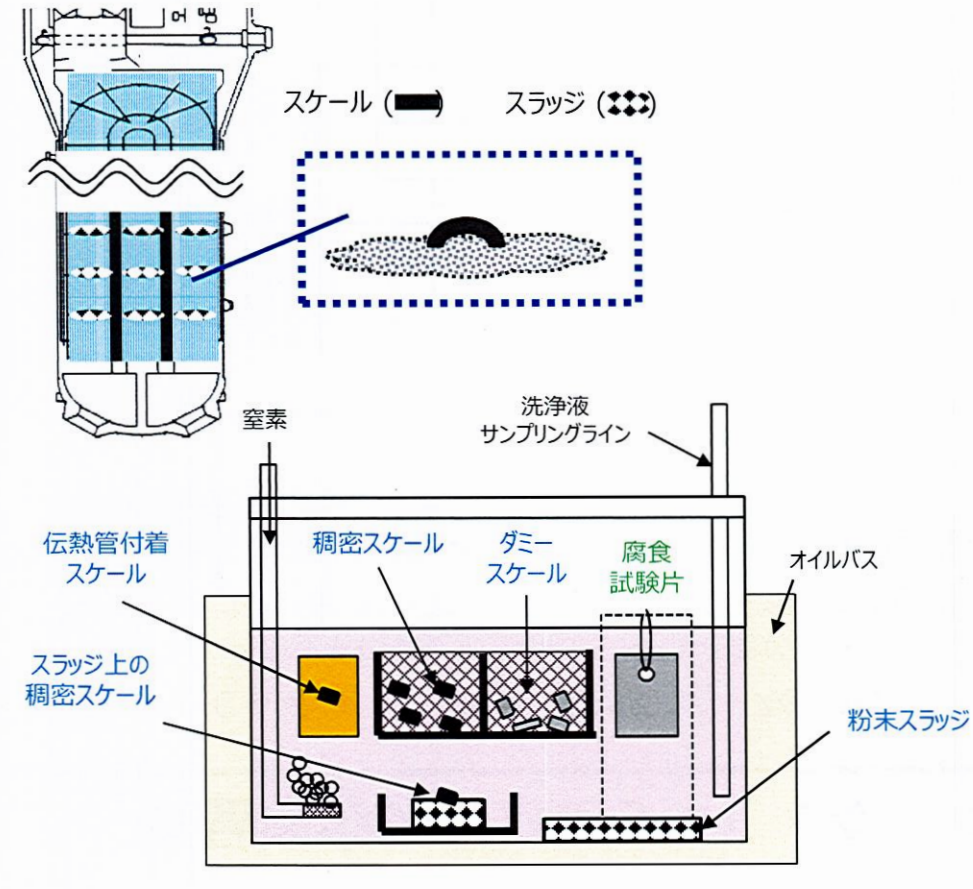


図2-1	試験装置の概略図
------	----------

項目	目的
伝熱管付着 スケール	伝熱管に付着したスケールを模擬した、 スケールの片側からの洗浄効果を確認 するための試験片
稠密スケール	洗浄前後のスケール減量や稠密層の 変化を評価するための試験片
ダミースケール	試験容器内の洗浄液/スケール量を 調整するためのスケール(洗浄前後の 固体を区別しない)
スラッジ上の 稠密スケール	スラッジ上に落下したスケールに対する 洗浄効果を確認するための試験片
粉末スラッジ	試験容器内の洗浄液/スラッジ量を調整するためのスラッジ
腐食試験片	実機の構成材料の腐食量を評価する 試験片。接液面積比は実機を模擬。

5付資料-48 (6/9

2. S G 器内スラッジの影響について (2/4)

(1) 試験条件

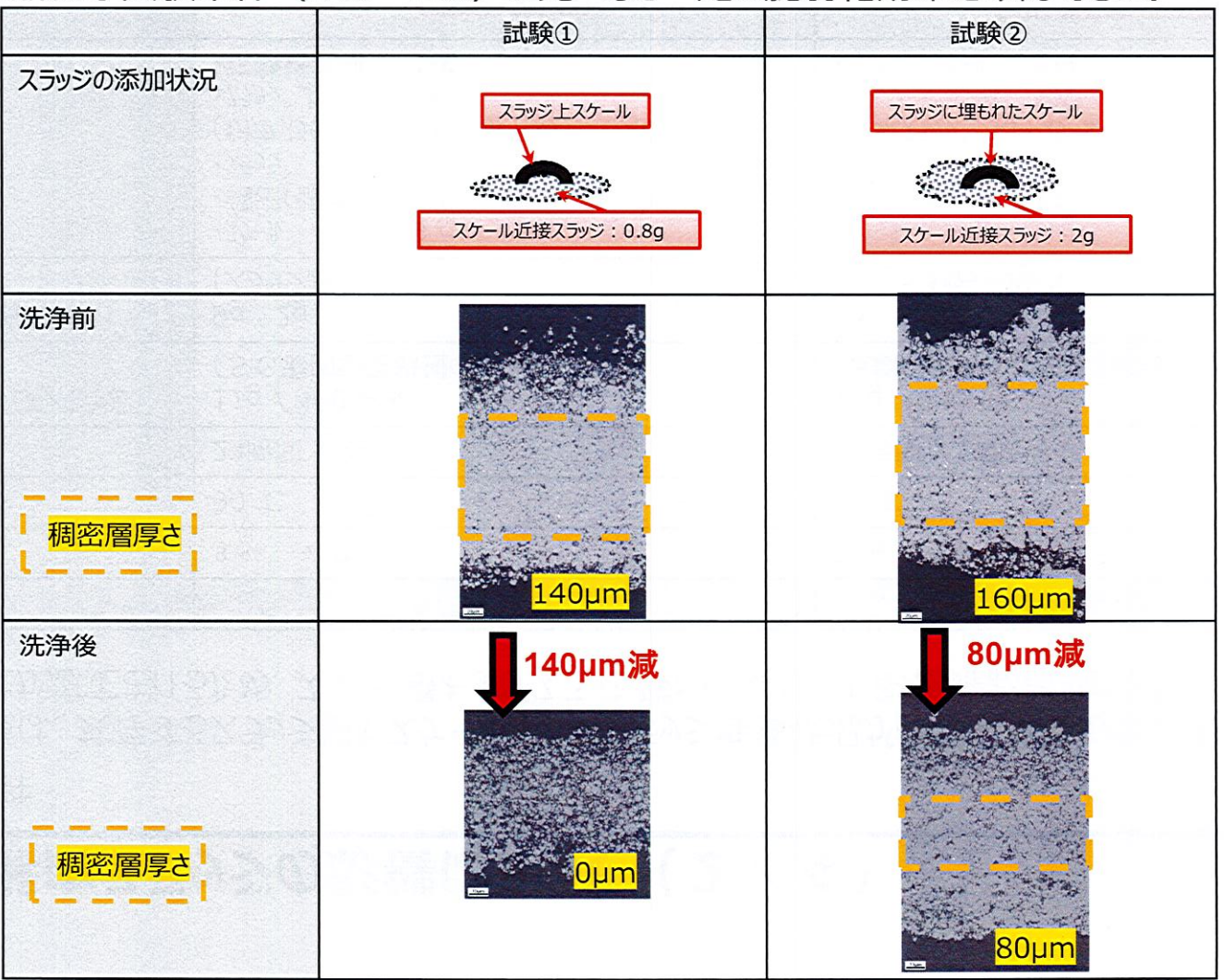
■ 実機環境は、共存するスラッジ量やスケール上へのスラッジ堆積状況が多種多様であり、洗浄効果が 異なることが想定されるため、スラッジ量およびスラッジ環境を変更した影響確認試験を実施

	試験①	試験②	
EDTA濃度	3 % → 3 %	3 % → 3 %	
温度	90 ℃	90 ℃	
時間	24時間 x 2回	24時間 x 2回	
スケール・スラッジ量/液量	11g / 400g-液 (SG器内想定鉄量の1.5倍)	14g/400g-液 (試験①にスケール量を合わせ、スラッジを増量)	
スケール量:スラッジ量	9g : 2g (スラッジ割合=18 %)	9g:5g (スラッジ割合=36%)	
想定鉄量内訳	 ・スケール 9 g ・稠密(個体) 1枚 ・スラッシ゛ 2 g (粉末スラッシ゛:1.2g+スケール下スラッシ゛:0.8g) ・スラッシ゛上スケール 1枚 ・伝熱管スケール 1枚 	 ・スケール 9 g ・稠密(個体) 1枚 ・スラッシ* 5 g (粉末スラッシ*:3g+スケール下スラッシ*:2g) ・スラッシ*上スケール 1枚 ・伝熱管スケール 1枚 	
試験環境	スラッジ上スケール スケール近接スラッジ: 0.8g	スラッジに埋もれたスケール スケール近接スラッジ: 2g	

続付資料 - 48 (7/9)

2. S G 器内スラッジの影響について(3/4)

- (2) 試験結果
 - 試験②の条件ではスラッジ上スケールに対して稠密層を完全に脆弱化することはできなかったものの、 前回の薬品洗浄試験条件(3%→2%)に比べると一定の脆弱化効果を確認できた。



添付資料-48 (8/9)

2. S G 器内スラッジの影響について (4/4)

■ スラッジ上スケール以外のスケールに対する試験結果は以下のとおりであり、十分な脆弱化効果を確認できた。

	試験① 稠密スケール (スラッジ非接触)	試験① 伝熱管付着スケール (片面溶解)	試験② 稠密スケール (スラッジ非接触)	試験② 伝熱管付着スケール (片面溶解)
洗浄前	D 14347 - 3.40°C			
稠密層厚さ		140μm	<mark>160µт</mark>	-100μm
洗浄後	140µm減 0µm	140µm減	160µm減 0µm	100µm減

6付資料-48 (9/9

3. 薬品洗浄によるSG器内構造物の腐食量

■ 試験①および②の腐食試験片(炭素鋼および低合金鋼)の腐食量を確認した結果、今回の薬品洗浄 (EDTA3%+3%)では、腐食量は炭素鋼70μm程度、低合金鋼90μm程度であることを確認した。

表3-1 3%×2回(90℃)における炭素鋼および低合金鋼の腐食量確認結果注)

試験No.	炭素鋼 [µm]	低合金鋼 [µm] 42	
1	73		
2	58	87	

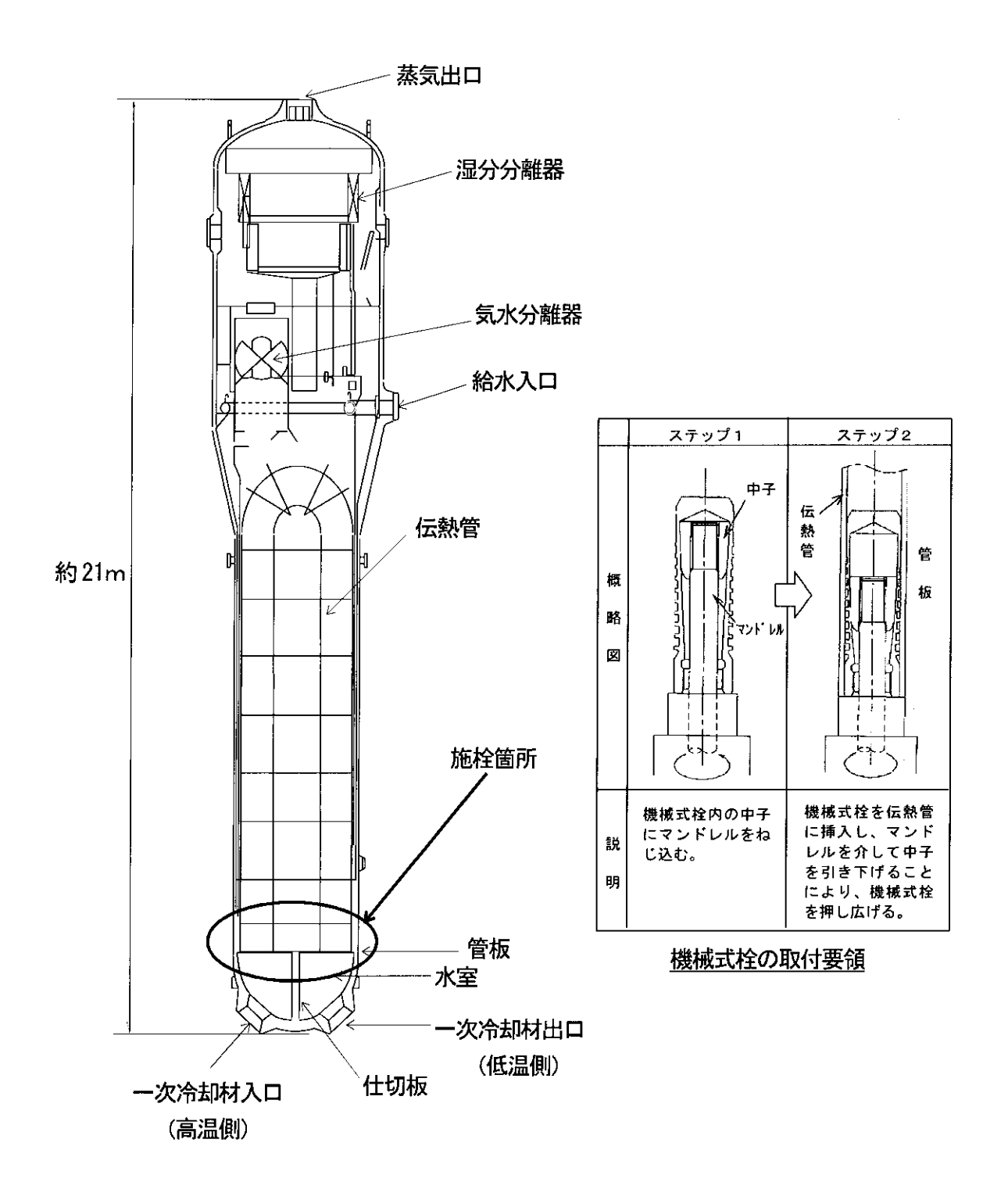
注) 腐食量は腐食試験片2枚の平均重量減量より算出

- 前回の薬品洗浄(EDTA3%+2%)における炭素鋼/低合金鋼の腐食量は約50µmと推定される。 また、ステンレス鋼、インコネルの腐食量はごく軽微(0.1µm以下)と推定される。
- 今回の薬品洗浄(EDTA3%+3%)における腐食量は90µm程度で、炭素鋼/低合金鋼の腐食量は前回薬品洗浄との積算で約140µmになると推定される。
- 上記腐食量に対し、SG耐圧部(管板/胴部:低合金鋼)の許容腐食量は1mmと十分な裕度がある。



上記の検討結果を踏まえ、S G 器内の構成部品に大きな影響を及ぼすことなくスケールの脆弱化 を図る薬品洗浄条件について検討した結果、薬品濃度3%でS G 伝熱管全域を2回に設定した。

SG伝熱管信号指示箇所補修概要図



高浜発電所4号機 SG伝熱管の補修来歴

					1"
	A-SG (3,382本)	B-SG (3,382本)	C-SG (3,382本)	合計 (10,146本)	施 栓 理 由 ()内は、実施した対策
第4回定期検査 (1990.2~5)	7	9	5	21	振止め金具部の摩耗減肉 (振止め金具の取替えを実施)
第9回定期検査 (1996.9~11)	10	0	0	10	管支持板洗浄装置の接触痕を確認
第11回定期検査 (1999.4~7)	0	0	4	4	高温側管板拡管部の応力腐食割れ
第12回定期検査 (2000.9~11)	4	1	6	11	高温側管板拡管部の応力腐食割れ
第13回定期検査 (2002.1~3)	1	0	0	1	高温側管板拡管部の応力腐食割れ (ショットピーニング施工)
第14回定期検査 (2003.4~6)	1	1	0	2	高温側管板拡管部の応力腐食割れ
第15回定期検査 (2004.8~10)	112	122	105	339	旧振止め金具部の微小な摩耗減肉 (新方式のECT採用)
第18回定期検査 (2008.8~12)	0	0	1	1	高温側管板拡管部の応力腐食割れ
第19回定期検査 (2010.2~5)	0	0	1	1	高温側管板拡管部の応力腐食割れ
第20回定期検査 (2011.7~2017.5)	0	1	1	2	高温側管板拡管部の応力腐食割れ
第21回定期検査 (2018.5~9)	2	0	0	2	高温側管板拡管部の応力腐食割れ
第22回定期検査 (2019.9~2020.2)	1	1	3	5	外面からの摩耗減肉
第23回定期検査 (2020.10~2021.4)	1	0	3	4	外面からの摩耗減肉
第24回定期検査 (2022.6~)	5	2	5	12	外面からの摩耗減肉 A1本・B1本:微小な減肉信号
累積施栓本数	144	137	134	415	
[施栓率]	[4. 3%]	[4. 1%]	[4. 0%]	[4. 1%]	

OSG1台あたりの伝熱管本数:3,382本

(伝熱管の施栓率が10%の状態において、プラントの安全性に問題がないことが確認されている)

[○]定期検査回数の下部に記載しているカッコ内の年月は、解列~並列

〇安全解析施栓率は10%

減肉により施栓した伝熱管が隣接伝熱管へ及ぼす影響

減肉により施栓した伝熱管については、以下のとおり、伝熱管の減肉の進展性、強度および耐震性の観点から破損しないことを確認しており、他の健全伝熱管へ影響を及ぼすことはない。

1. 減肉の進展性

対策として実施する薬品洗浄により伝熱管に付着している稠密なスケールは脆弱化するため、伝熱管を有意に減肉させることはなく、減肉の進展性はない。

2. 強度

施栓後の伝熱管内は大気圧となるため、運転中および事故時には外圧(2次側から1次側への圧力)が作用する。この状態下で減肉伝熱管が耐えられる限界圧力を算出した結果、通常運転時および事故時のSG2次側最大圧力に対して裕度があることを確認したことから、減肉により施栓した伝熱管が外圧で損壊することはない。

(評価内容)

国PJ「蒸気発生器信頼性実証試験」((財)発電用熱機関協会、昭和50年度~昭和55年度)では、局部減肉を有する伝熱管の外圧強度評価手法を確立するため、外圧による高温圧壊試験を実施している。その試験結果から導出された外圧圧壊評価式を用いて、施栓後の外圧による圧壊圧力を算出した。

得られた圧壊圧力について、通常運転時および事故時の最大外圧に対する裕度を確認することにより、施栓された減肉管の強度を評価した。

その結果、圧壊圧力は 19.0MPa であり、通常運転時および事故時の最大外圧 MPa に対し、十分な裕度があることを確認した。

本評価式は、過去の高浜発電所3号機および4号機 SG伝熱管の旧振止め金具による局部減肉の特殊設計施設認可申請においても用いられており、下式にて表される。

P_{C} =0.9 $Sy \cdot t/R(1.0 \cdot a/t (\cdot 0.539 + 0.236 \sqrt{2c \cdot 0.0103 \cdot 2c}))$
<今回の計算条件>
Pc : 局部減肉を有する伝熱管の圧壊圧力 (MPa)
Sy: インコネルTT600 の設計降伏点=188.7MPa (@344℃)
t:板厚= <mark></mark> mm
R: 平均半径=mm
a:減肉深さ=__mm(=__mm×0.49)
2c: 減肉幅=5mm

: 枠組みの範囲は機密に係る事項ですので公開することはできません。

減肉深さ (%)* ¹	圧壊圧力 Pc(MPa)	事故時を包絡 する作用外圧 (MPa) *2	裕度
49	19.0		

表 1 減肉を有する施栓後の伝熱管の強度評価結果

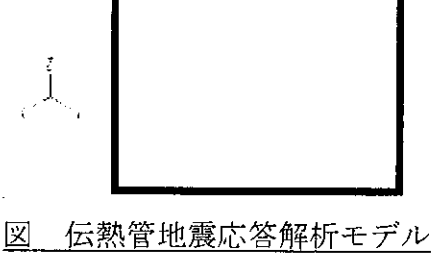
3. 耐震性

基準地震動Ss条件で減肉伝熱管の耐震評価を行った結果、許容値に対して裕 度があることを確認したことから、減肉伝熱管が地震で損壊することはない。

(評価内容)

減肉を有する伝熱管の耐震性について、次のとおり 評価した。

- ・既工認*3の基準地震動 Ss による地震力および伝熱 管全長モデル(右図)*+から、伝熱管直管部(管支 持板部)に作用する力(部材力)を算出
- ・保守的に一様外面減肉と仮定し、伝熱管の断面積を 減じた上で部材力から発生応力および疲労累積係数 を算出し、許容値に対する裕度を確認
 - *3 既工認添付資料 13:17:3:2:2 「蒸気発生器内部構造物 の耐震計算書」(原規規発第 1510091 号、平成 27 年 10月9日認可)
 - *4 高浜発電所4号機既工認(新規制基準工認)補足説明 資料「高浜発電所4号機 耐震性に関する説明書に 係る補足説明資料 蒸気発生器伝熱管の評価につい て 関西電力株式会社 平成27年9月」



その結果、今回認められた減肉を考慮しても、発生応力および疲労累積係数 に十分な裕度があること確認した。

:枠組みの範囲は機密に係る事項ですので公開することはできません

 $^{^{*1}}$ 最大減肉深さのB-SG(X84, Y9)およびC-SG(X39, Y5)で代表

^{*2} 設計基準事故時および重大事故等時を包絡する2次側圧力

応力分類	発生応力*5	許容值	裕度
	および疲労累積係数		
一次一般膜応力	143 MPa	334 MPa	2.3
膜応力+曲げ応力	179 MPa	434 MPa	2.4
一次+二次応力	208 MPa	492 MPa	2.3
疲労累積係数	0.036	1	-

表2 減肉を有する施栓後の伝熱管の耐震性評価結果

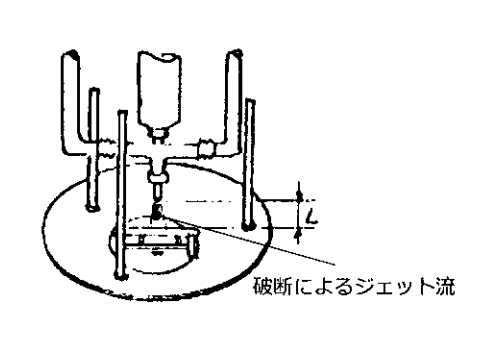
4. 減肉した伝熱管の破断を想定した場合の影響

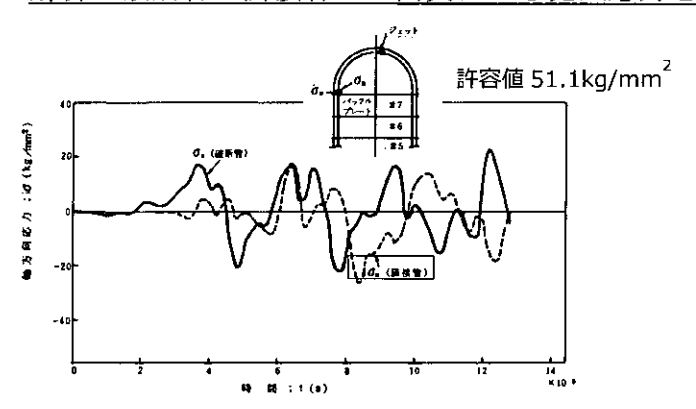
1.~3.で述べたとおり、減肉により施栓した伝熱管については、減肉の 進展性、強度および耐震性の観点から破損しないことを確認しており、他の健 全伝熱管へ影響を及ぼすことはないが、ここでは仮に減肉した施栓管が破断し た場合の影響を検討する。

「発電用軽水型原子炉施設の安全評価に関する審査指針」の検討において、 伝熱管1本が破断しても隣接管へ有意な影響を与えないことが確認されている。 その検討において根拠とされた実験は「蒸気発生器信頼性実証試験」(昭和5 0~55年度:発電用熱機関協会)によるものであり、その中では、次の実験 および解析により、伝熱管が破断しジェット反力によって隣接管へ衝突しても、 隣接管に発生する応力は許容値以下であるため、有意な影響がないことを確認 している。

また、今回減肉により施栓した伝熱管については、その内部に1次系系統圧 力がかかっておらず、破断時にジェット反力は生じないため、隣接管への影響 はない。

<u>実験:破断</u>時のジェット反力を取得 解析:破断管の隣接管への衝突による発生応力を評価





 $^{^{*\,5}}$ 最大減肉深さのB-SG(X84,Y9)およびC-SG(X39,Y5)で代表

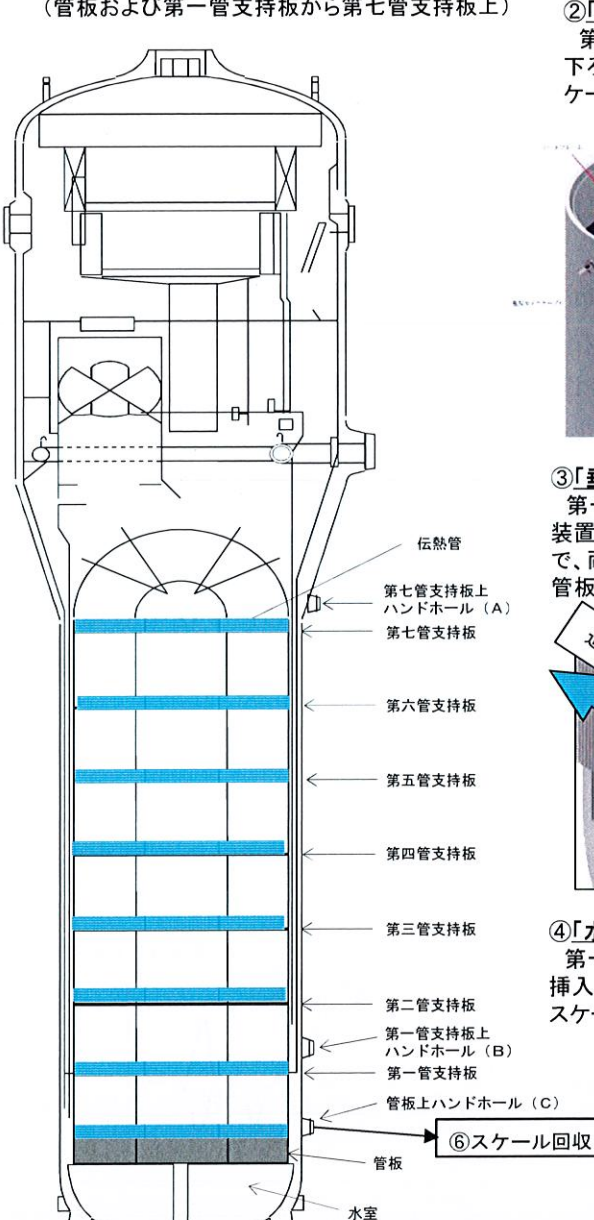
小型高圧洗浄装置による洗浄について

SG器内に残存するスケール等を回収 するため、小型高圧洗浄装置を用いて SG器内の洗浄を実施する。

清掃は上層の支持板から順に下層の 支持板にスケール等を落下させていき、 最終的に管板の洗浄とともに回収する。

洗浄箇所:

(管板および第一管支持板から第七管支持板上)



①「水平ノズル(樹脂ヘッド)」による第七管支持板の洗浄

第七管支持板上ハンドホール(A)より第七管支持板に装置を挿入し、フ ロースロット上を走査させながら洗浄水を噴射することで、支持板上のス -ル等を押し流し下層の支持板に落下させる。

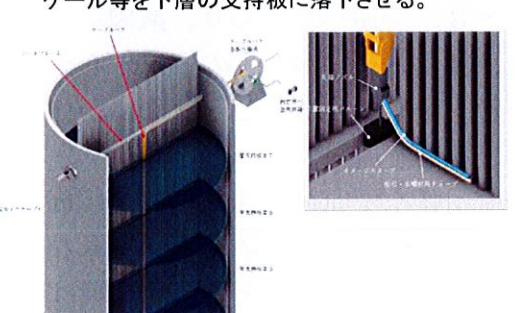




②「管支持板上走査ノズル」による<u>第六~第三管支持板</u>の洗浄

第七管支持板上ハンドホール(A)より上層の支持板から順に装置を吊り 下ろし、支持板上を走査させながら洗浄水を噴射することで、支持板上のス

ケール等を下層の支持板に落下させる。





③「垂直ノズル」による第二および第一管支持板の洗浄

第一管支持板上ハンドホール(B)より第二管支持板と第一管支持板の間に 装置を挿入し、支持板間を走査させながら上下方向に洗浄水を噴射すること で、両支持板の伝熱管と支持板の隙間を清掃し、スケール等を支持板および 管板上に移動させる。





④「水平ノズル(楕円ヘッド)」による第二管支持板の洗浄

第一管支持板上ハンドホール(B)より第二管支持板フロースロットに装置を 挿入し、フロースロットを移動させながら洗浄水を噴射することで、支持板上の スケール等を押し流し下層の支持板に落下させる。





⑤「水平ノズル(樹脂ヘッド)」による第一管支持板の洗浄

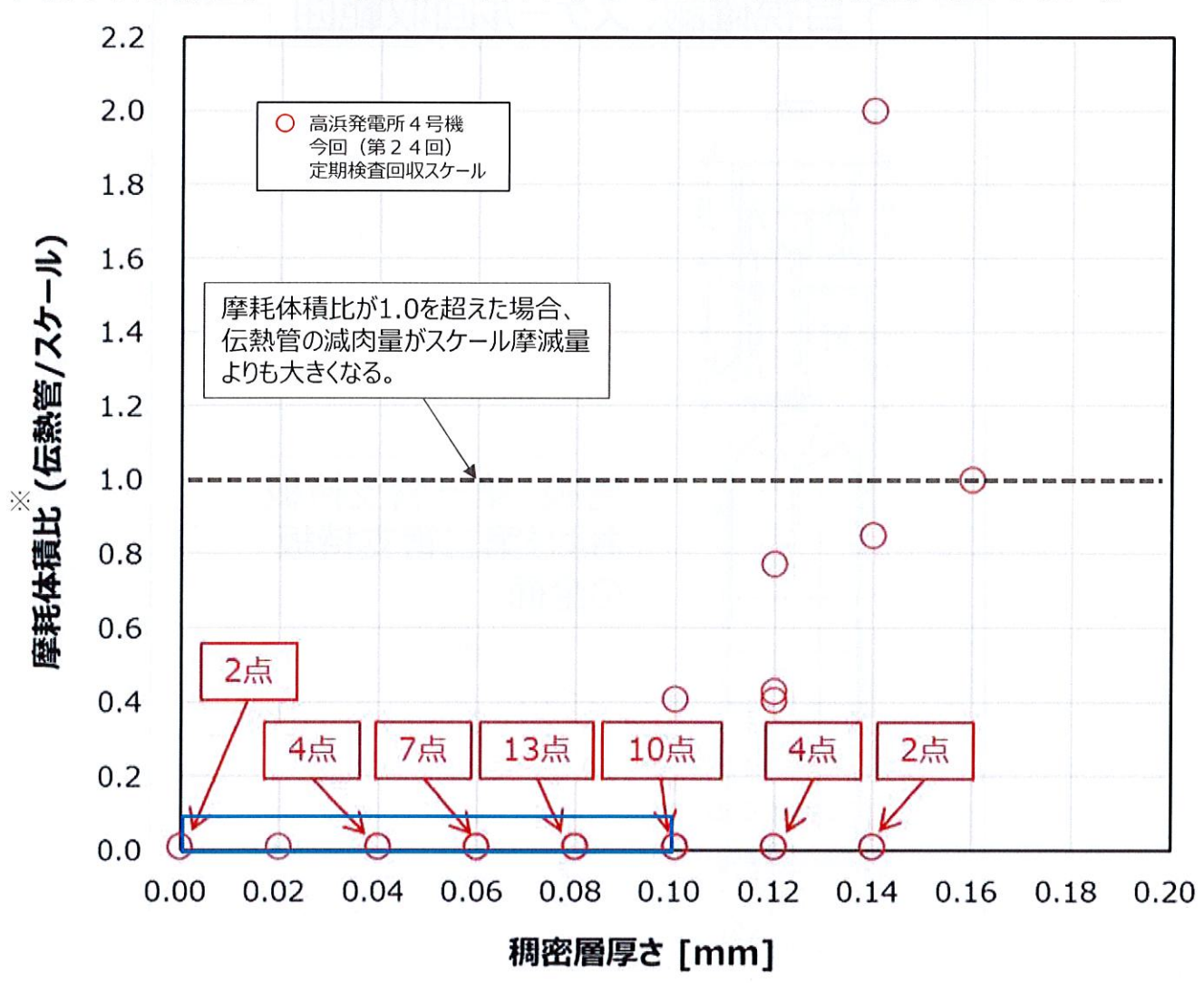
第一管支持板上ハンドホール(B)より第一管支持板に装置(①と同様)を挿入し、フロースロット上を移動させながら洗浄水を噴射する ことで支持板上のスケール等を押し流し、管板に落下させる。

⑥「ランシング装置」による<u>管板</u>の洗浄とスケール等の回収

ランシング装置を用いた管板の洗浄(従来より定期検査毎に実施)を行うとともに、上層の各支持板から落下させたスケール等を管板 上ハンドホール(C)から回収する。

スケールに対する保全指標について(1/3)

- ○今回取り出したスケールについては、今後、追加の3次元測定器等による計測、 断面観察および摩耗試験を実施し、スケールの形状や性状に関する知見の拡 充に努める。また、SG伝熱管に付着するスケールに対し、薬品洗浄の頻度に 関する保全指標については、以下のとおり。
- ●高浜発電所3号機および4号機については、毎定期検査時にスケールを回収し、スケールの稠密層厚さの確認および摩耗試験を行う。
- ●稠密層厚さ0.1mm未満および摩耗体積比0.1未満であることを確認し、それを超えた場合は、薬品洗浄や小型高圧洗浄装置による洗浄を実施する。
- ●なお、高浜発電所3号機および4号機のSGについては、インコネルTT600製の伝熱管に応力腐食割れが認められていることから、本事象も踏まえ、今後も引き続き、SG取替え(以下、SGR)に係る検討を進めていく。



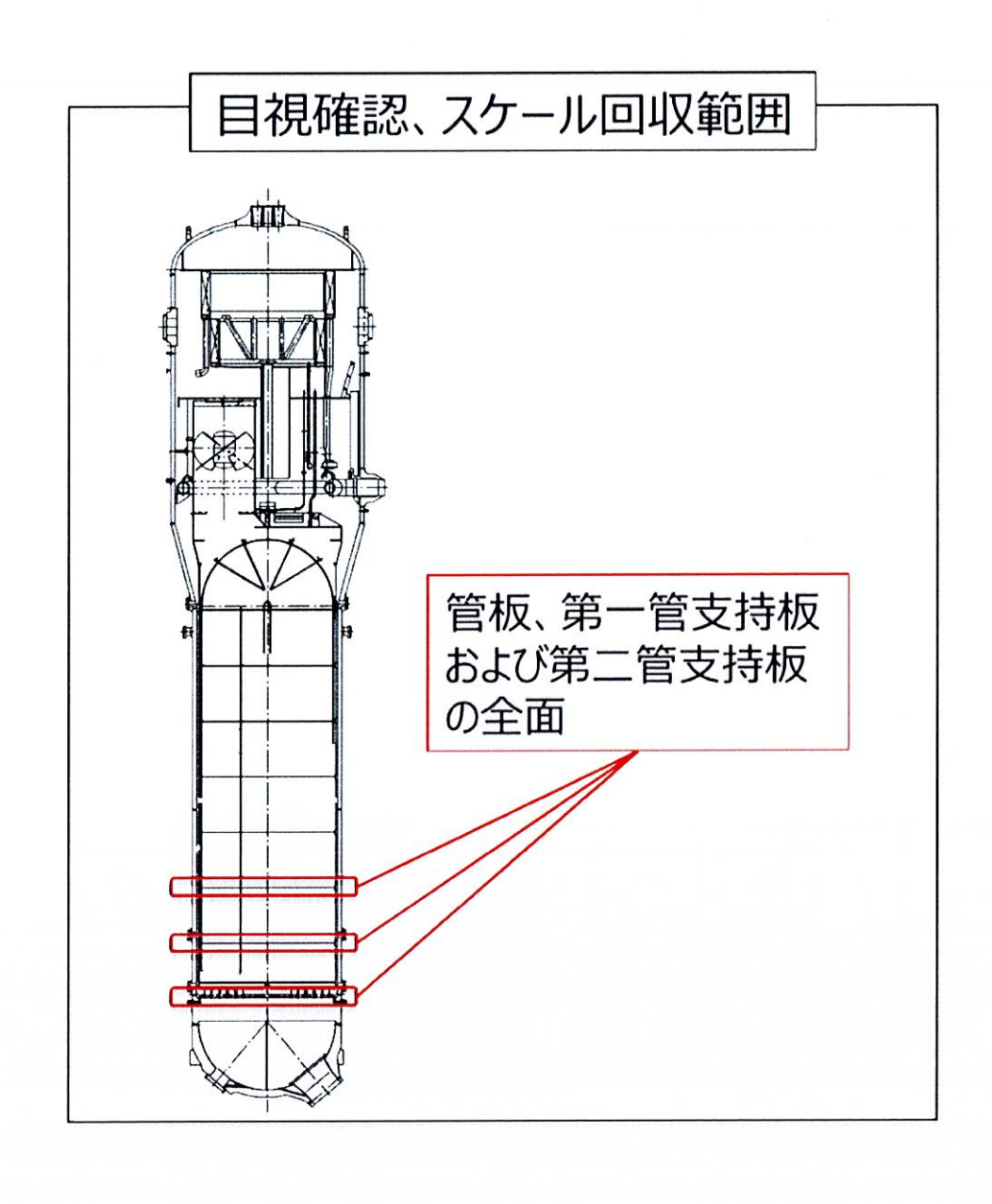
※ 摩耗体積比(伝熱管/スケール):摩耗試験における伝熱管の減肉量とスケールの摩滅量の体積比

スケールに対する保全指標について(2/3)

○スケール選定の考え方について

伝熱管を減肉させるような稠密で薄いスケール(板厚 0.2~0.3mm) は、伝熱管の下部で生成されると考えられるため、稠密層本体のスケールが一番多く堆積していると考えられるエリア (SGの管板、第一管支持板および第二管支持板)の全面を目視確認し、各板あたり20個程度のスケールを採取し、稠密層厚さの確認を実施する。

次に、採取したスケールから 0. $2\sim0$. 3mmのもの、かつ比較的大きいもの(長さ 10 mm程度)を 10 個程度選定し、摩耗試験を実施する。



スケールに対する保全指標について(3/3)

- ●他プラントについては、代表プラントでスケールを回収し、いずれも稠密層厚さが0. 1mm未満であることおよび摩耗体積比が十分小さいこと(0. 1未満)を確認している。
- ●また、現在の鉄持込み量は約30kg/サイクルと十分低く抑えられている。
- ●従って、至近で薬品洗浄を行う必要はないと考えているが、高浜発電所3号機および4号機の水平展開として、以下のとおり、実機スケールによる監視を行っていく。

<スケール監視方法>

プラント		鉄持込み 量※	頻度	確認内容	備考	
uarodi. Ne nemana	大飯発電所 3号機	1,850kg	2 定期検査毎	稠密層厚さおよ び摩耗体積比 を確認	薬品洗浄を実施済であり、 高浜発電所3号機および 4号機と同等の鉄持込み	
SGR 未実施 プラント	大飯発電所 4号機	1,970kg	同上	同上	日本 写機と同等の鉄持込み 量まで計算上10サイクル 以上となるが、実機スケールを確認し確実に発生を 防止するとともに、データの 蓄積を図る。	
S G R プラント	高浜発電所 1号機	680kg	<u>-</u>	_	SGRプラントで鉄持込み 量が最大の高浜発電所 2	
	高浜発電所 2号機	940kg	2 定期検査毎	スケールの有無 を確認	号機について、今回採取できるスケールはない状況であったが、念のため、高温	
	美浜発電所 3号機	810kg	_	_	発電所 2 号機を代表プラ ントとしてスケールの確認を 行う。	

※高浜発電所3号機および4号機の最初の外面減肉発生時の鉄持込み量は約2,400kg

<薬品洗浄実施時期>

●薬品洗浄については、蓄積したデータの傾向を踏まえ、従来の電気出力維持の観点に加え、摩耗減肉に対する予防保全の観点で、適切なタイミングで行うこととする。

発電用原子炉施設故障等報告書 (高浜発電所4号機 蒸気発生器伝熱管の損傷について) (2021年2月19日)より引用

高浜発電所4号機SG器内のスケールに対する対策の変遷

時期	目的	対策	
前回以前	SGへの鉄の持込み量 を低減	運転開始以降、2次系統水の水質管理として、AVT処理(ヒドラジン、アンモニア)を実施していたが、1998年より、抽気・ドレン系からの鉄持込み抑制のためETA処理を採用 その後、2004年~2006年に給水加熱器など銅系材料機器の取替えを実施し、2009年より給水高pH処理を採用	
前回		SG器内の薬品洗浄	
(第23回定期検査)	スケールの脆弱化	(条件) 1回目:第三管支持板以下、薬品濃度3% 2回目:伝熱管全域、薬品濃度2%	
今回	SG器内に残存するス ケール等を可能な限り 除去	小型高圧洗浄装置による洗浄 範囲:第一管支持板〜第七管支持板 および管板	
(第24回定期検査)	スケールの脆弱化	SG器内の薬品洗浄 (条件) 伝熱管全域、薬品濃度3%×2回	
今後の対応	・スケールの性状確認 ・スケール影響除去	今後のSG保全 ・毎定期検査時にスケールを回収し、稠密層厚さの確認、摩耗試験を実施 ・稠密層厚さの確認、摩耗試験にて、稠密層厚さの確認、摩耗試験にて、稠密層厚さの. 1mm未満および摩耗体積比0. 1未満を超えた場合は、薬品洗浄や小型高圧洗浄装置による洗浄を実施 ・SG取替えに係る検討	